

# Современные методы оценки сейсмической опасности и прогноза землетрясений 22 - 23 октября 2025 г. Москва

# Систематический прогноз землетрясений Камчатки

В.Г. Гитис, А.Б. Дерендяев

Институт проблем передачи информации им. А.А. Харкевича РАН gitis@iitp.ru, wintsa@gmail.com



# СОДЕРЖАНИЕ

- 1. Основные понятия.
- 2. Технология.
- 3. Моделирование.
- 4. Выводы.



#### 1. Основные понятия

- Систематический прогноз землетрясений даётся регулярно и на постоянный временной интервал.
- > Объекты прогноза:
  - ✓ время землетрясения (интервал тревоги).
  - ✓ место эпицентра (зона тревоги).
  - ✓ магнитуда землетрясения (магнитудный интервал).
  - ✓ вероятность успешности очередного прогноза.
- > Успешность прогноза:
  - ✓ время предсказано успешно, если на интервале тревоги происходят землетрясения с эпицентрами в зоне анализа.
  - ✓ место предсказано успешно, если на данном интервале все эпицентры землетрясений попадают в зону тревоги.



## Метрики прогноза

- 1. Вероятность обнаружения  $U = M^* / M$ ,
- $M^*$  число интервалов с успешным прогнозом.
- ${\it M}$  число всех интервалов с эпицентрами в зоне анализа.
- 2. Вероятность успешности прогноза на очередном интервале  $P = M^* / N$ ,
- N число всех интервалов прогноза.



#### 2. Технология

#### Машинное обучение

- > Метод обучения
  - ✓ метод ортантов (обобщение метода минимальной области тревоги).
- > Режимы обучения:
  - ✓ Первичное обучение для выбора полей и оценивания их параметров.
  - ✓ Доучивание перед каждым интервалом прогноза по всем имеющимся временным срезам полей и выборке возможных предвестников землетрясений.



#### Схема систематического прогноза

- Компьютер регулярно обрабатывает разнотипные данные мониторинга и преобразует их в сеточные поля.
- Машинное обучение выявляет эмпирические закономерности и осуществляет прогноз землетрясений.
- Аналитические программные средства поддерживают принятие экспертных решений по объявлению тревоги.



# Двухэтапный прогноз

Пусть успешный прогноз получен на всех интервалах:  $M^*=M$ , вероятность успешного обнаружения  $U=M^*/M=1$ .

Тогда успешный прогноз на очередном интервале P=M/N.

В ряде сейсмоактивных регионов число целевых землетрясений невелико по сравнению с числом интервалов прогноза.

Чтобы увеличить P, надо уменьшить число прогнозов N.

Поэтому мы перешли к схеме двухэтапного прогноза.

- **Этап 1**: Прогноз интервалов тревоги, на которых целевые землетрясения ожидаются в зоне анализа.
- **Этап 2**: Прогноз зон тревоги только на интервалах тревоги.



# 3 Моделирование

Опыт двухэтапного прогноза в регионах Камчатки, островной части Японии и Калифорнии показал:

- ightharpoonup Вероятности обнаружения всех эпицентров землетрясений на интервале тревоги в зонах тревоги:  $U=M^*/M=0.7-0.8$ .
- ightharpoonup Вероятности того, что на очередном интервале тревоги произойдут землетрясения со всеми эпицентрами в зоне тревоги  $P=M^*/N^*=0.2-0.25$ .

# Возможные причины малых значений Р

- 1. Для выбора интервалов тревоги алгоритм должен отличать процессы подготовки землетрясений с магнитудами  $m \ge 6.0$  и m < 6.0. Разделение землетрясений на классы по порогу m = 6.0 не связано с физикой сейсмического процесса.
- 2. Магнитуды землетрясений измеряются с ошибкой о.1-о.3.
- 3. Описание анализируемых процессов недостаточно полное.

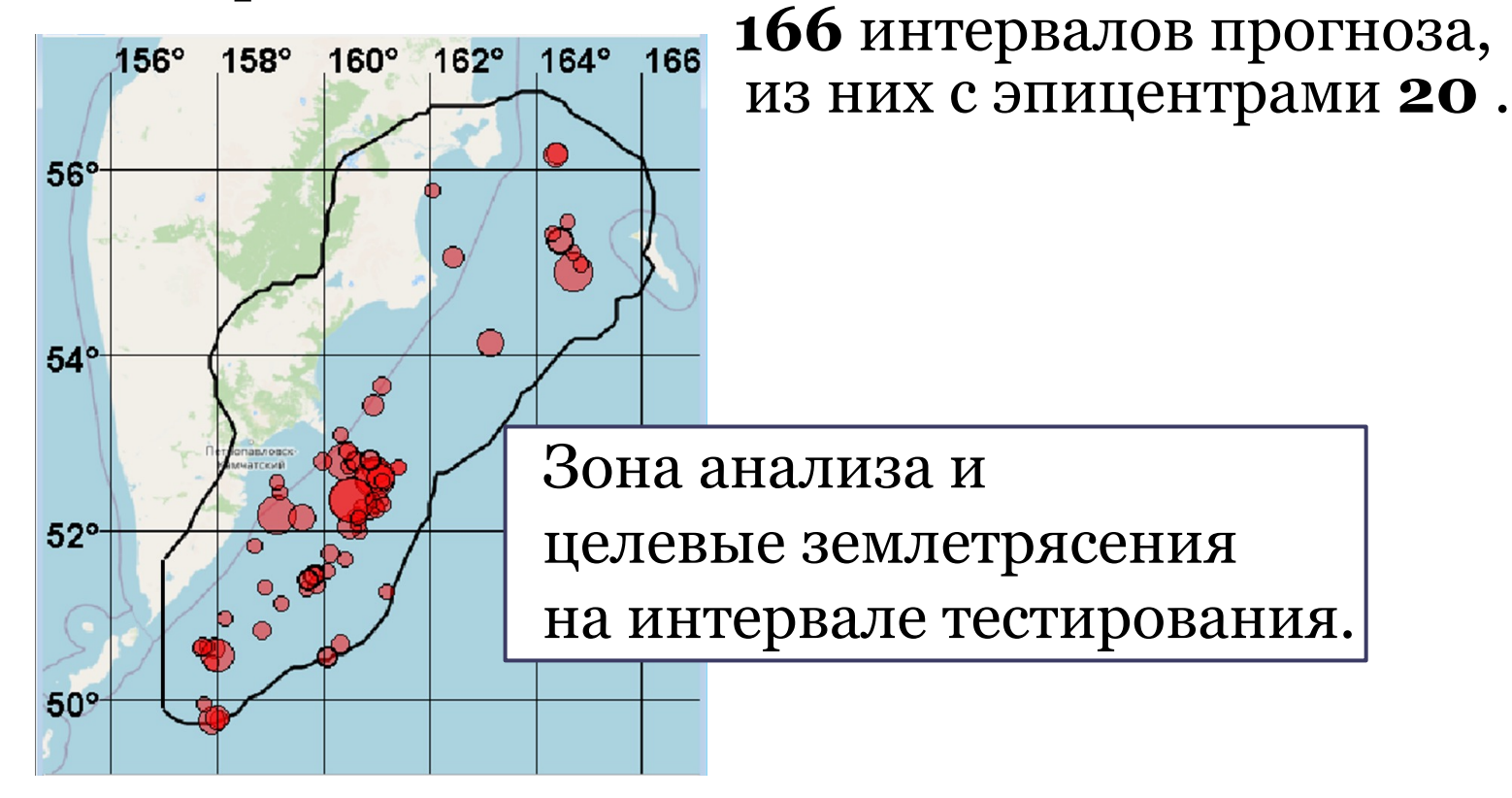
Вывод: искать новые исходные данные и новые поля.



### Данные

- $\succ$  Каталог: КФ ФИЦ ЕГС РАН с 1986 г.,  $m \ge 3.5$ ,  $H \le 160$  км.
- $\succ$  Сетка полей прогноза:  $\Delta x \times \Delta y \times \Delta t = \mathbf{0.1}^{\circ} \times \mathbf{0.075}^{\circ} \times \mathbf{30}$  суток.
- ightarrow Целевые землетрясения:  $m \ge 6.0$  и  $H \le 60$  км.
- Обучение с 2001 г.: 134 интервала прогноза, из них с эпицентрами 12.

**>** Тестирование от **13.01.2012** до **01.09.2025**:





Мы рассмотрим результаты анализа прогностических возможностей полей произведения плотности эпицентров землетрясений на их среднюю магнитуду.

Поля отличаются по параметрам локально-ядерного сглаживания и по методам их дополнительной обработки.

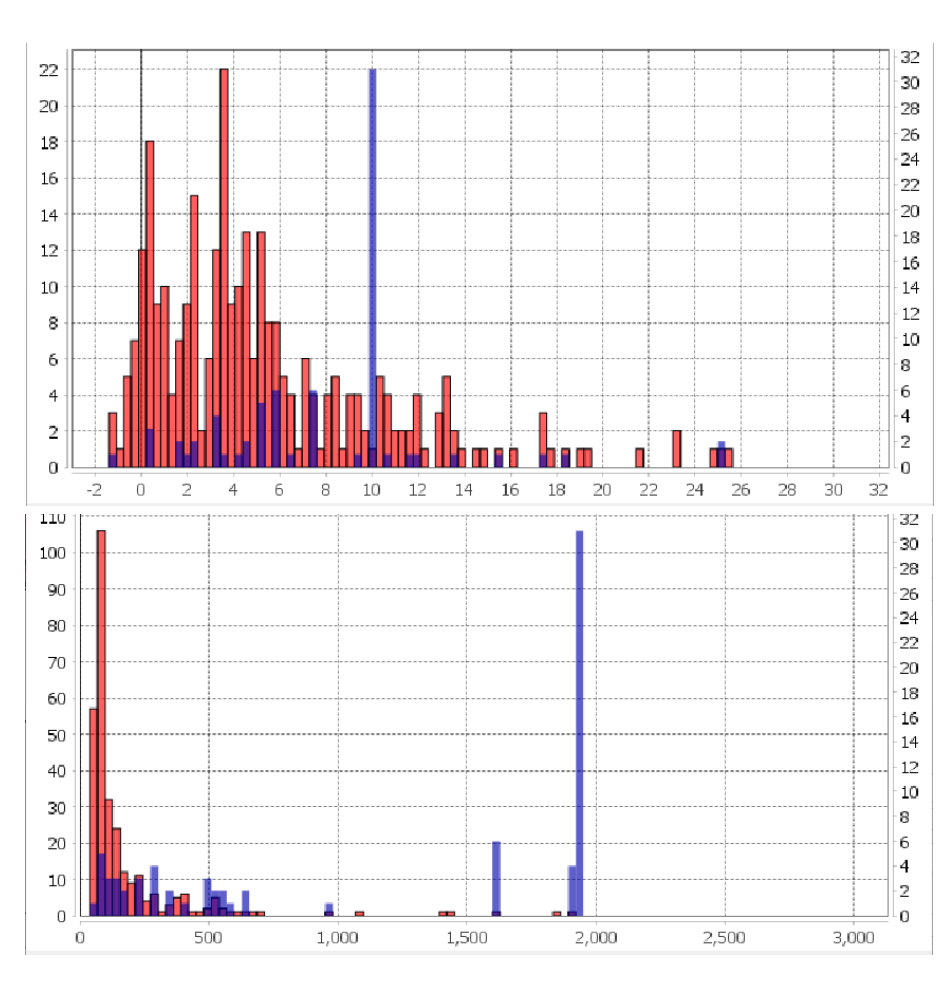
Анализировались также **4d** поля произведений плотности гипоцентров землетрясений на их среднюю магнитуду. Эти поля позволяют в некоторой степени отфильтровать по глубине шумовую компоненту сейсмичности, относящуюся к землетрясениям вне очаговой области.



#### Этап 1: поля прогноза интервалов тревоги

Значения полей на всех интервалах прогноза. Значения полей на наиболее информативных предвестниках интервалов тревоги.

- ▶Поле t-статистики Стьюдента от адаптивно сглаженного (метод AWS) поля максимальных по глубине значений произведений плотности гипоцентров землетрясений на их среднюю магнитуду, *R*=130 км, *H*=30 км, *T*=365 суток.
- ightharpoonupПоле произведений плотности эпицентров землетрясений на их среднюю магнитуду, R=60 км, T=100 суток.





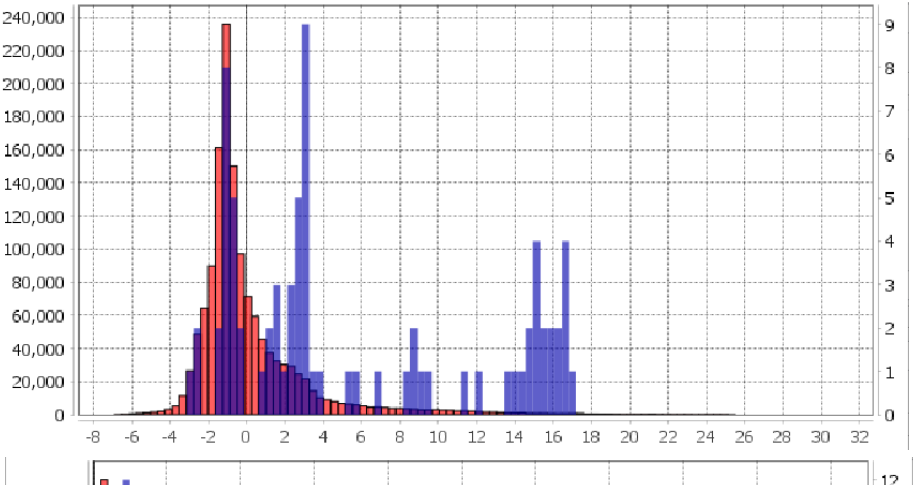
# Этап 2: поля прогноза зон тревоги на интервалах

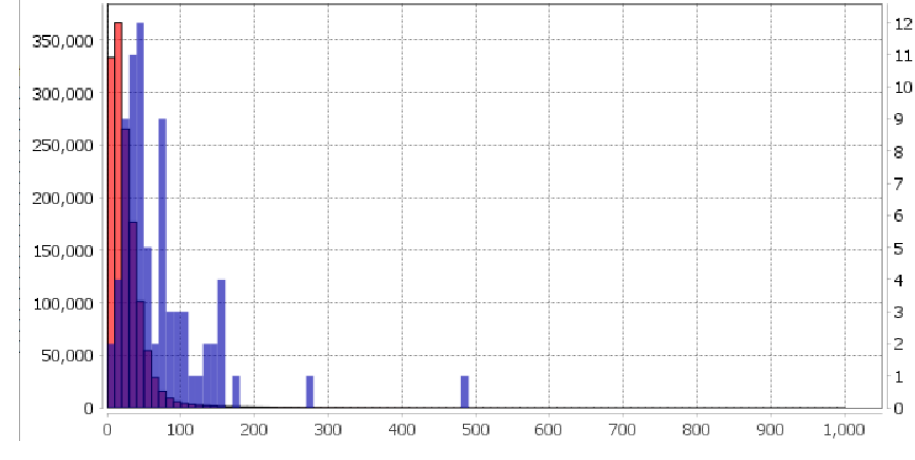
тревоги

▶Поле t-статистики Стьюдента от адаптивно сглаженного (метод AWS) поля максимальных по глубине значений произведений плотности гипоцентров землетрясений на их среднюю магнитуду, *R*=130 км, *H*=30 км, *T*=365 суток.

ightharpoonupПоле произведений плотности эпицентров землетрясений на их среднюю магнитуду, R=60 км, T=100 суток.

Значения полей на всех узлах сетки зоны анализа. Значения полей на узлах наиболее информативных предвестников землетрясений.







#### Прогноз по статистике от 13.01.2012 до 01.09.2025

Всего: **166** интервалов прогноза, из них **20** с эпицентрами. По всей статистике выделено: **56** интервалов тревоги, из них **16** с эпицентрами в зоне анализа и **14** со всеми эпицентрами в зонах тревоги. При этом доля средней площади зон тревоги составляет **40%**. Вероятность обнаружения:

$$U_{\text{интерв. тревоги}} = 16/20 = 0.8,$$
 $U_{30\text{H тревоги}} = 14/20 = 0.7.$ 

# Прогноз на очередной интервал $t_0$ =01.09.2025:

По прогнозному значению объёма тревоги выделено: **42** интервала тревоги, из них **12** с эпицентрами в зоне анализа и **11** со всеми эпицентрами в зонах тревоги. При этом доля средней площади зон тревоги от площади зоны анализа составляет **40%**. Вероятности успешности прогноза:

$$P_{\text{инт. тревоги}}(t_0)=12/42=0.29,$$
 $P_{\text{зон тревоги}}(t_0)=11/42=0.26.$ 

# https://gis.iitp.ru/prognosis-gps/ (Одноэтапный прогноз)

### Камчатка

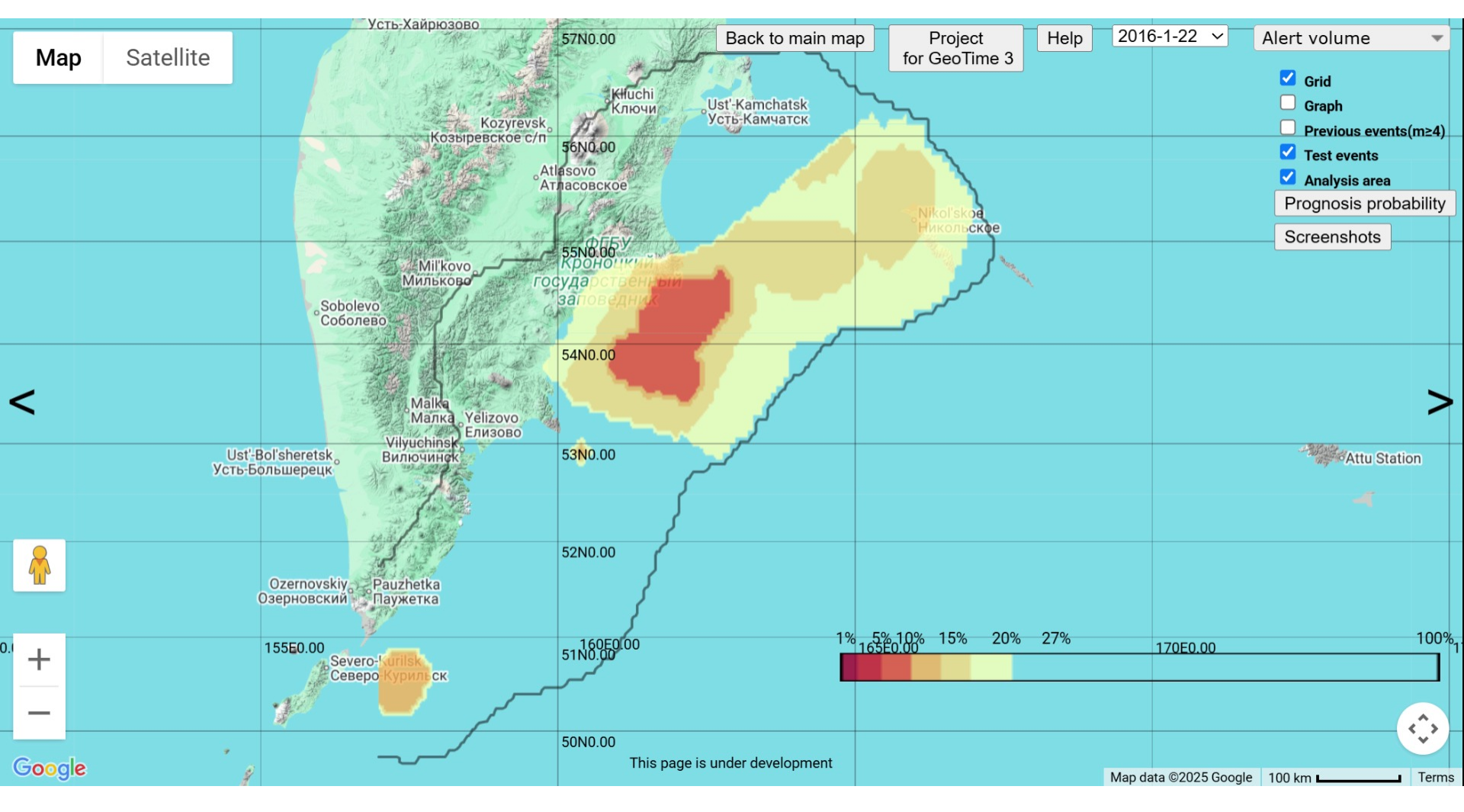
Обучение от **01.01.2001**.

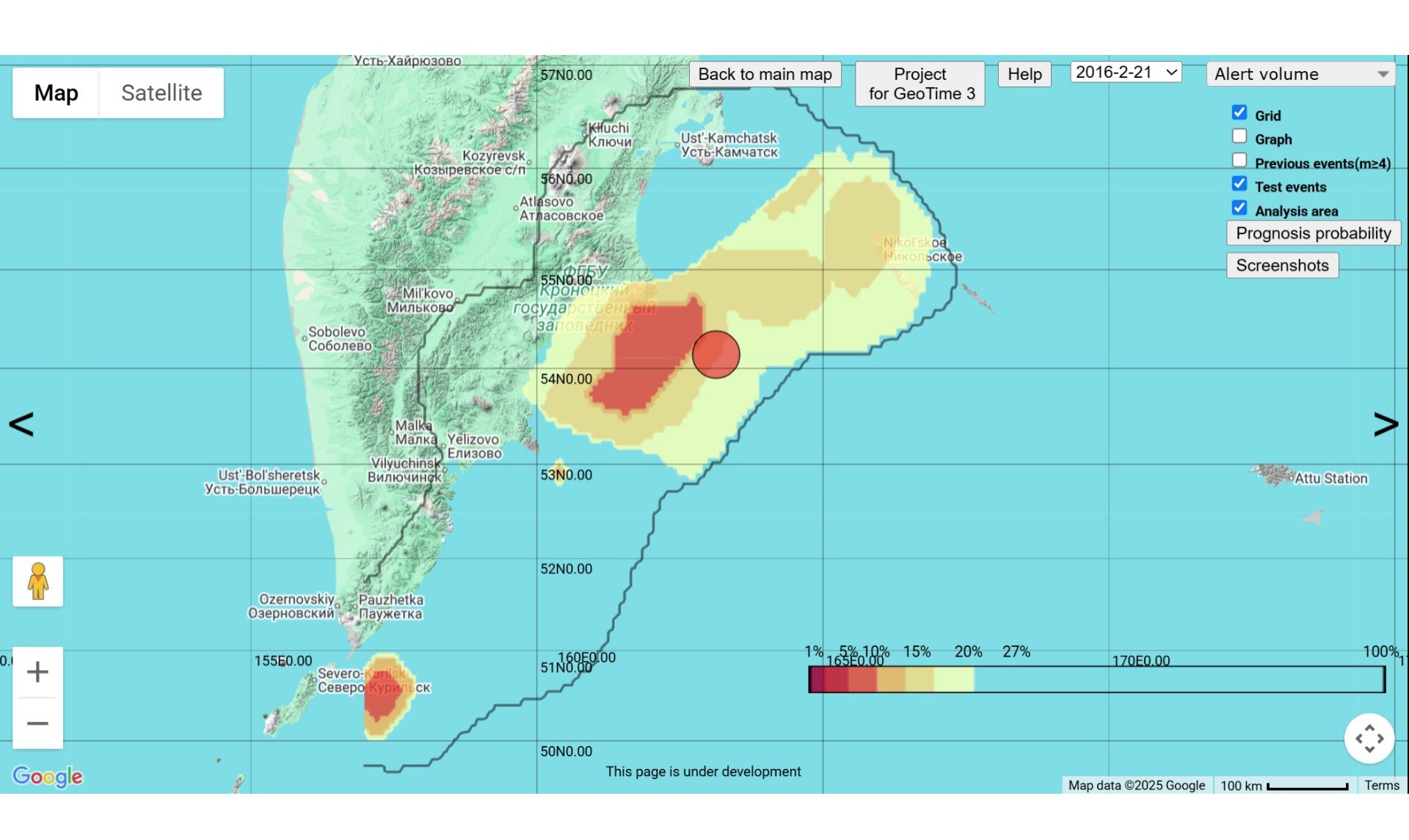
**Тестирование 13.01.2012**.

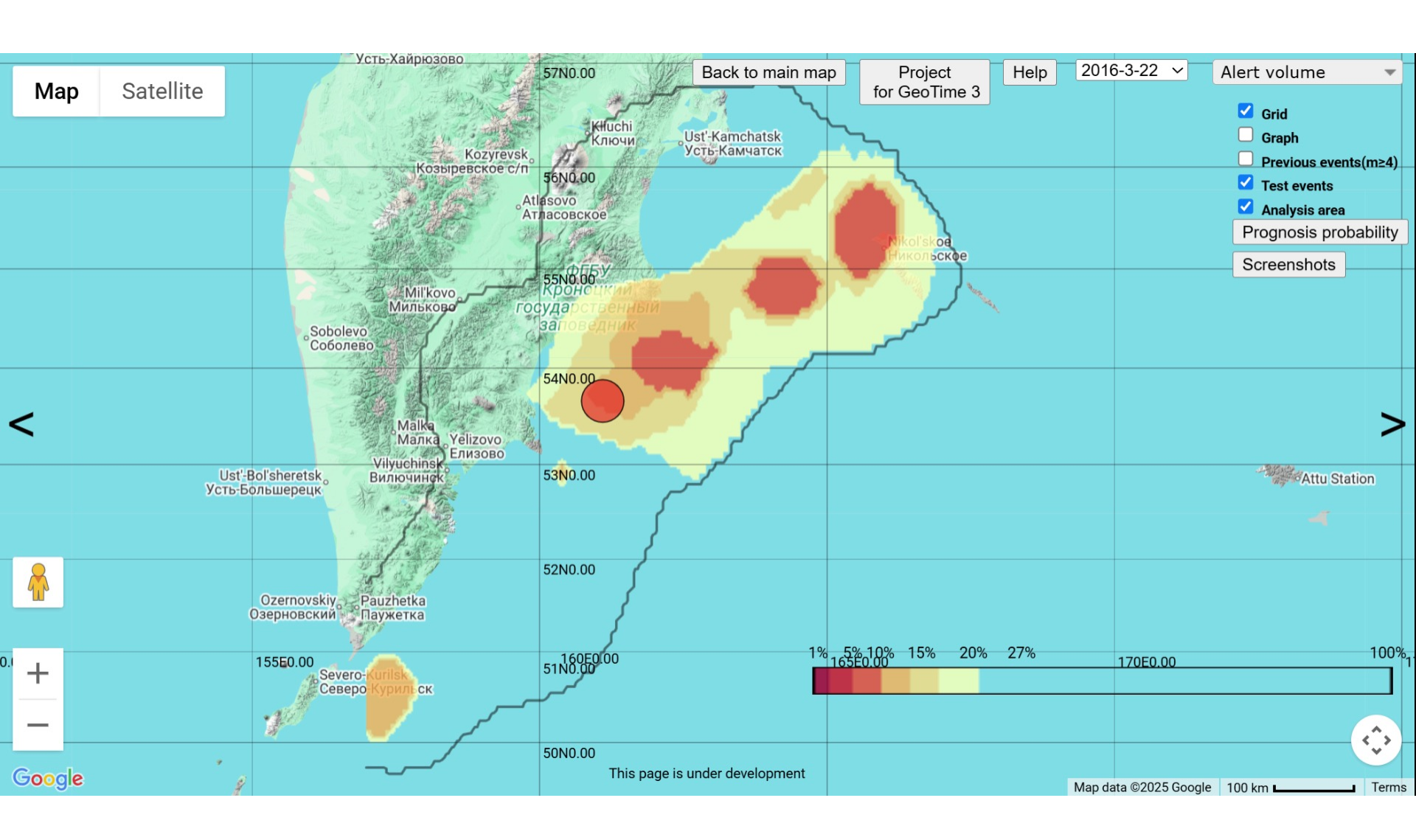
Volume of alarm (expected)	Volume of alarm (observed)	Number of predicted events	Probability of detection U		
1.0%	2,10%	7	8,54%		
5.0%	8,23%	34	41,46%		
10.0%	17,27%	40	48,78%		
15.0%	23,91%	51	62,20%		
20.0%	31,48%	58	70,73%		
27.0%	39,99%	62	75,61%		

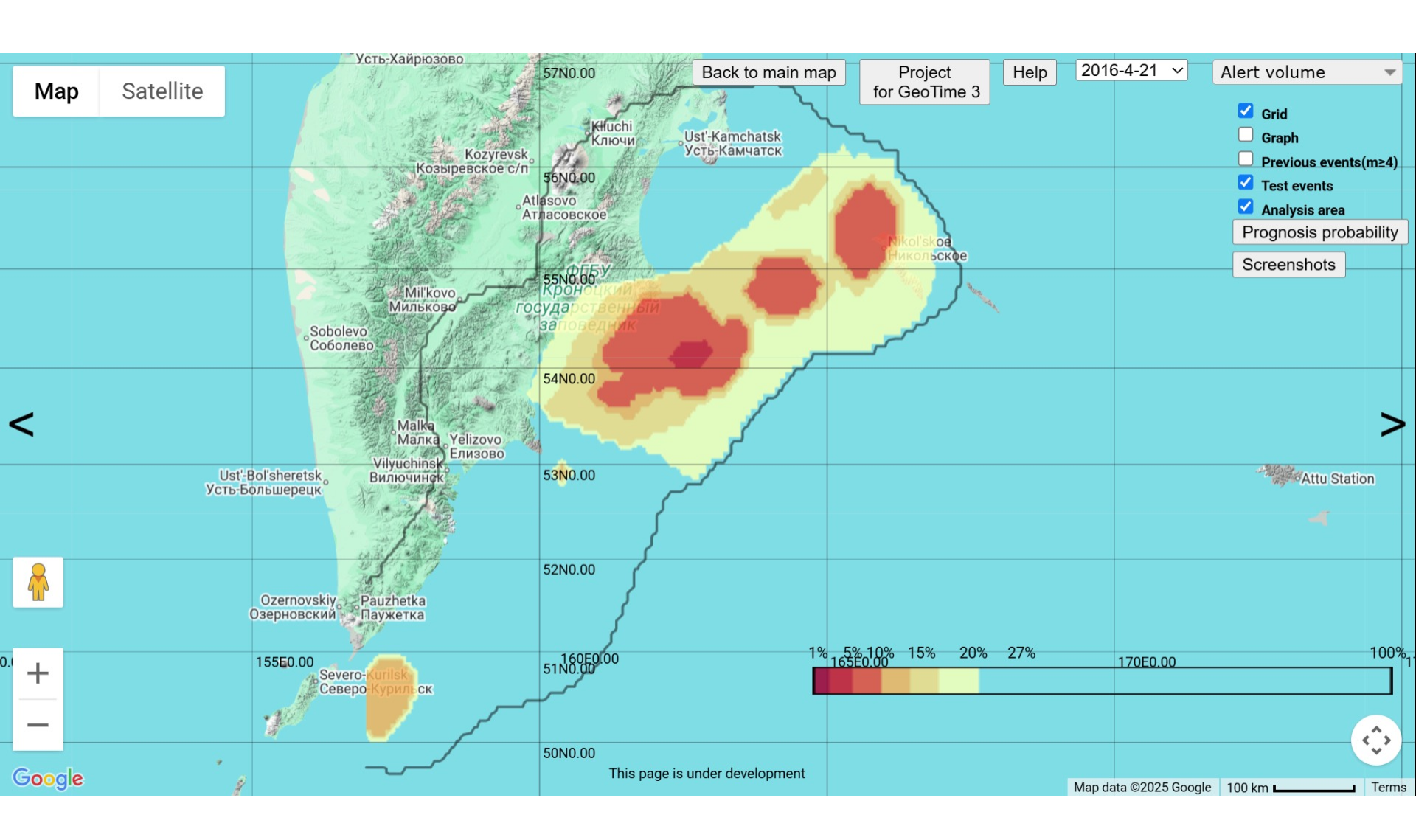


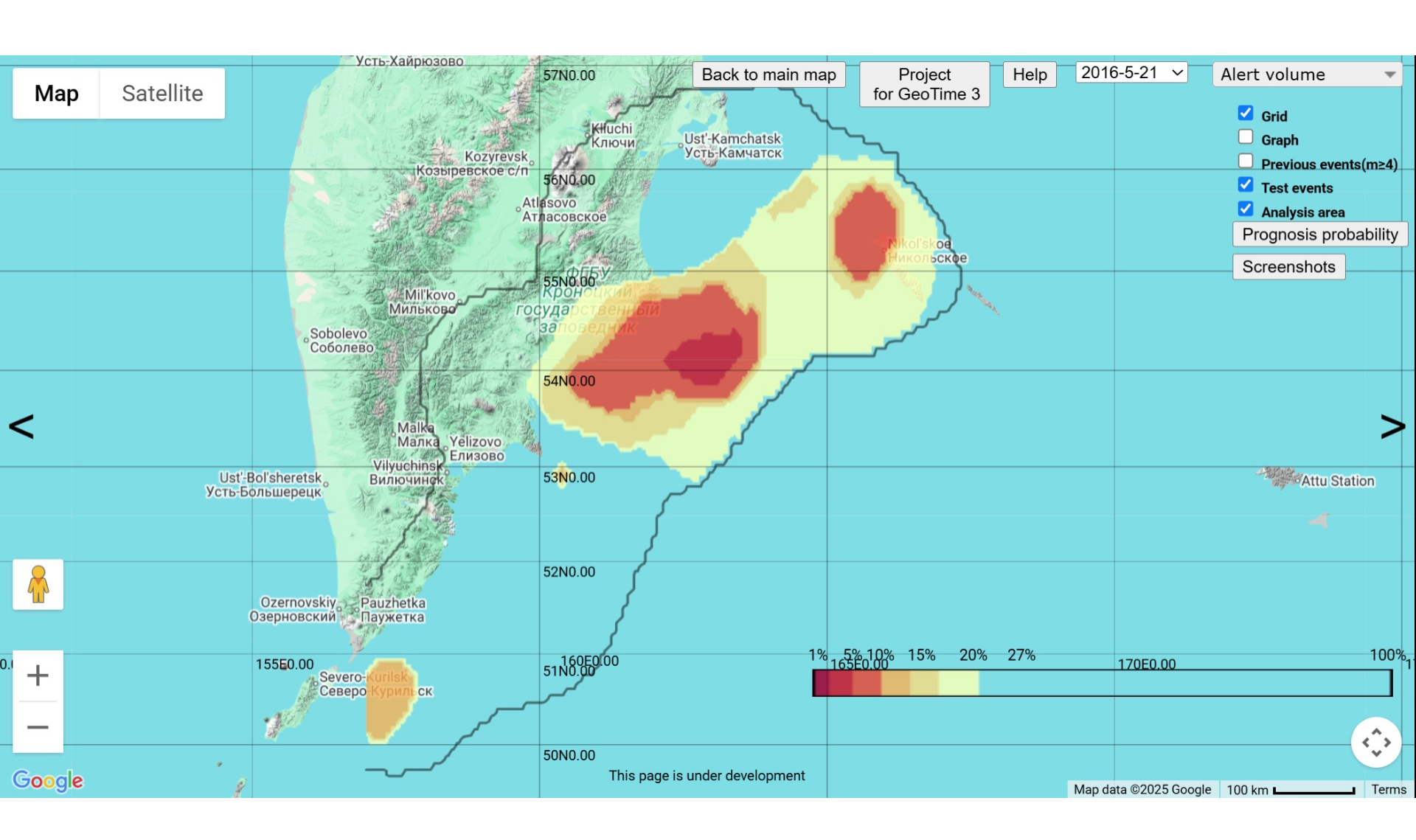
# Прогноз 22.01.2016-01.10.2025. Интервалы в 30 суток.

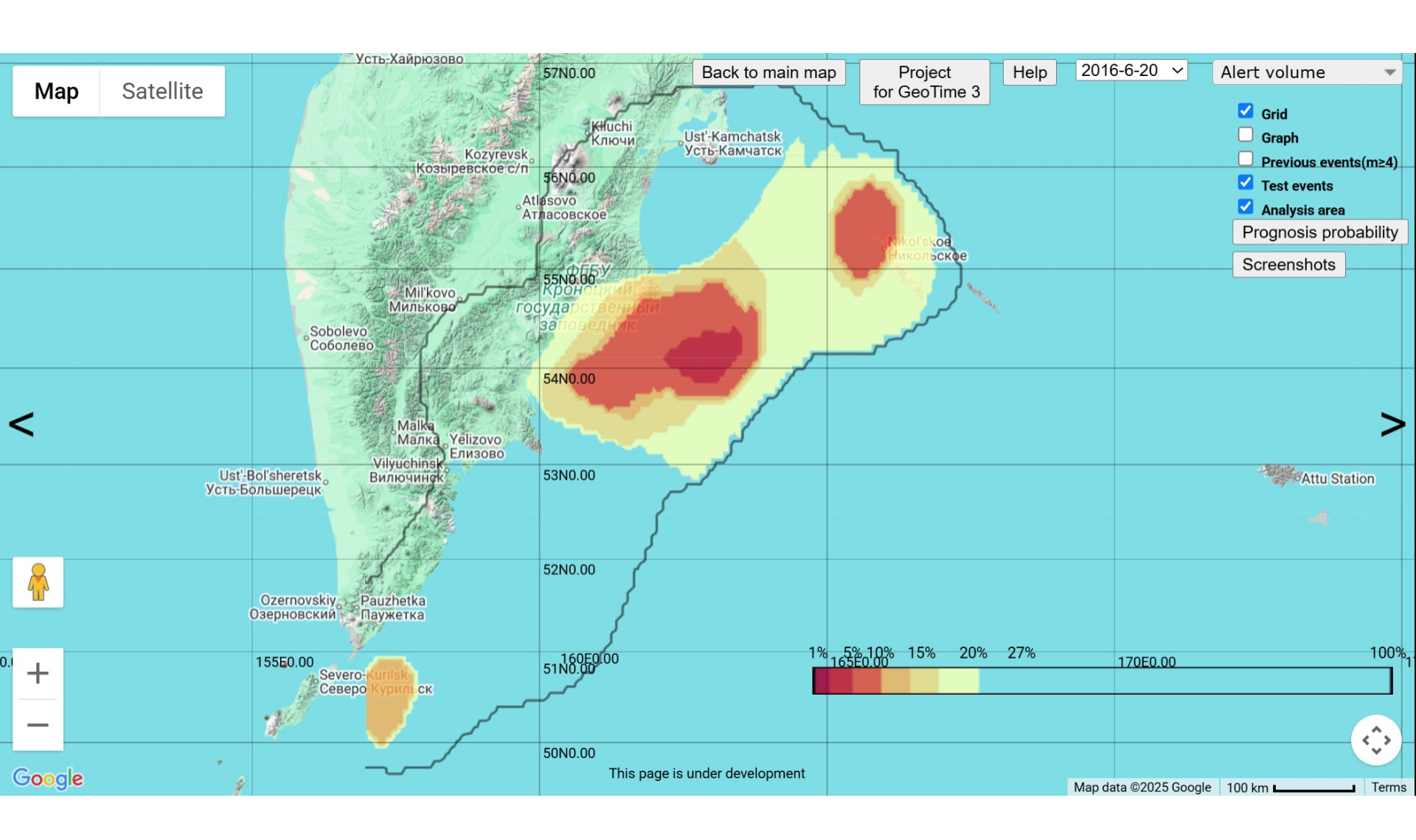


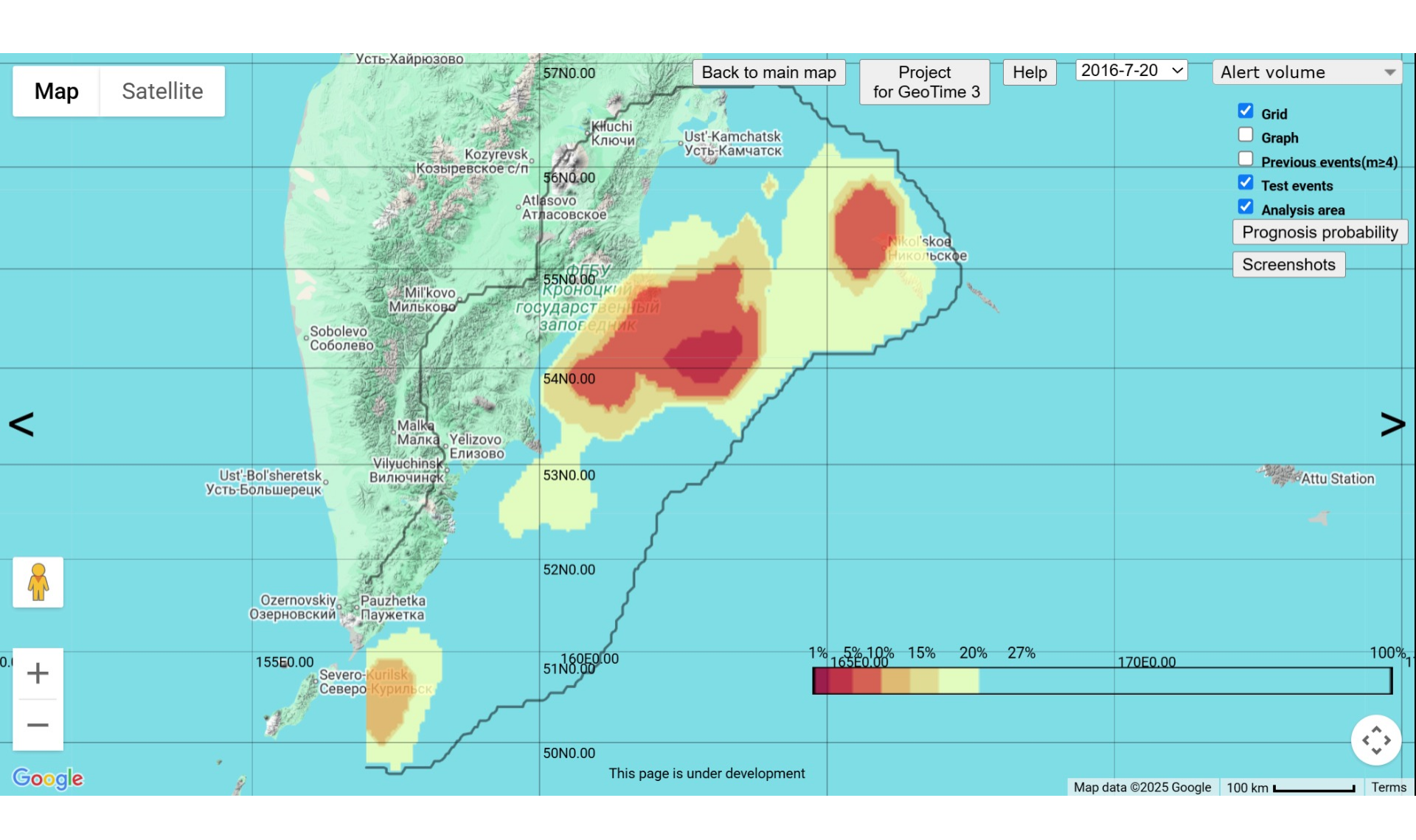


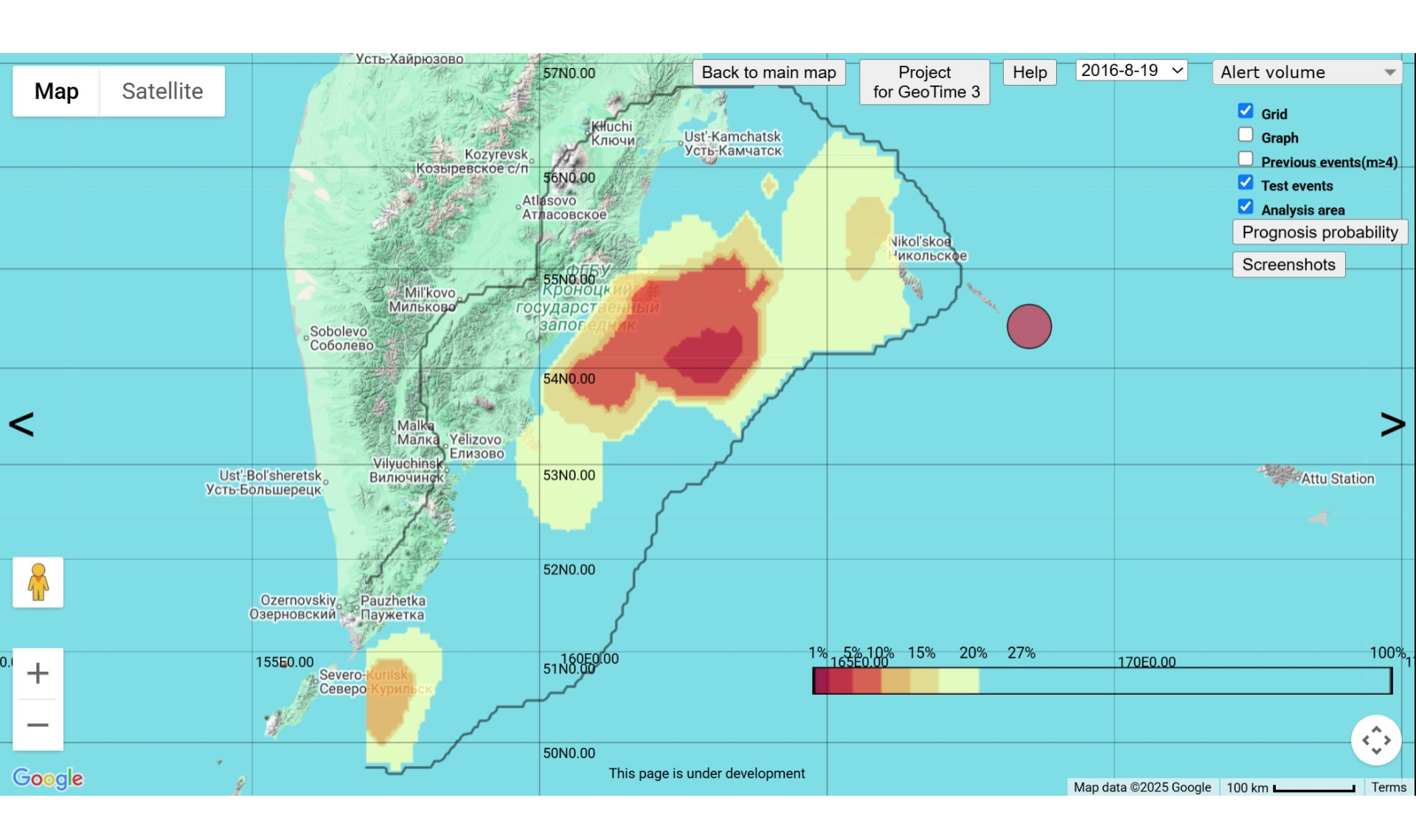


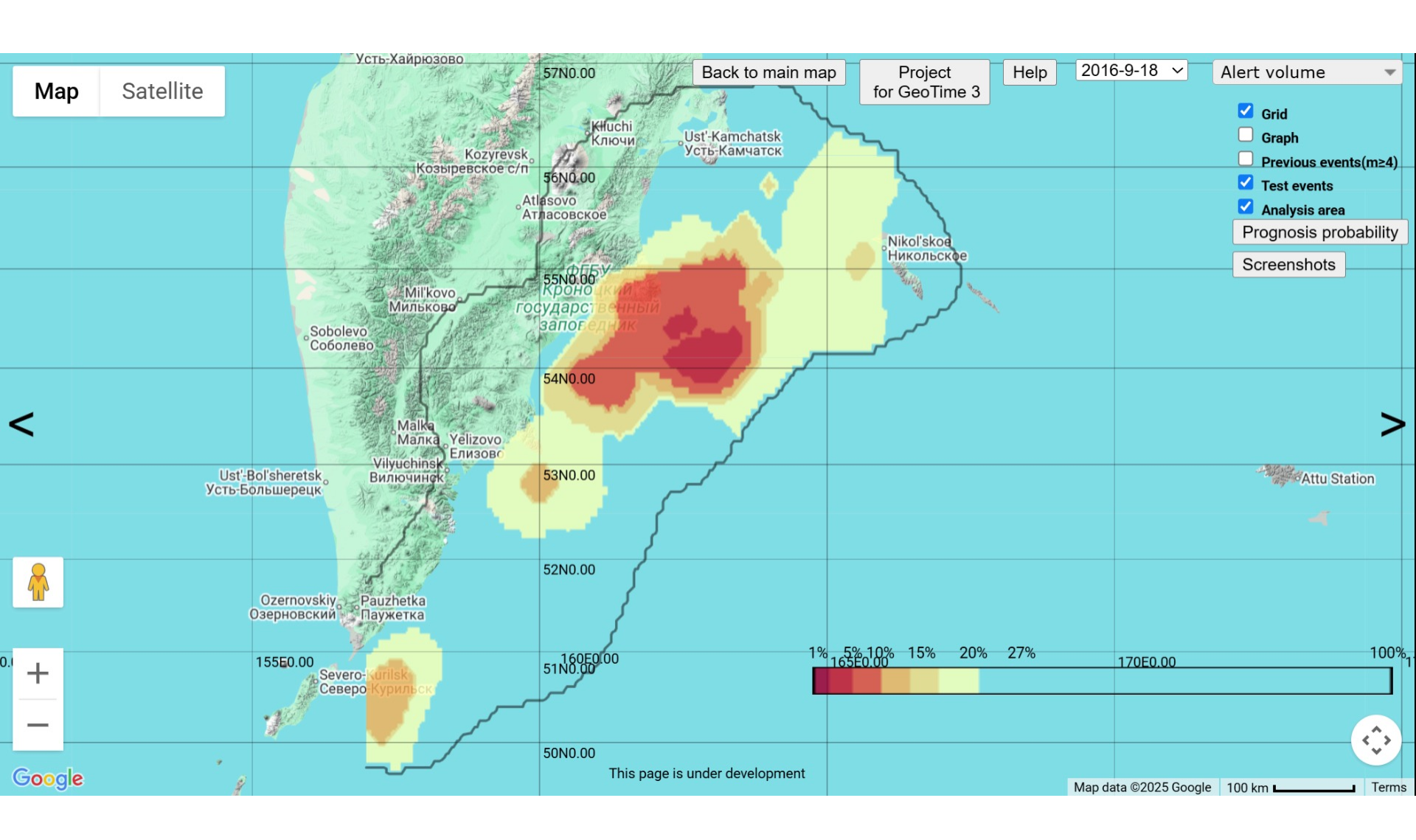


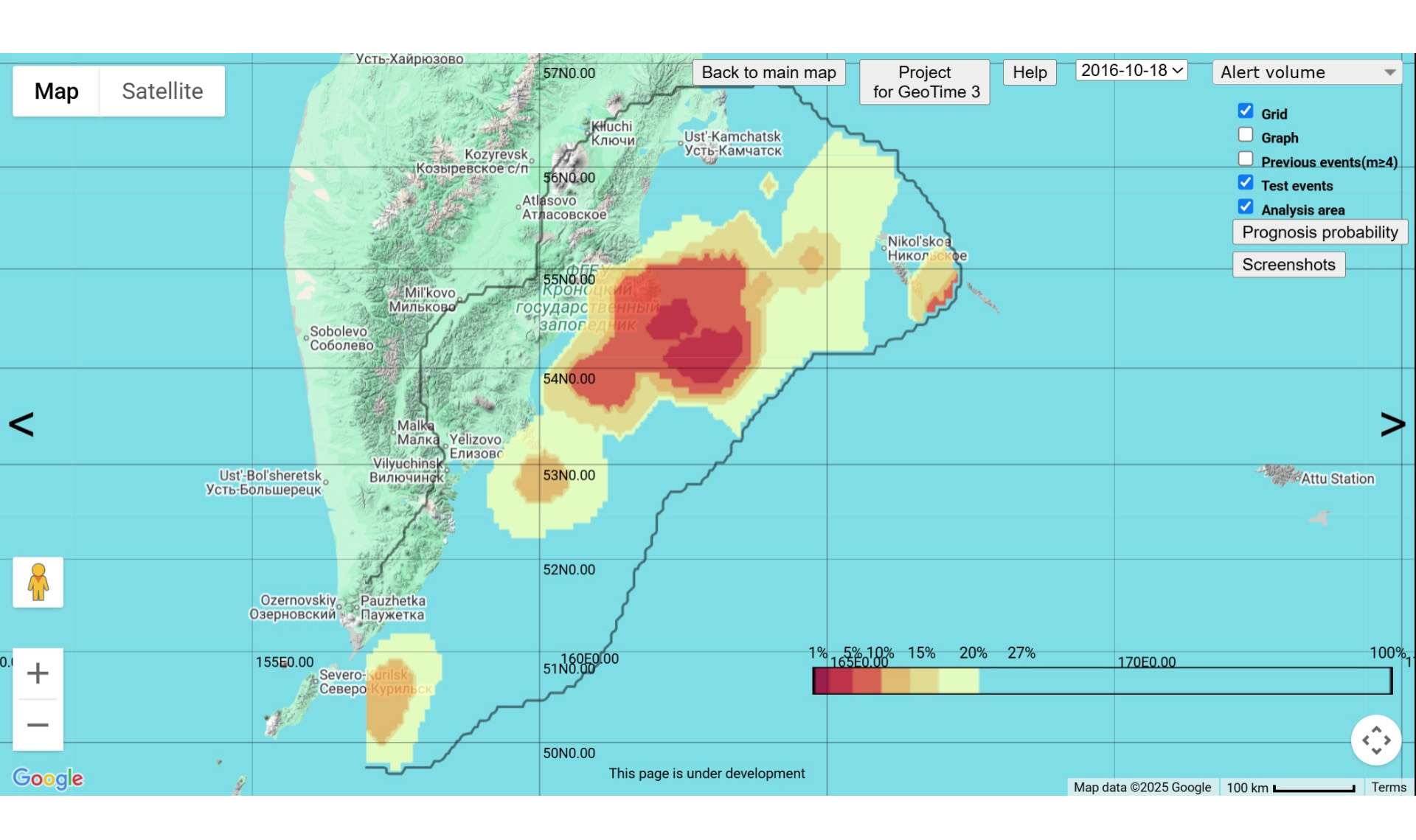


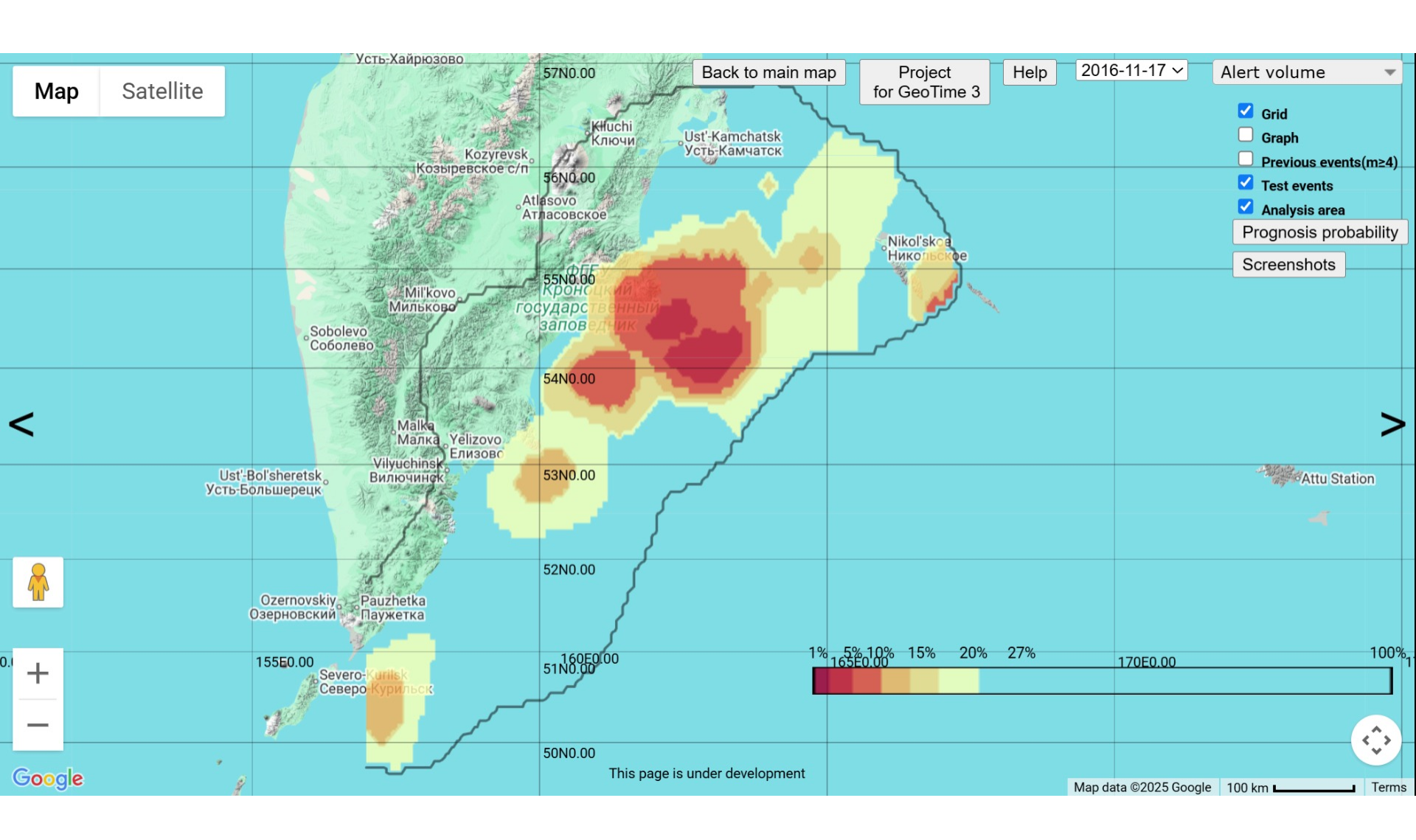


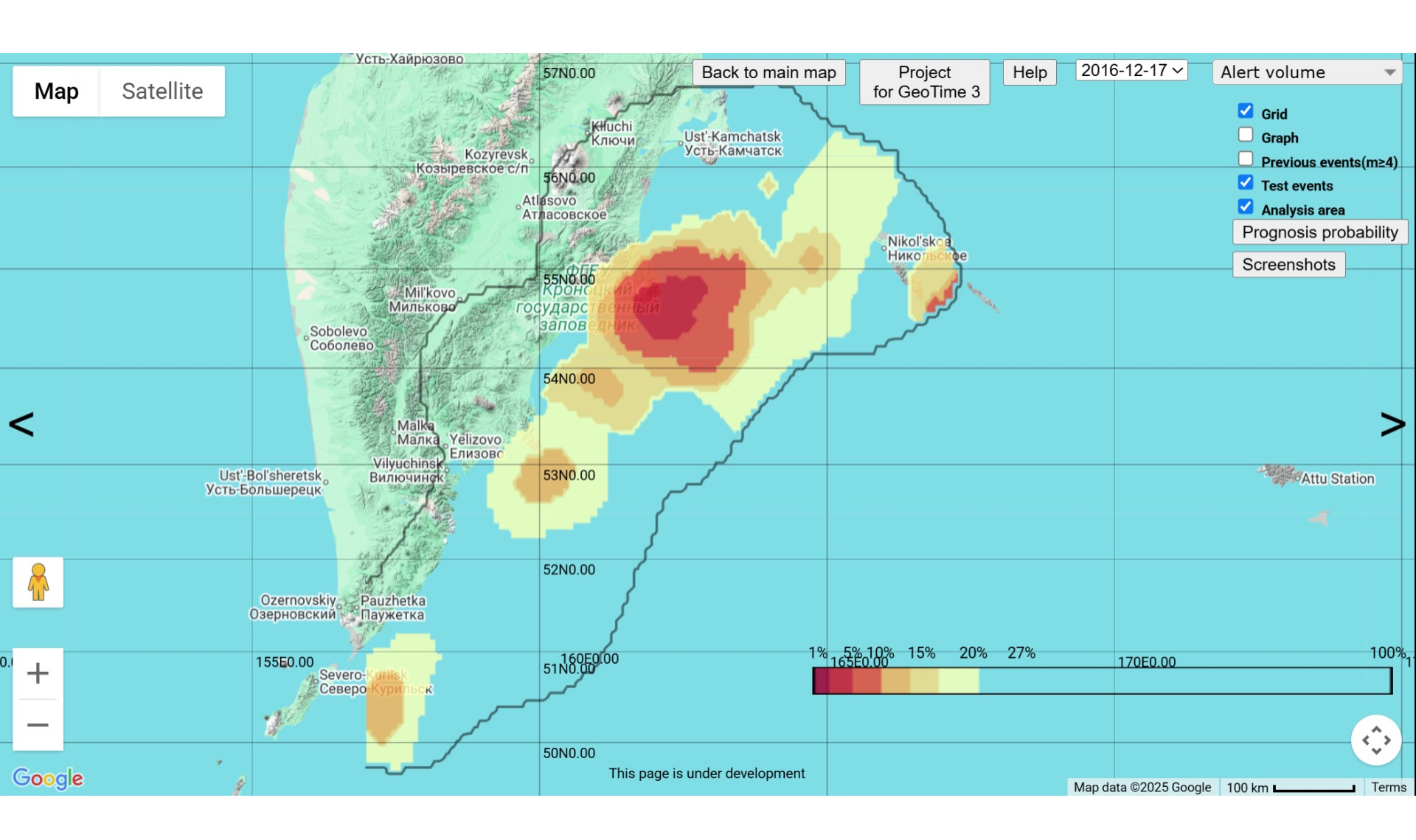


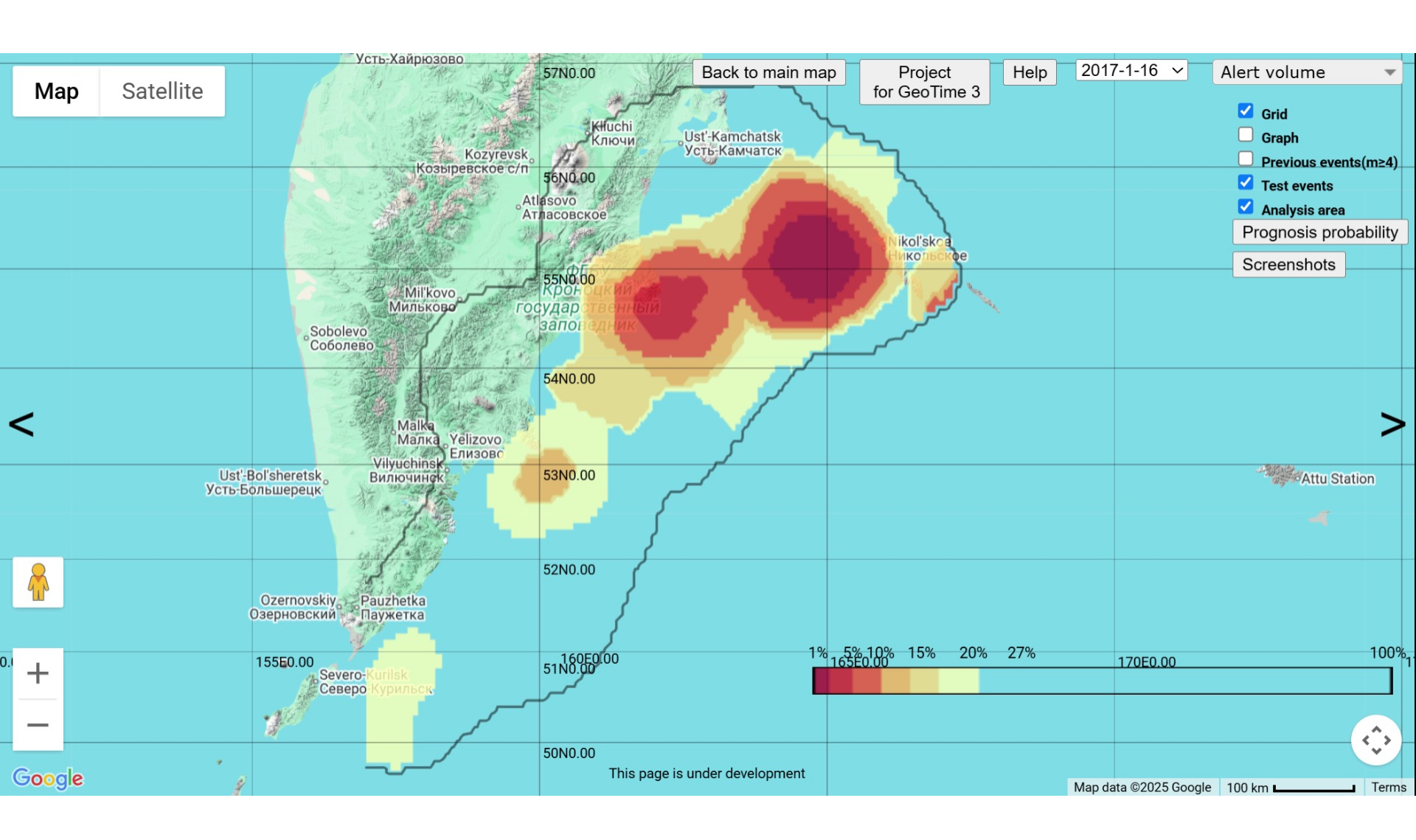


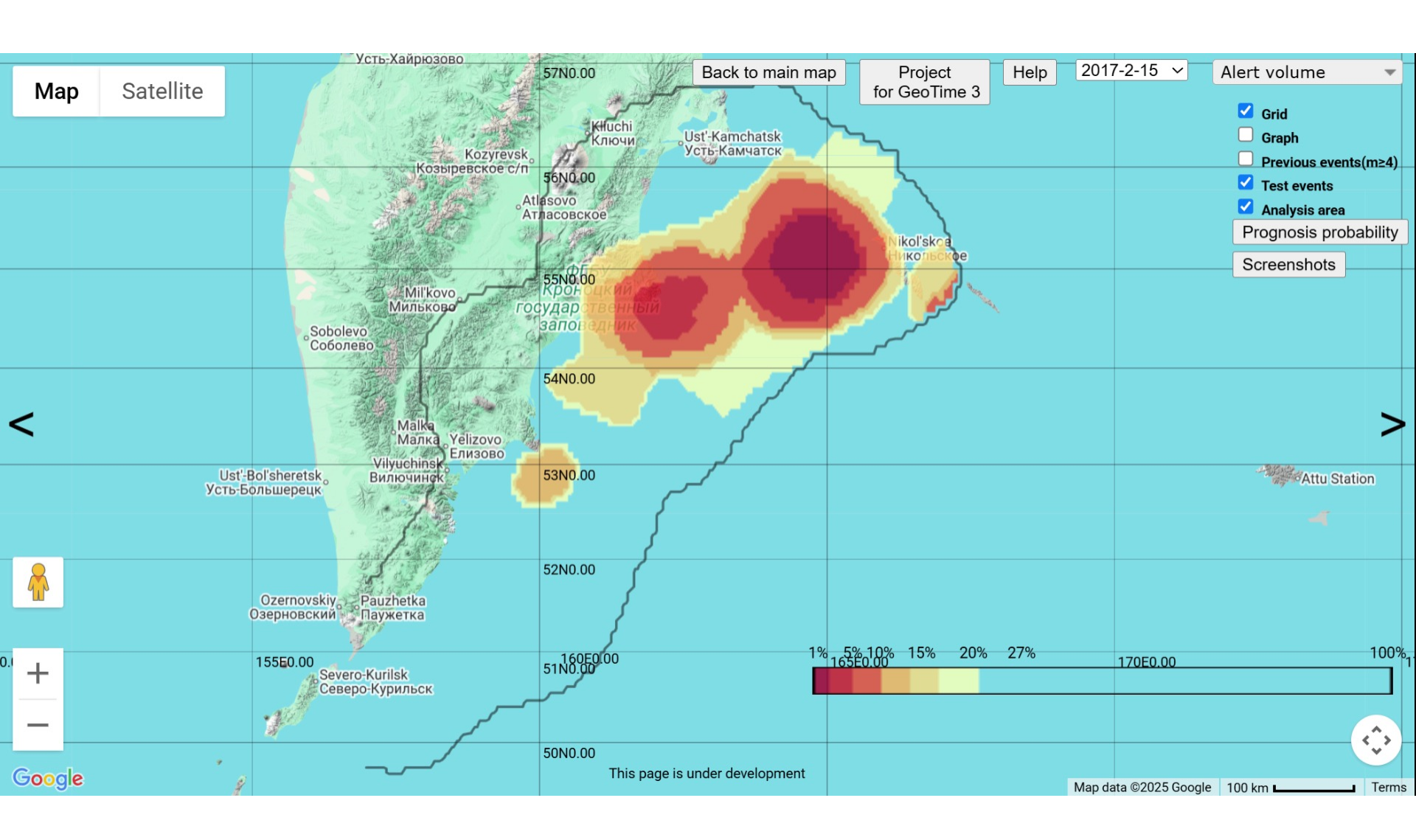


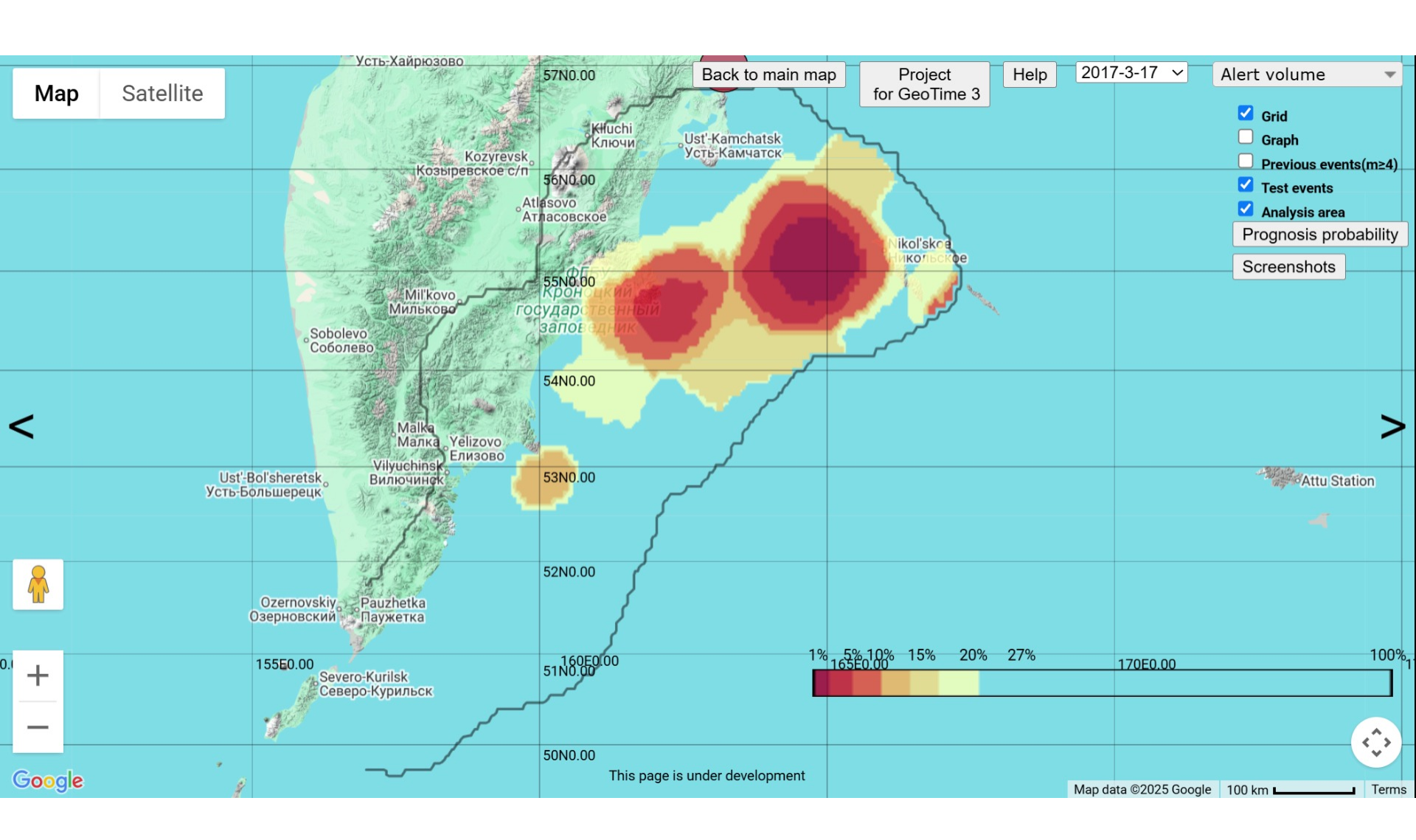


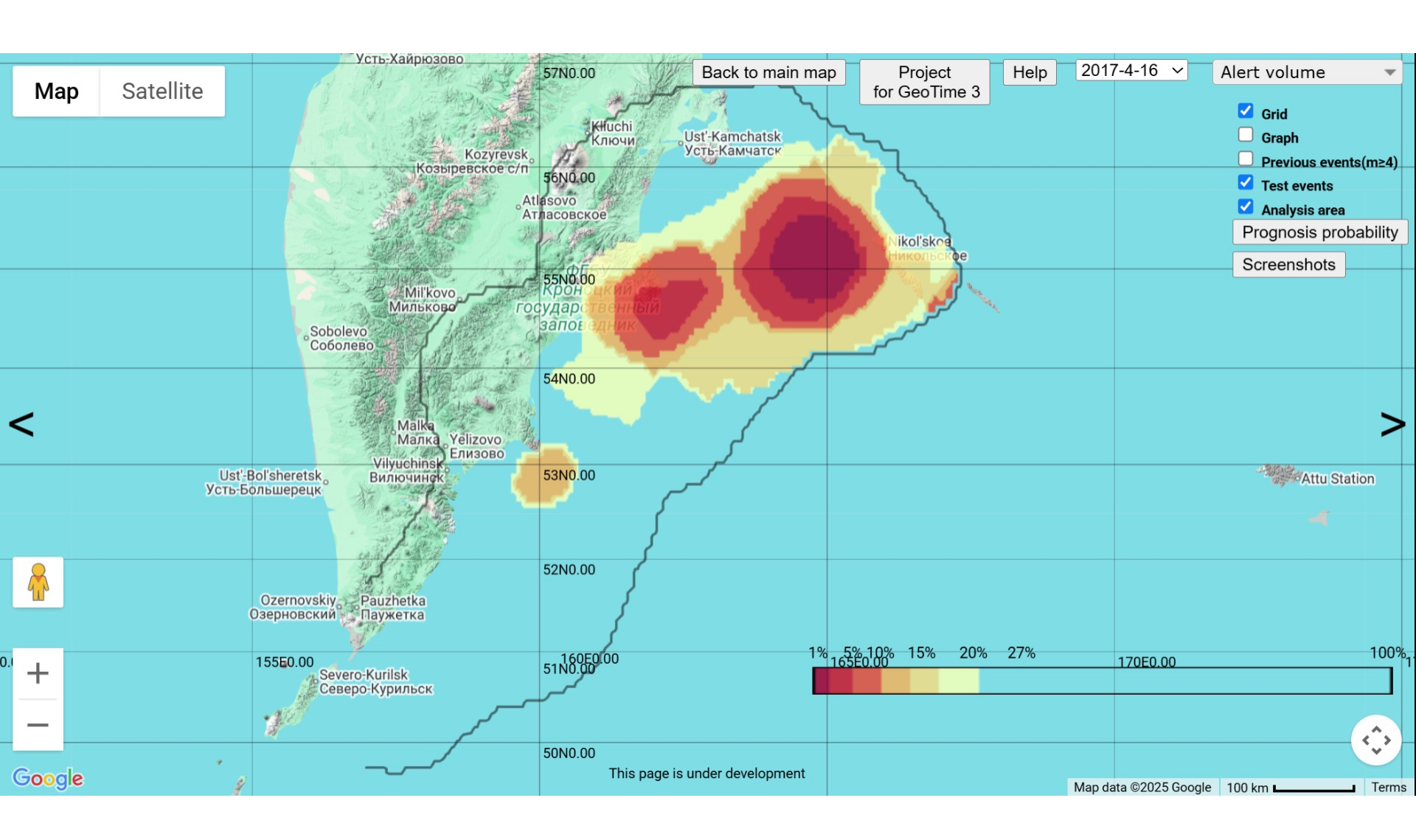


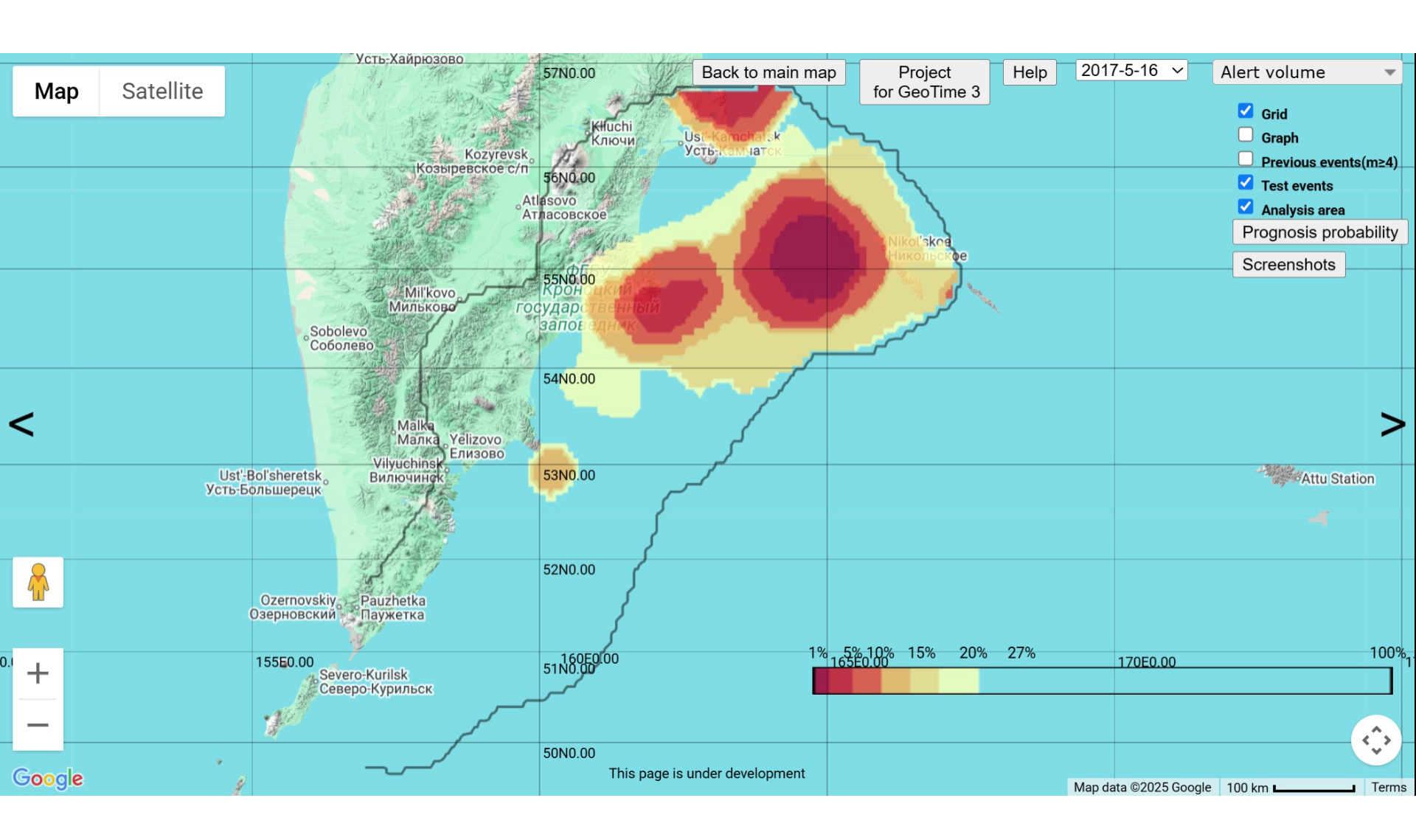


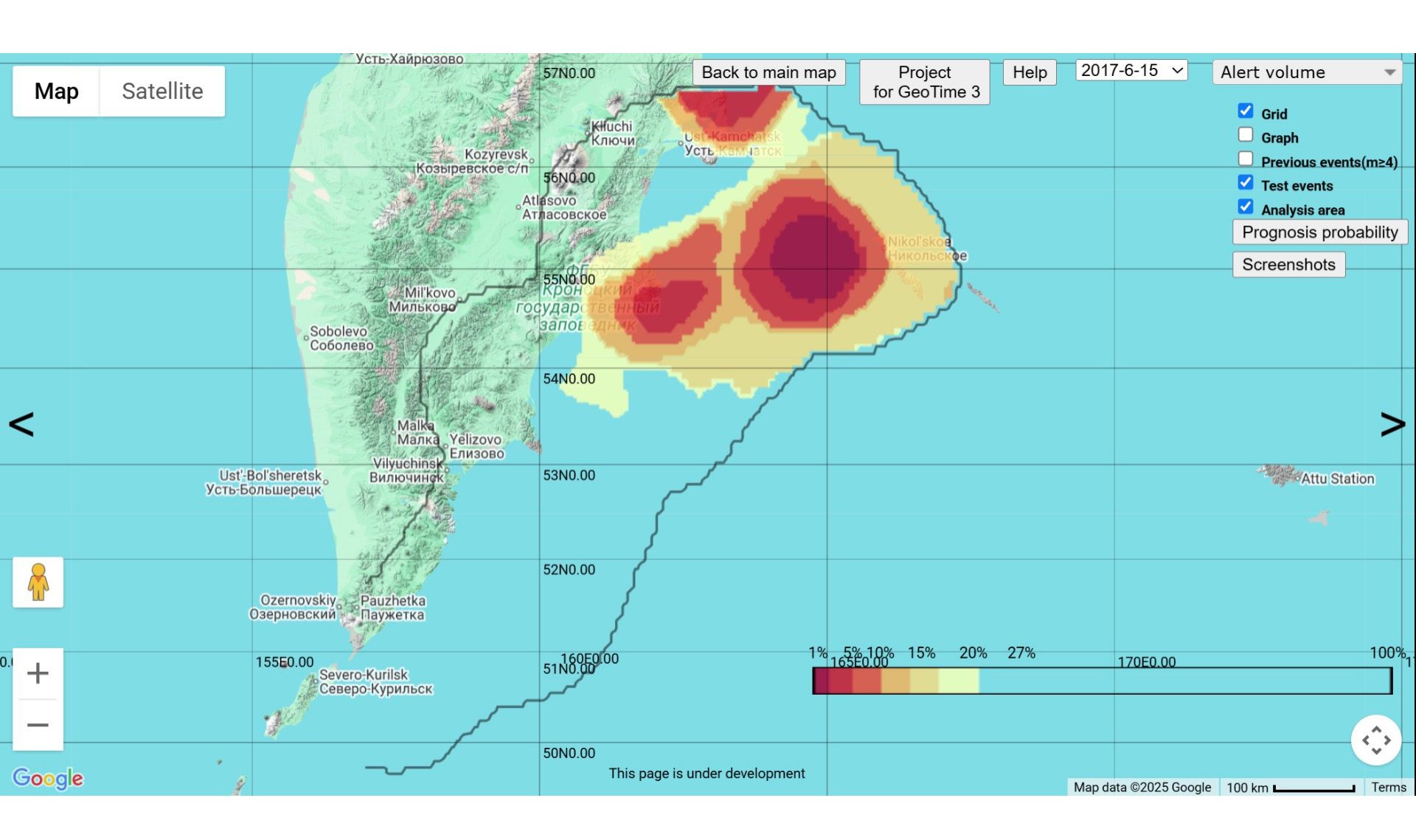


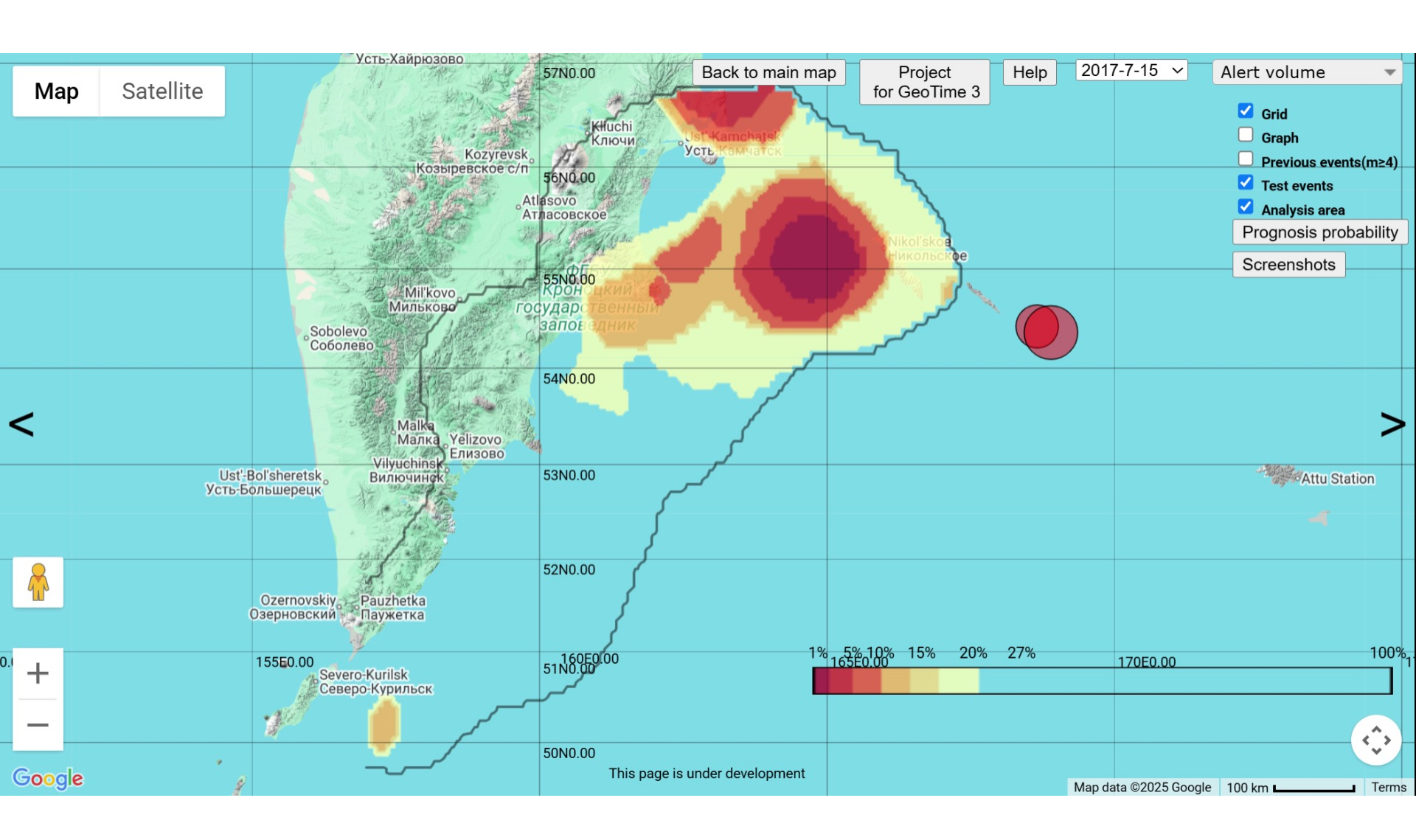


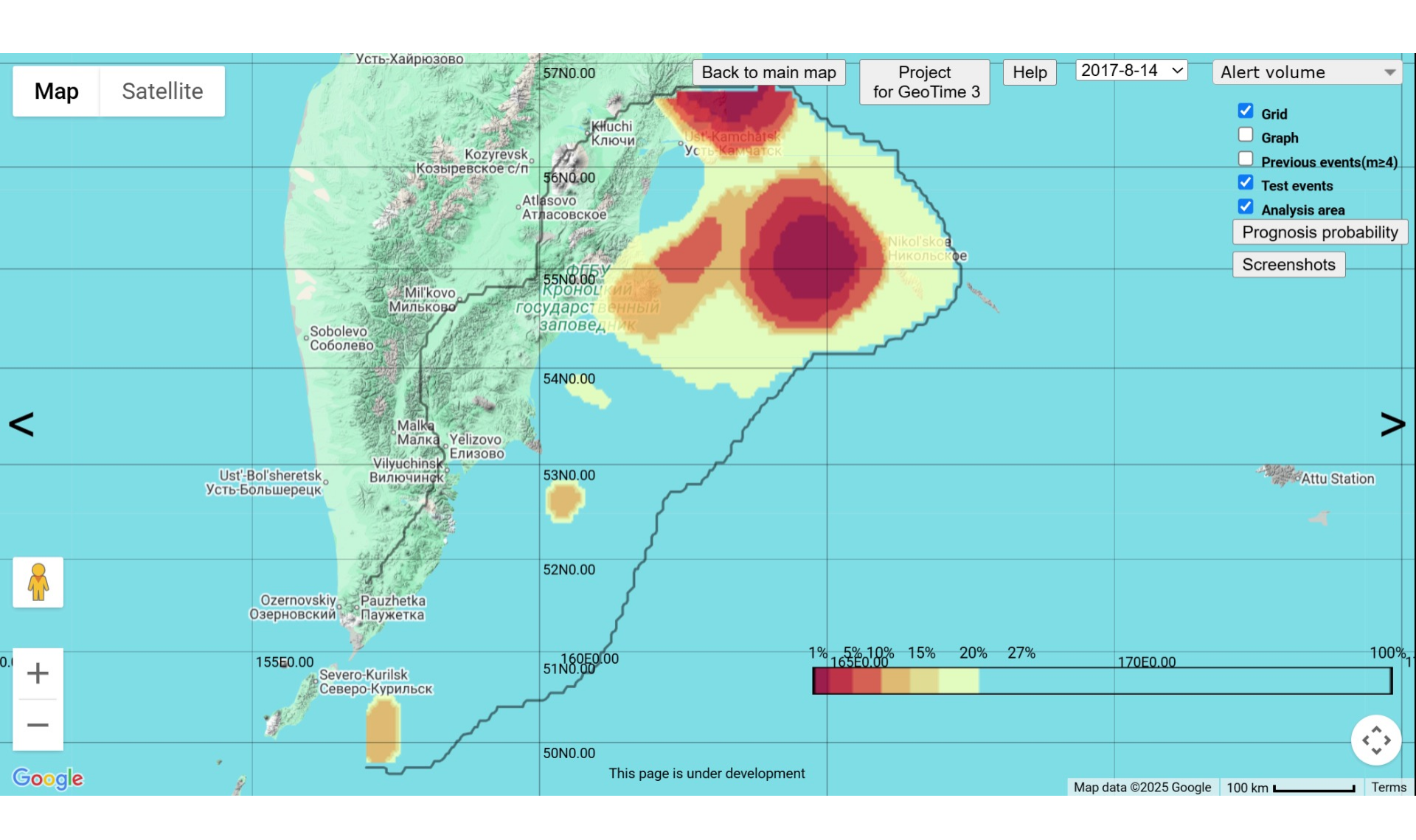


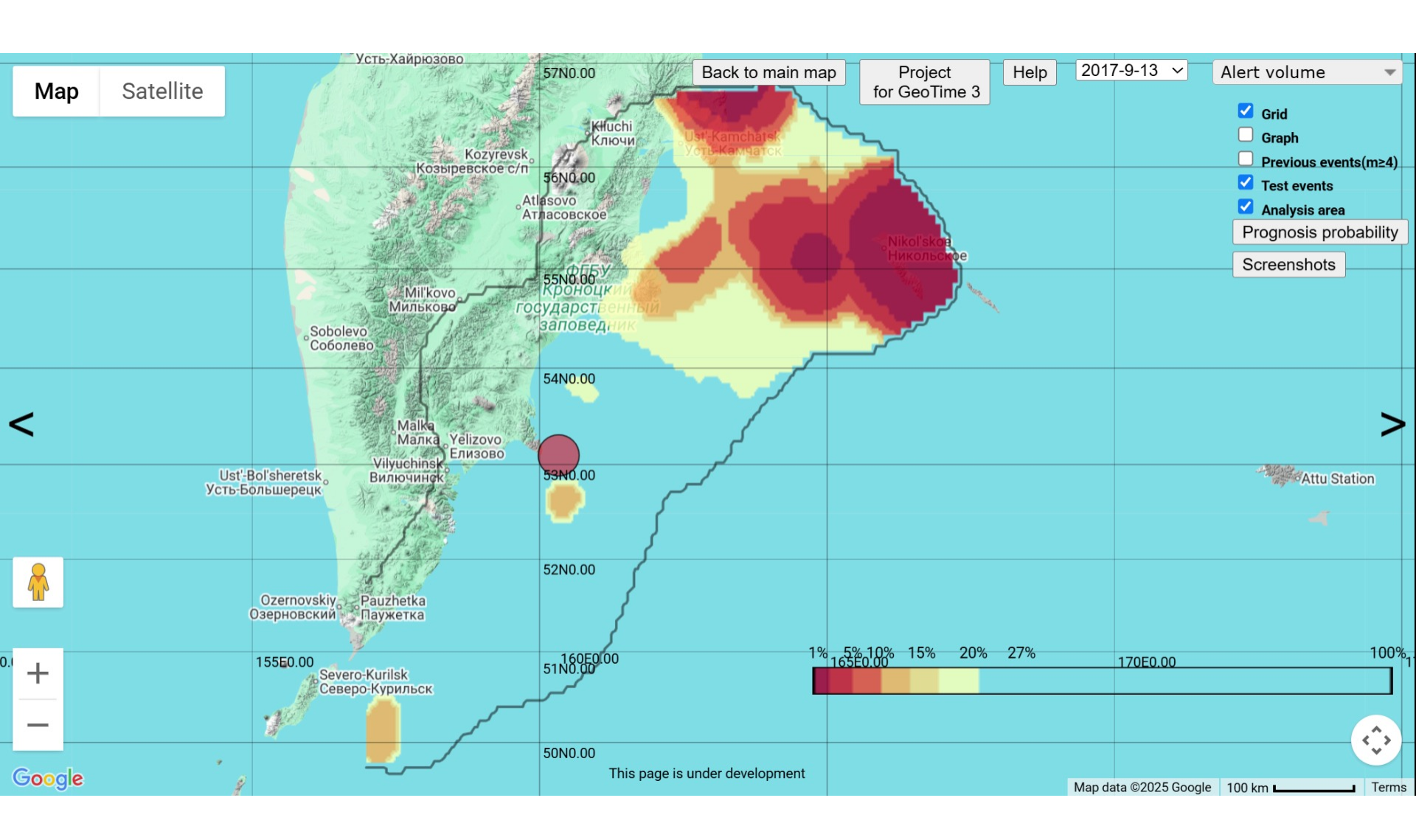


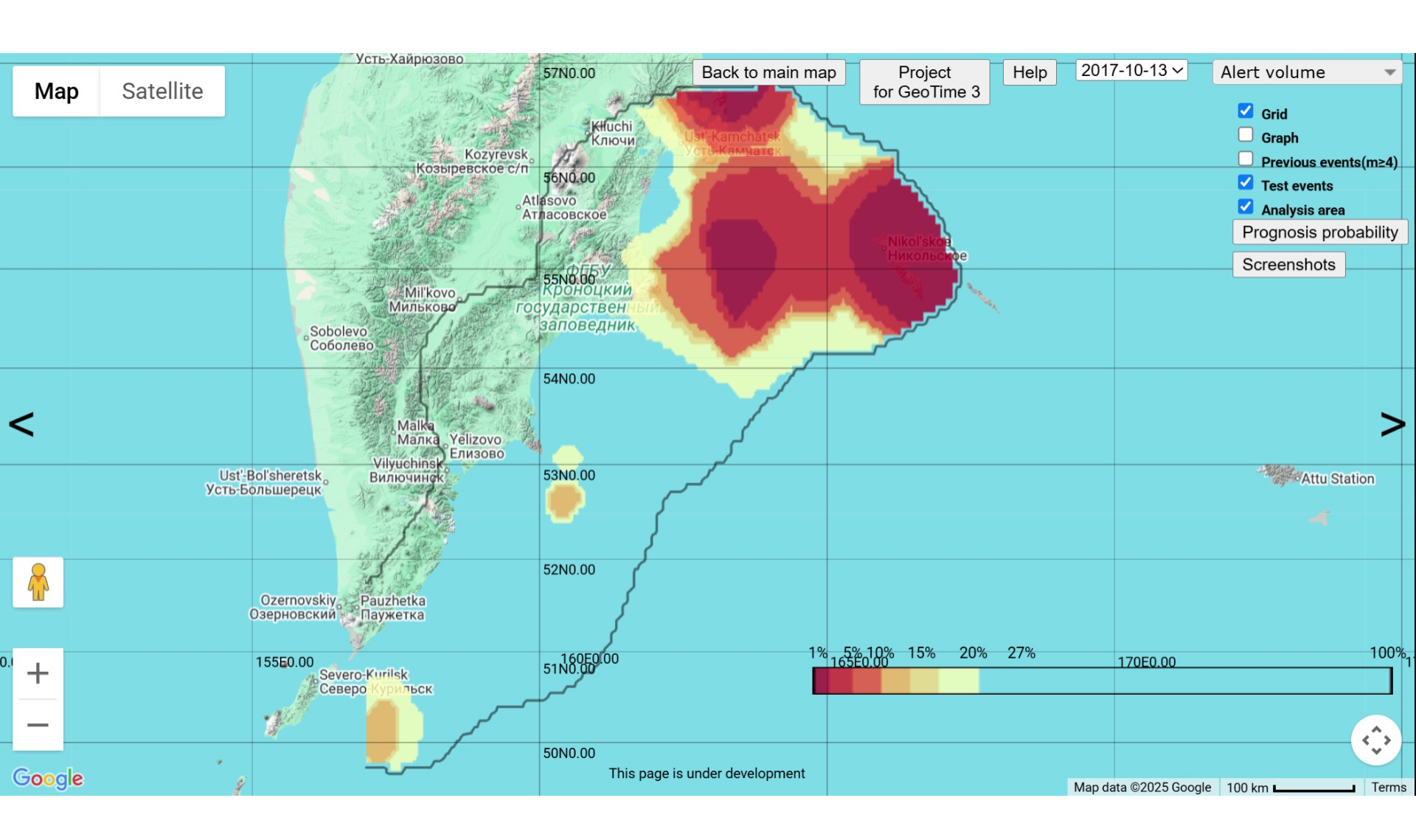


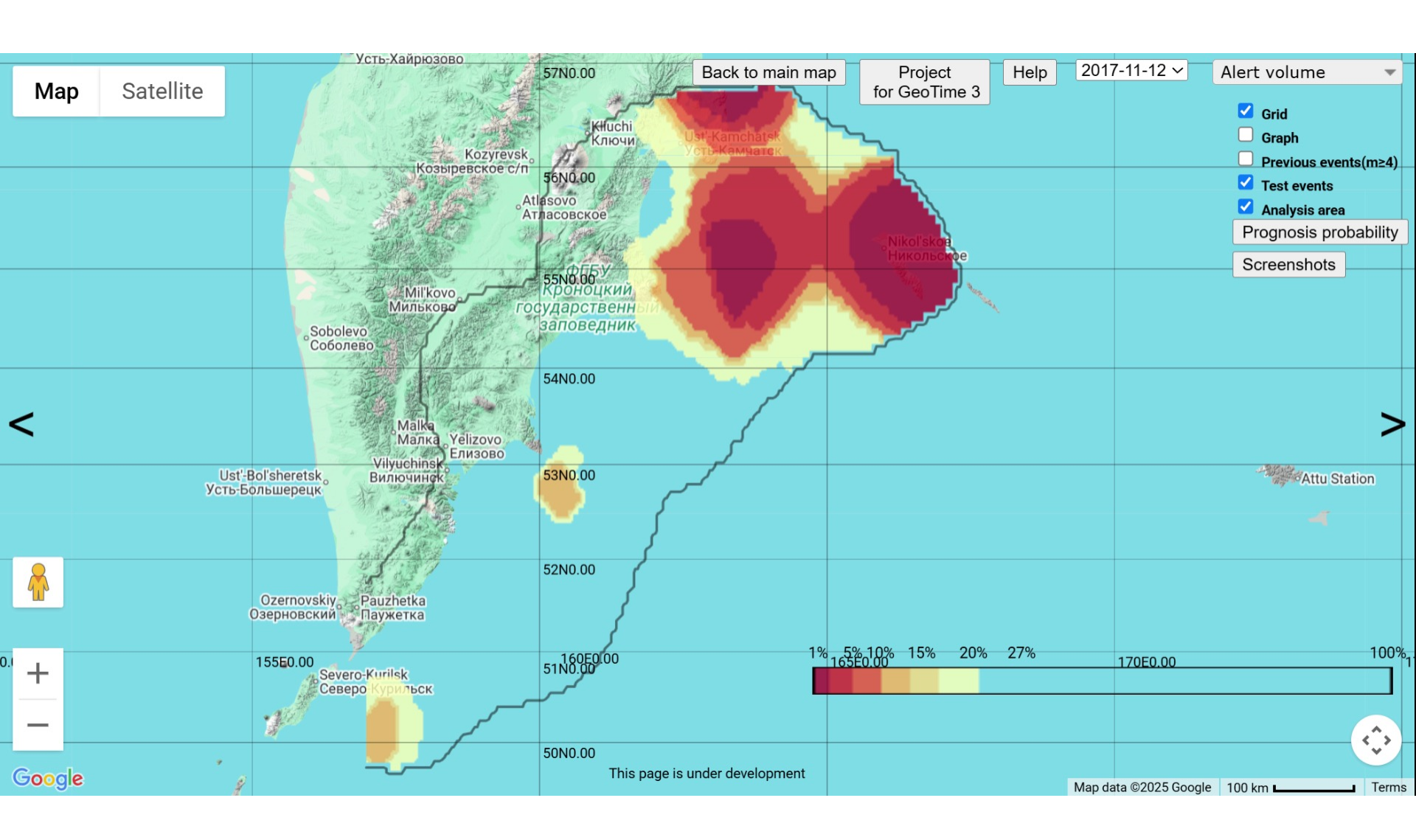


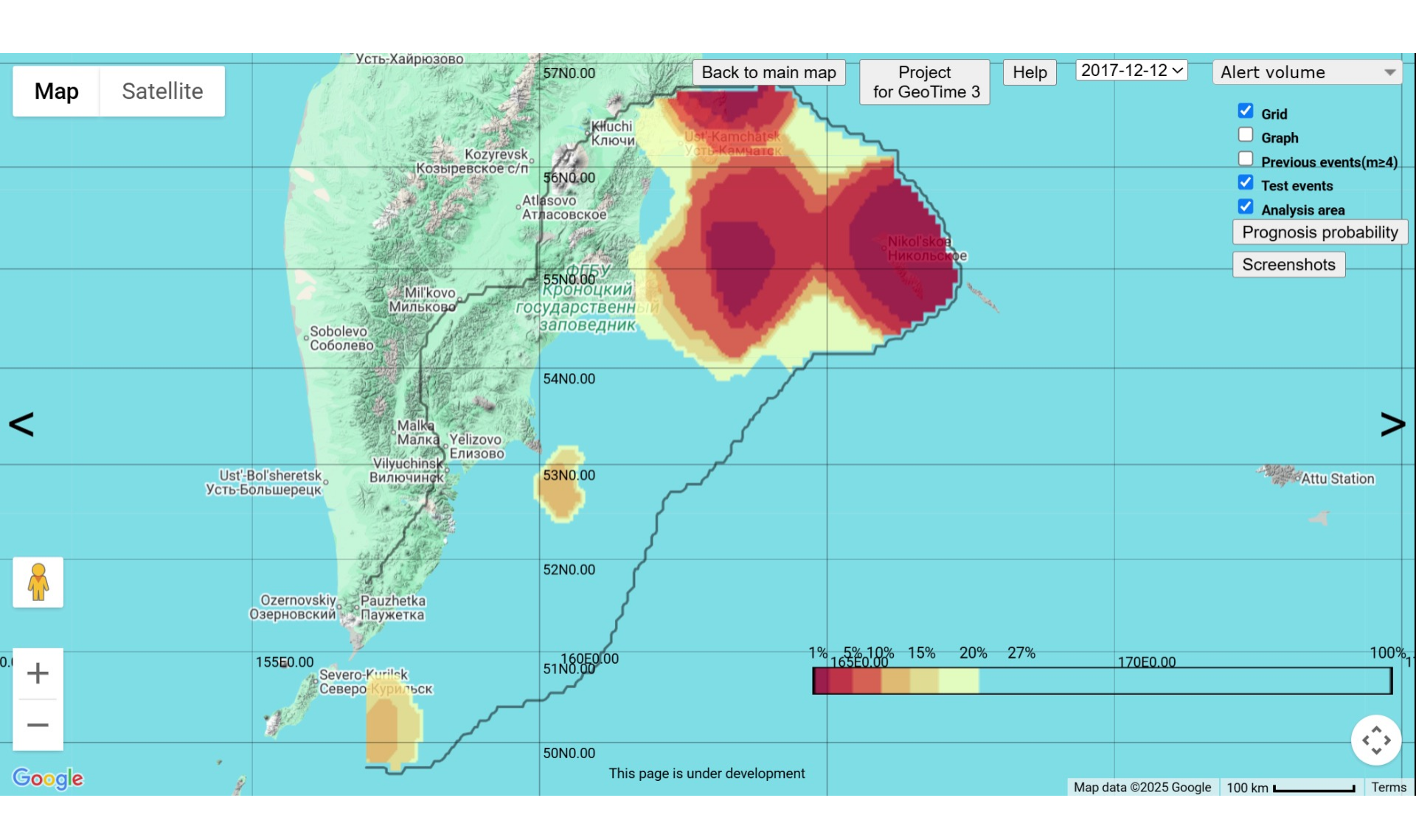


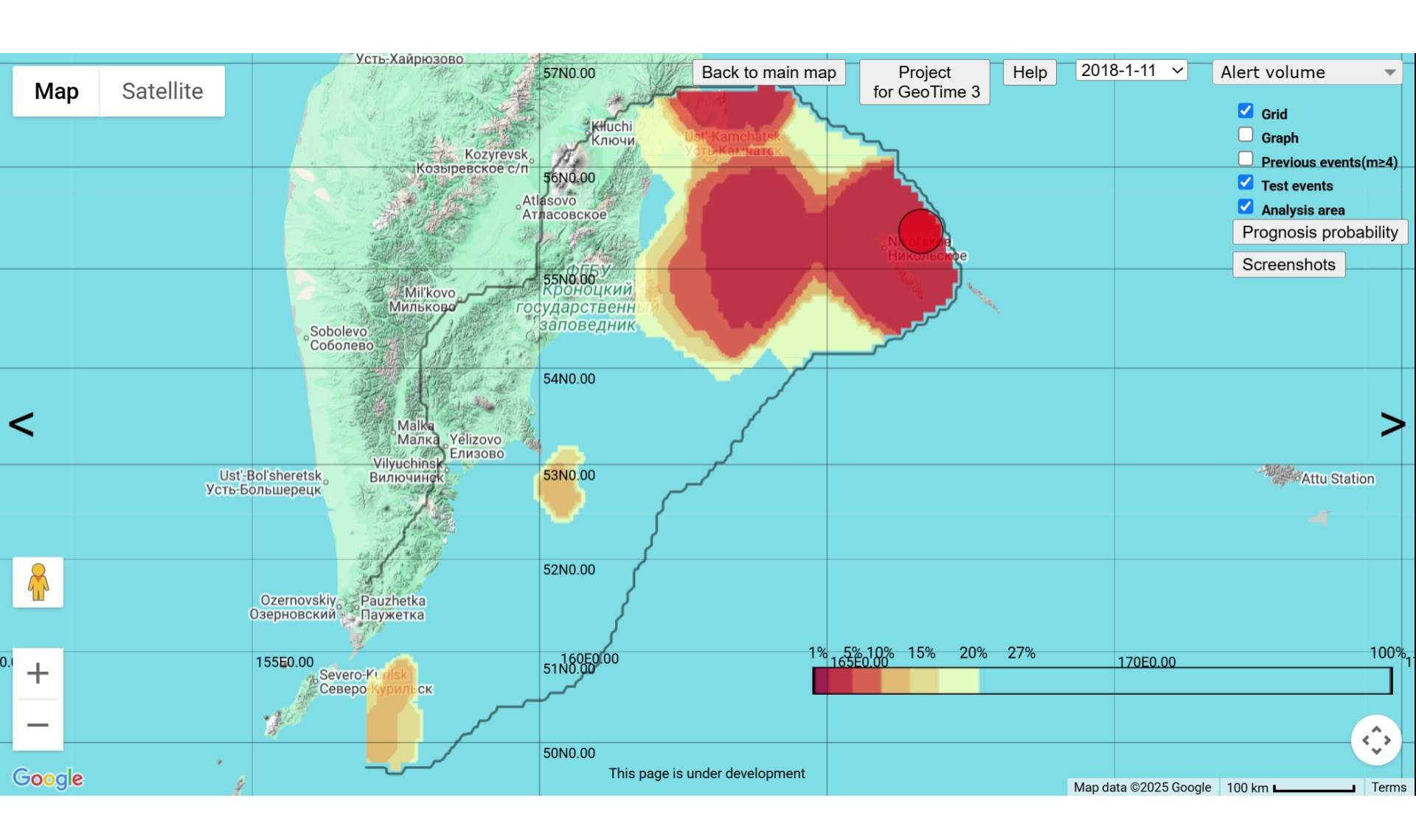


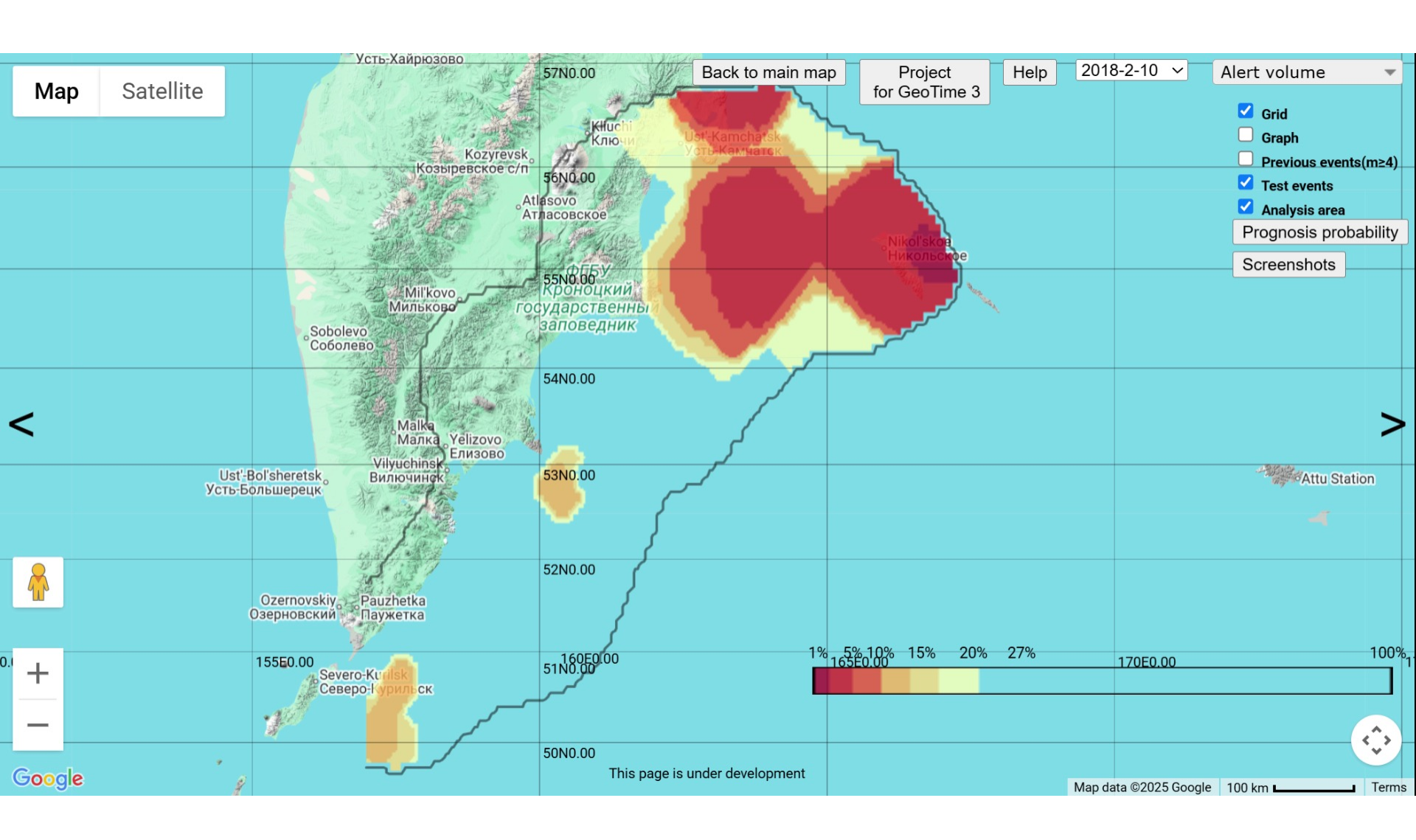


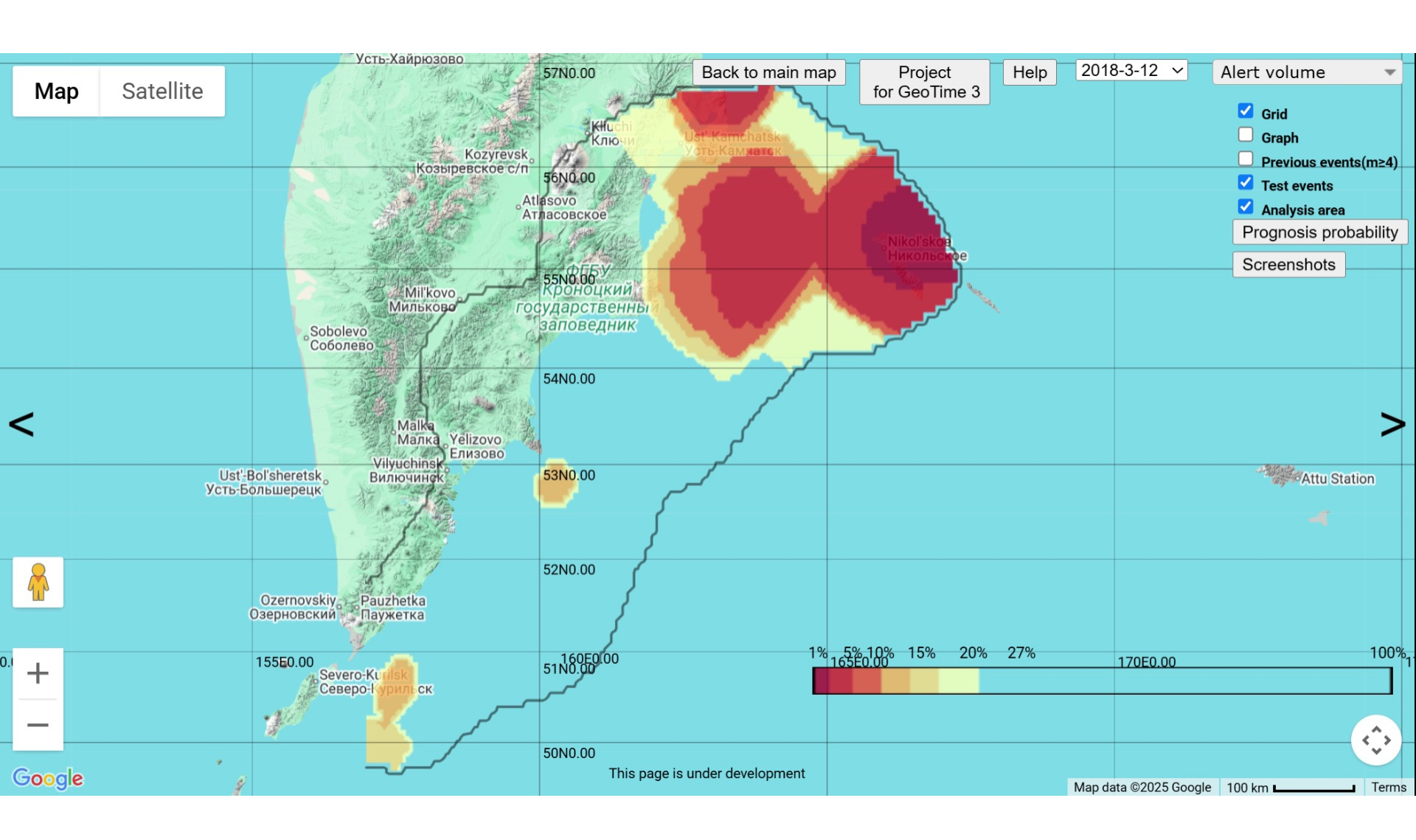


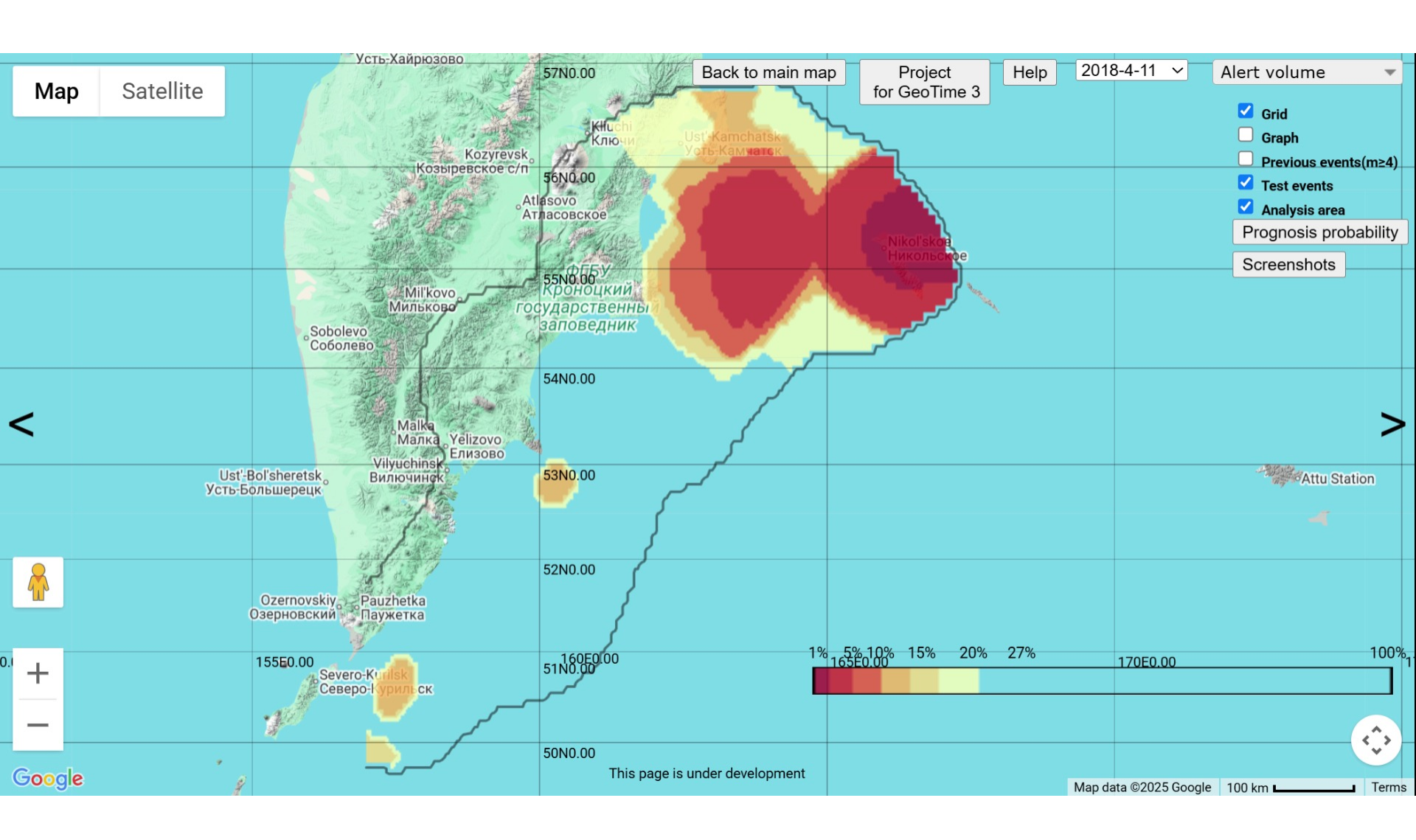


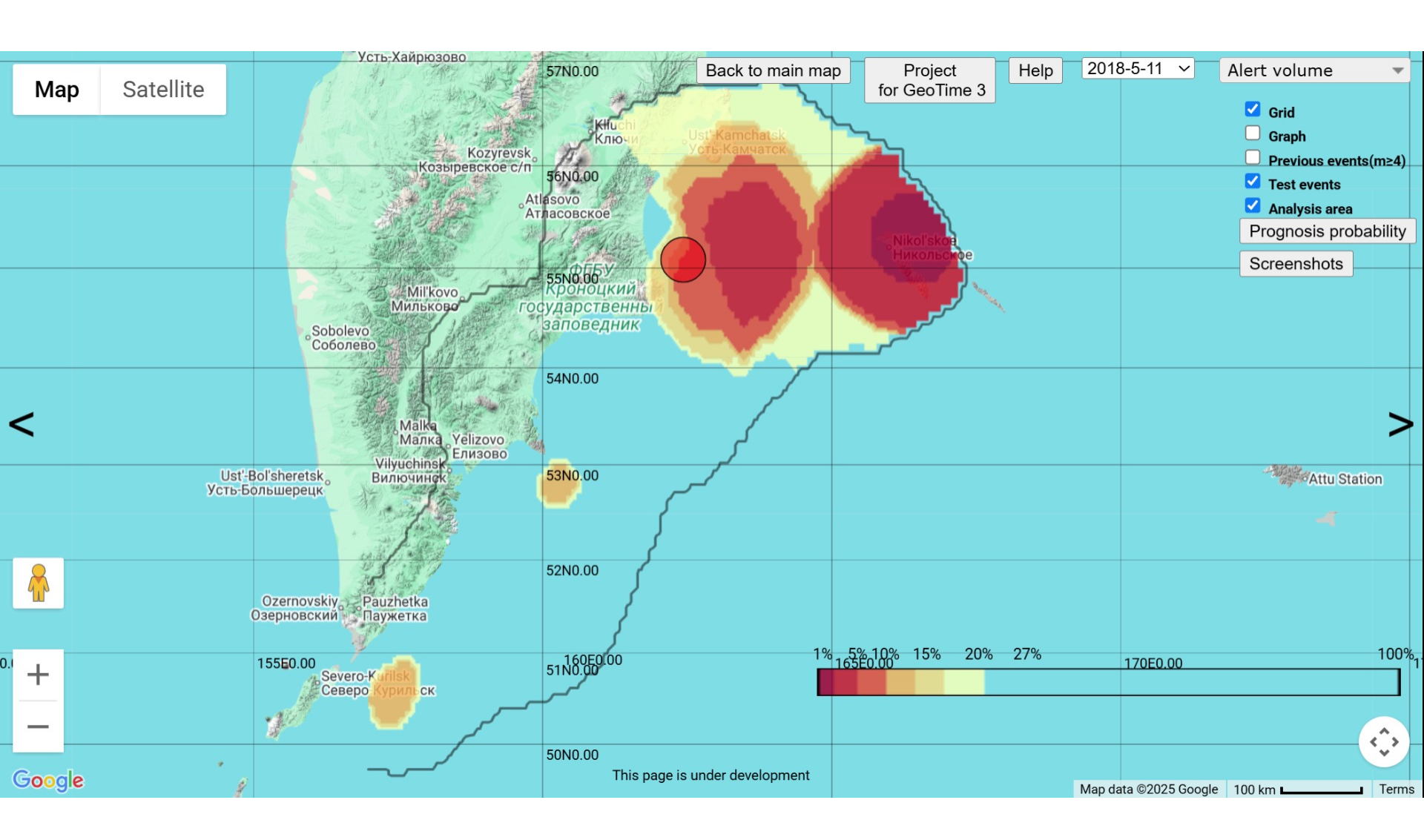


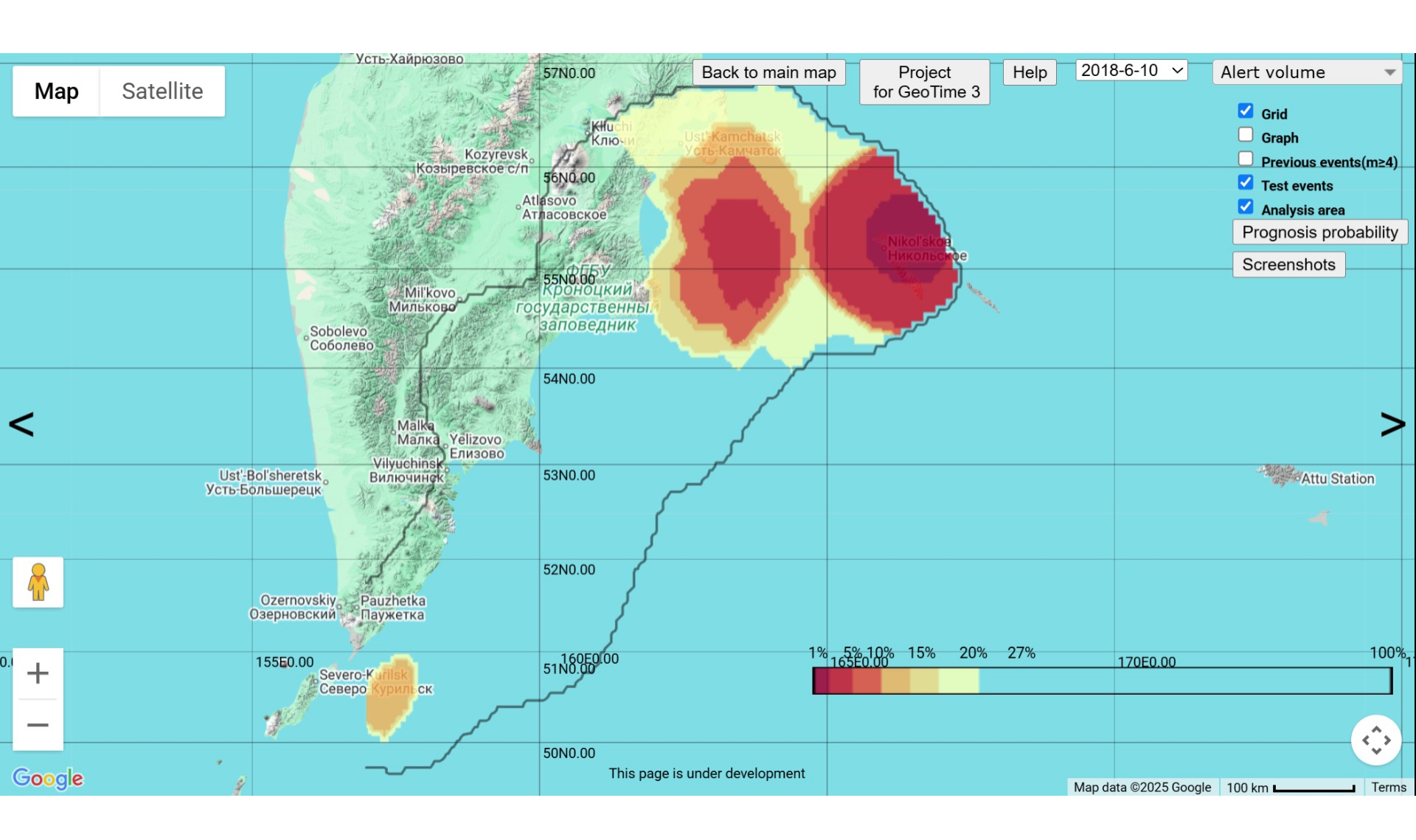


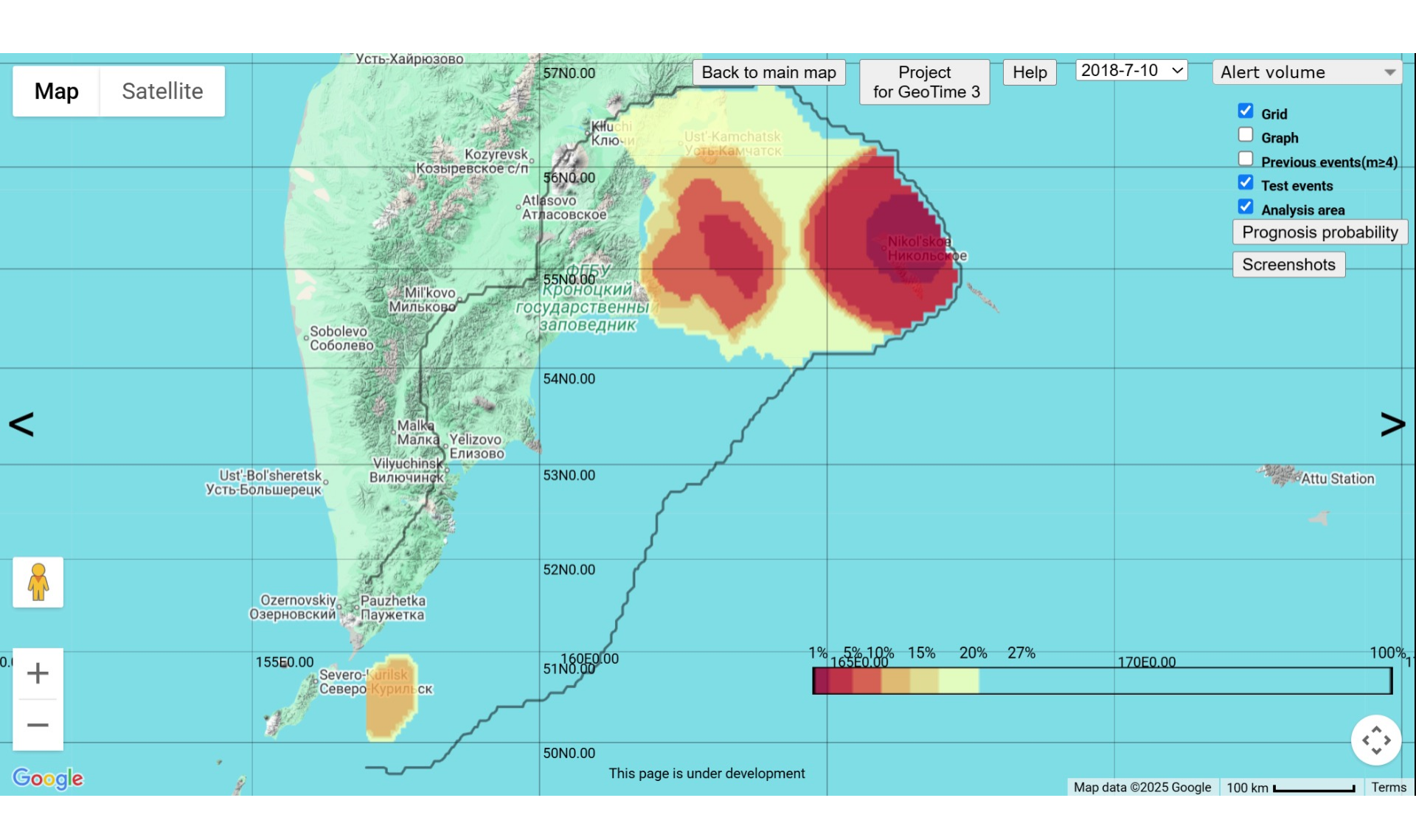


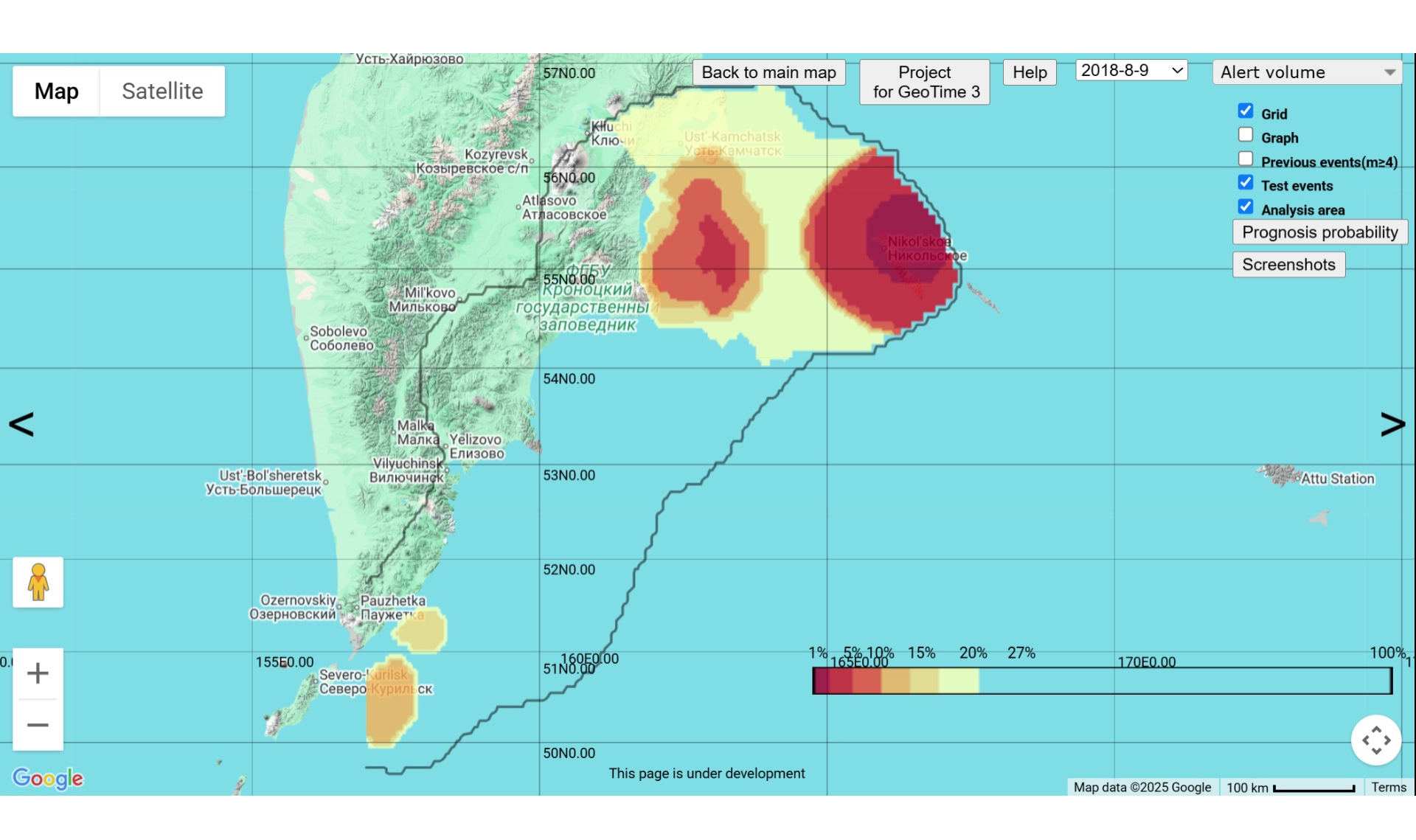


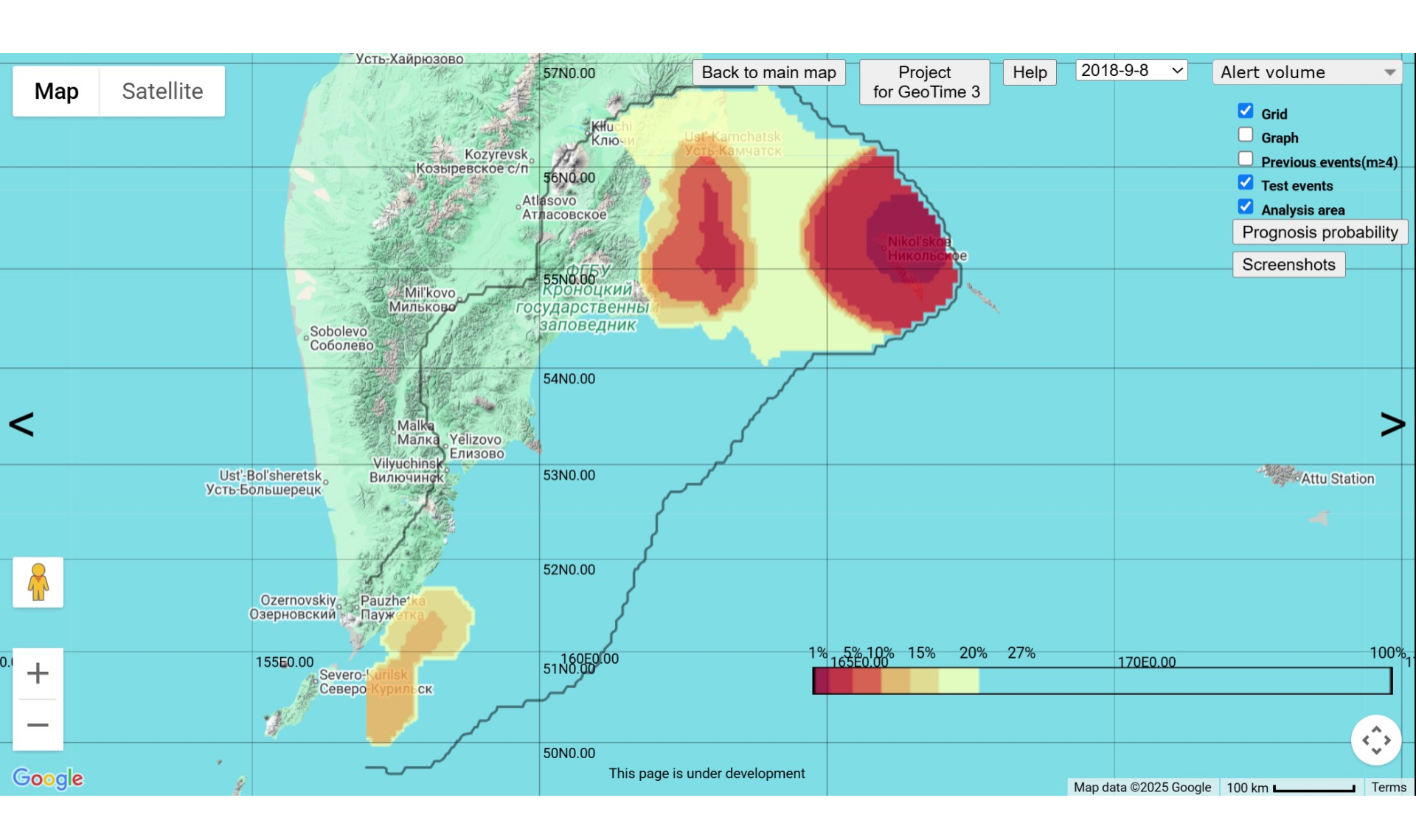


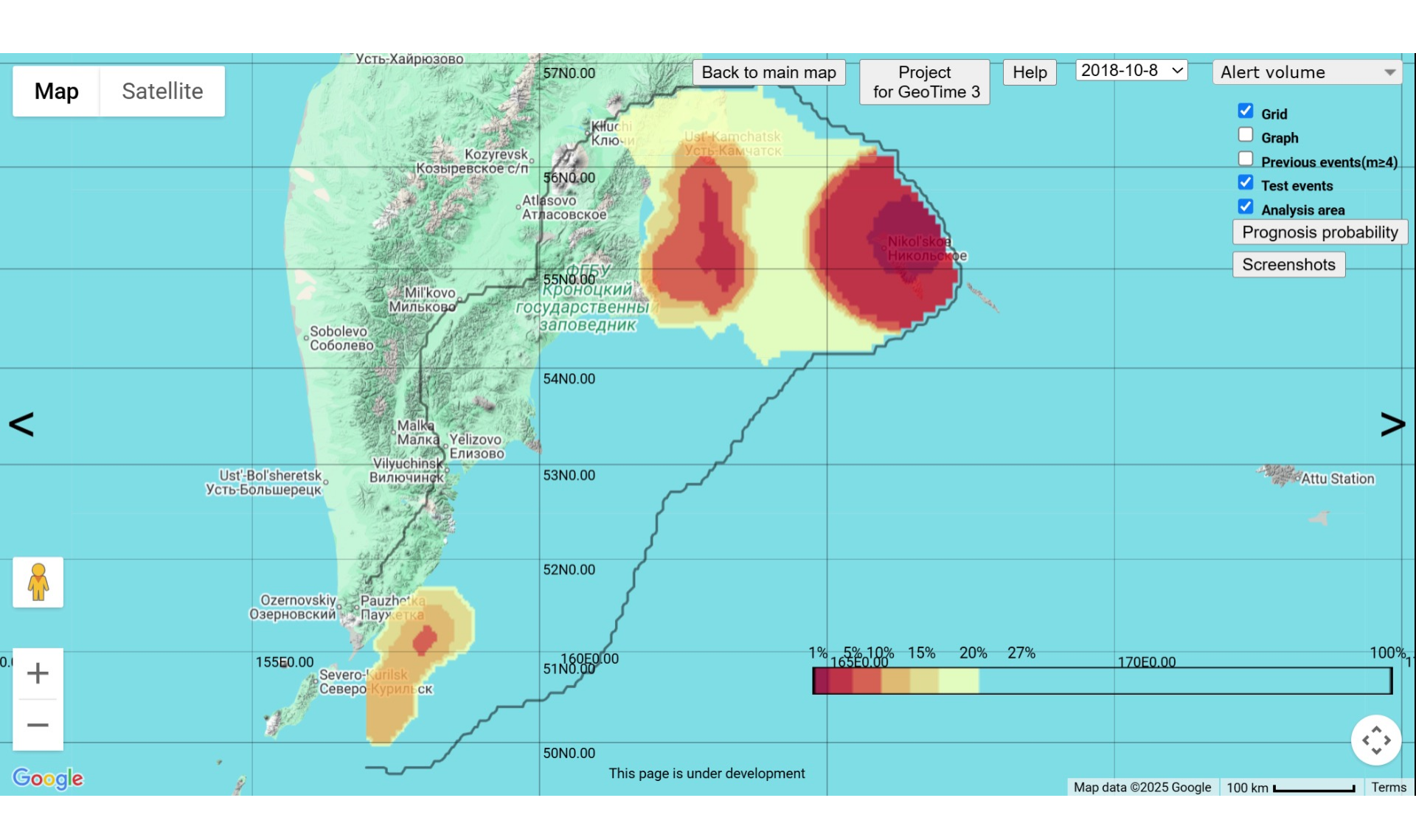


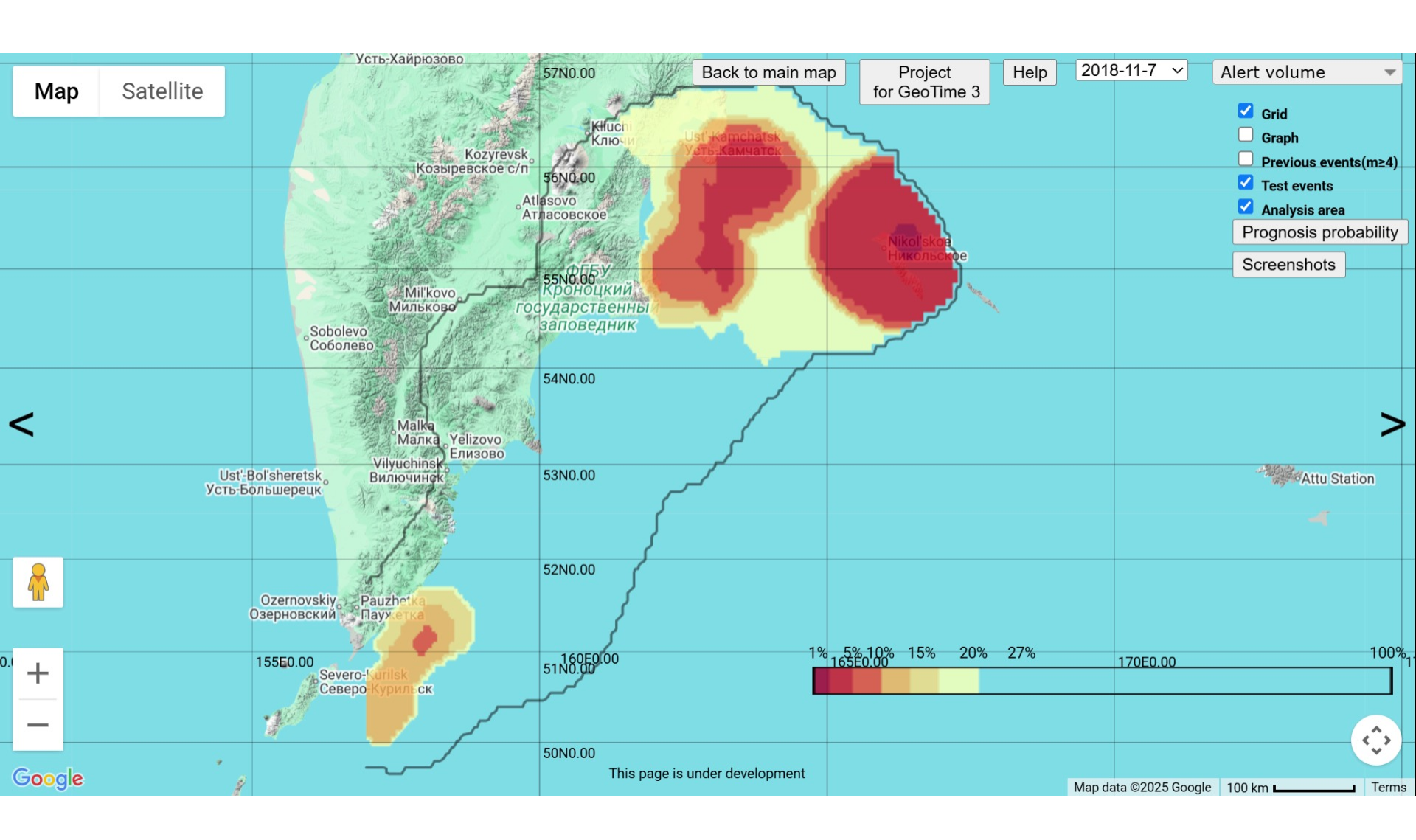


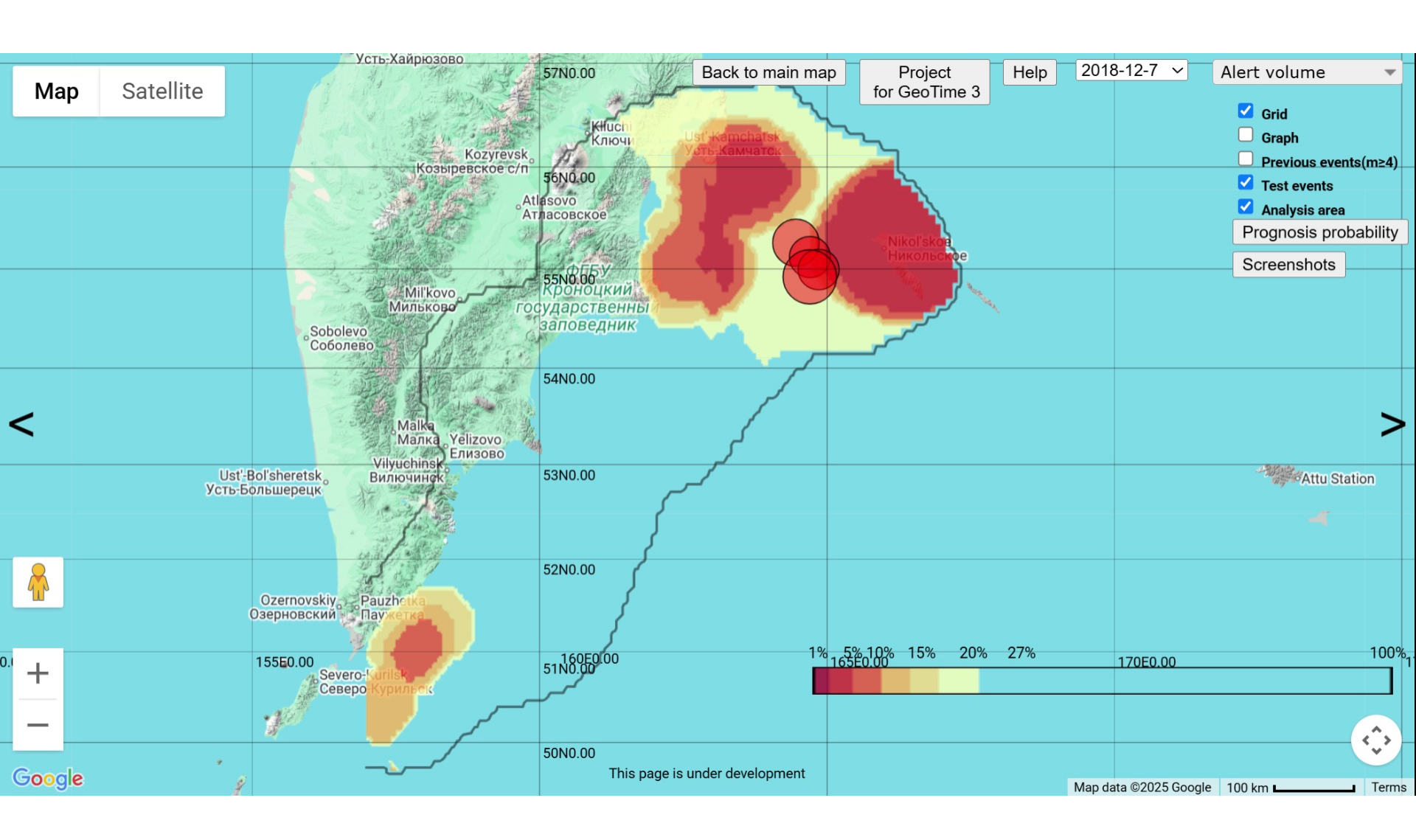


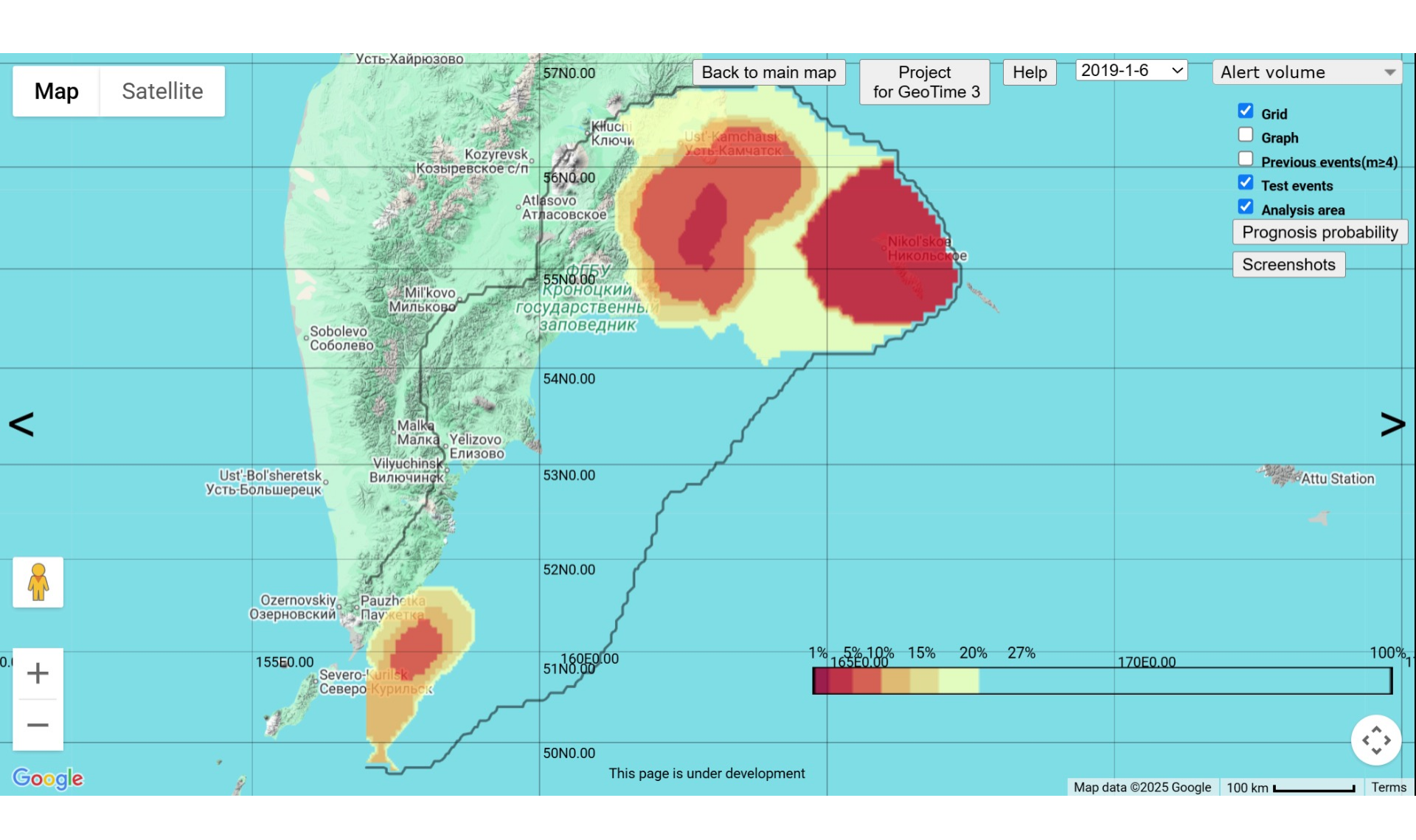


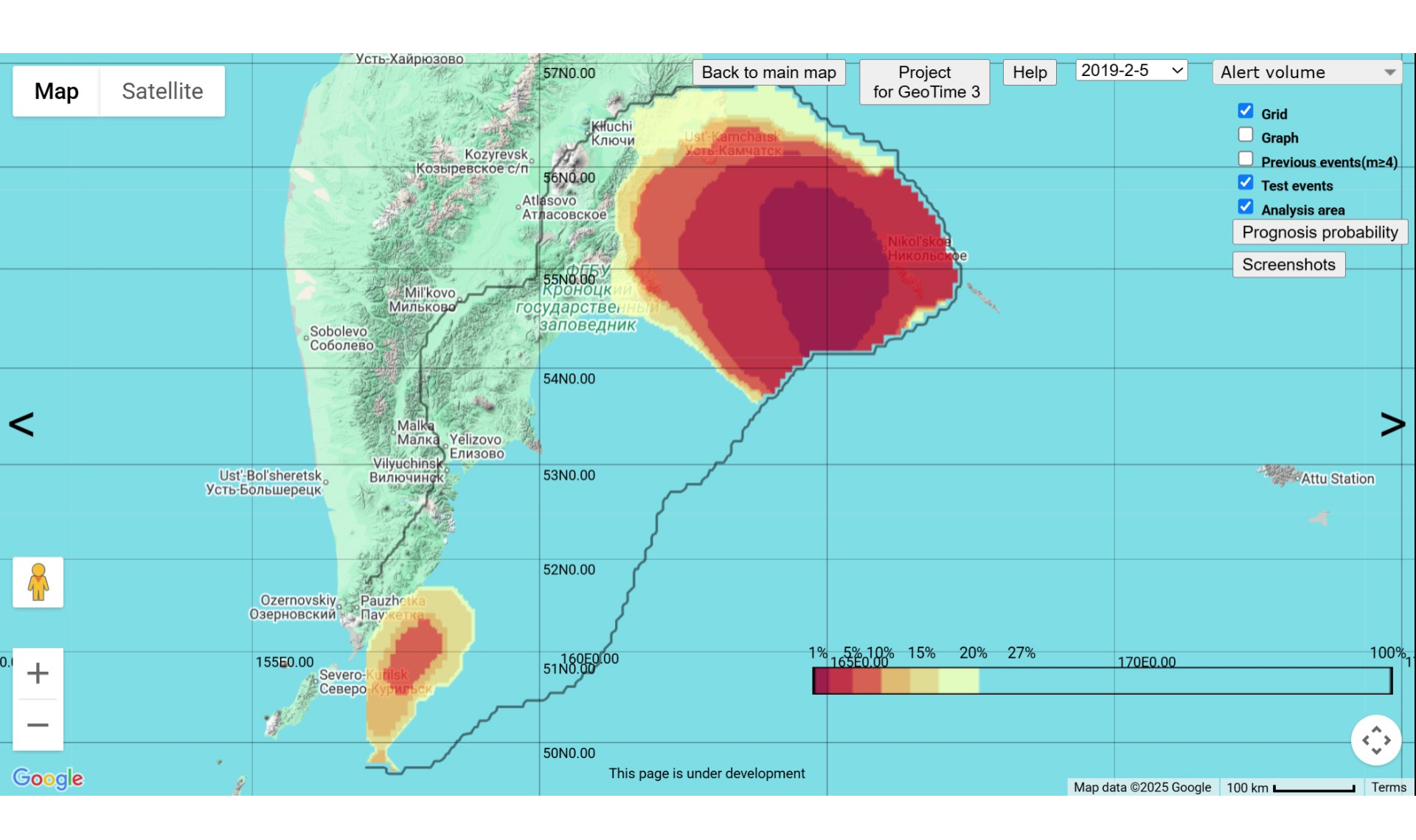


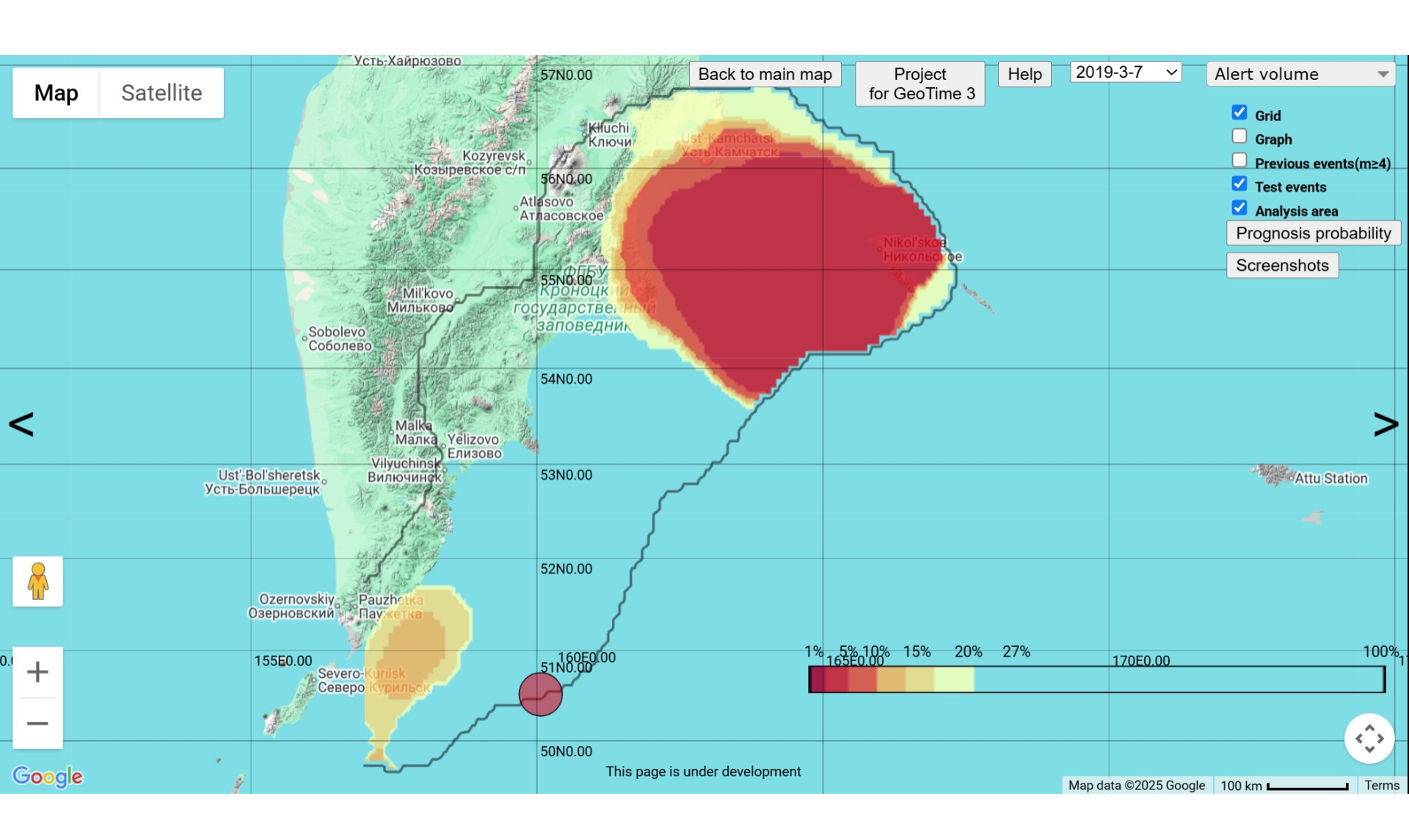


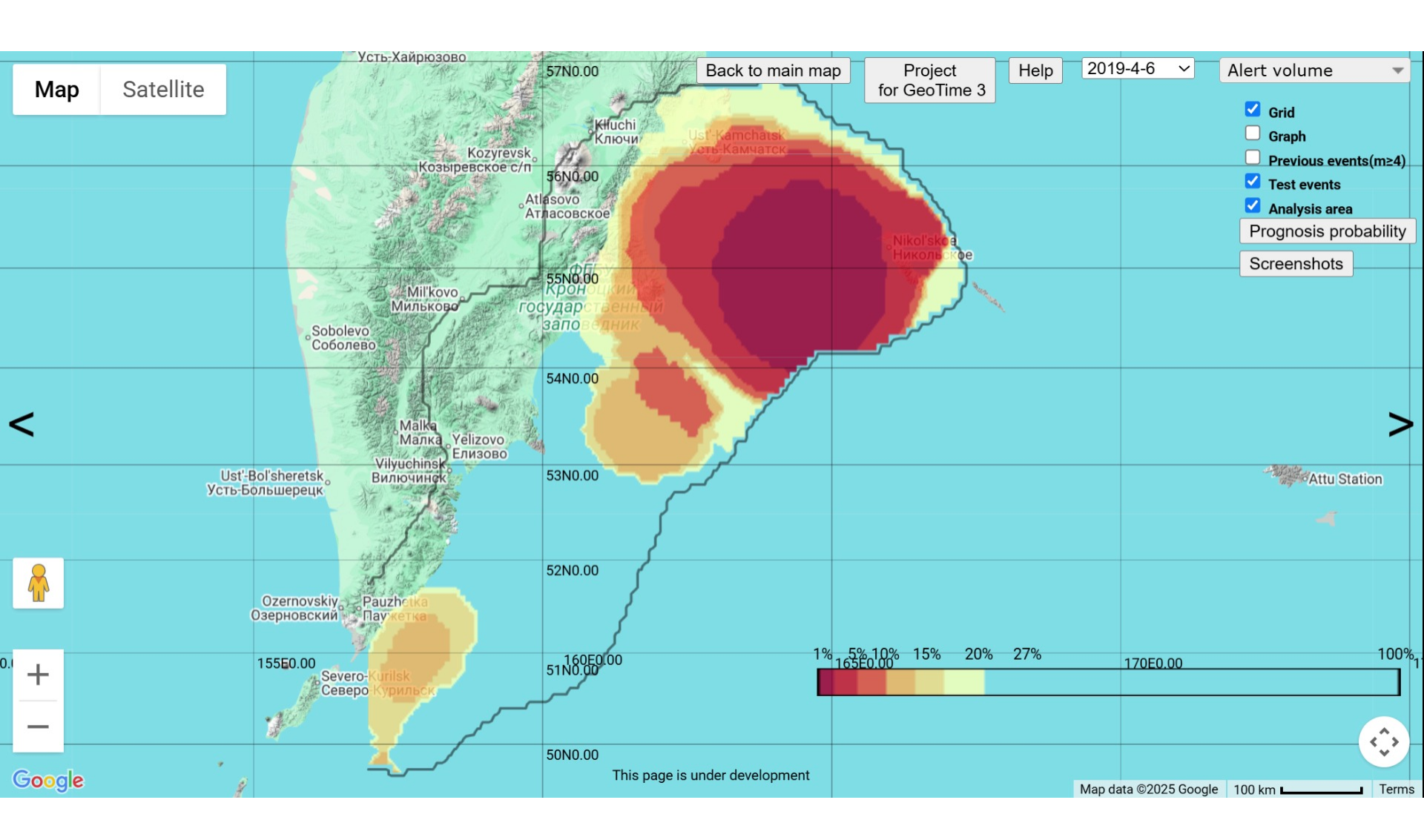


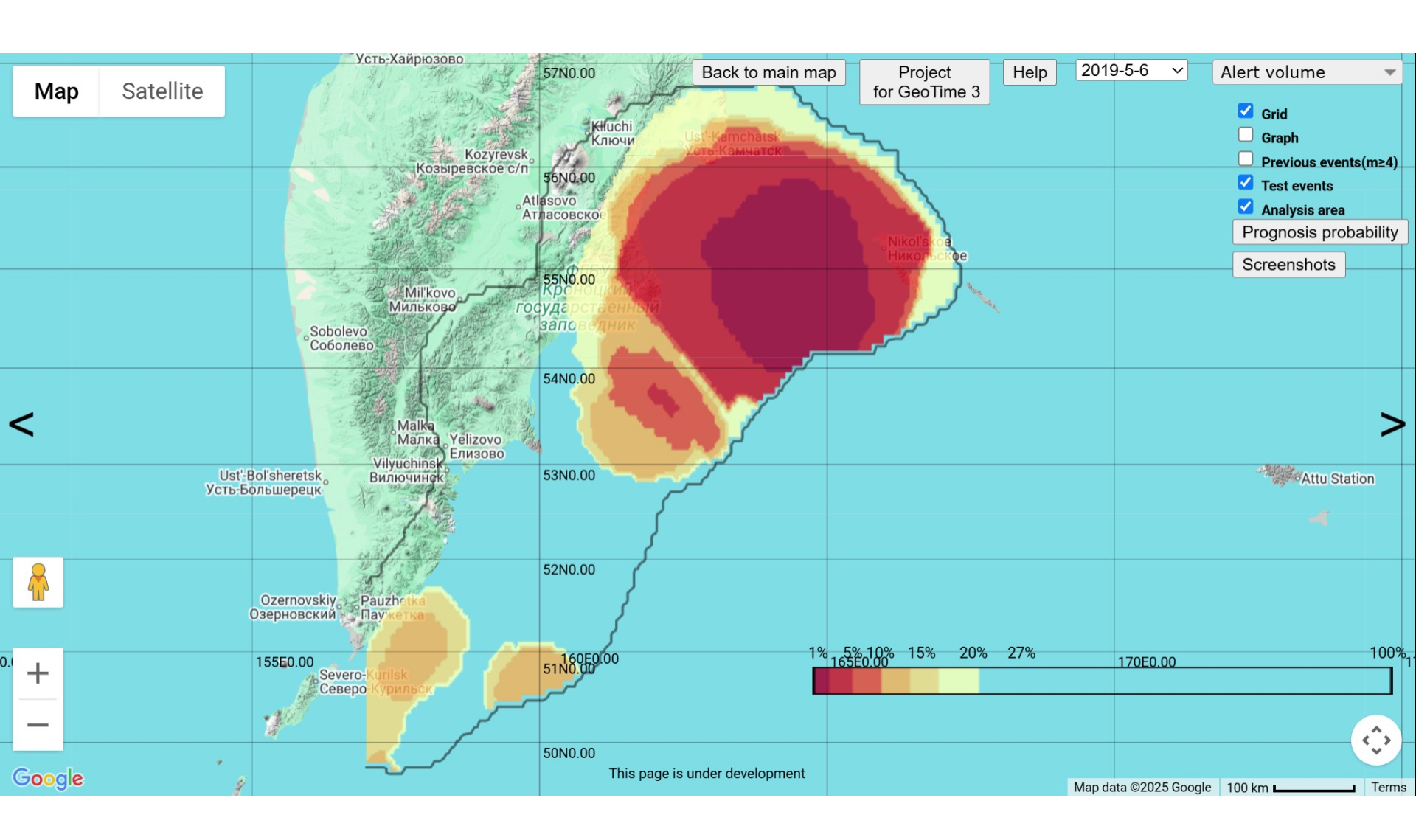


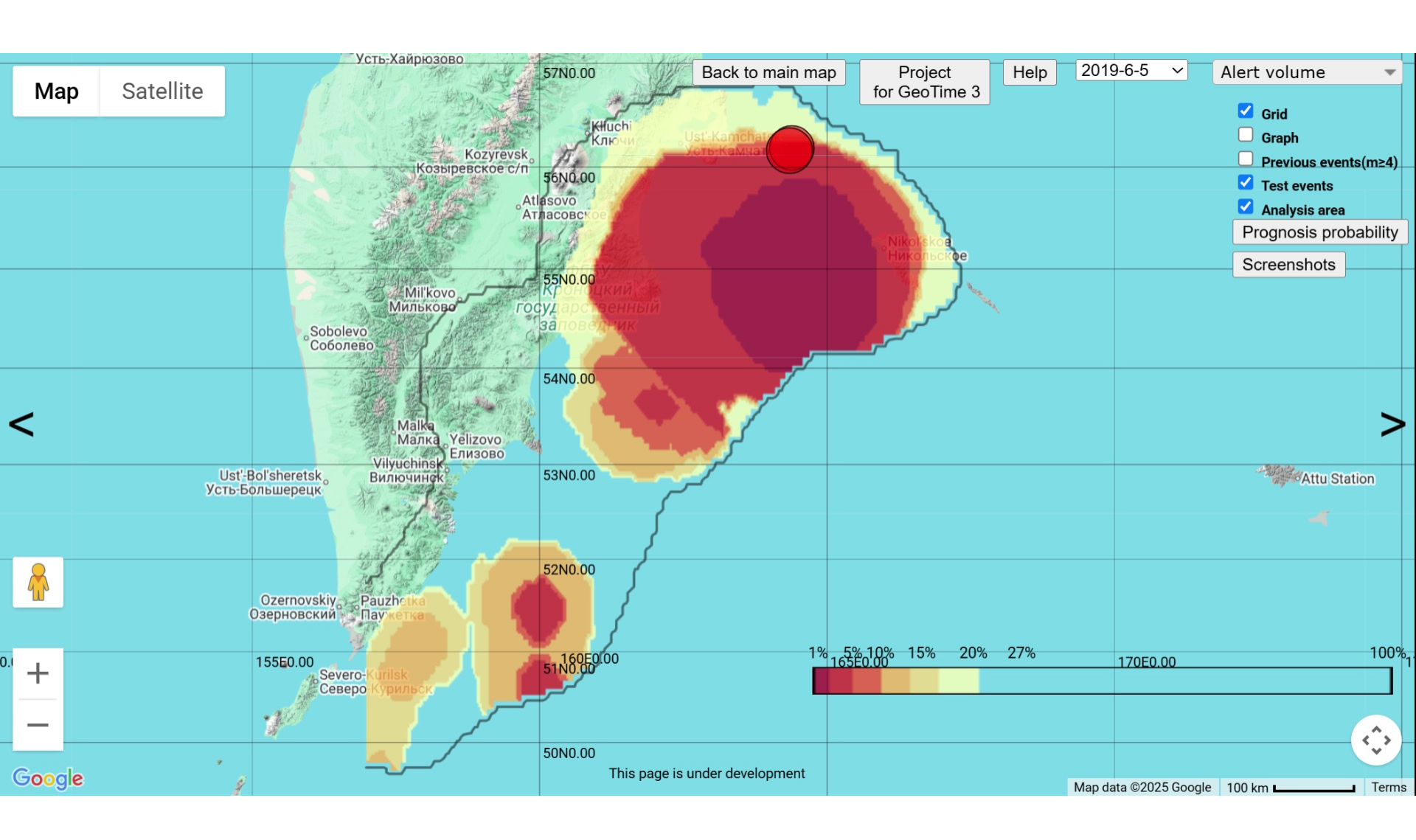


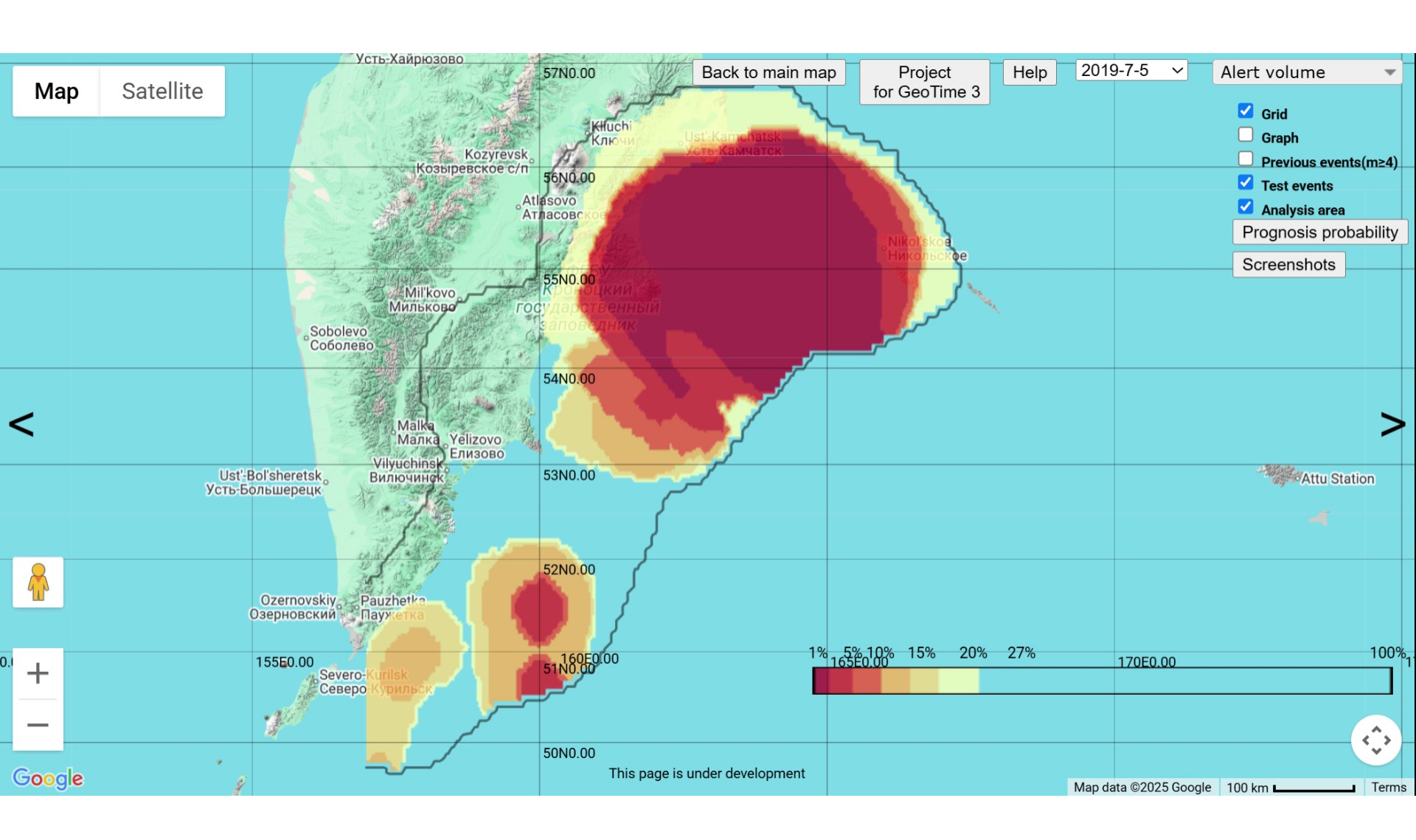


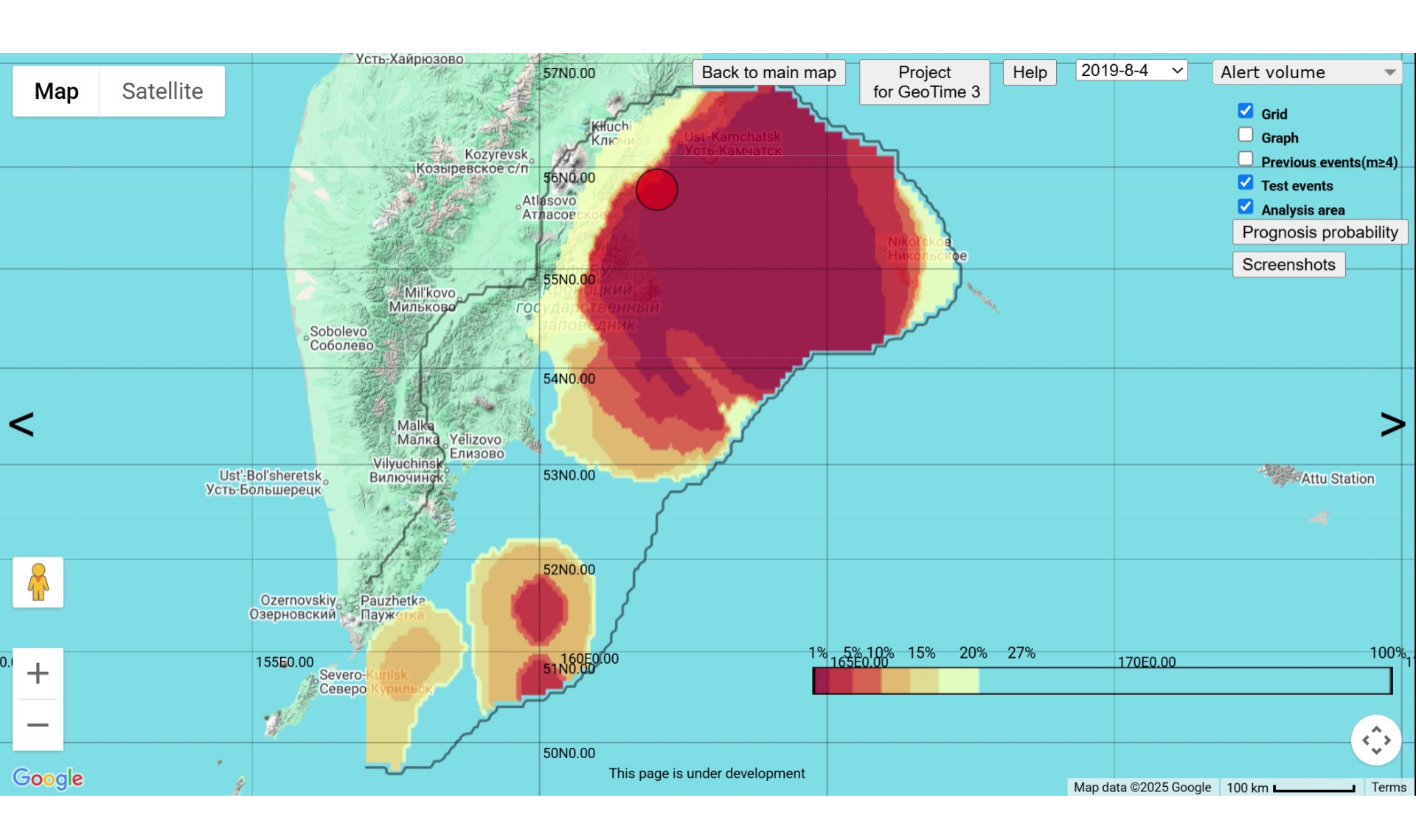


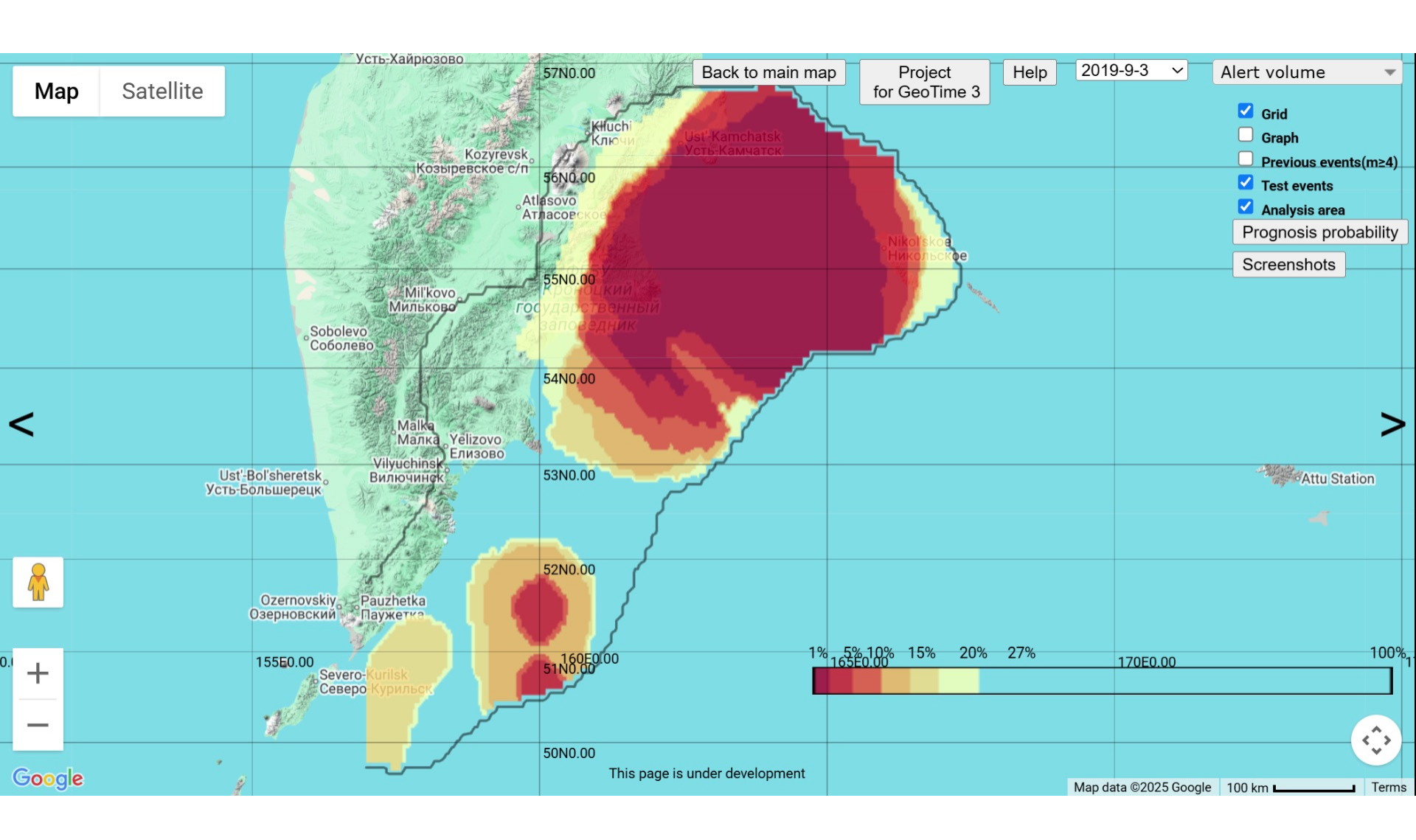


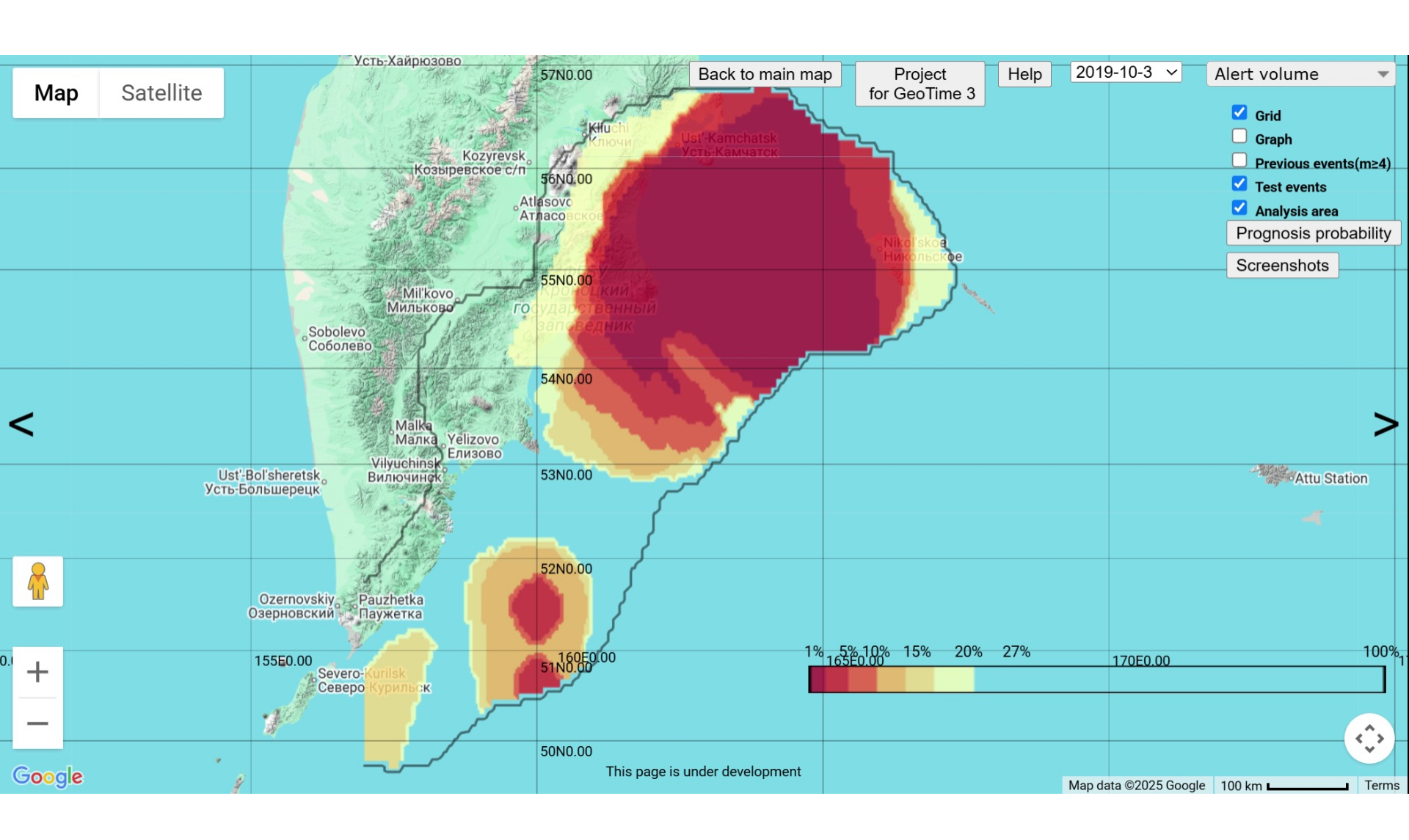


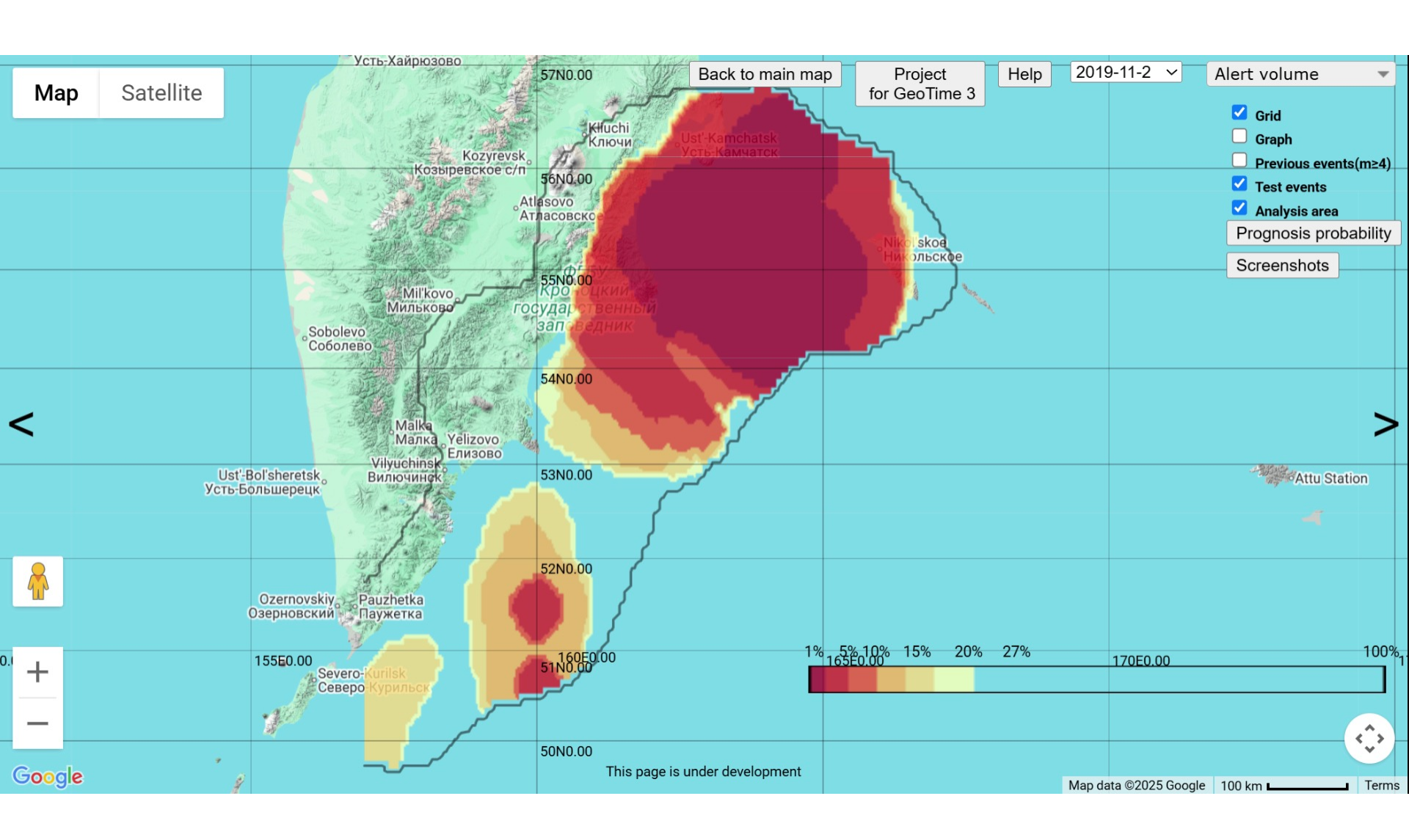


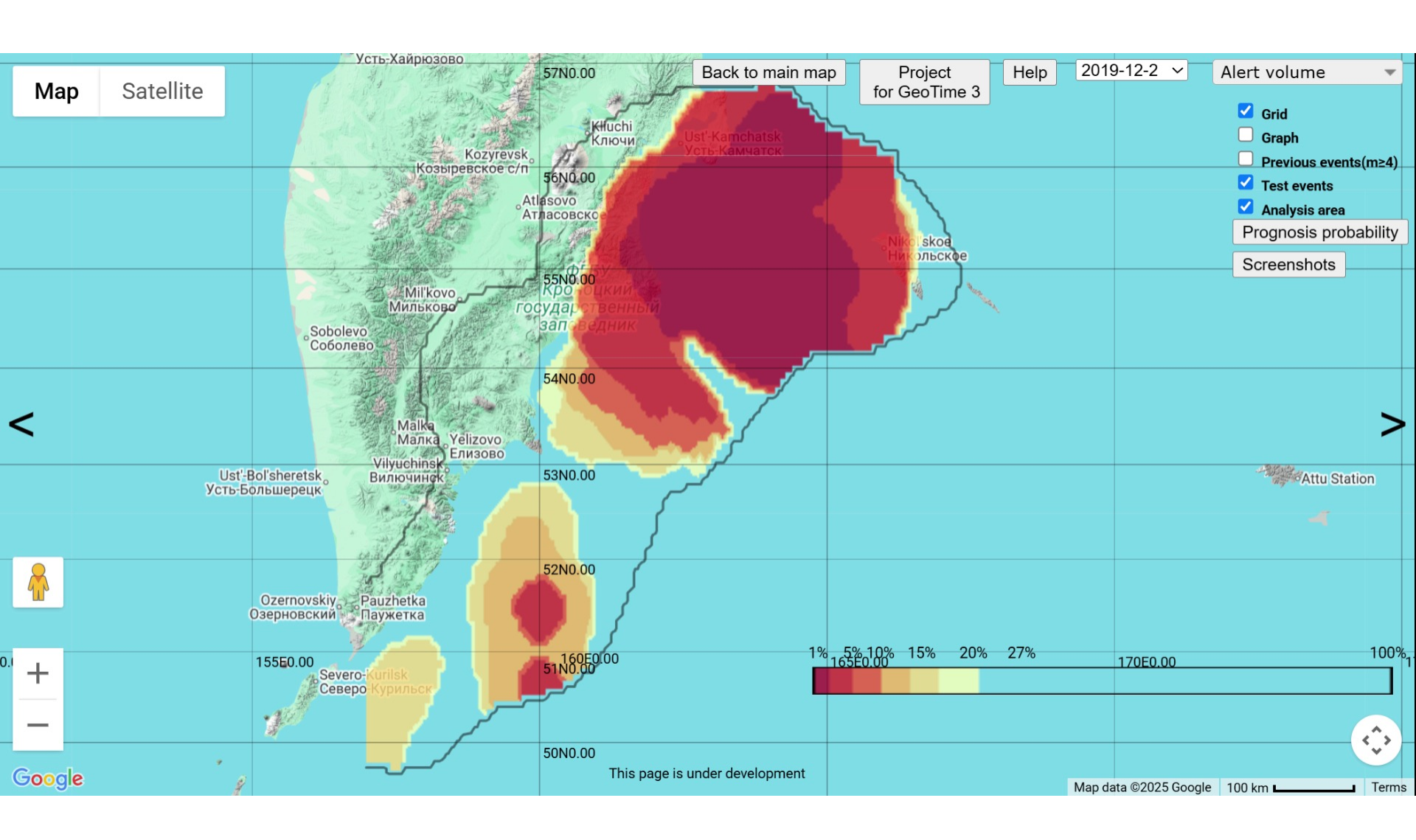


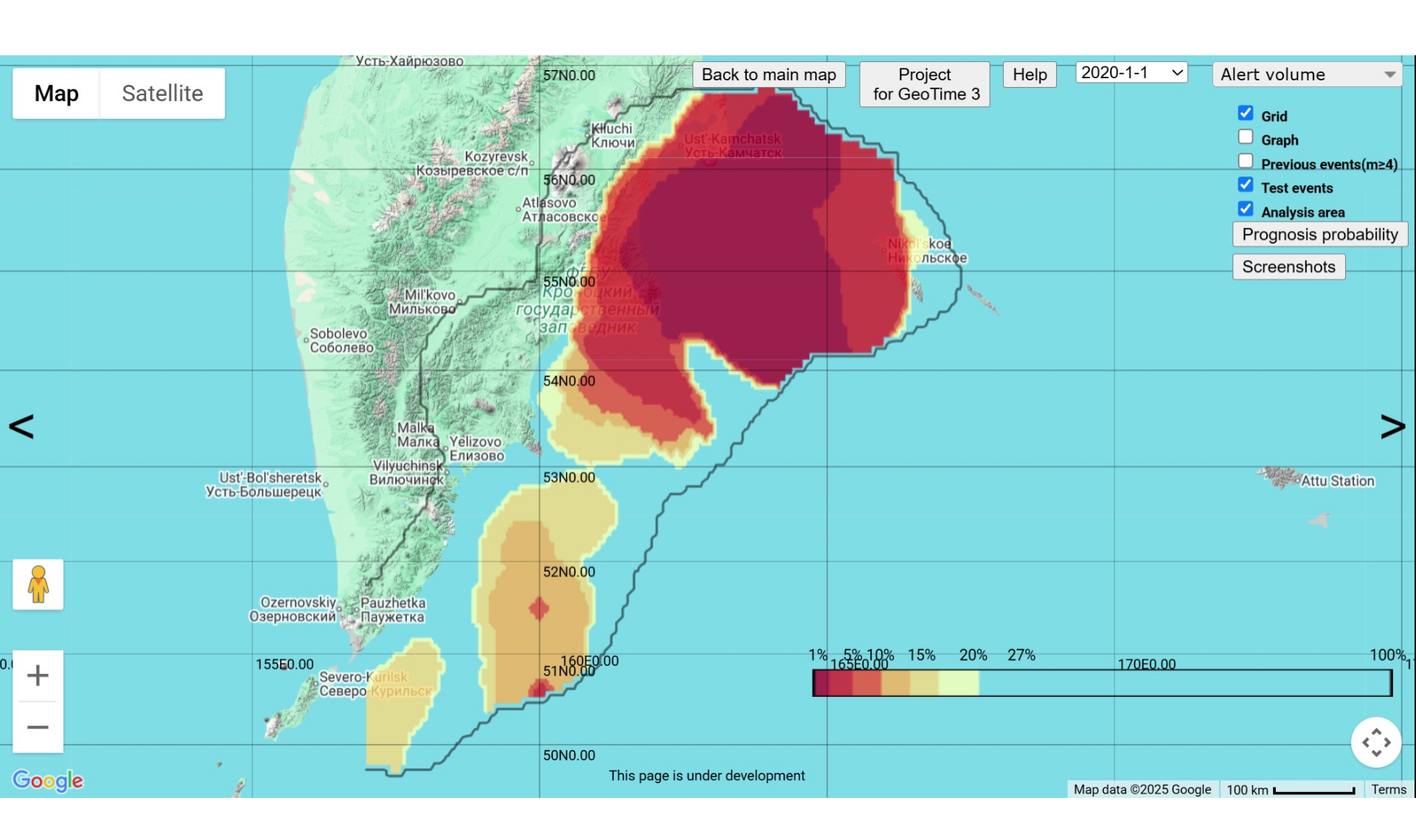


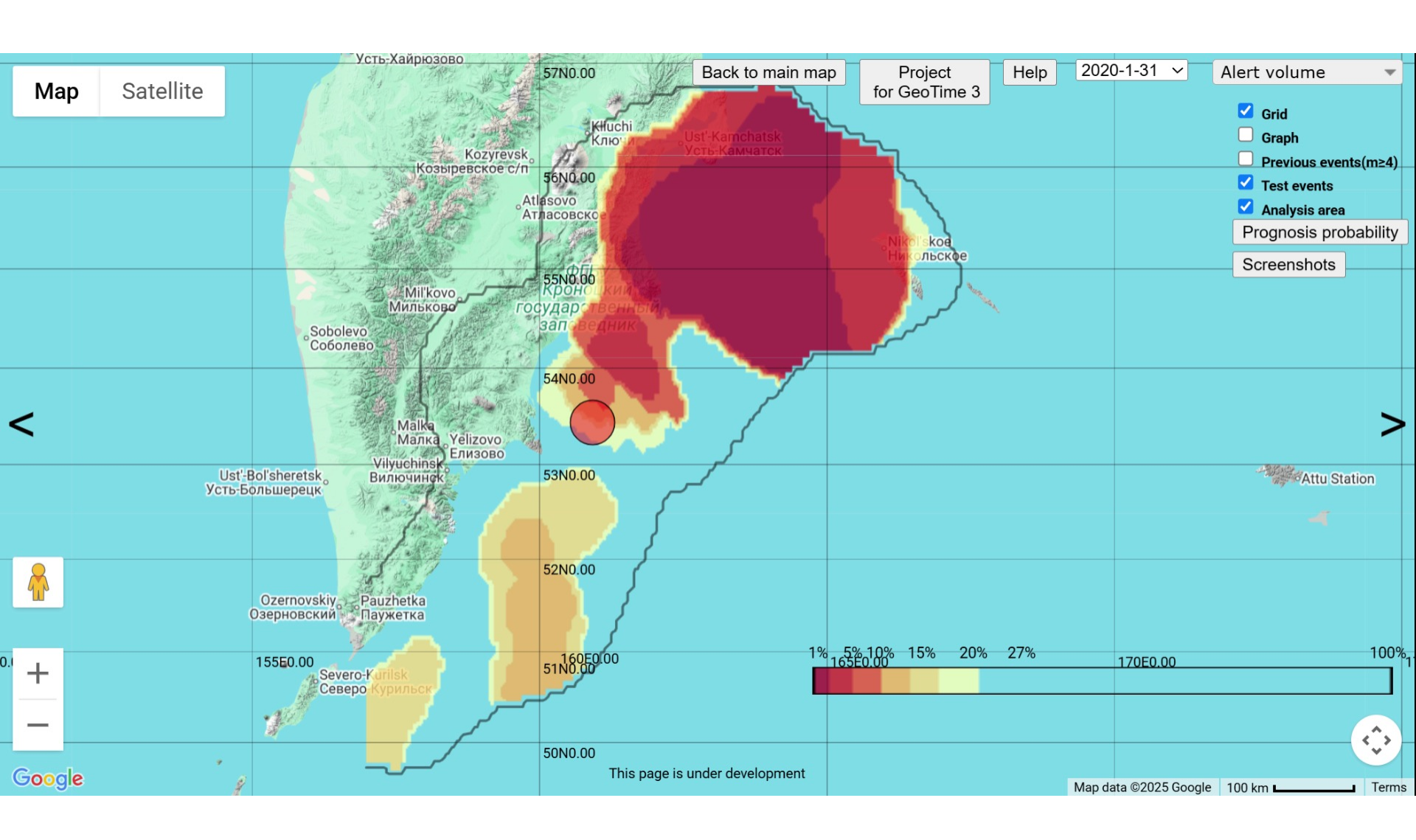


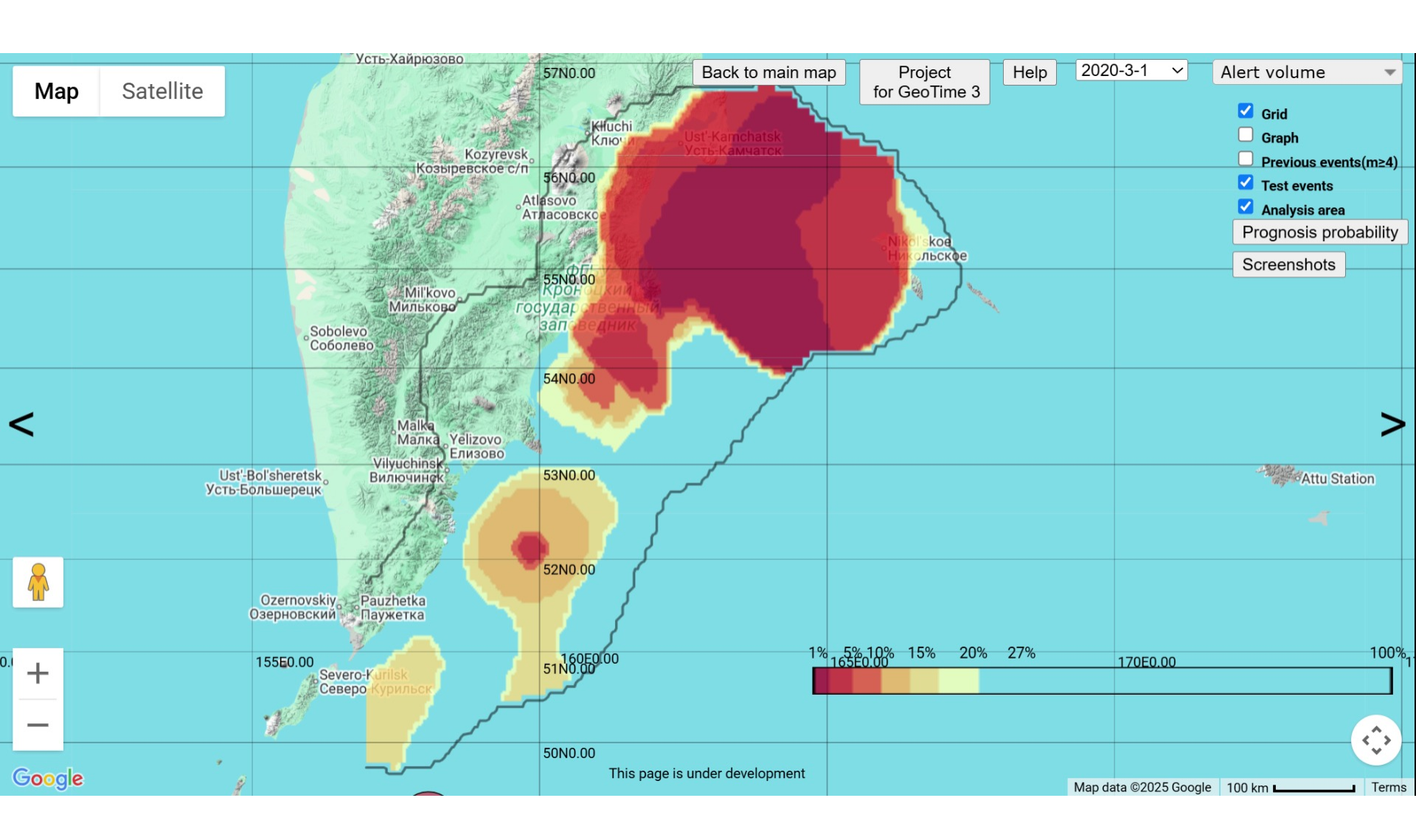


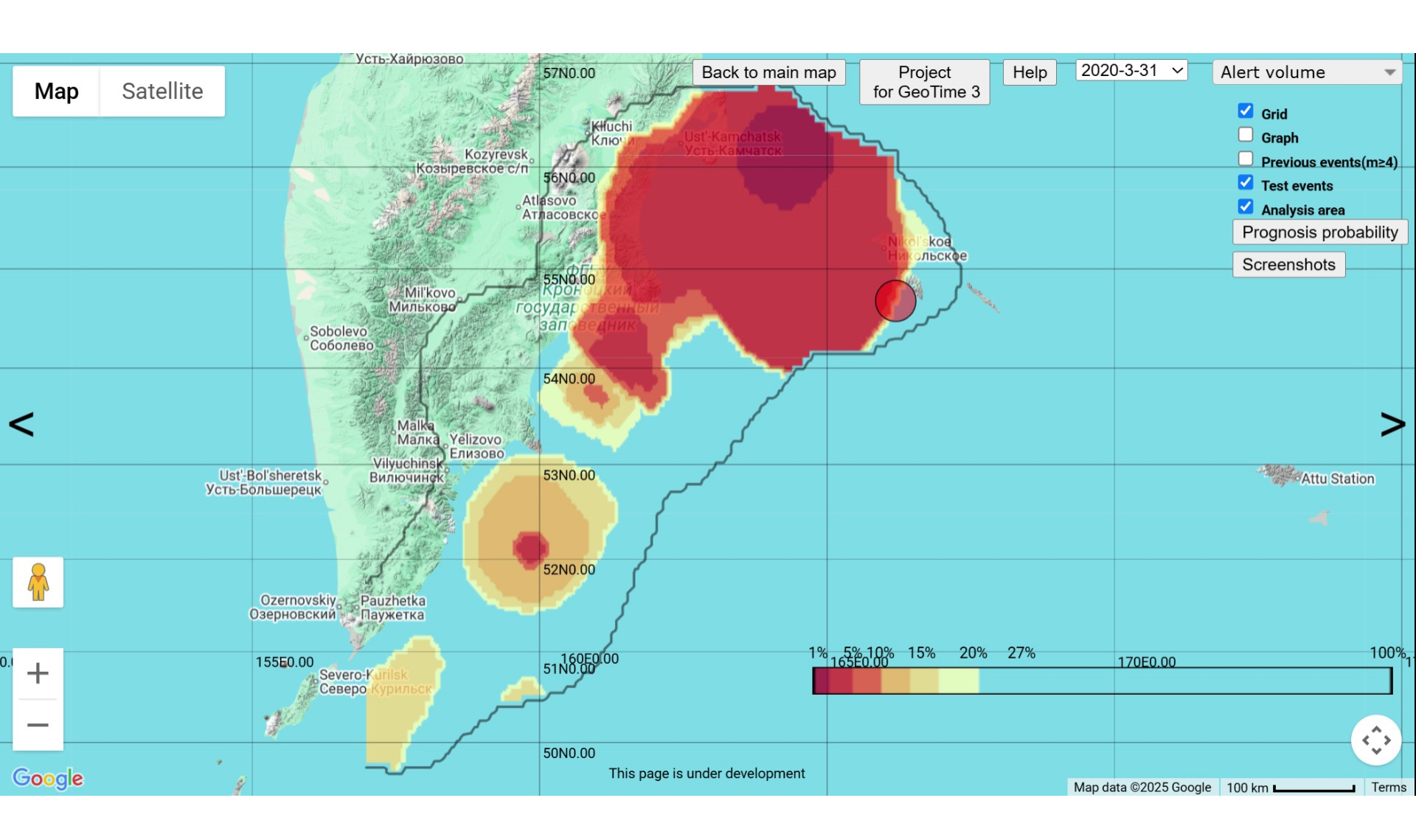


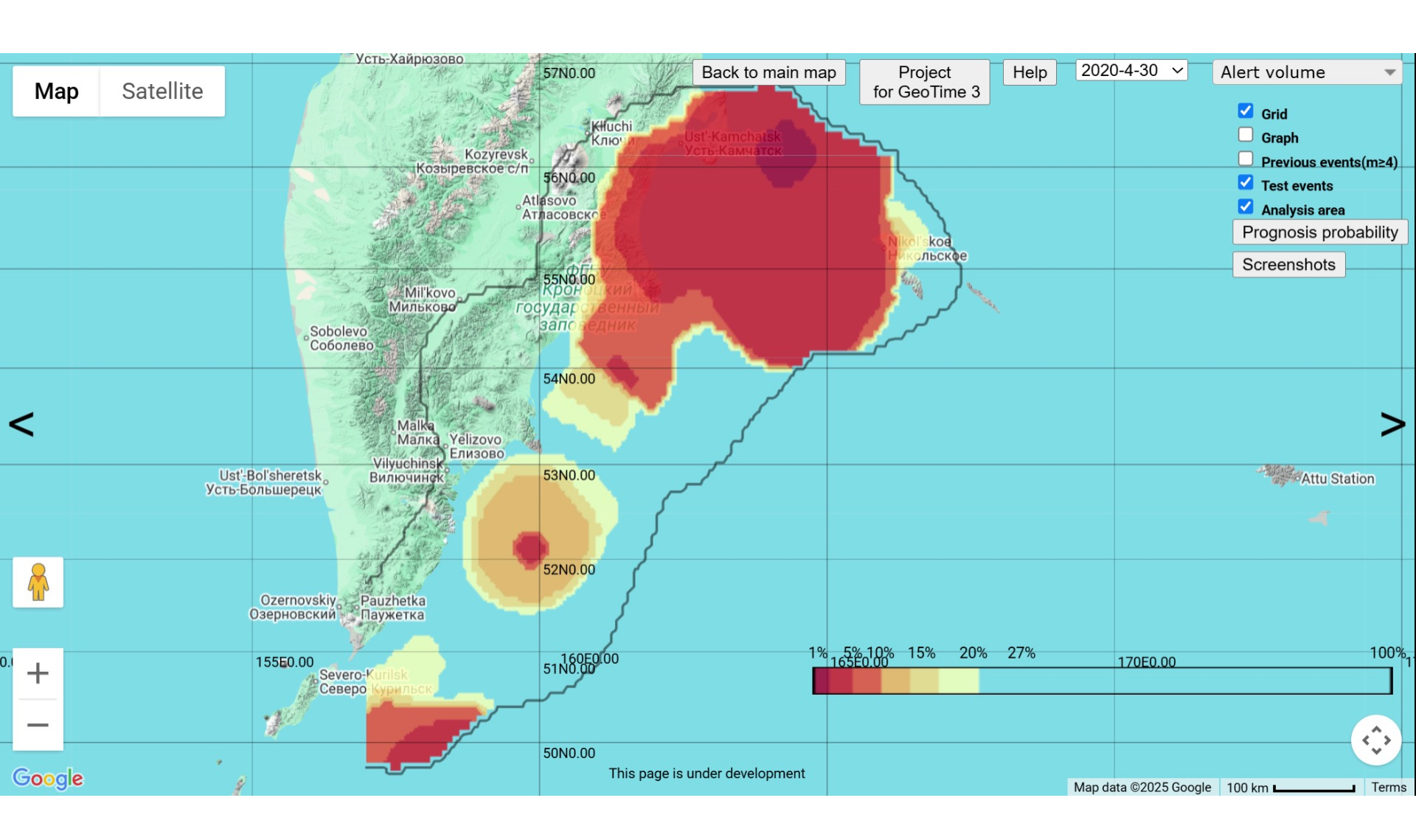


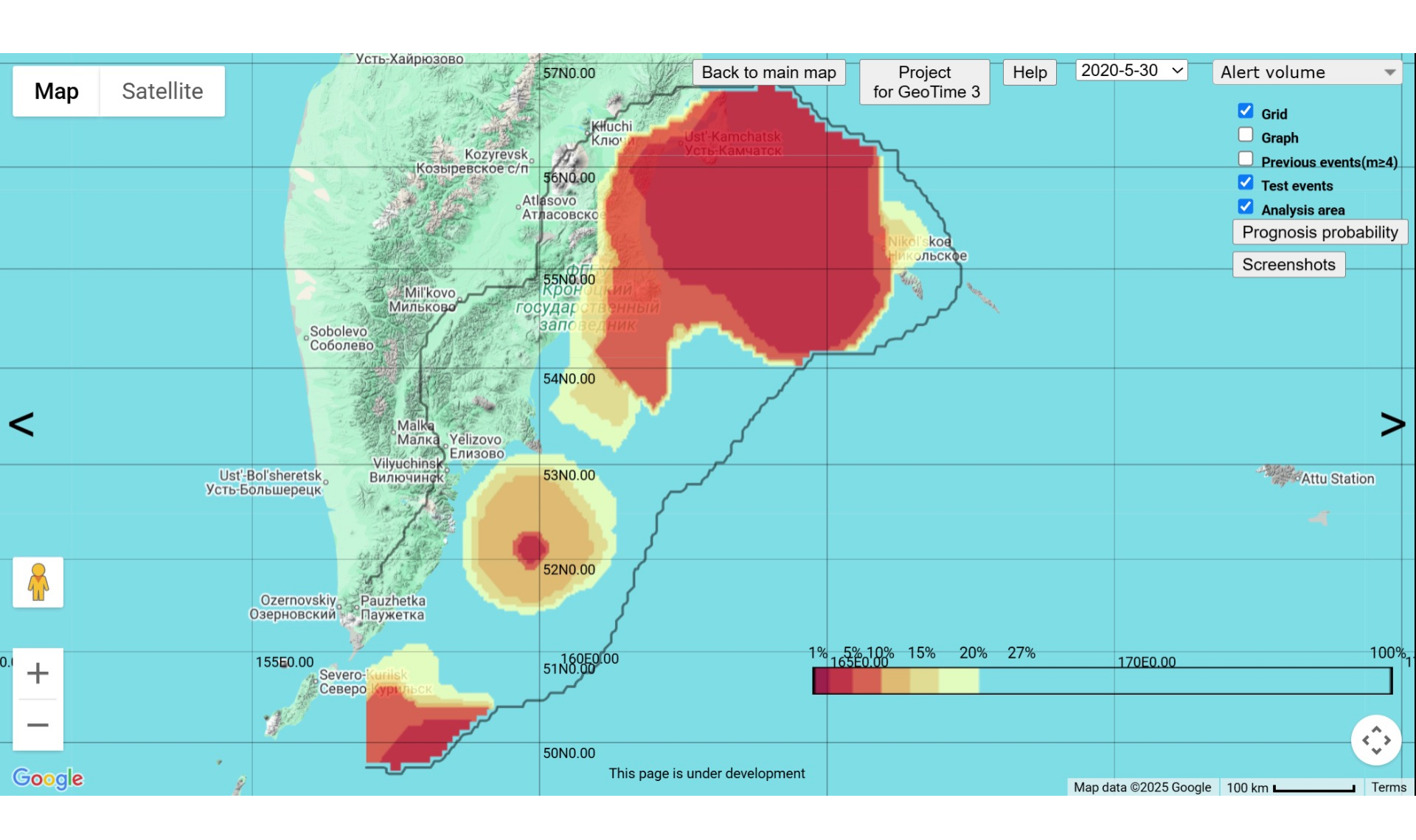


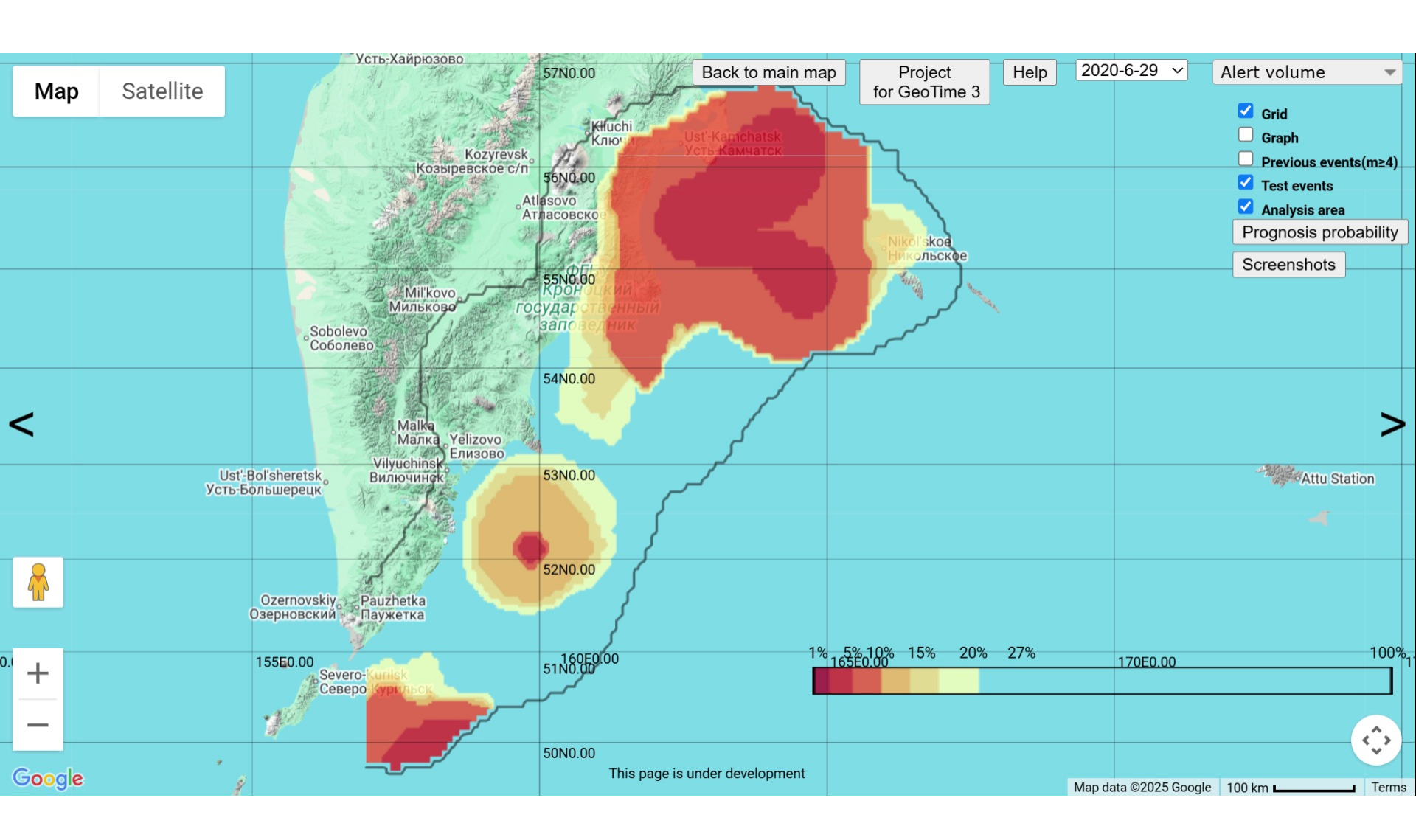


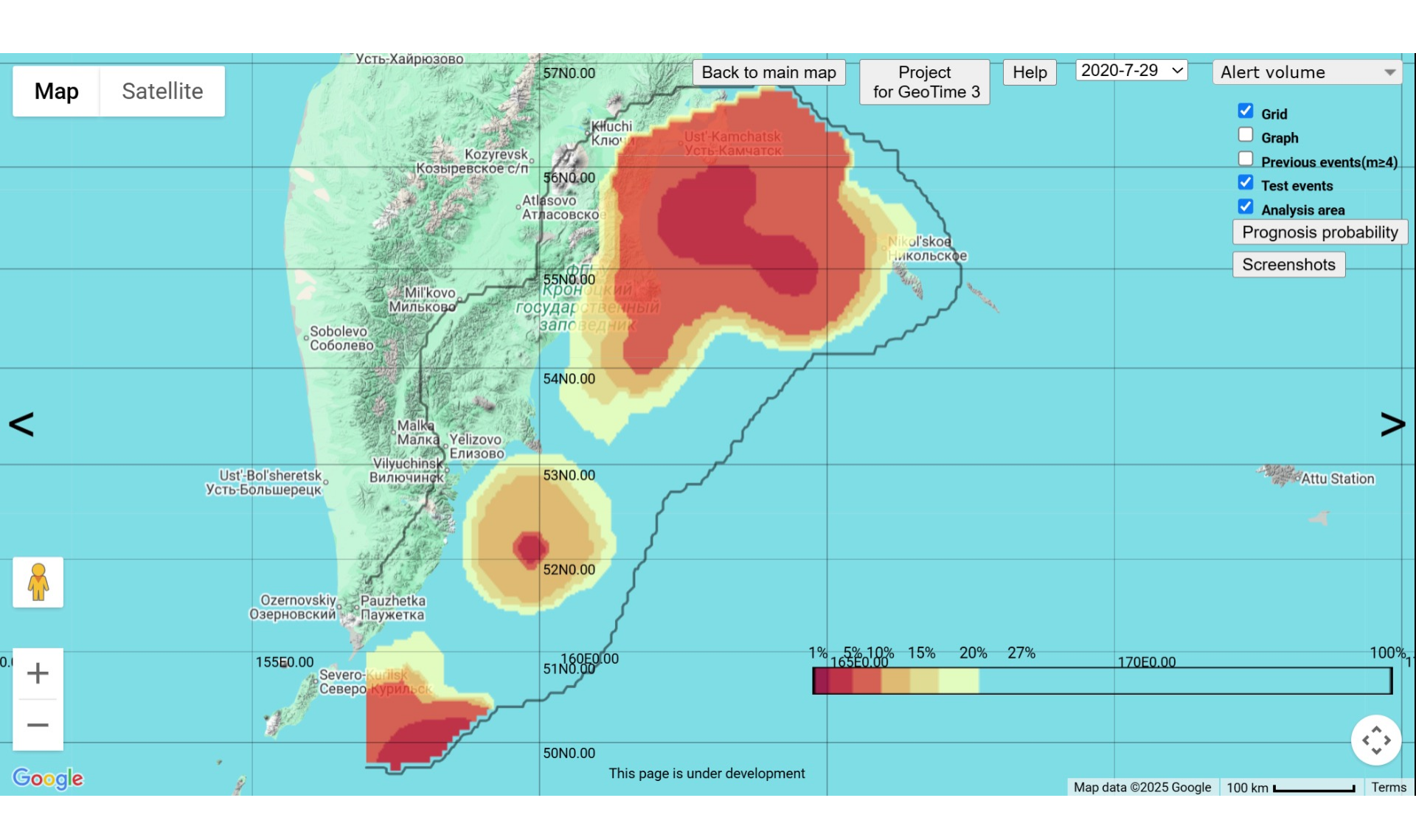


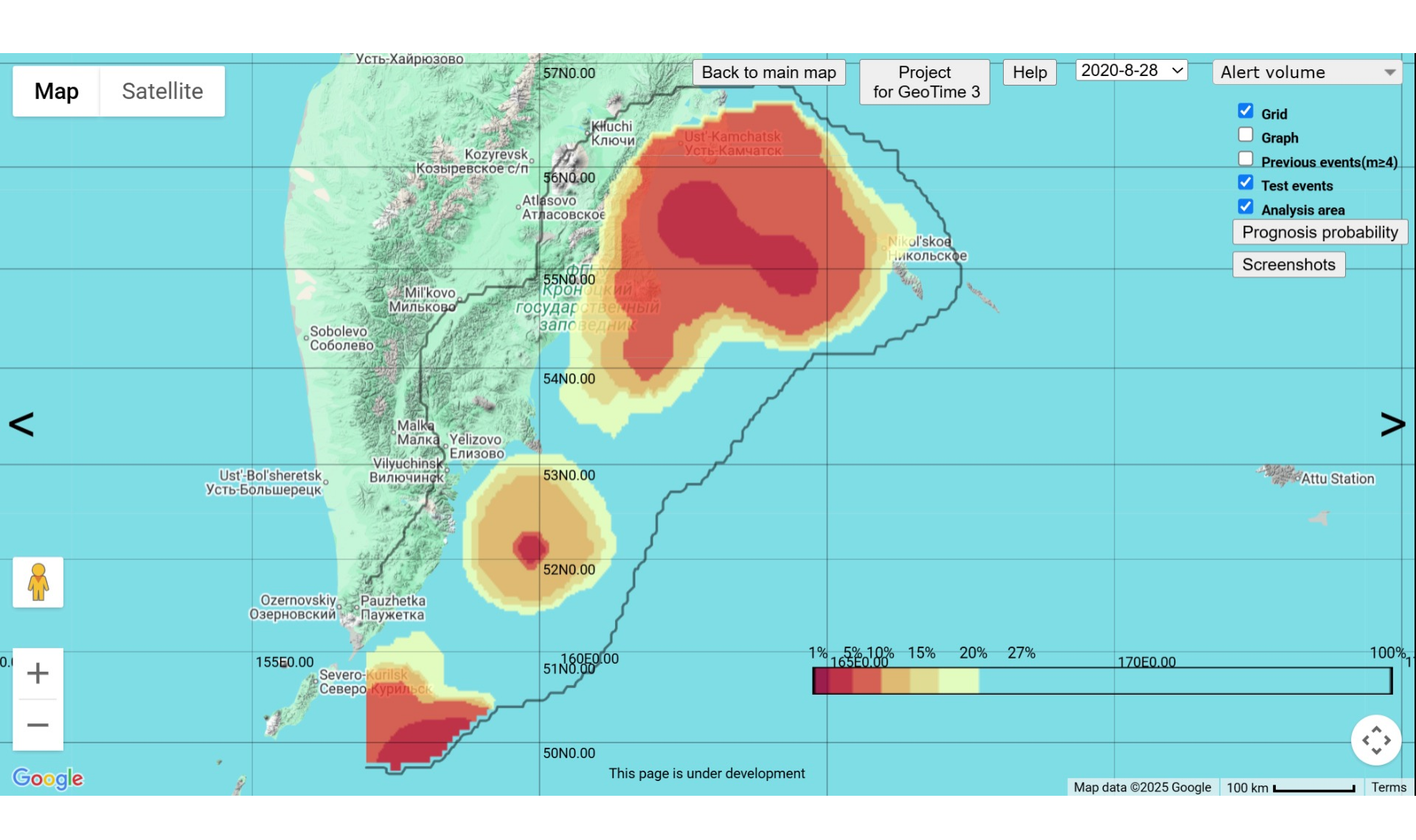


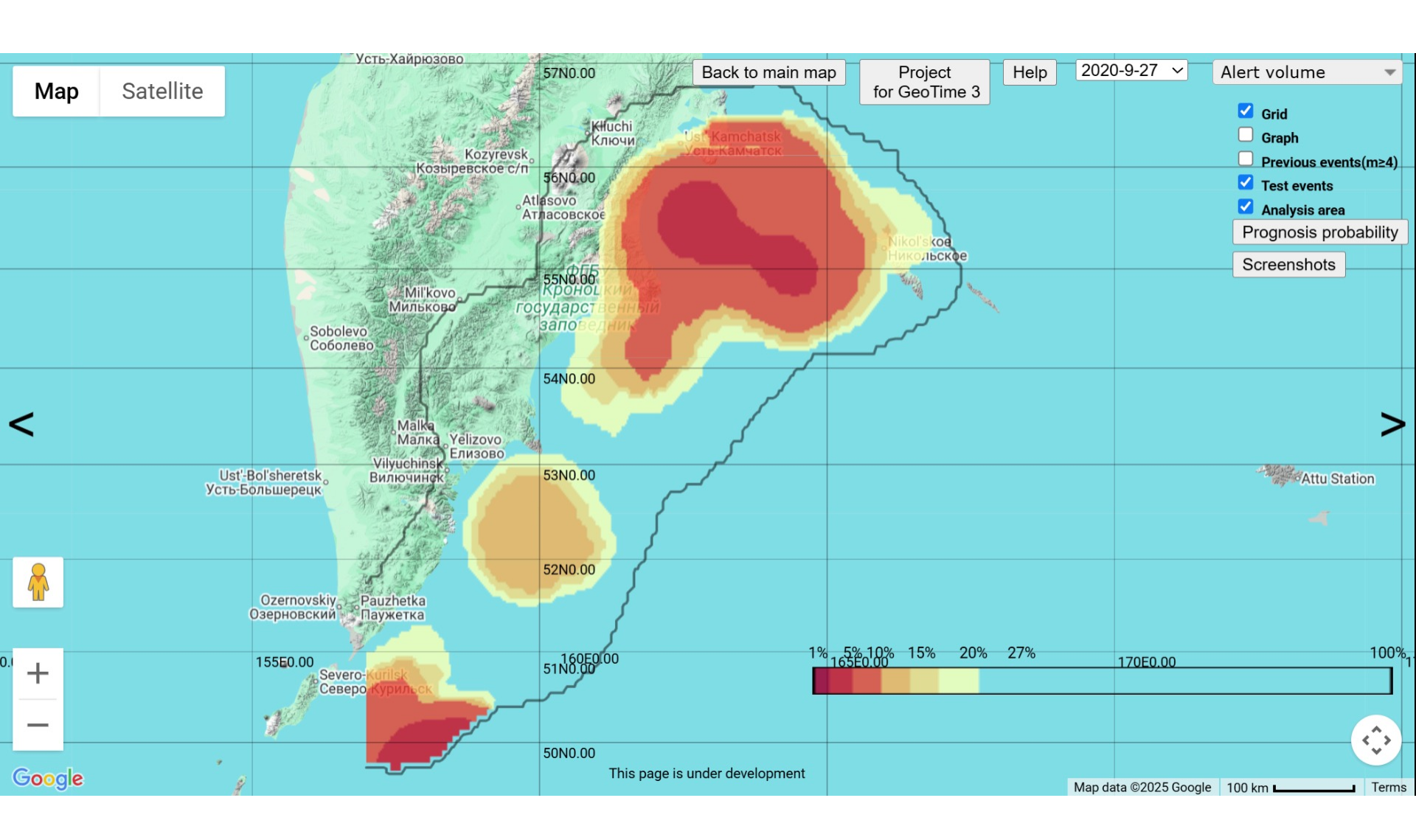


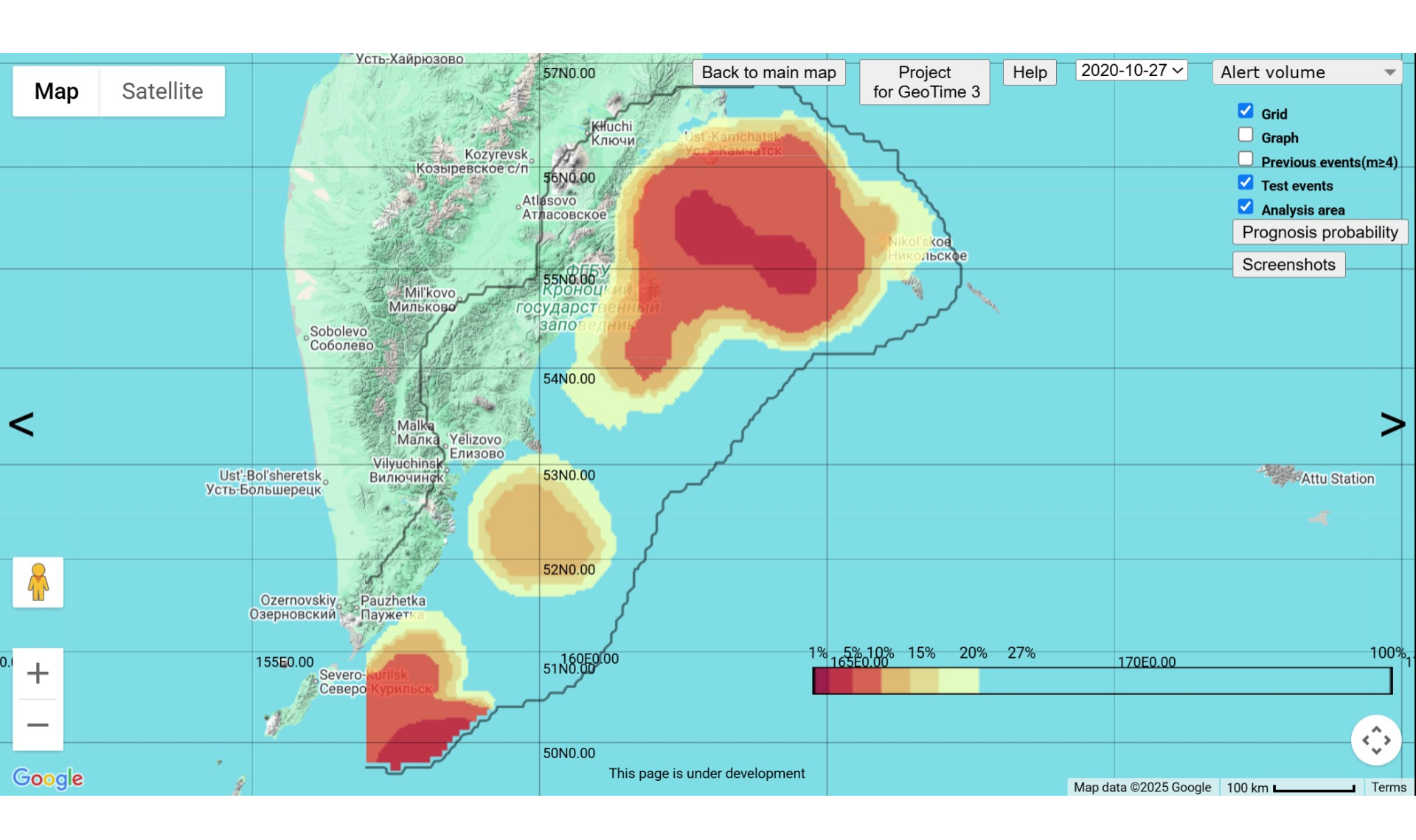


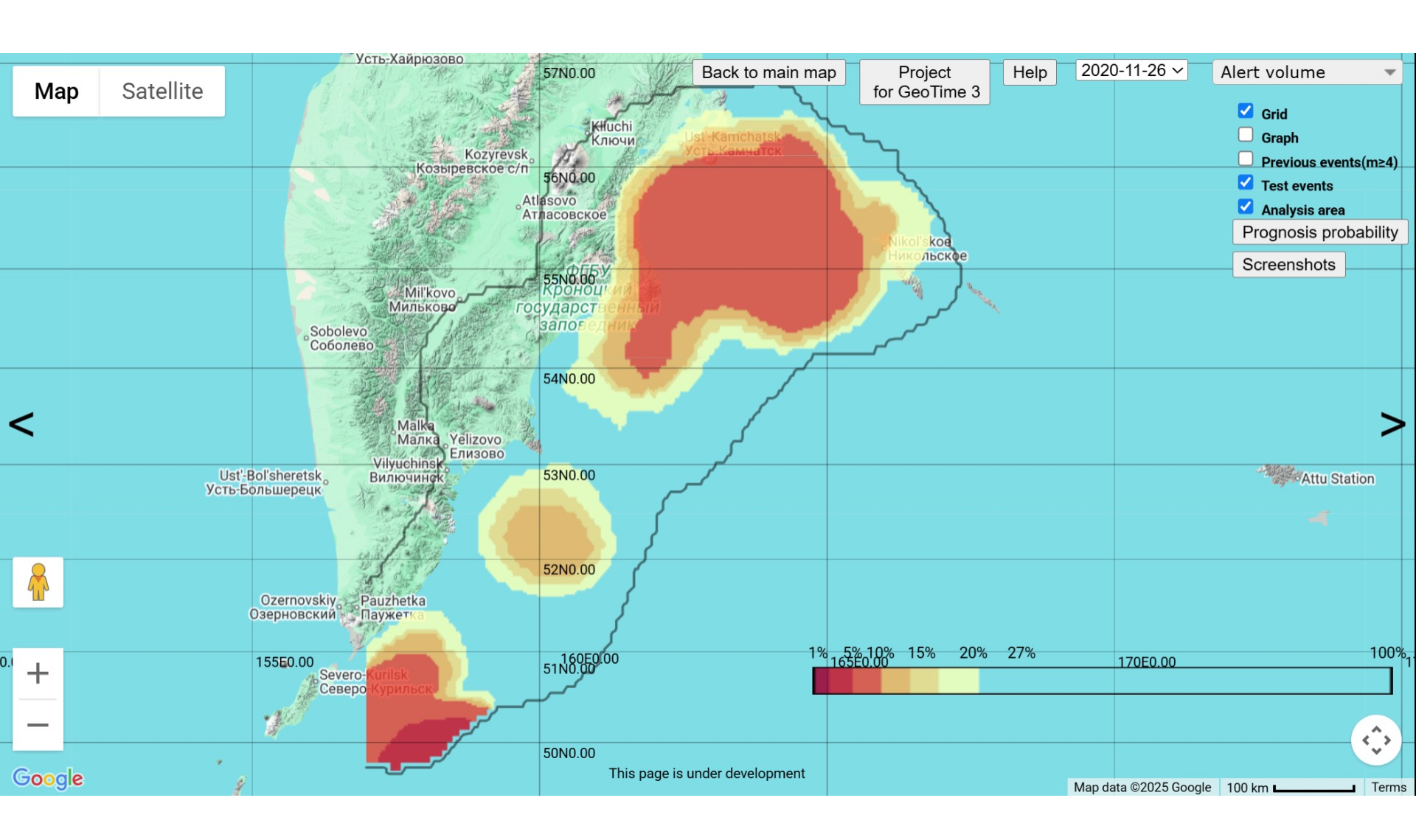


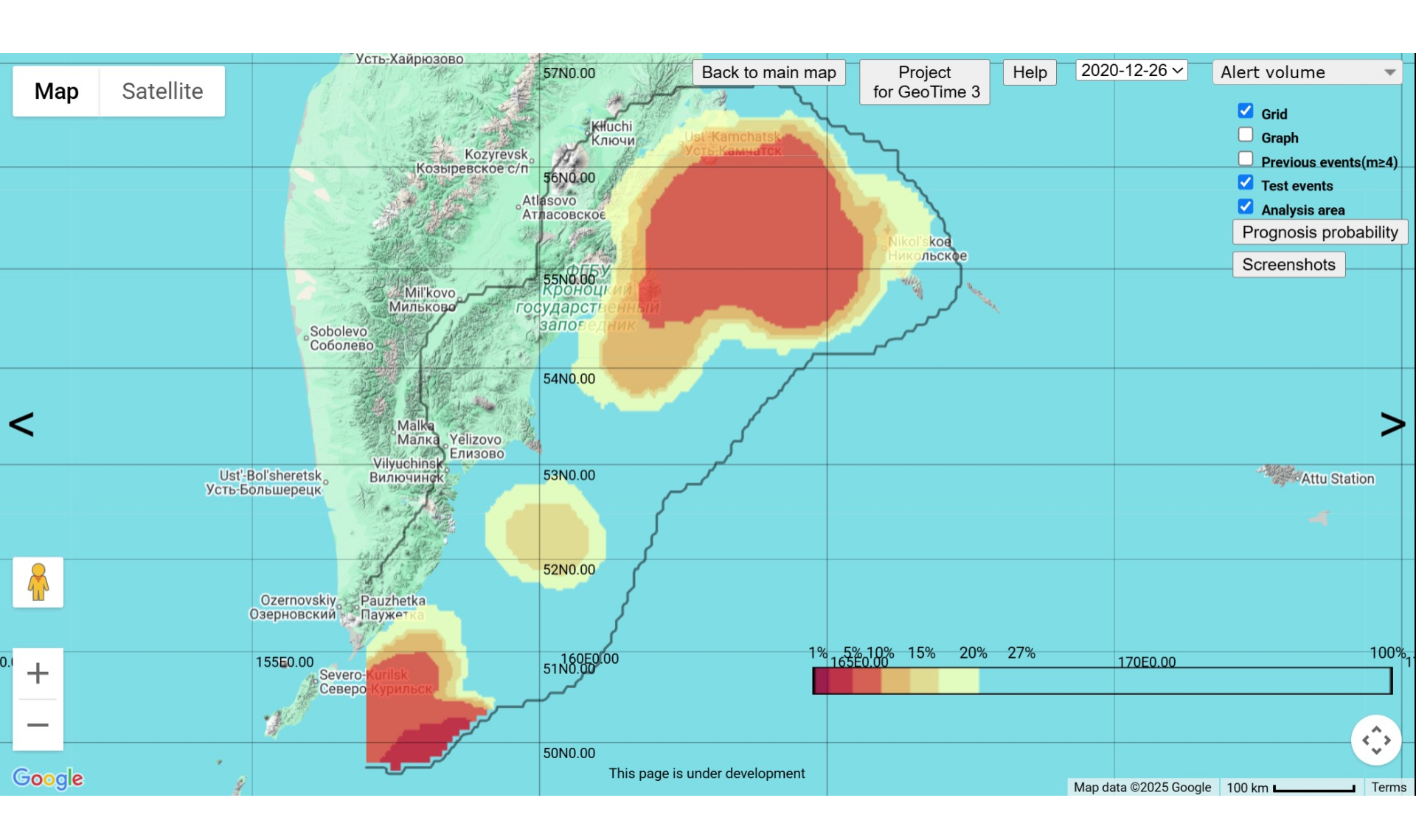


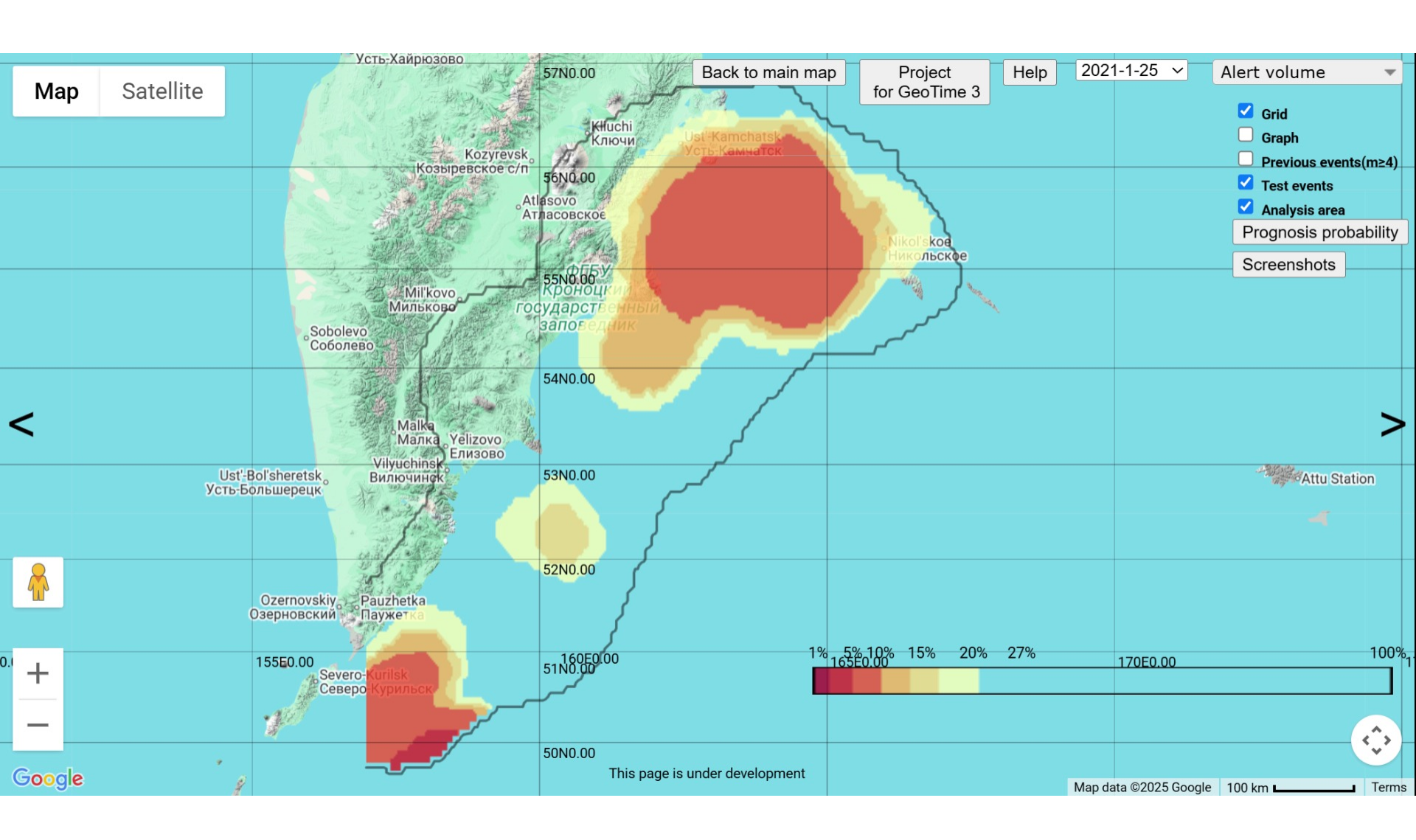


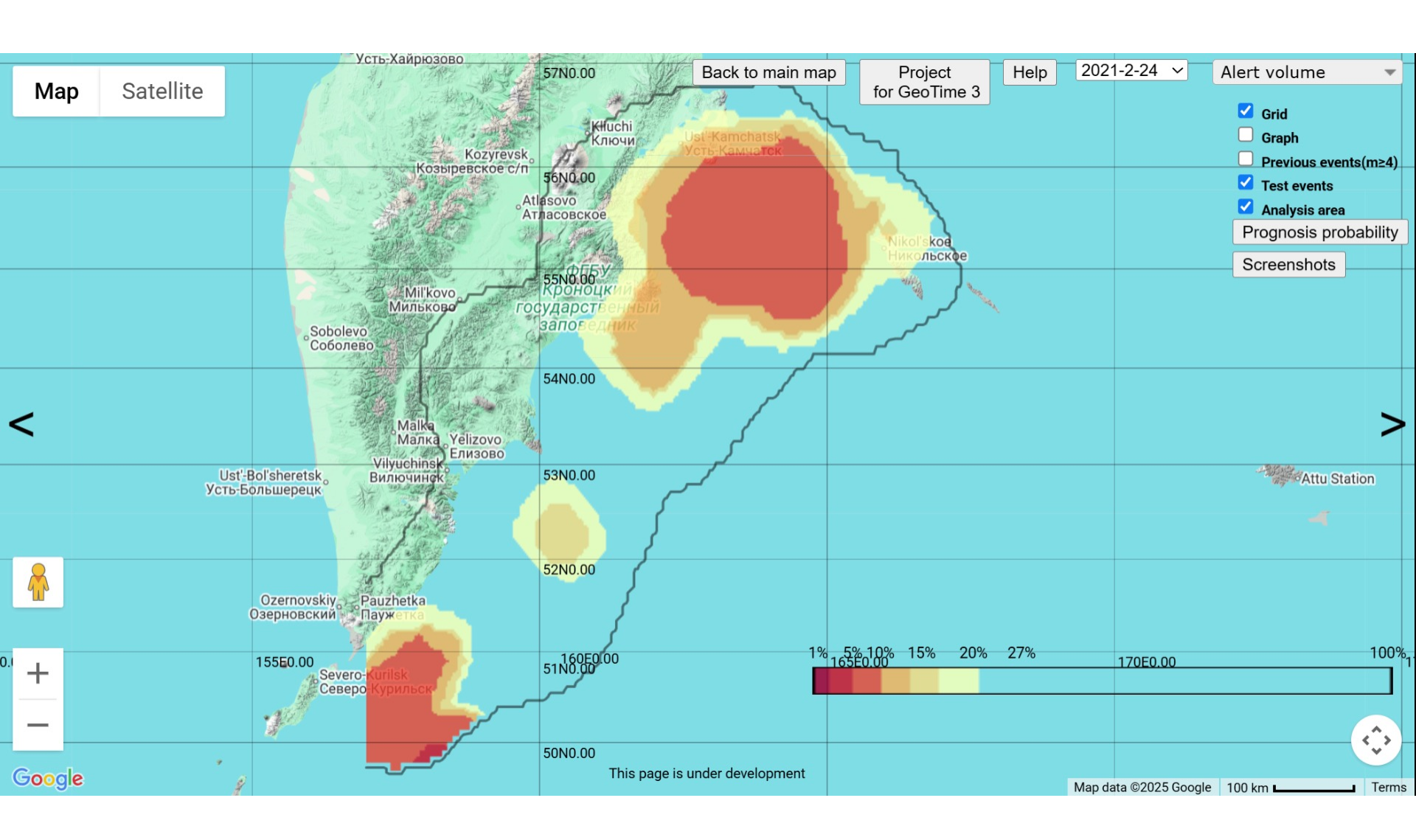


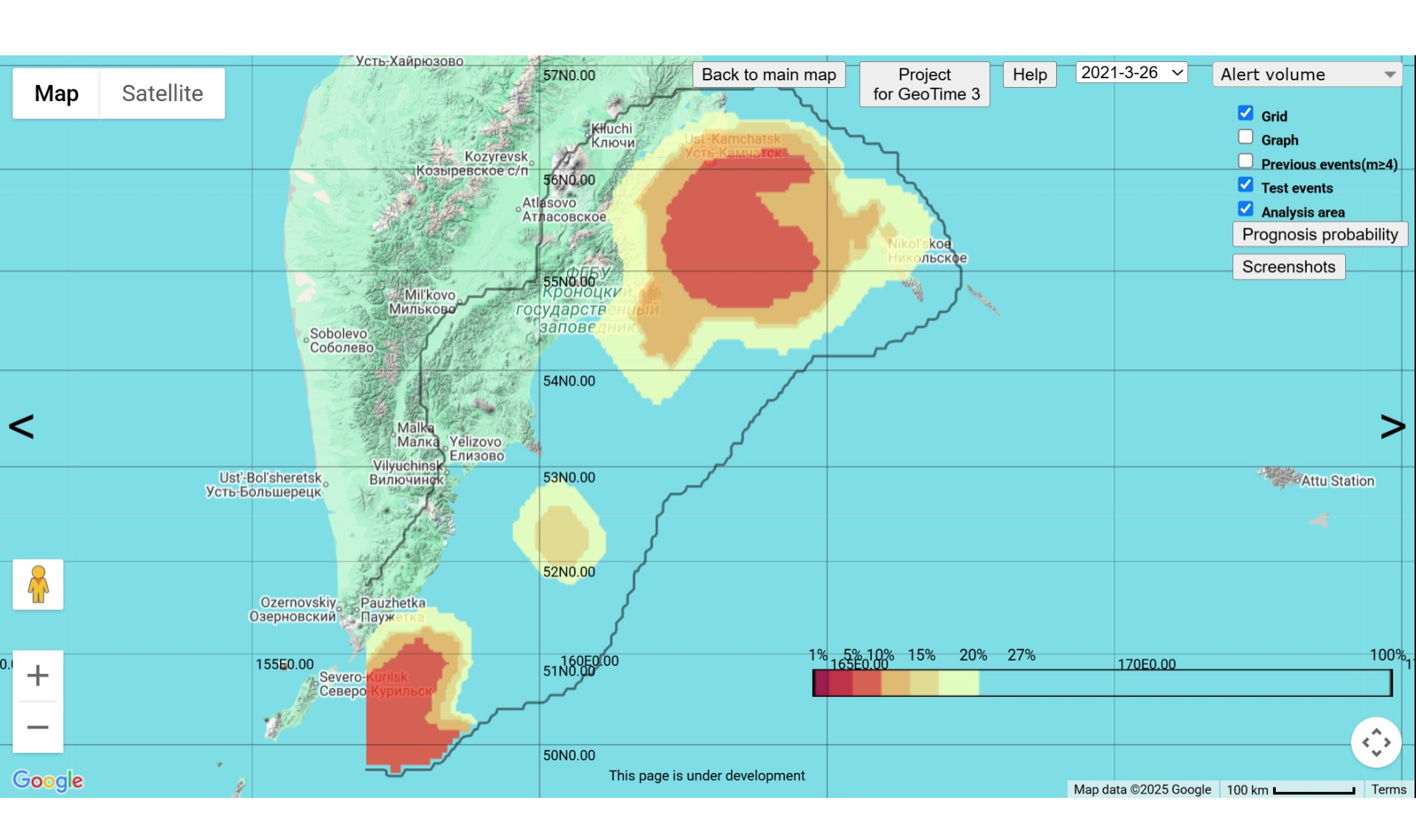


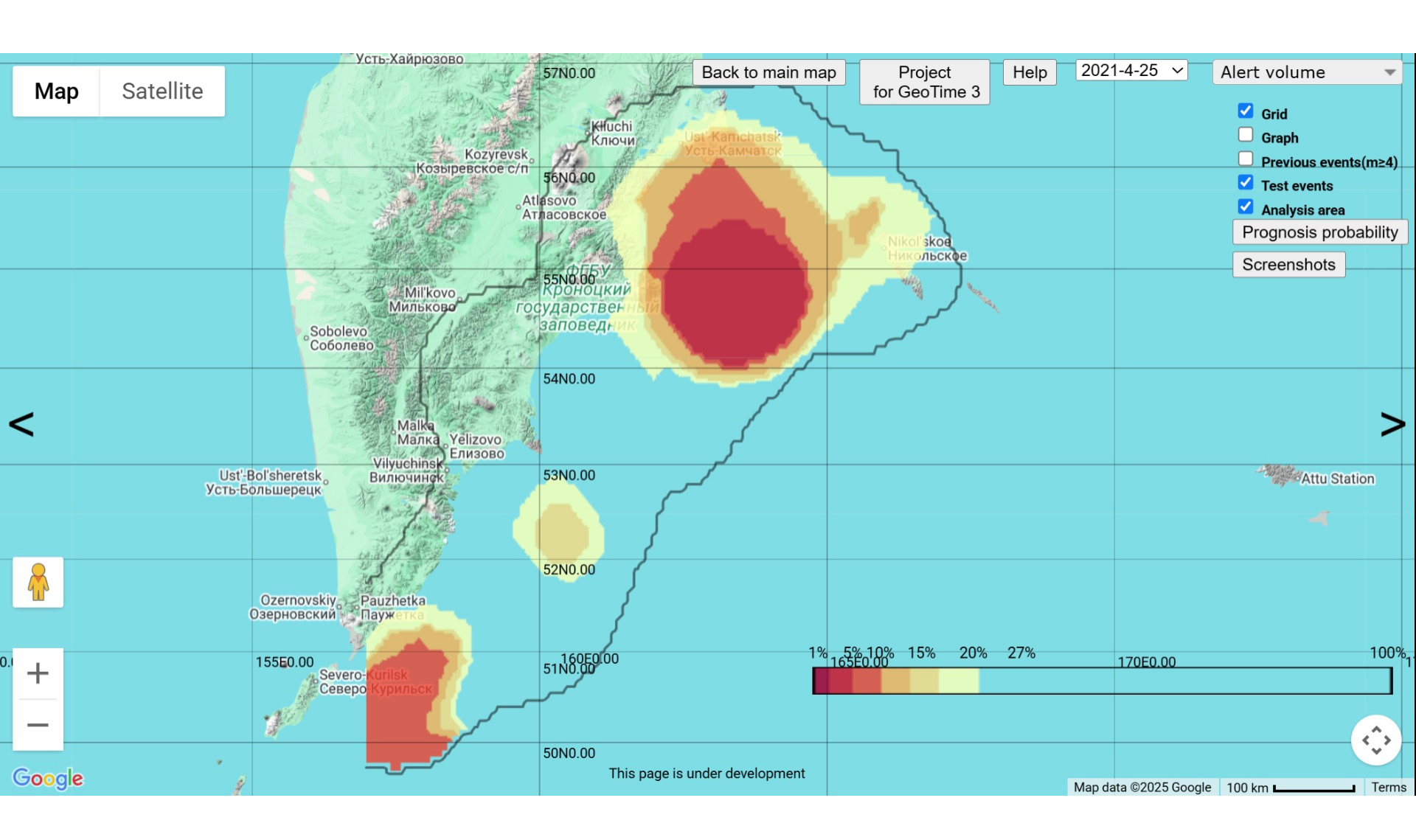


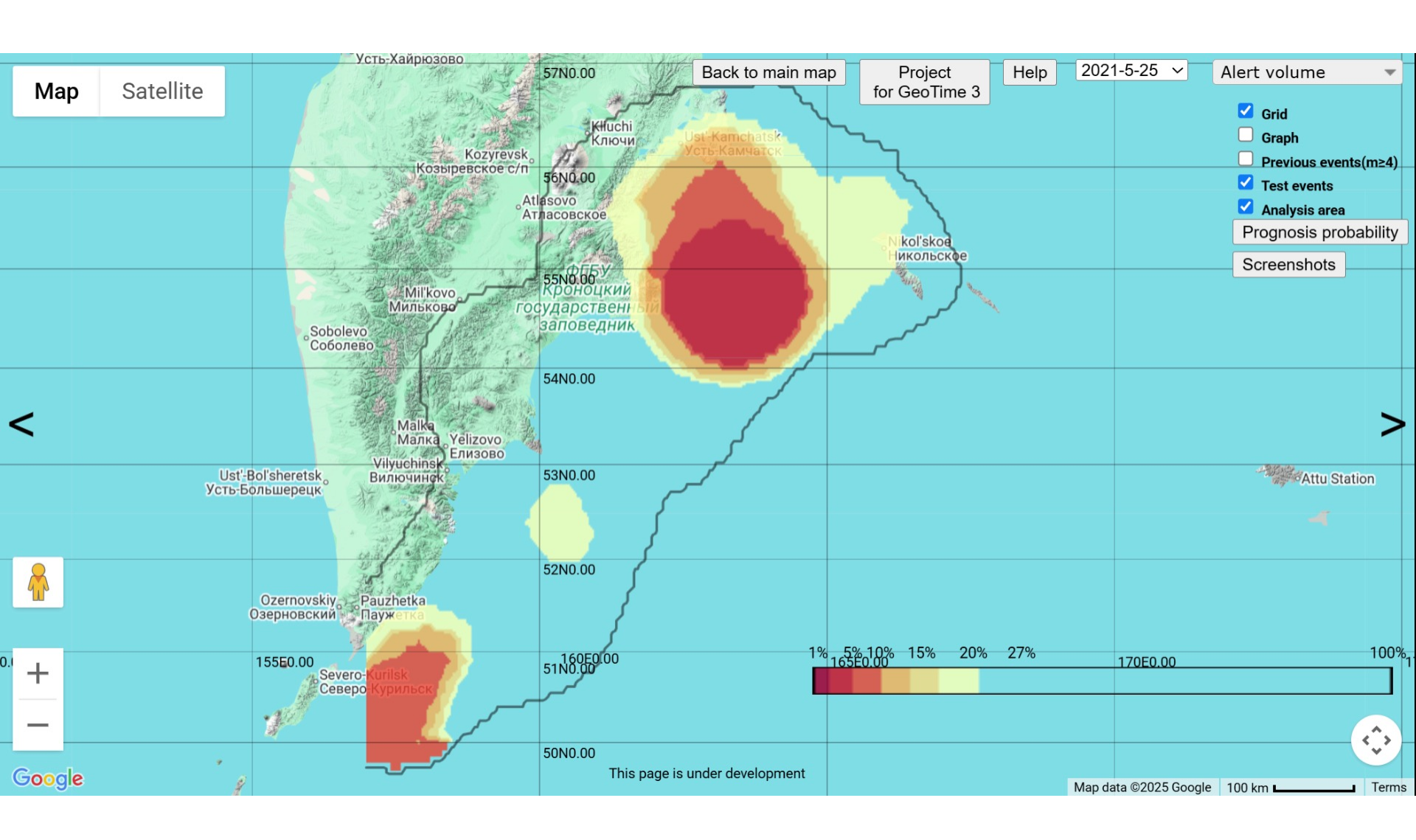


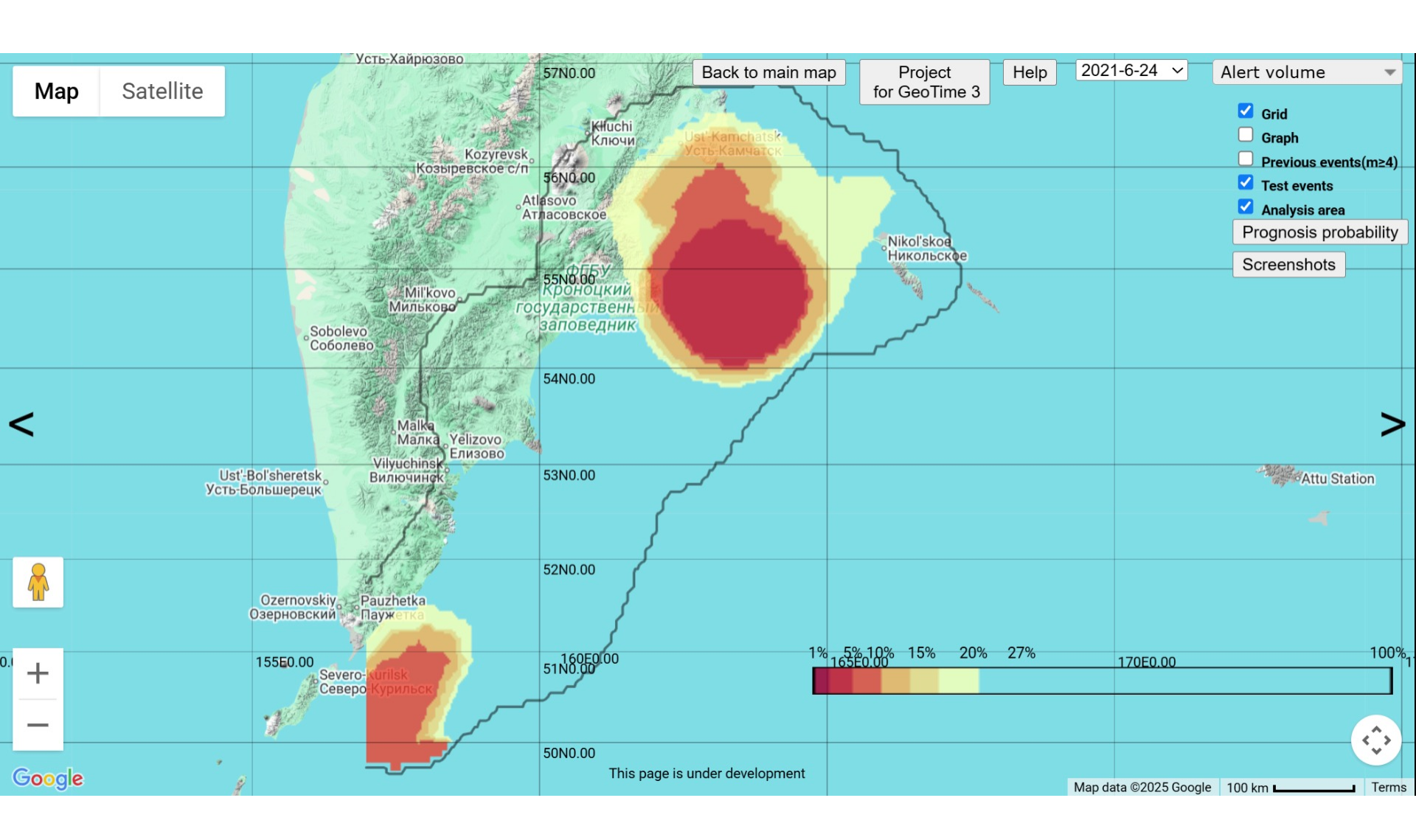


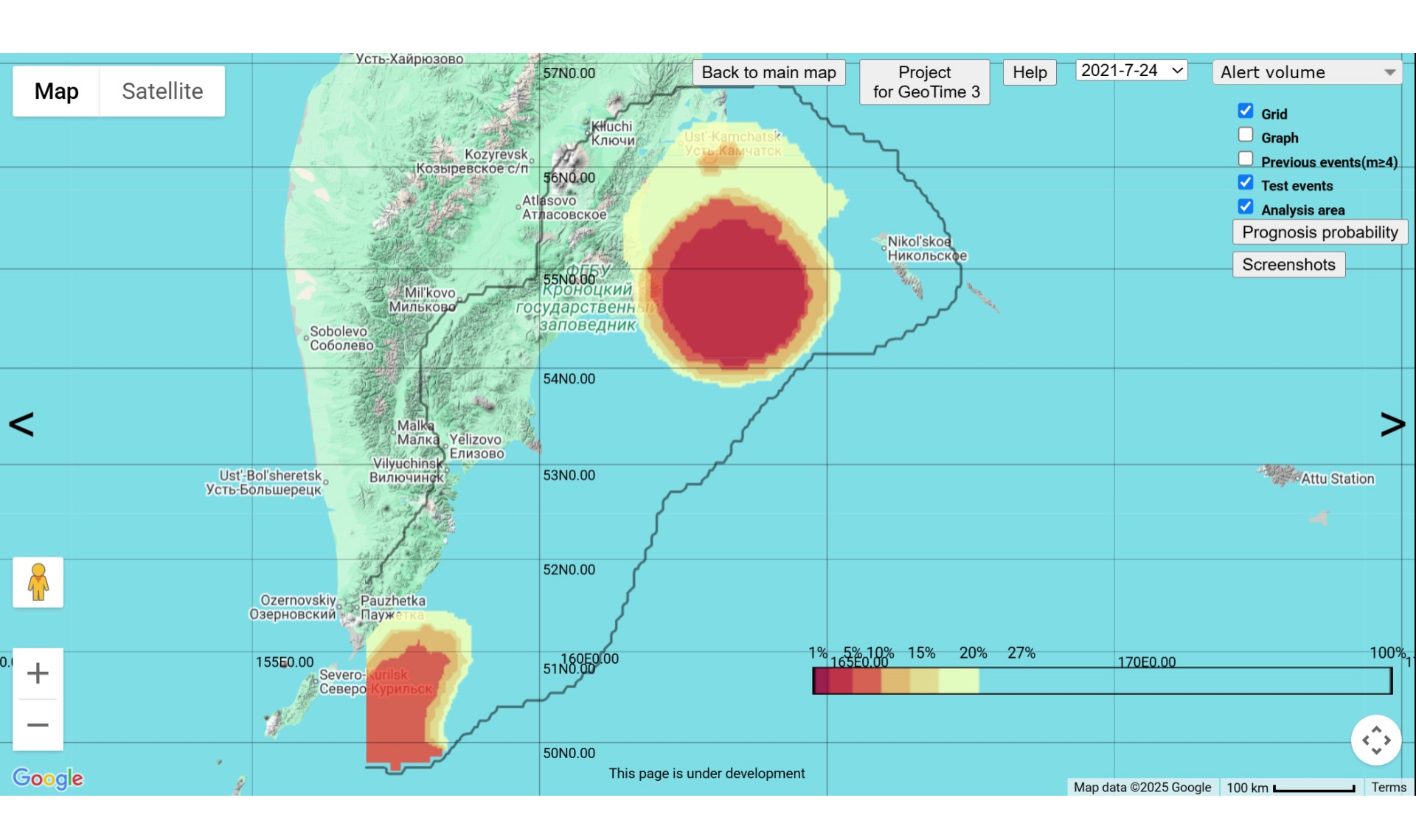


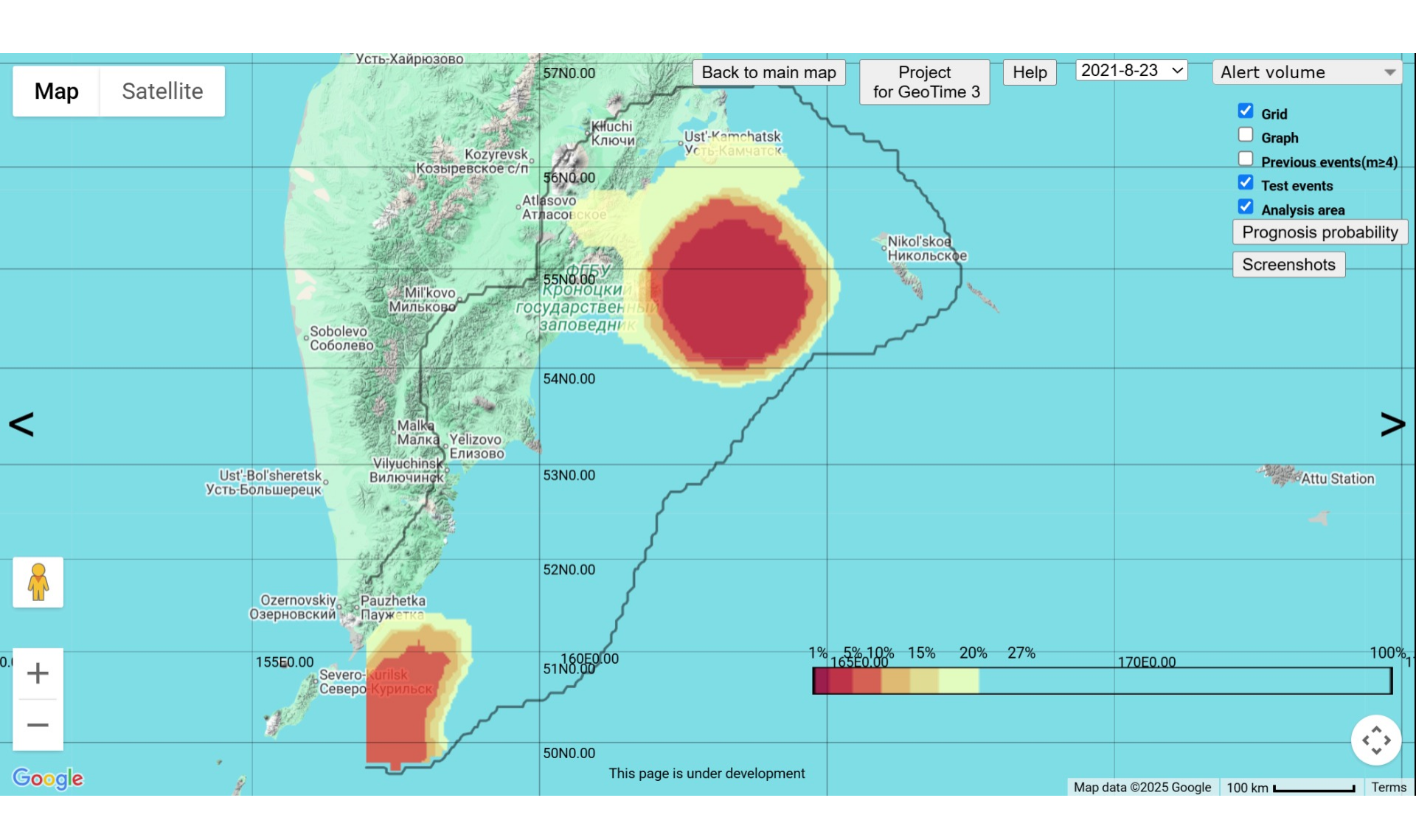


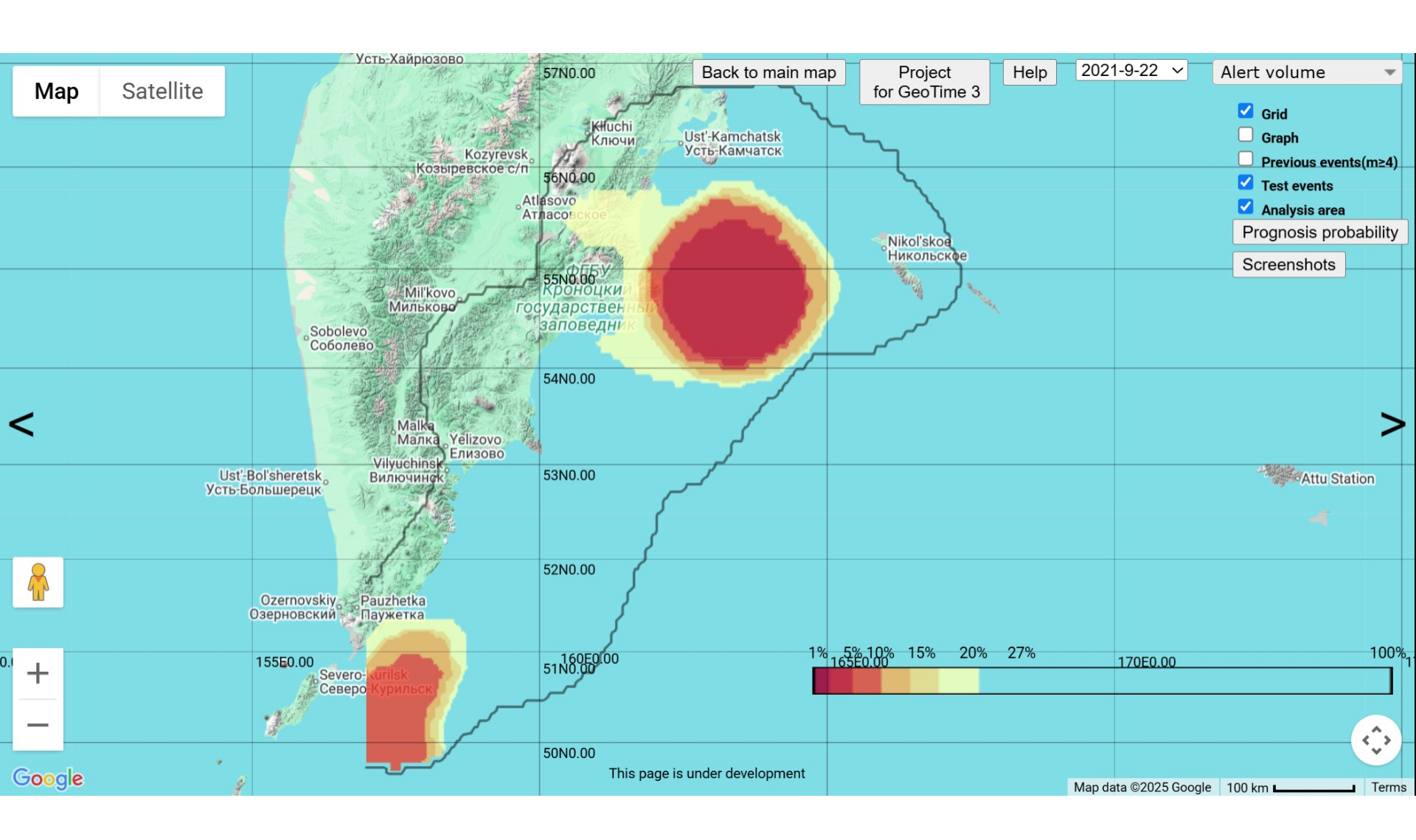


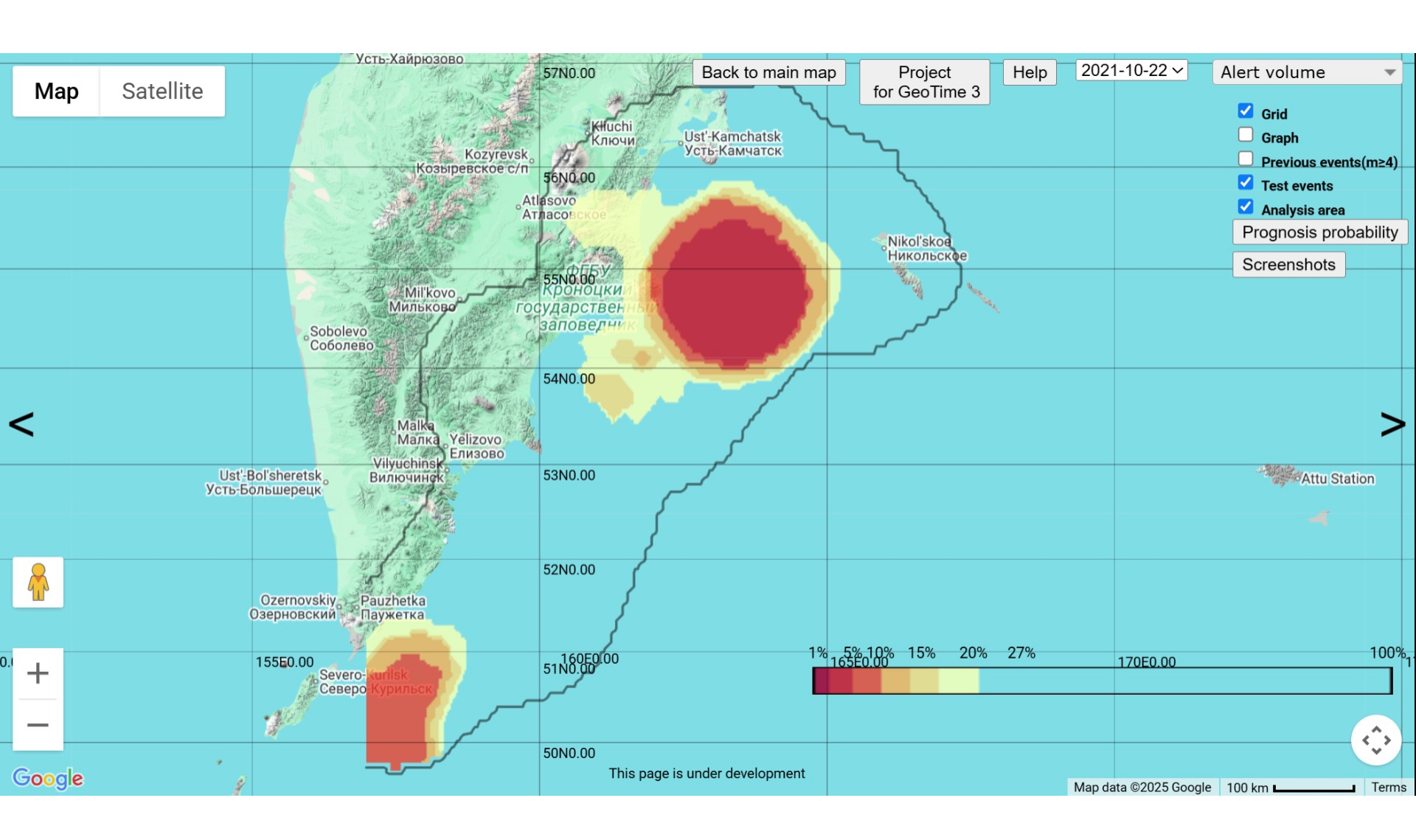


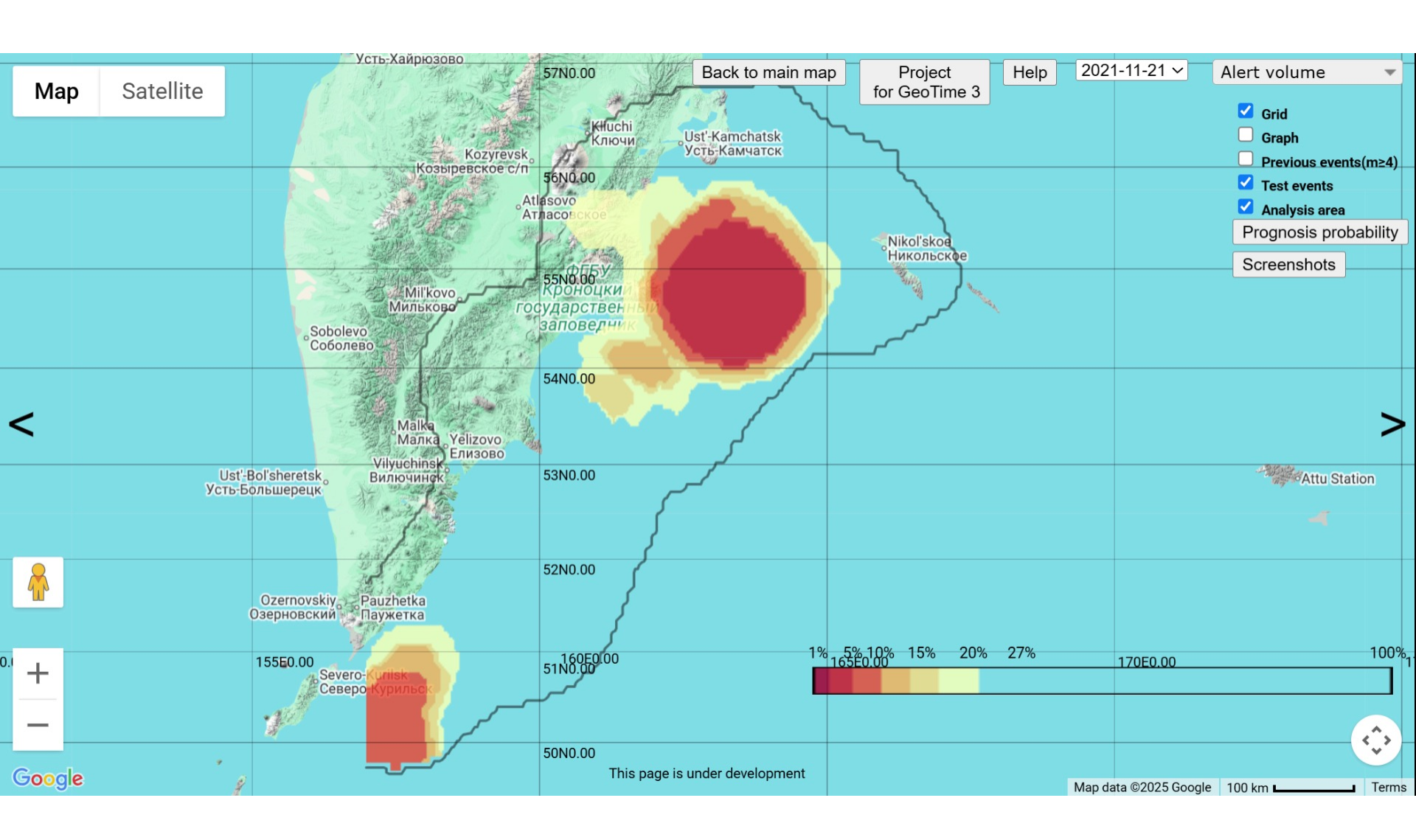


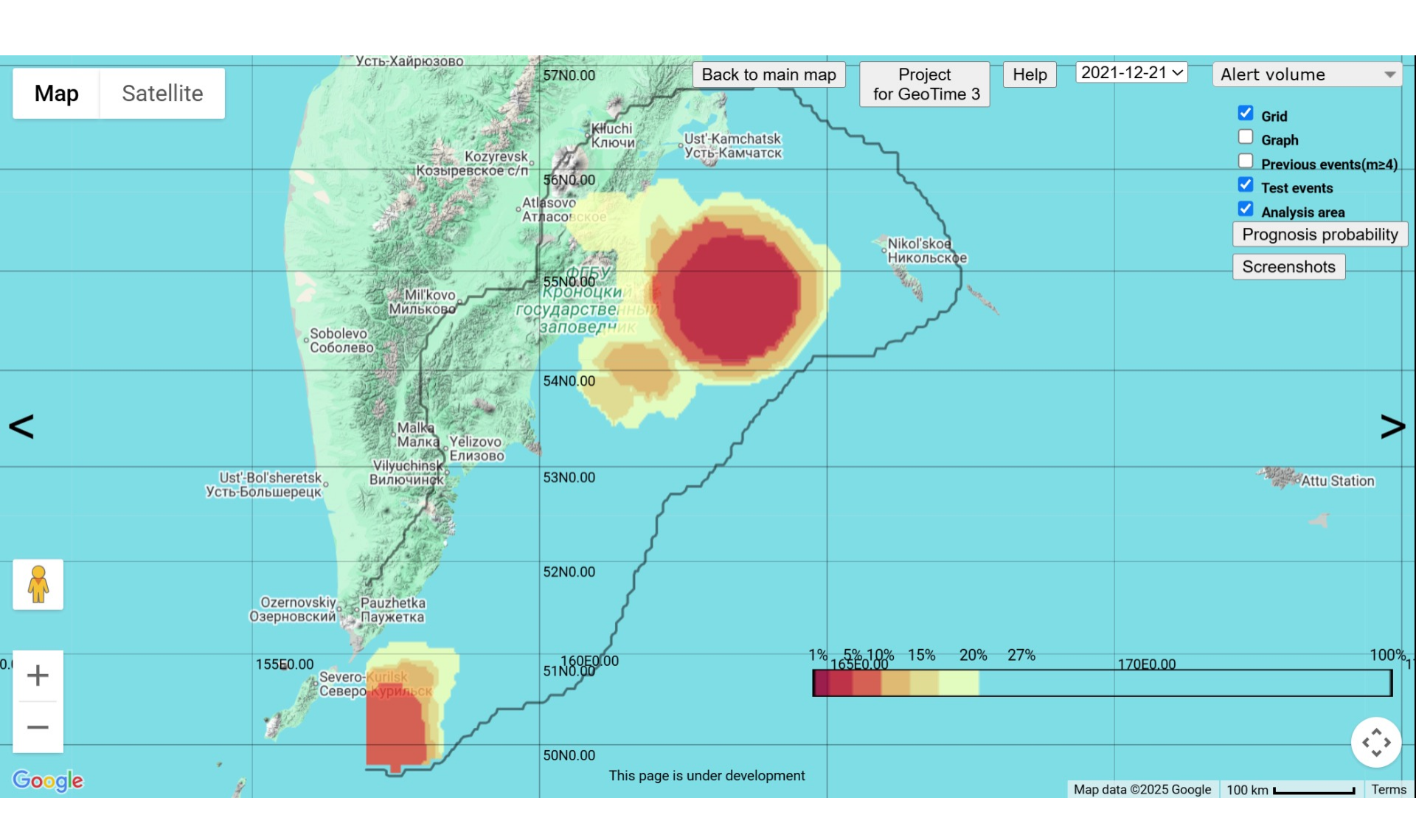


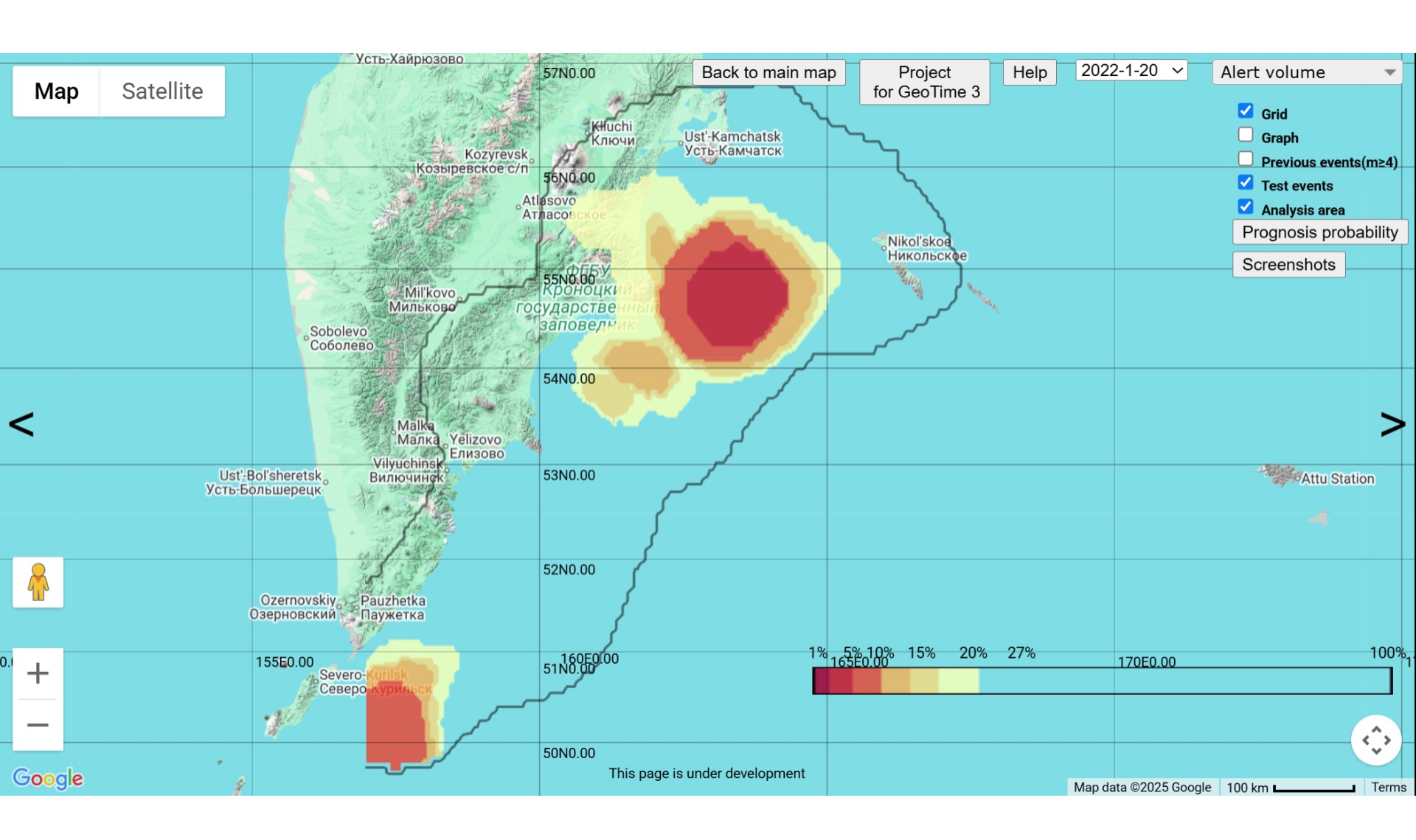


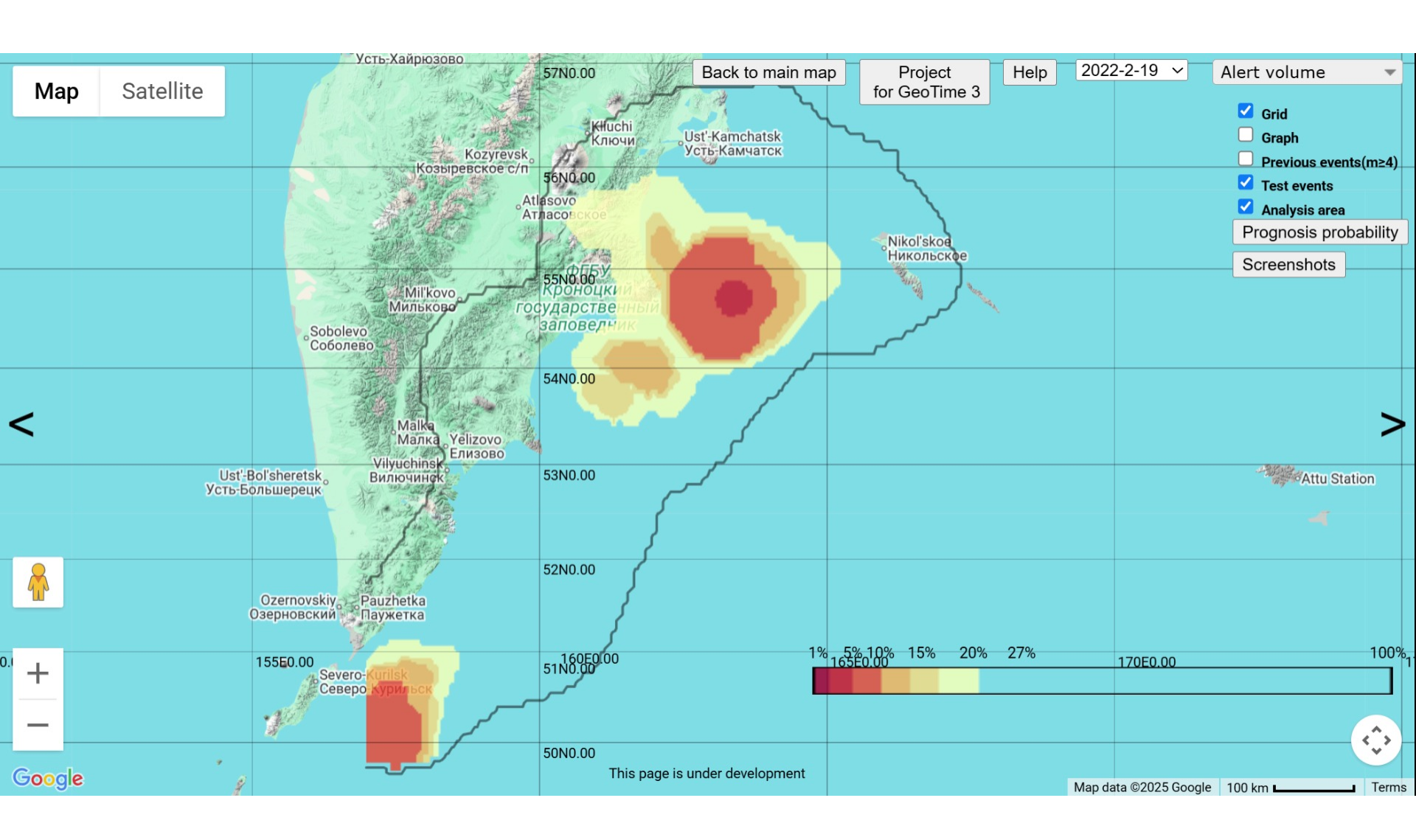


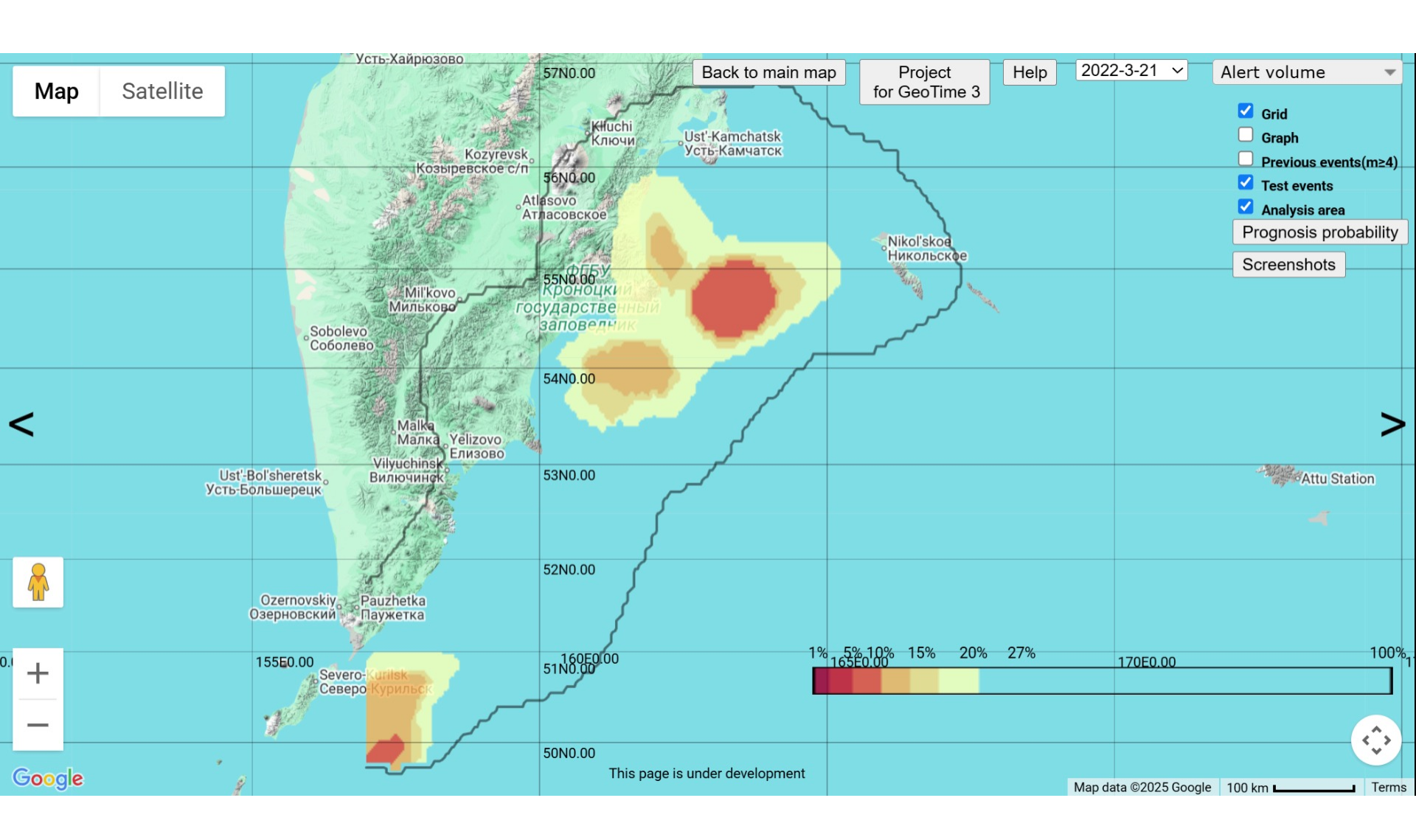


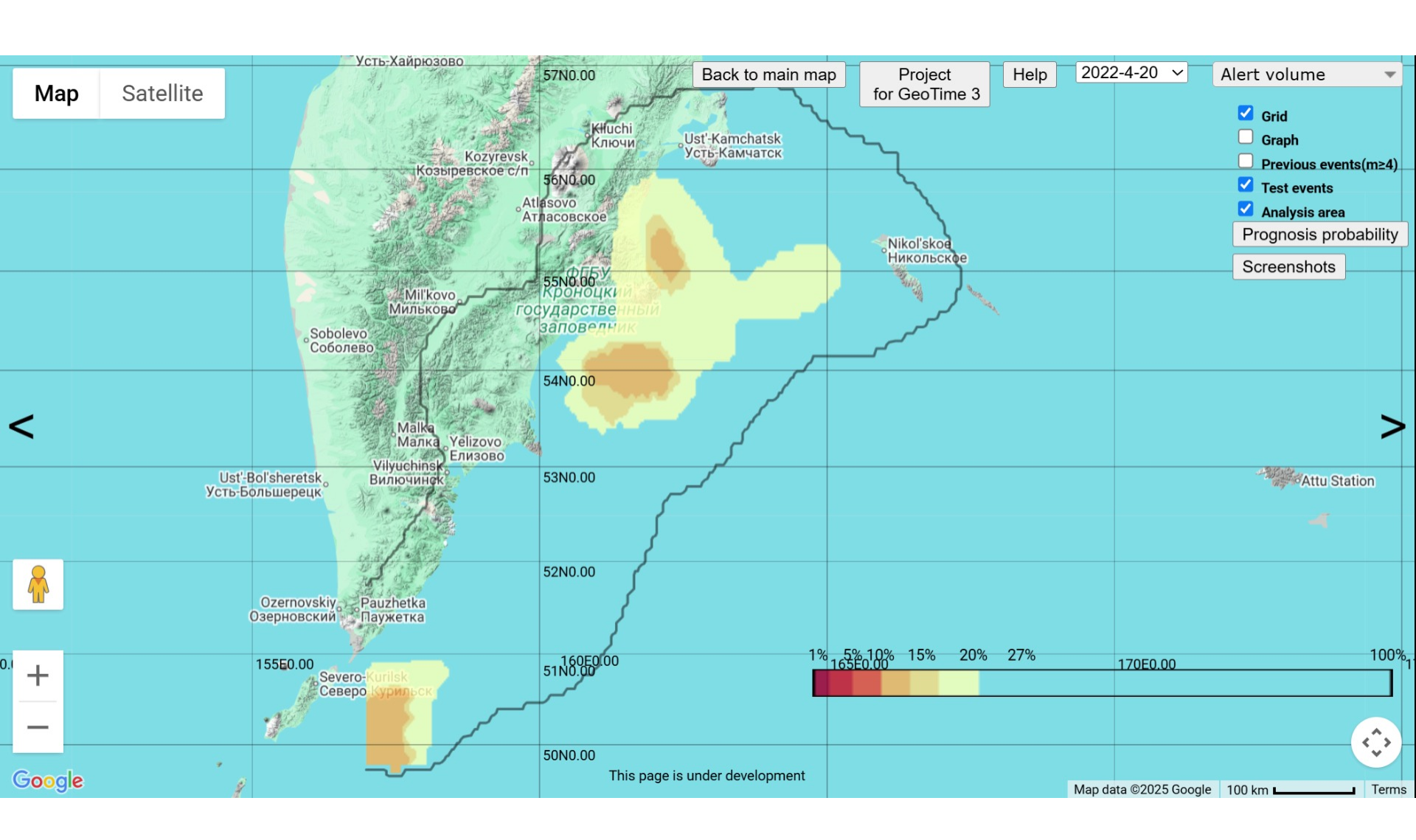


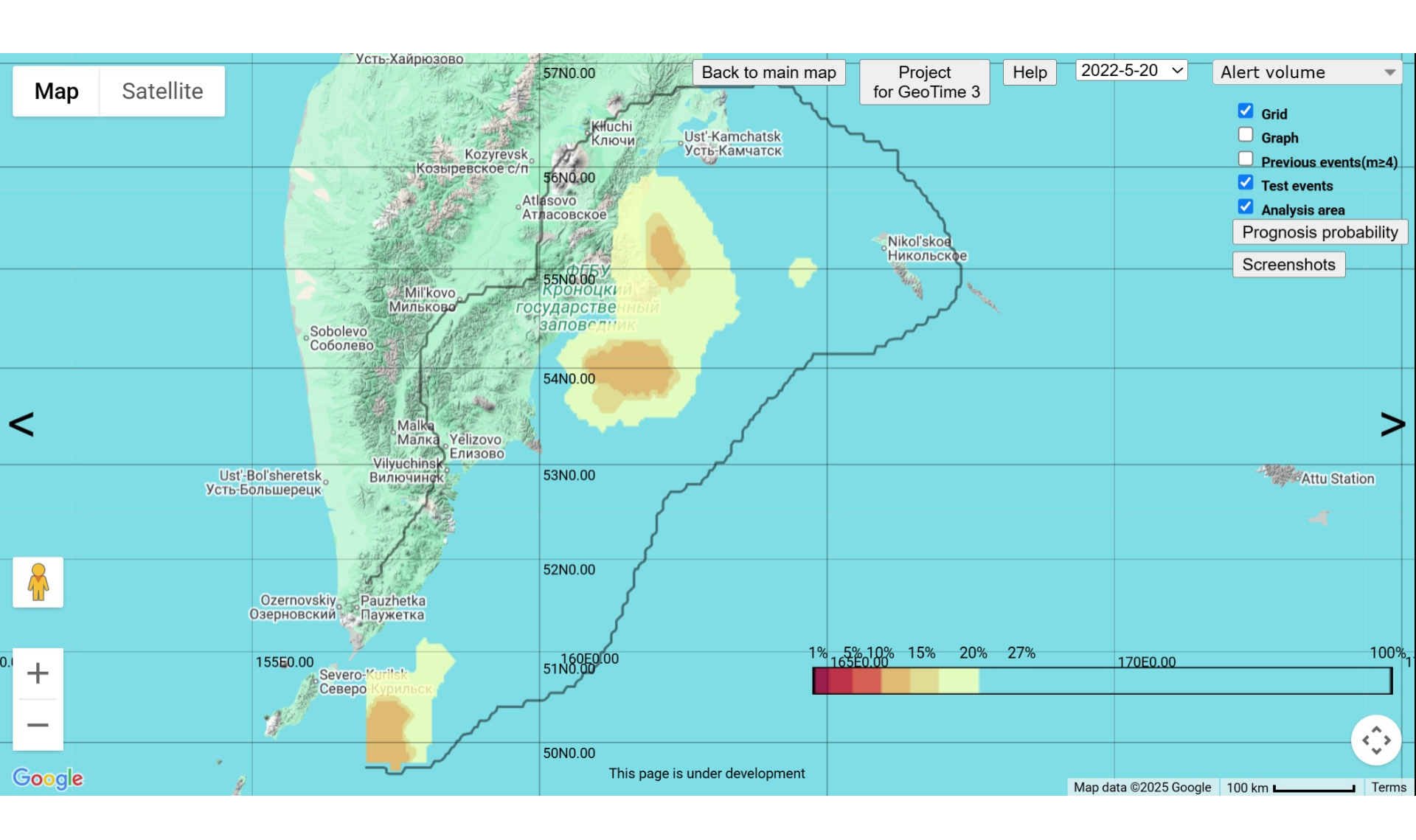


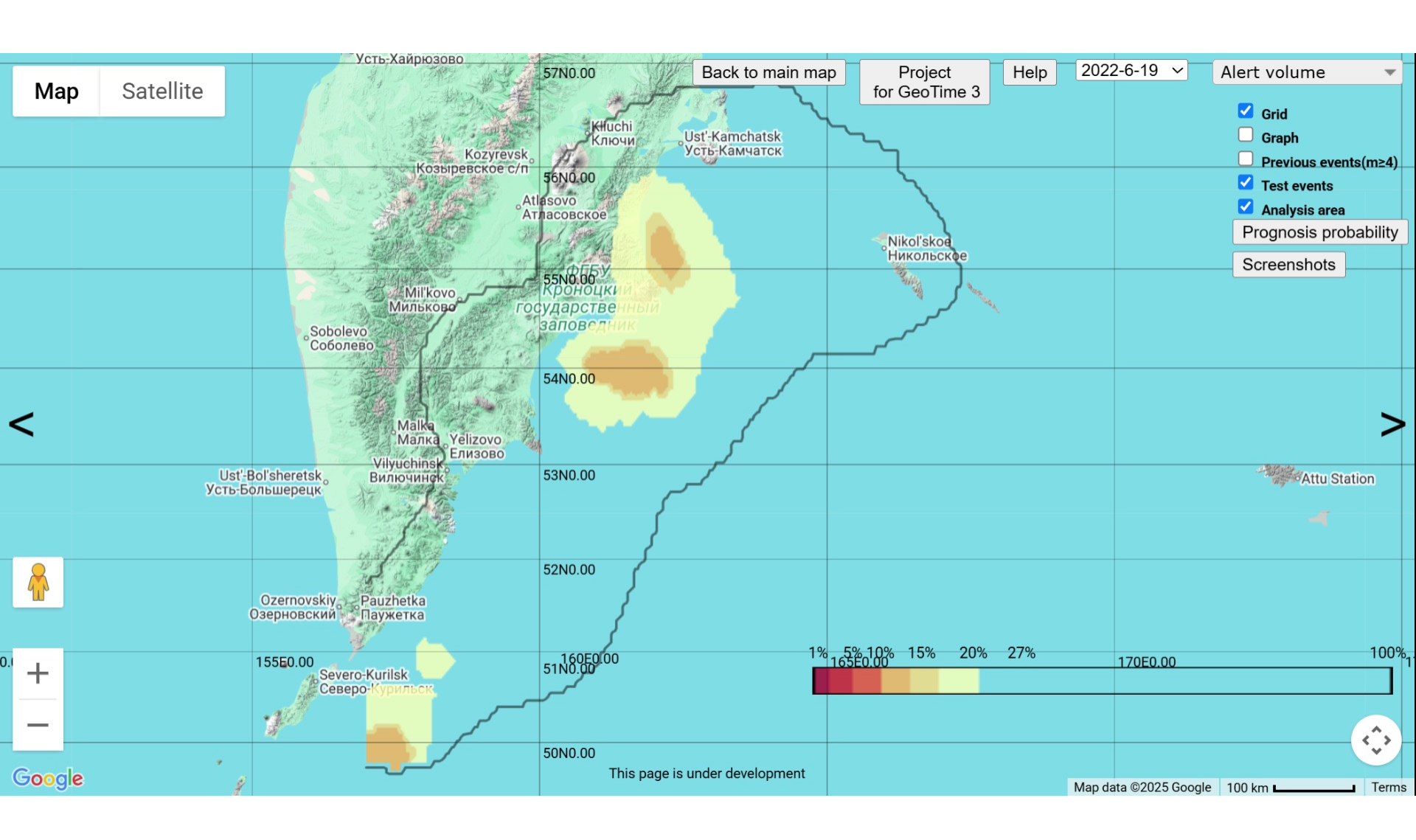


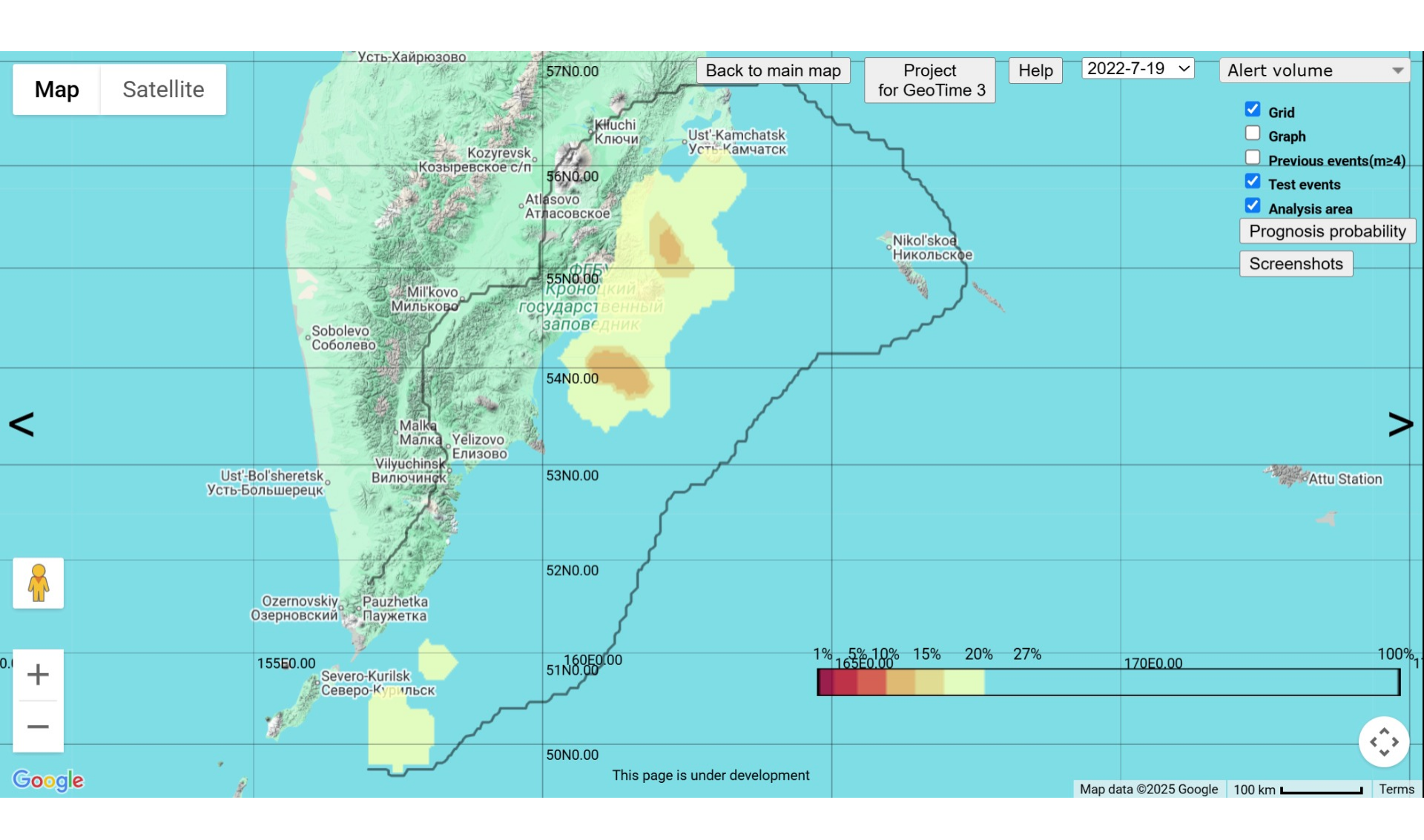


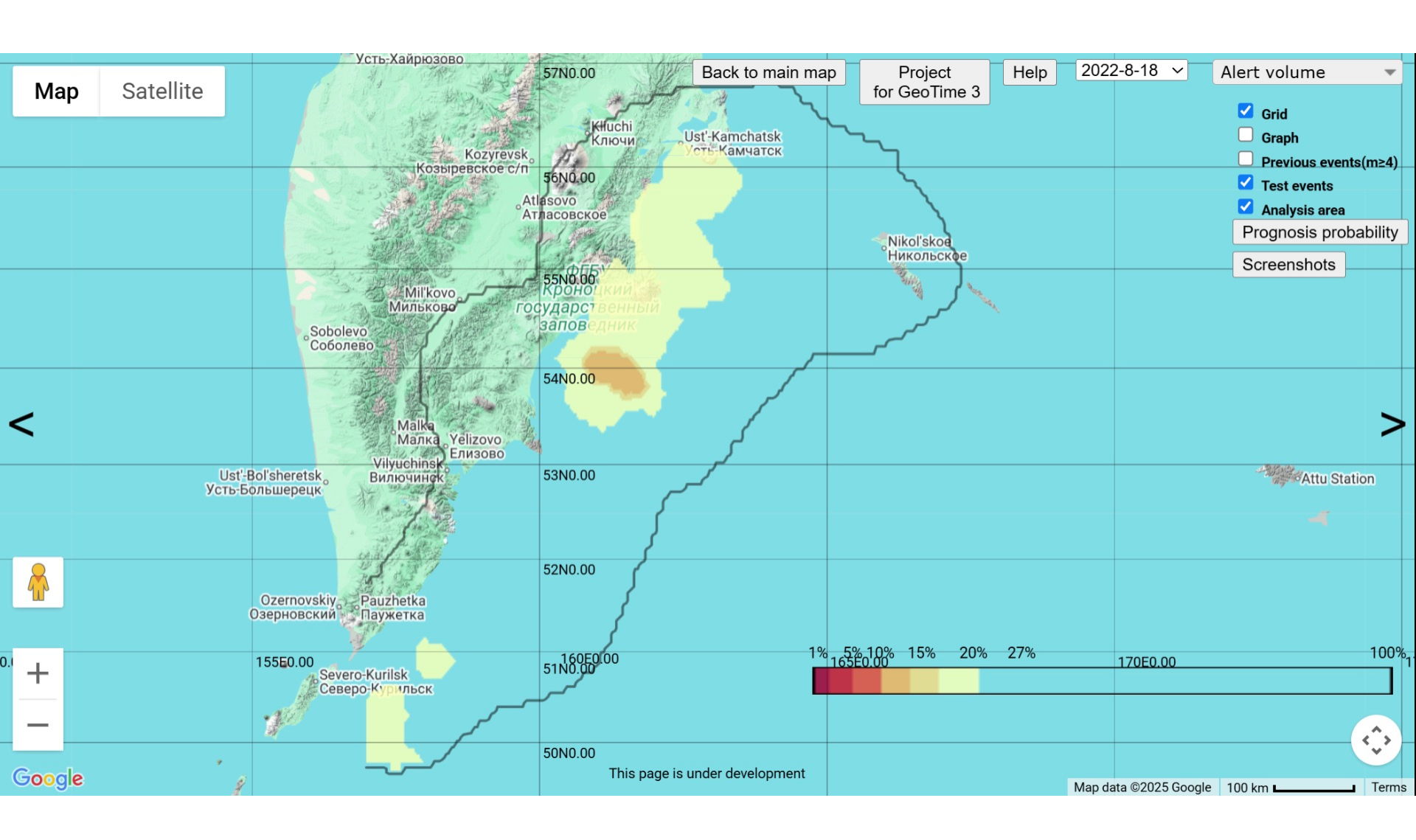


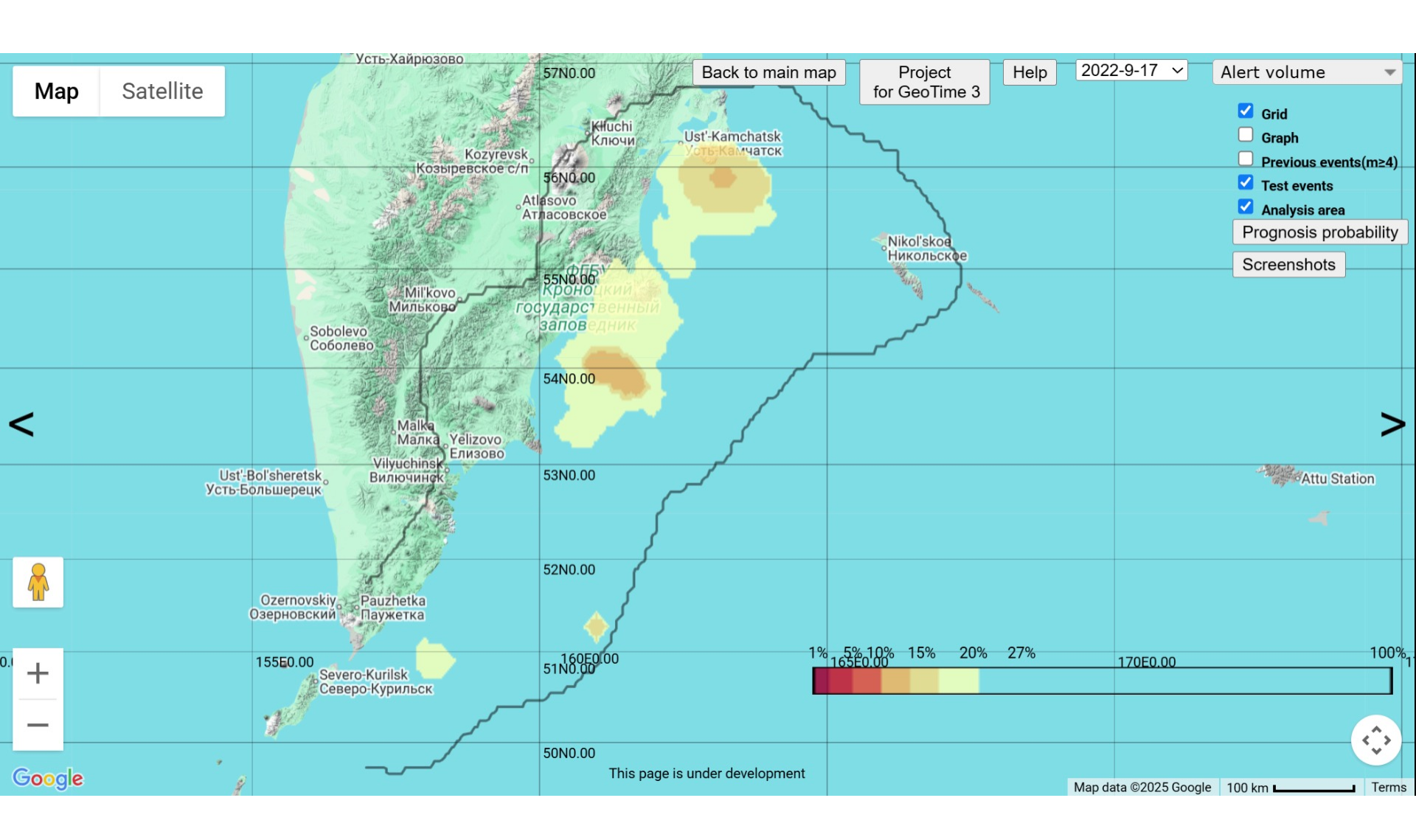


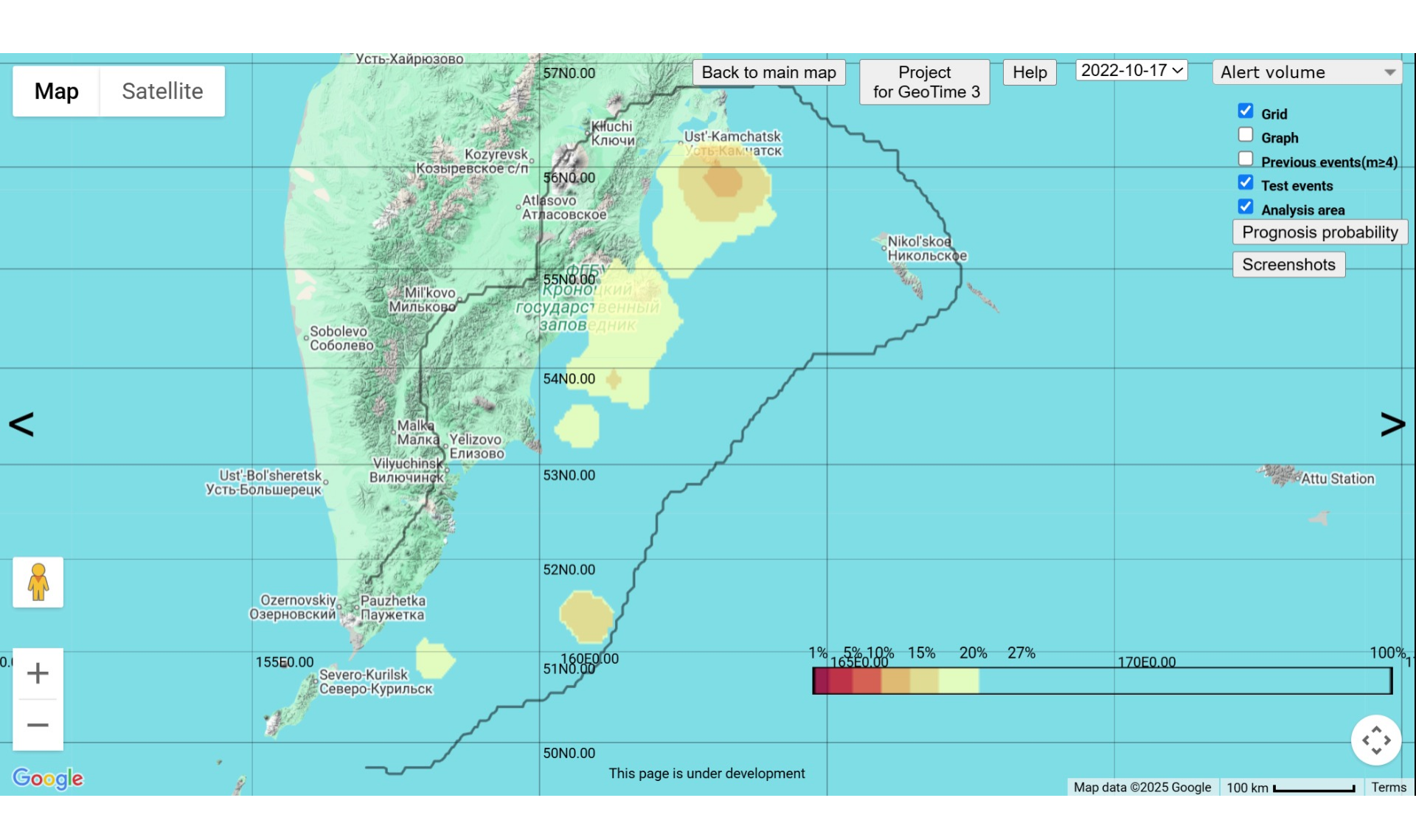


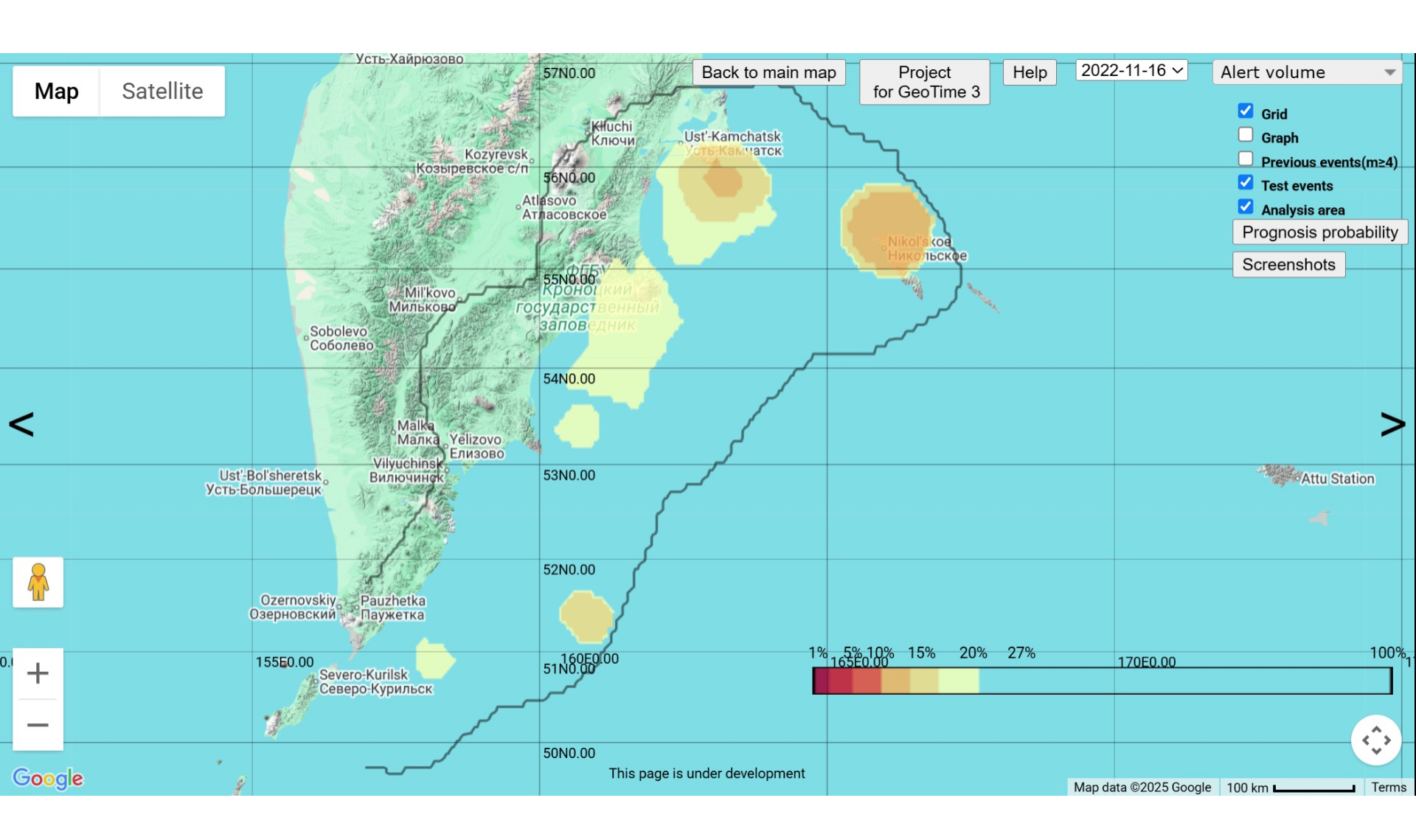


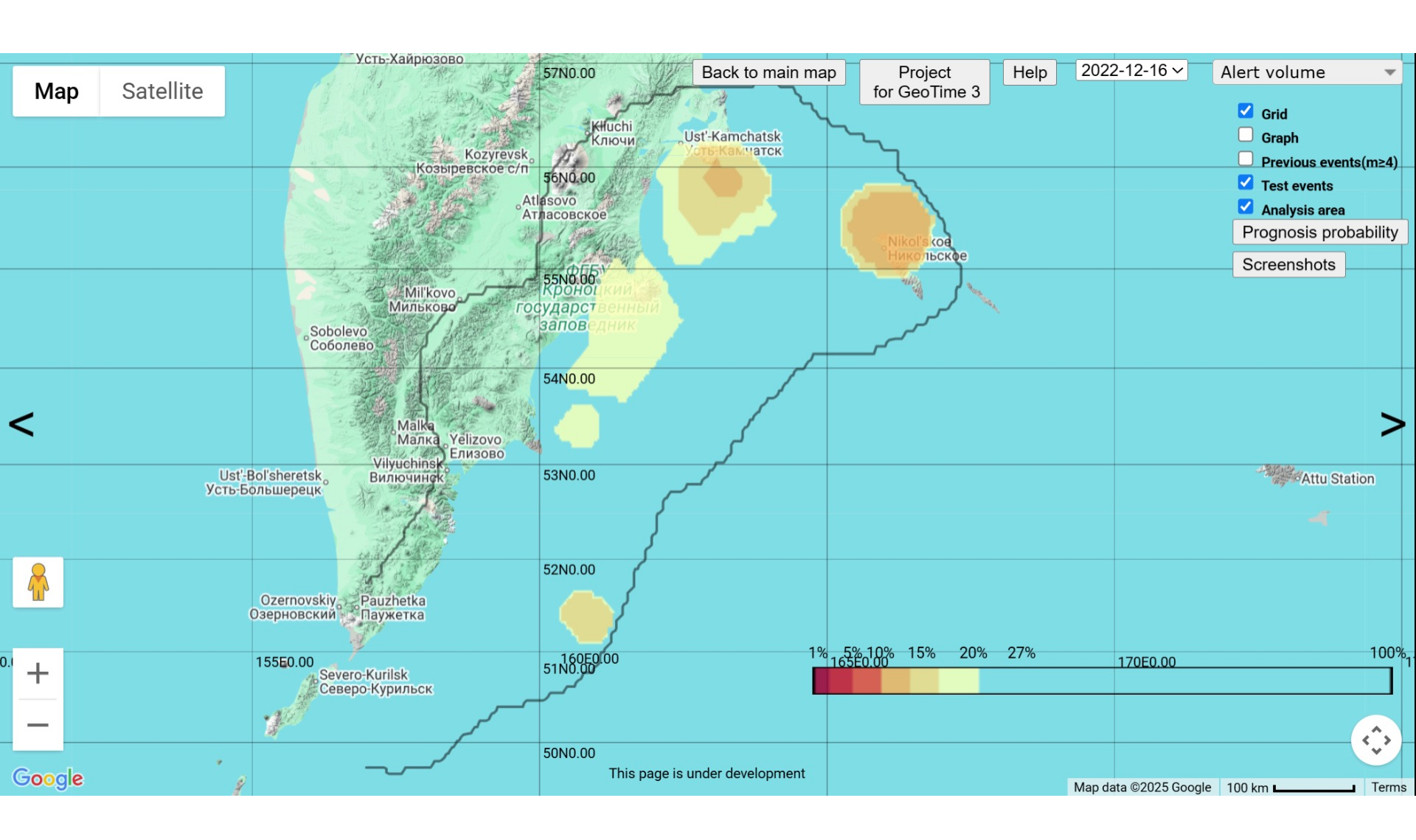


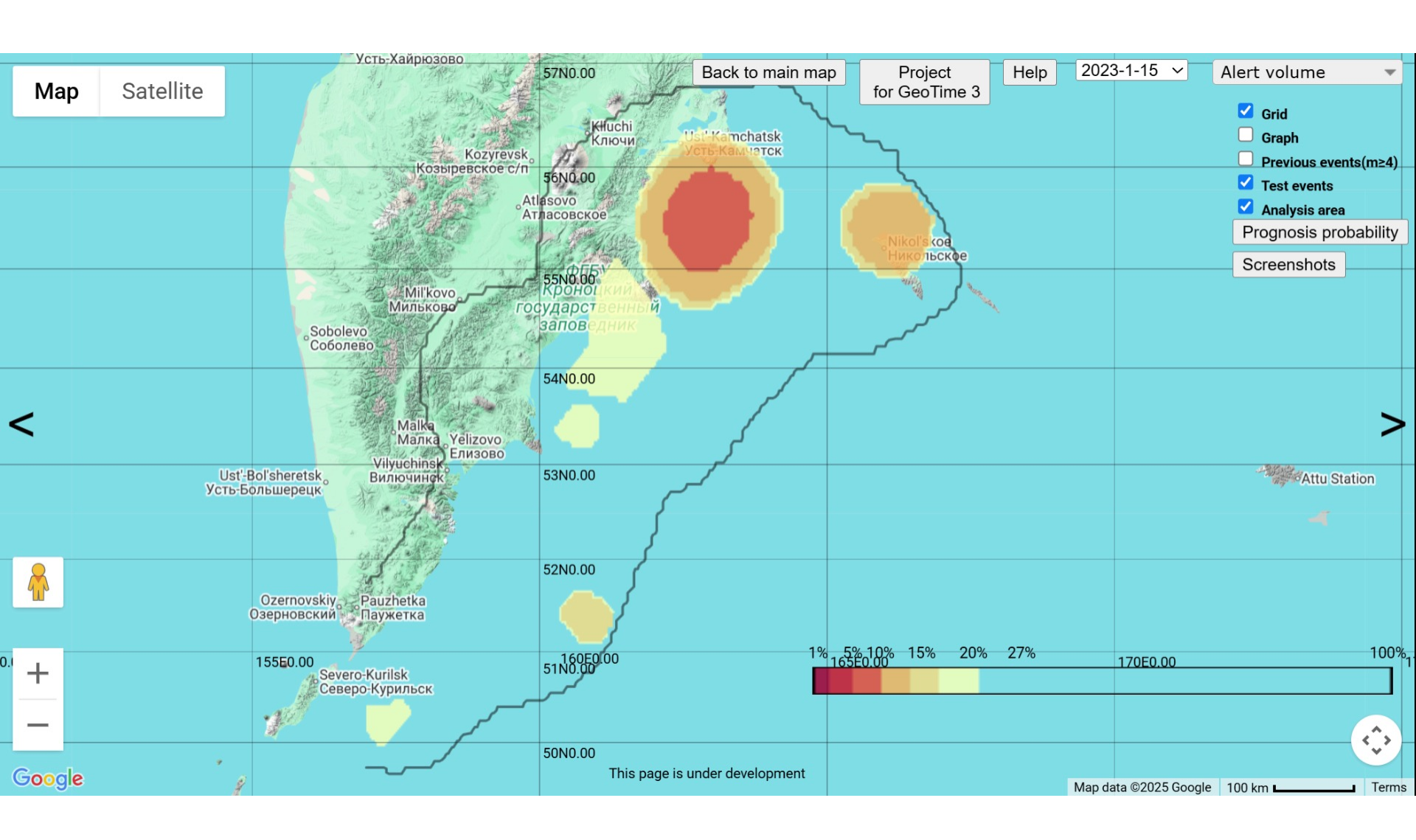


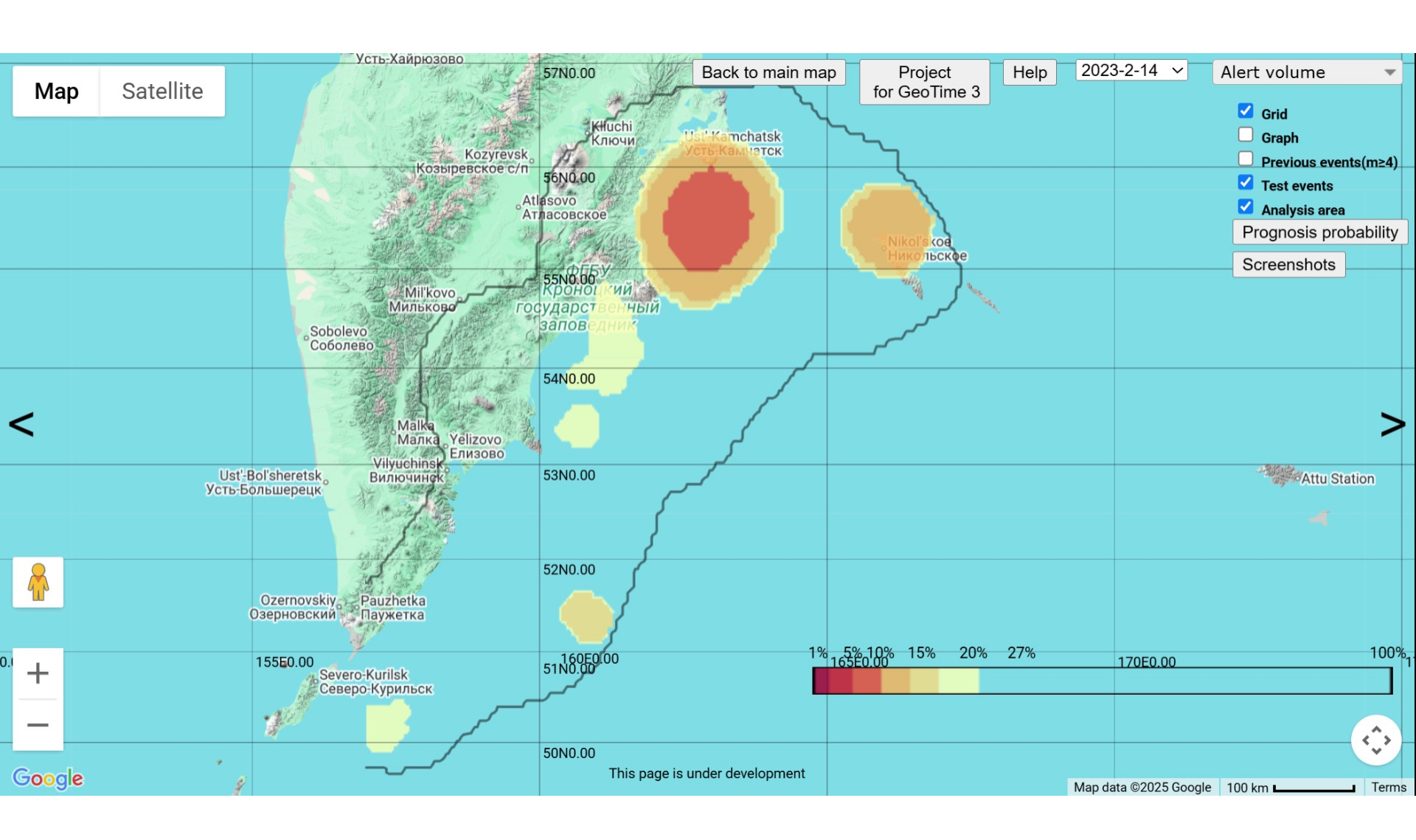


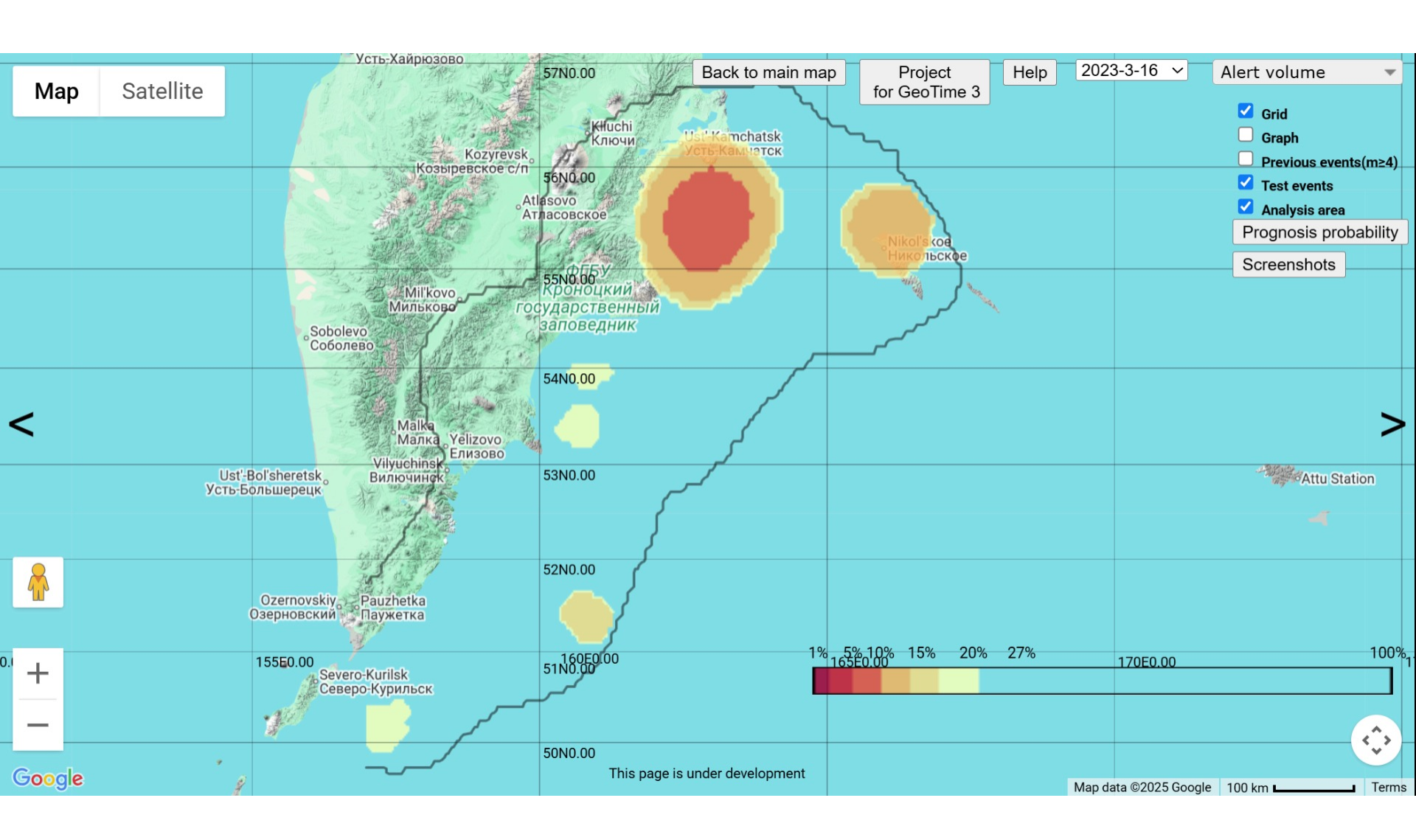


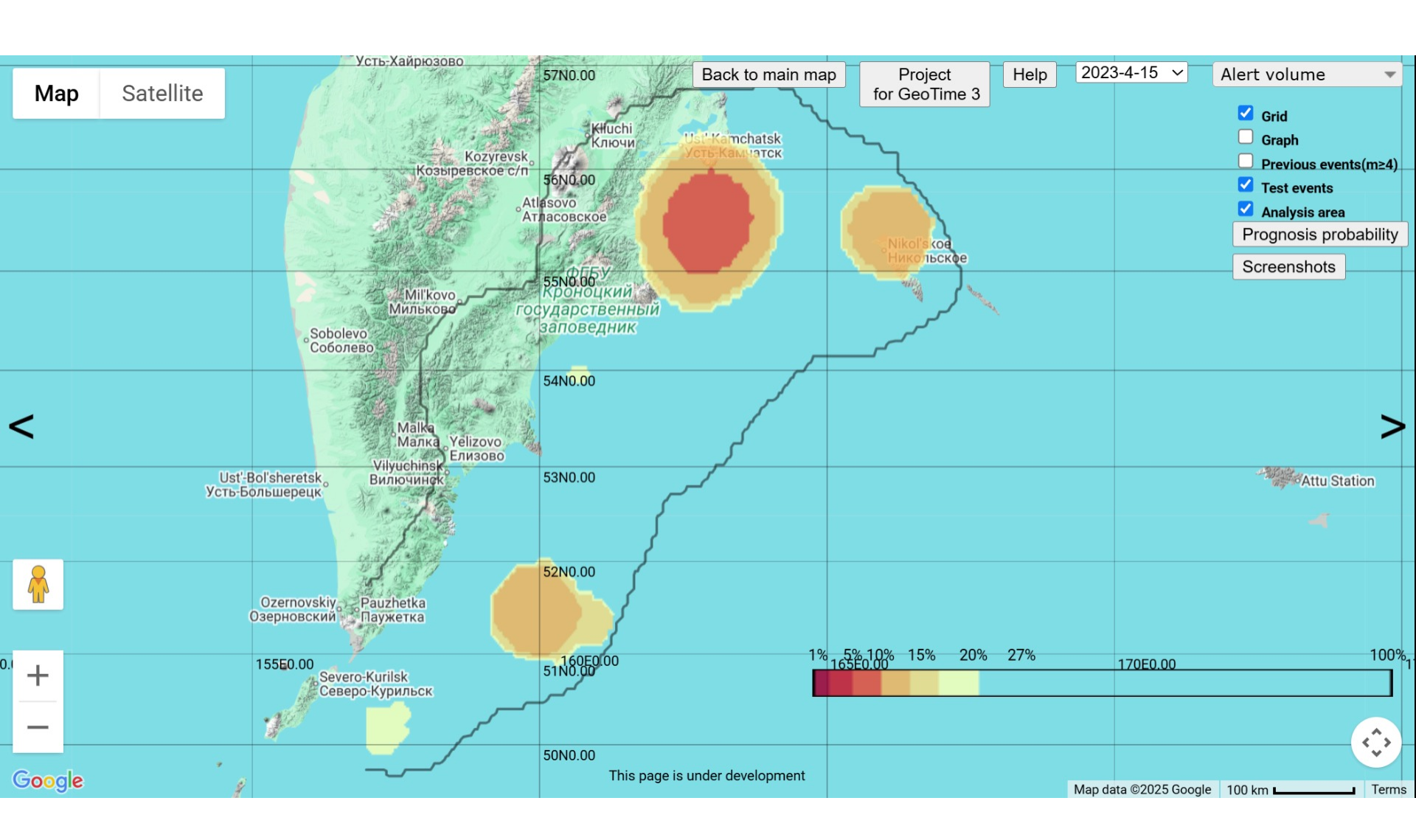


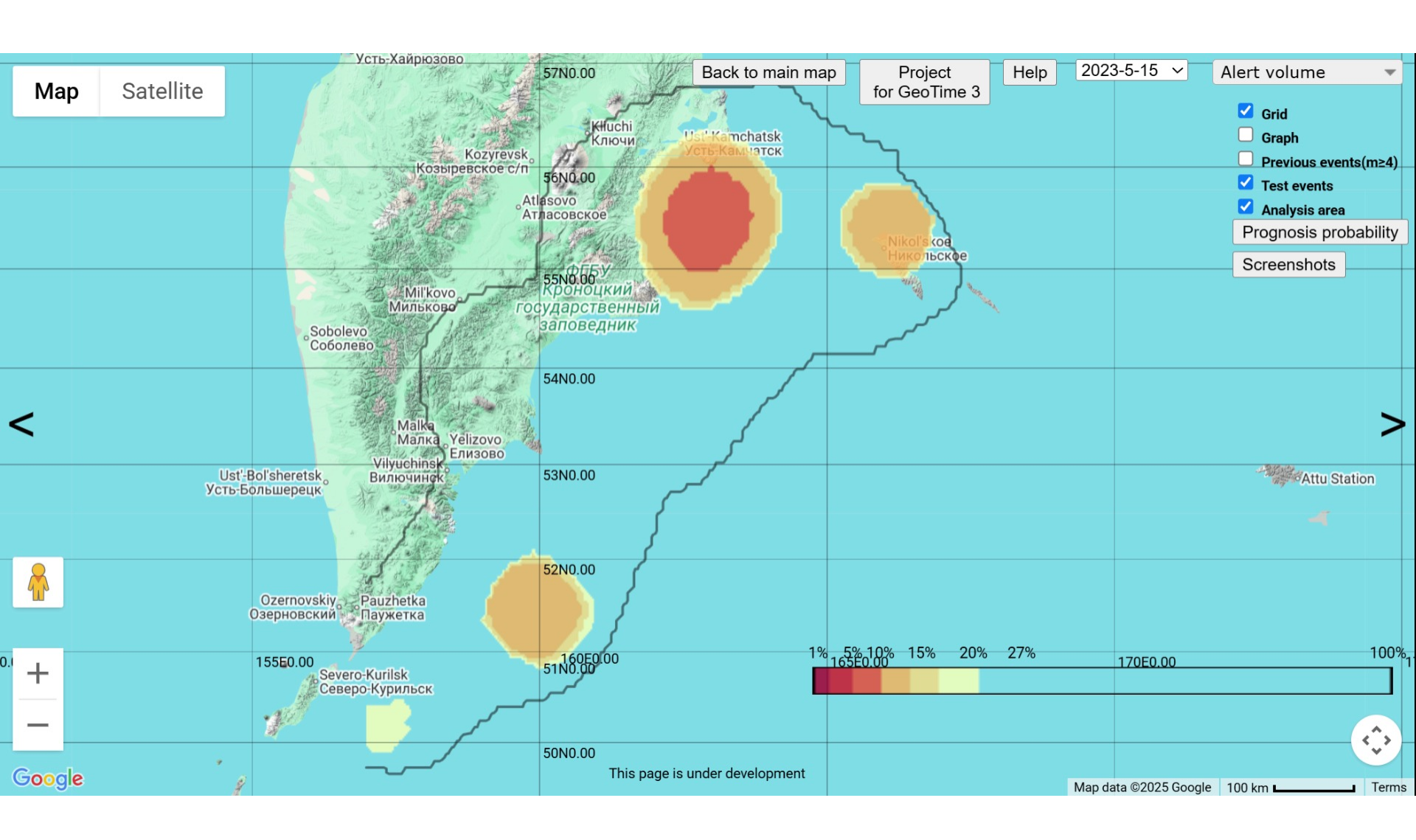


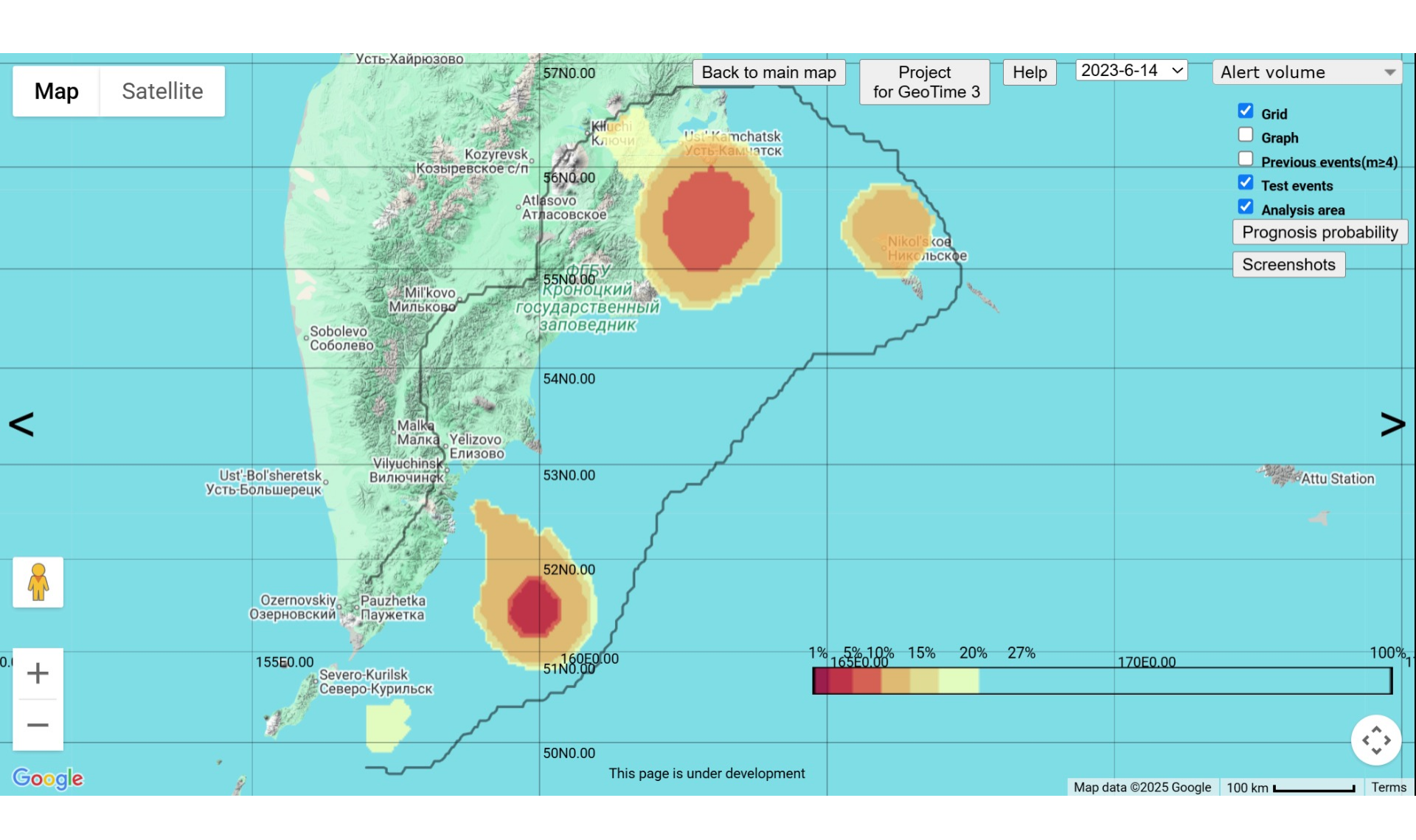


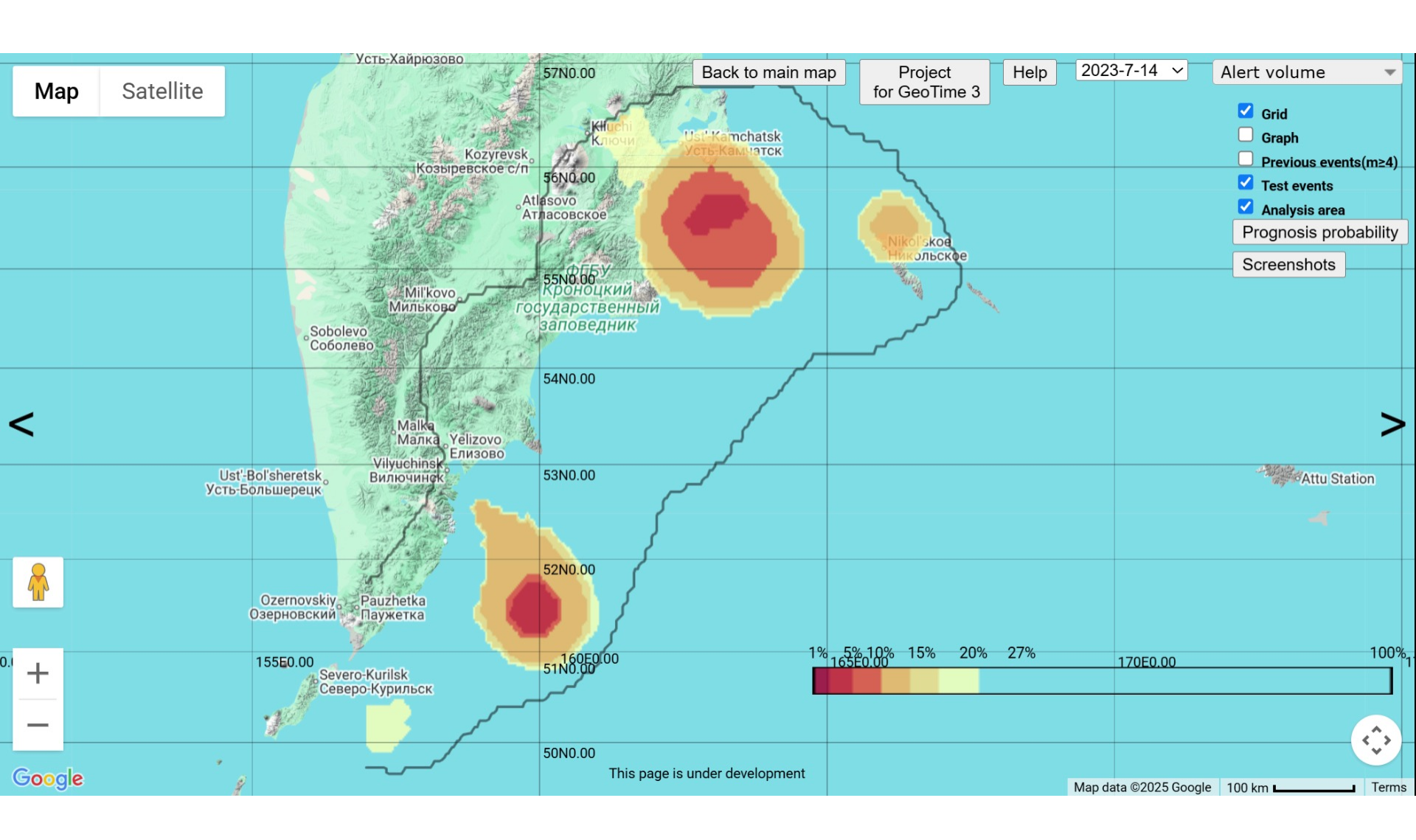


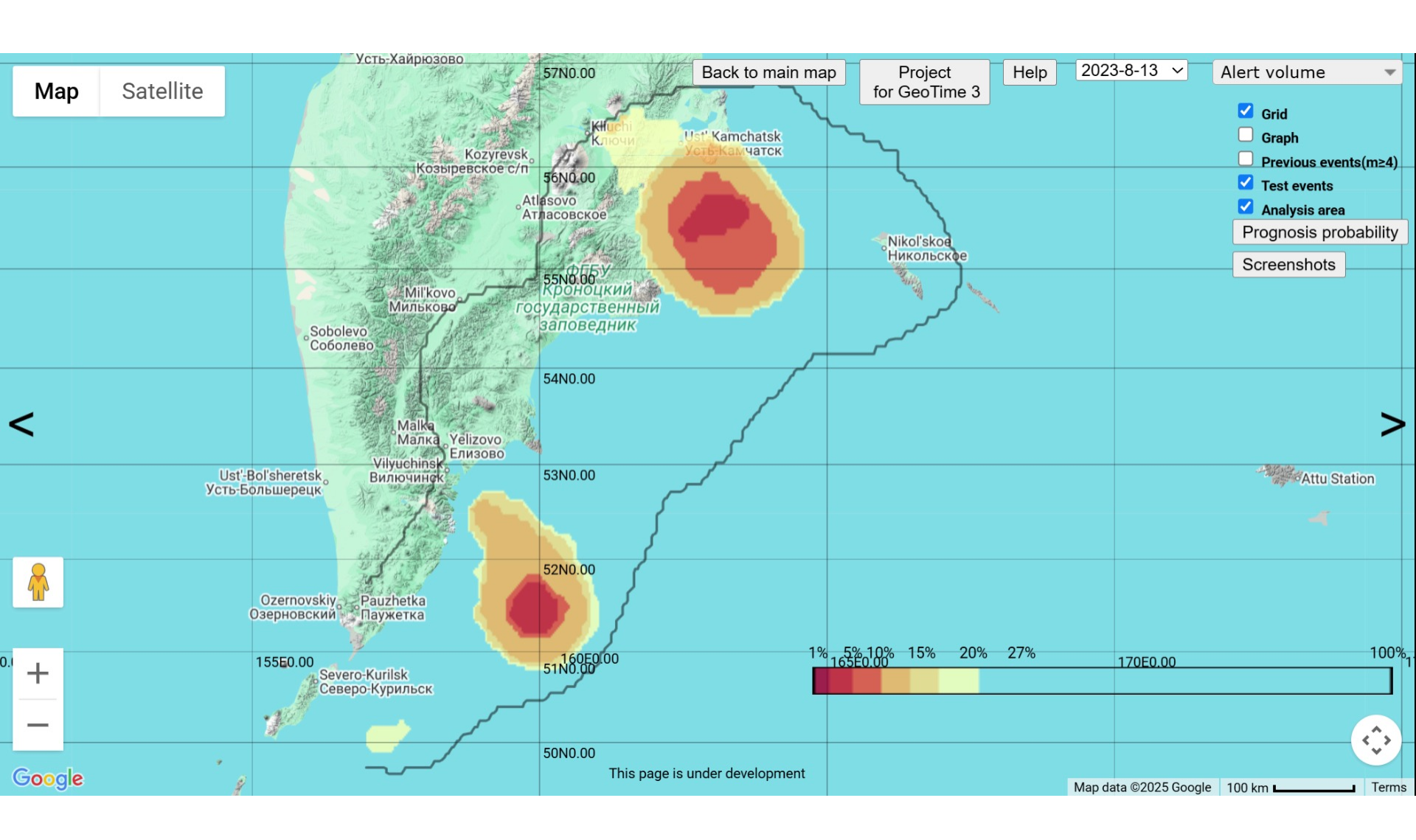


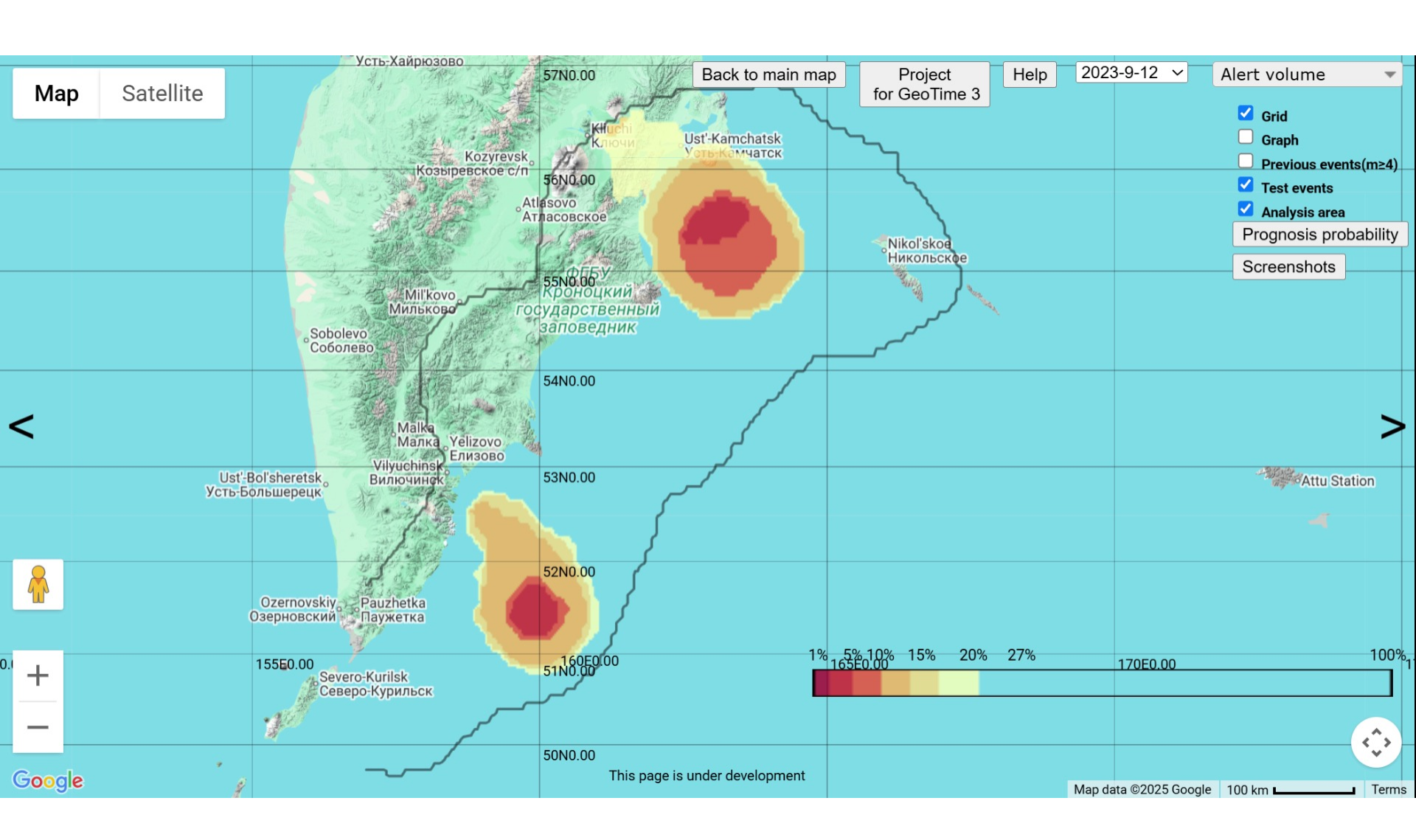


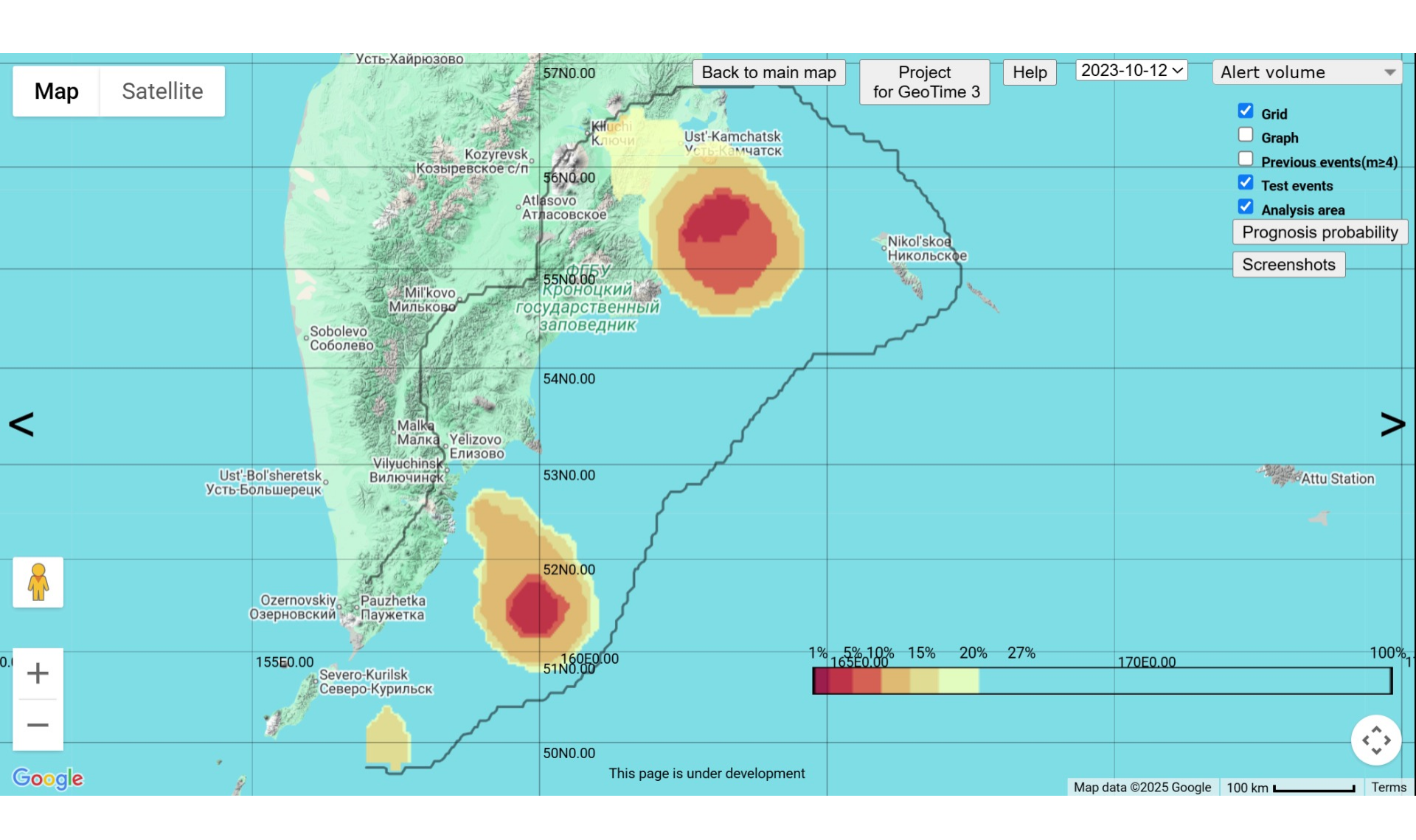


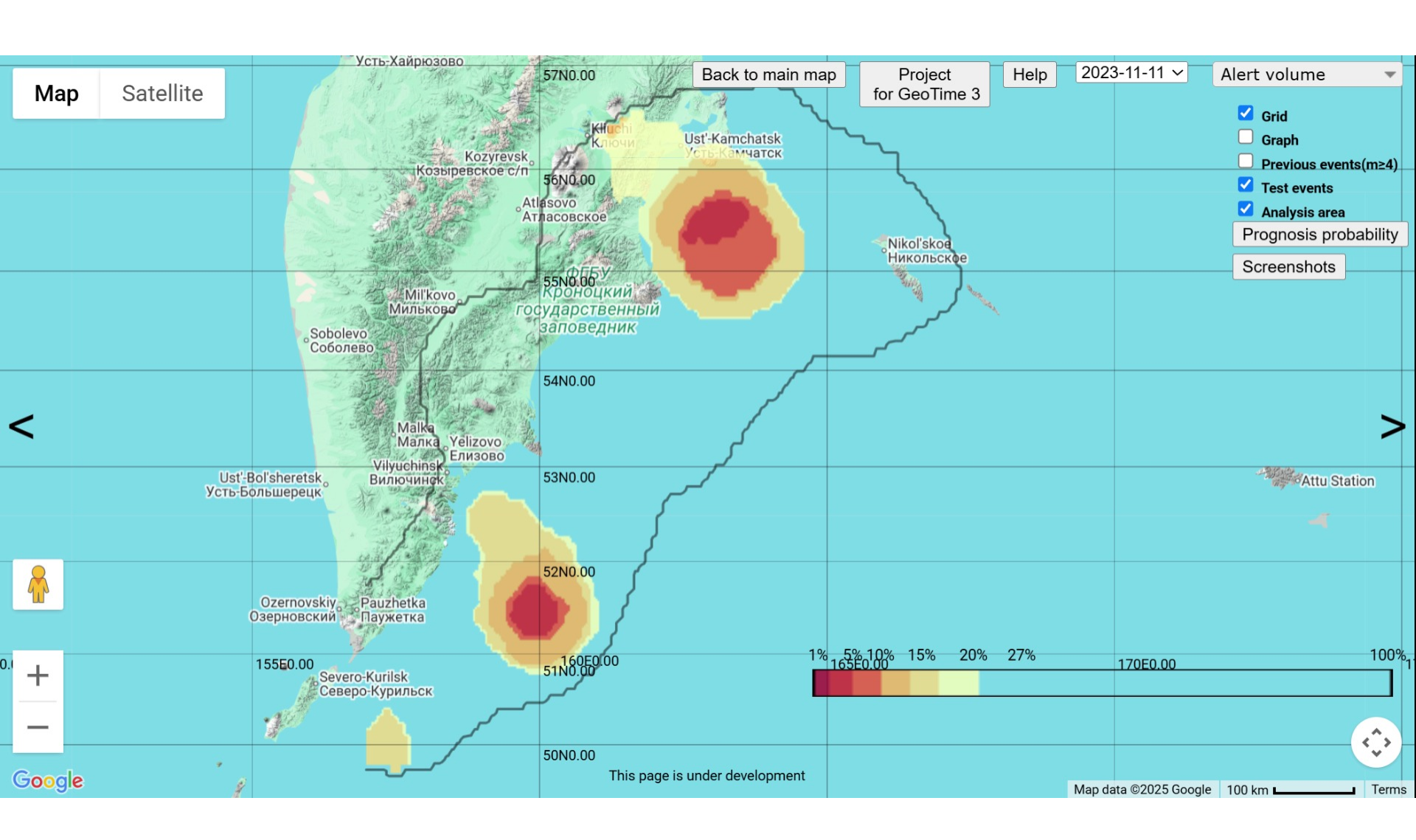


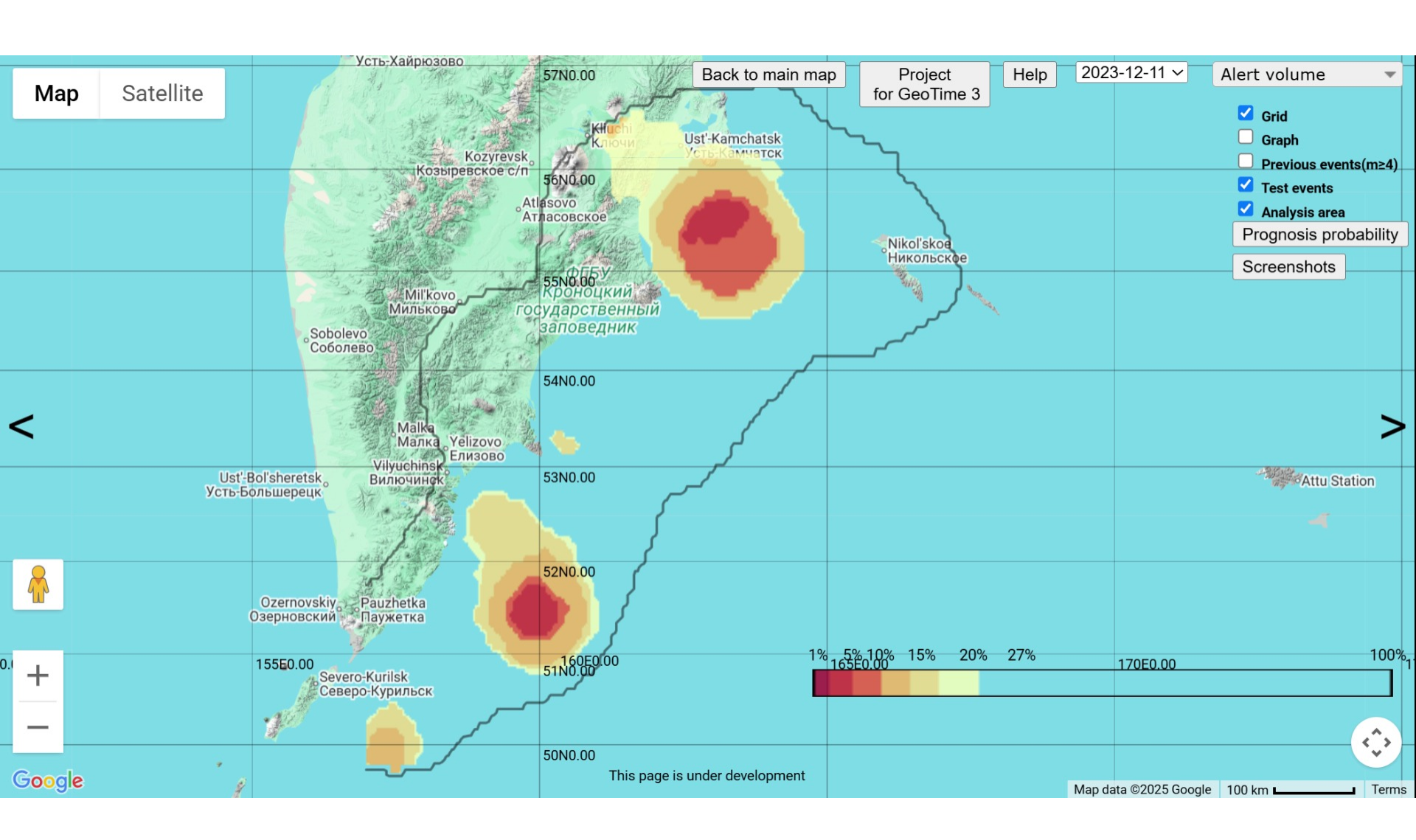


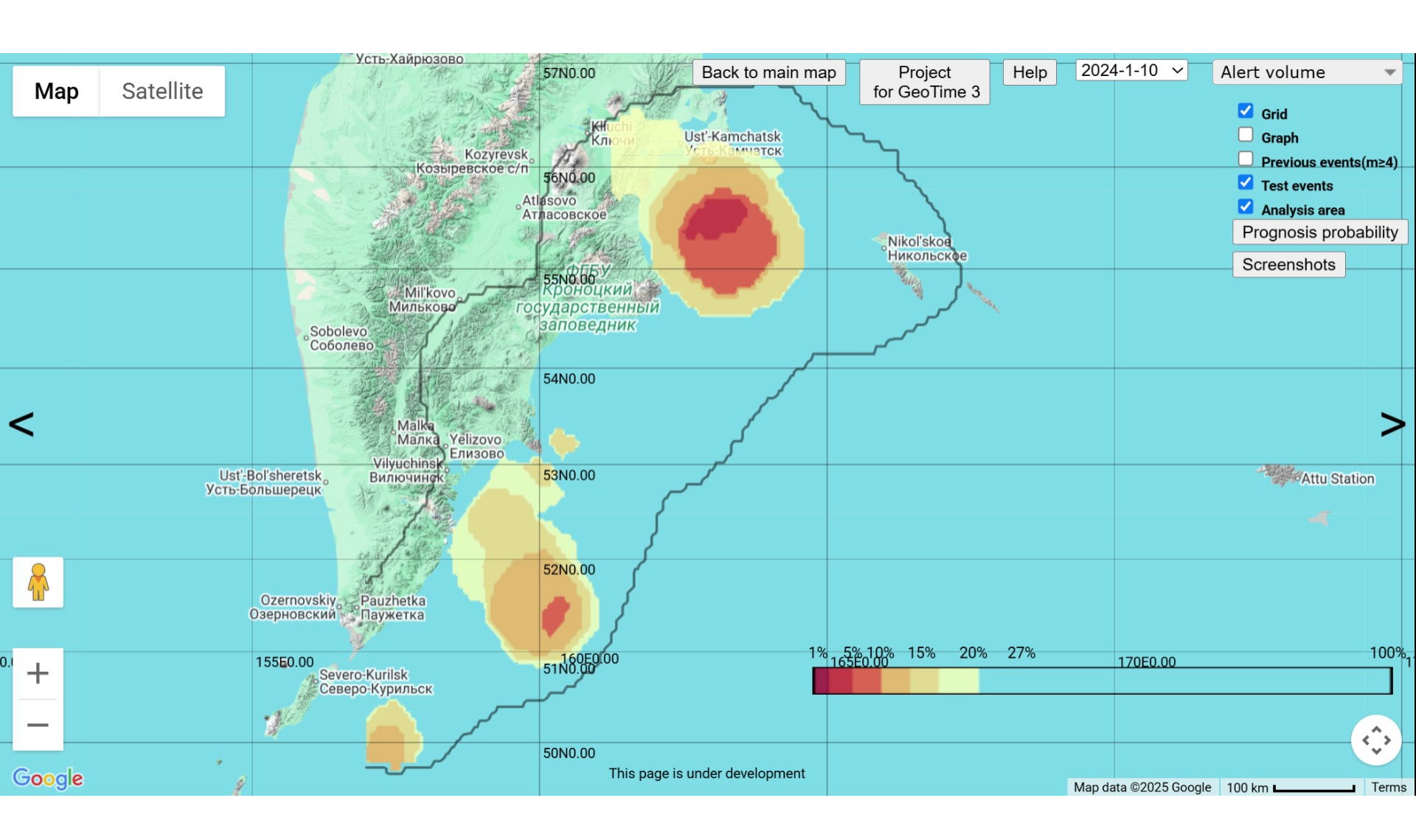


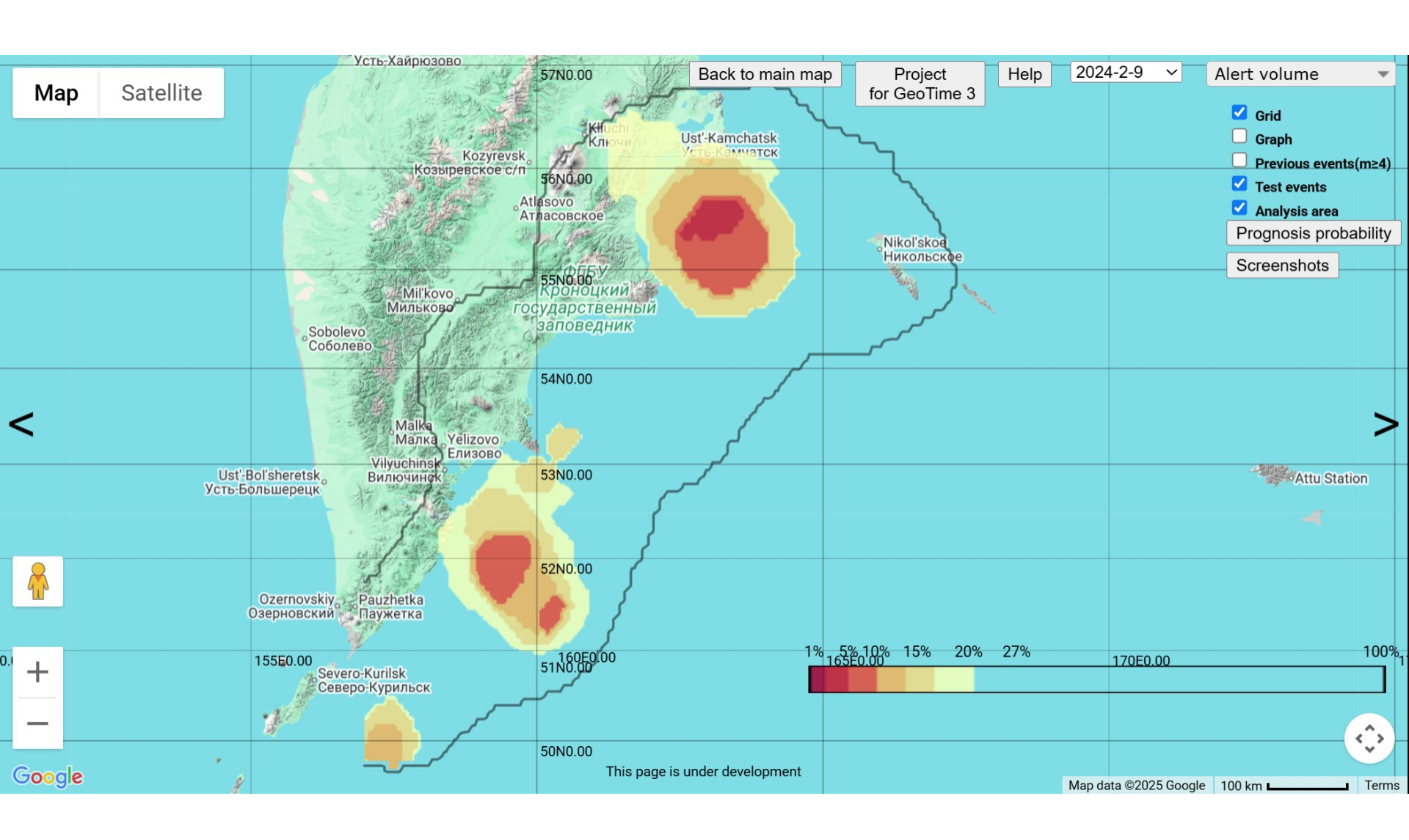


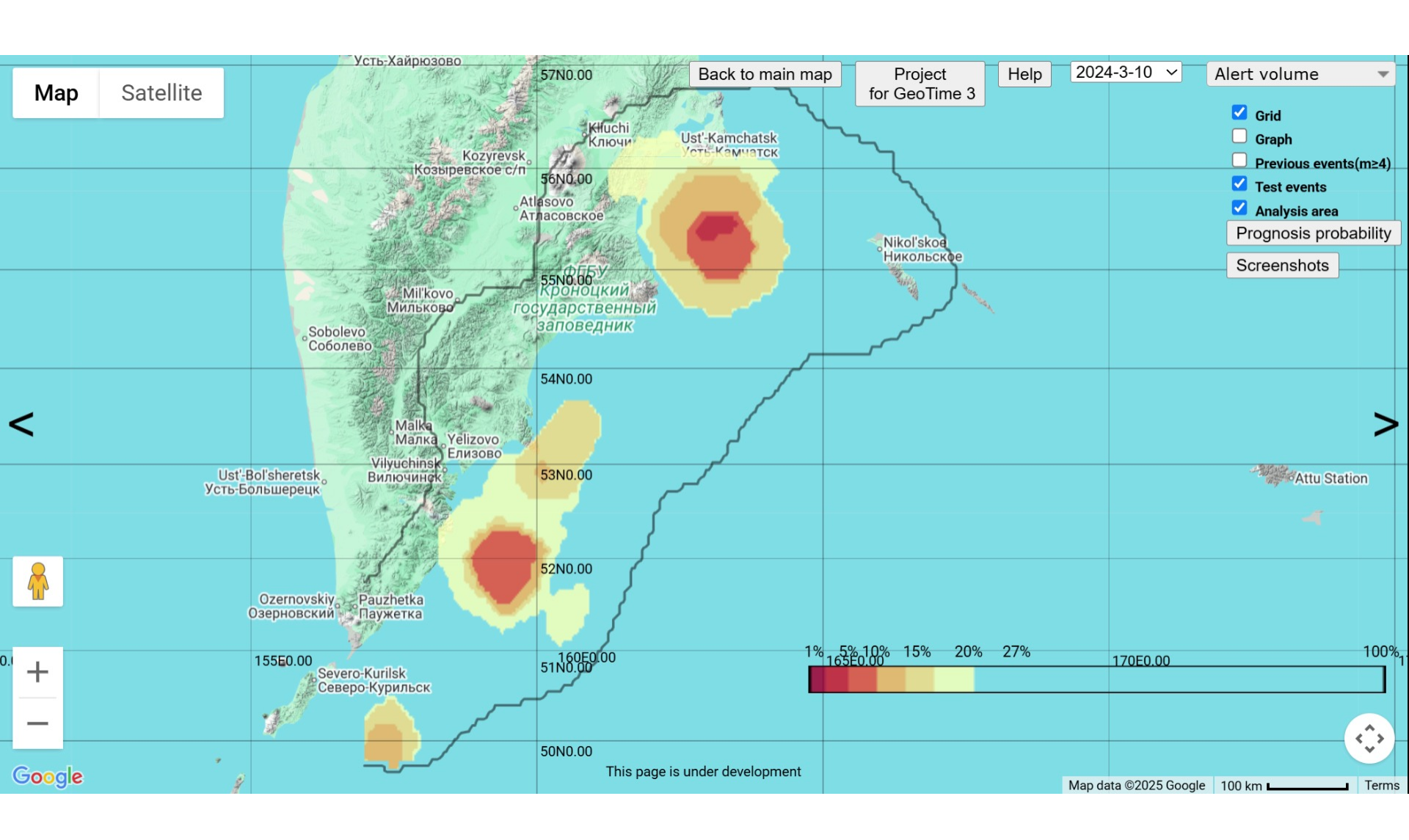


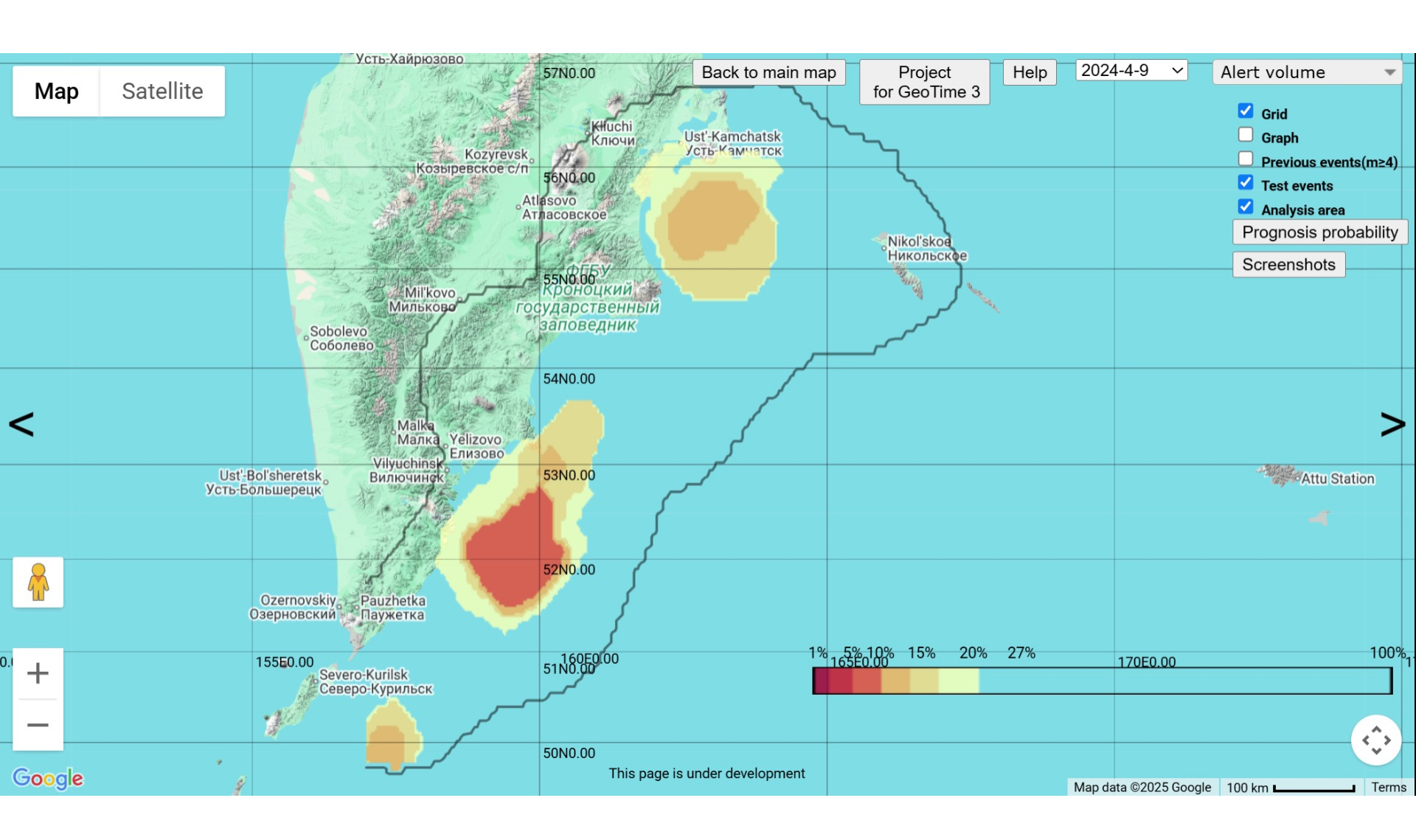


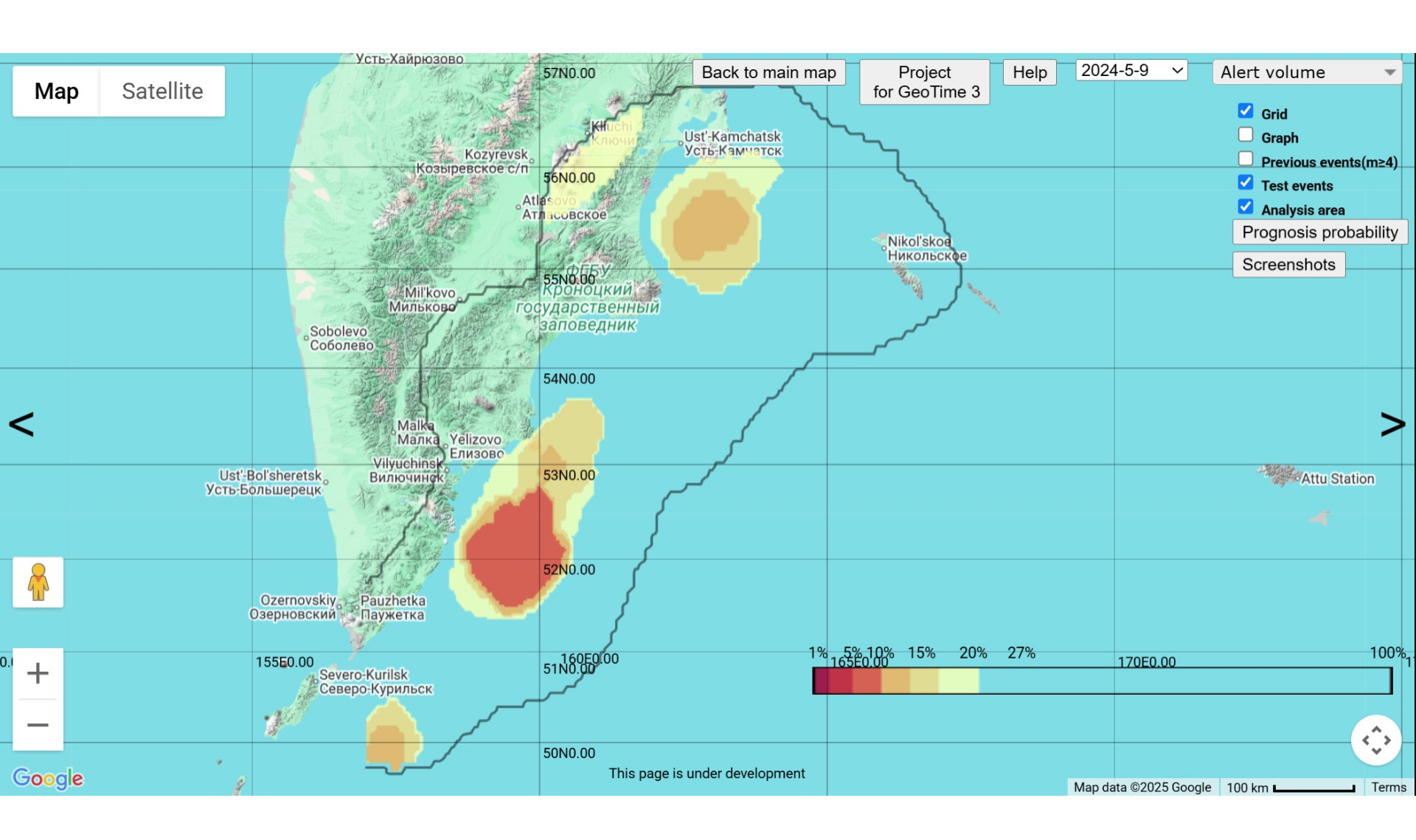


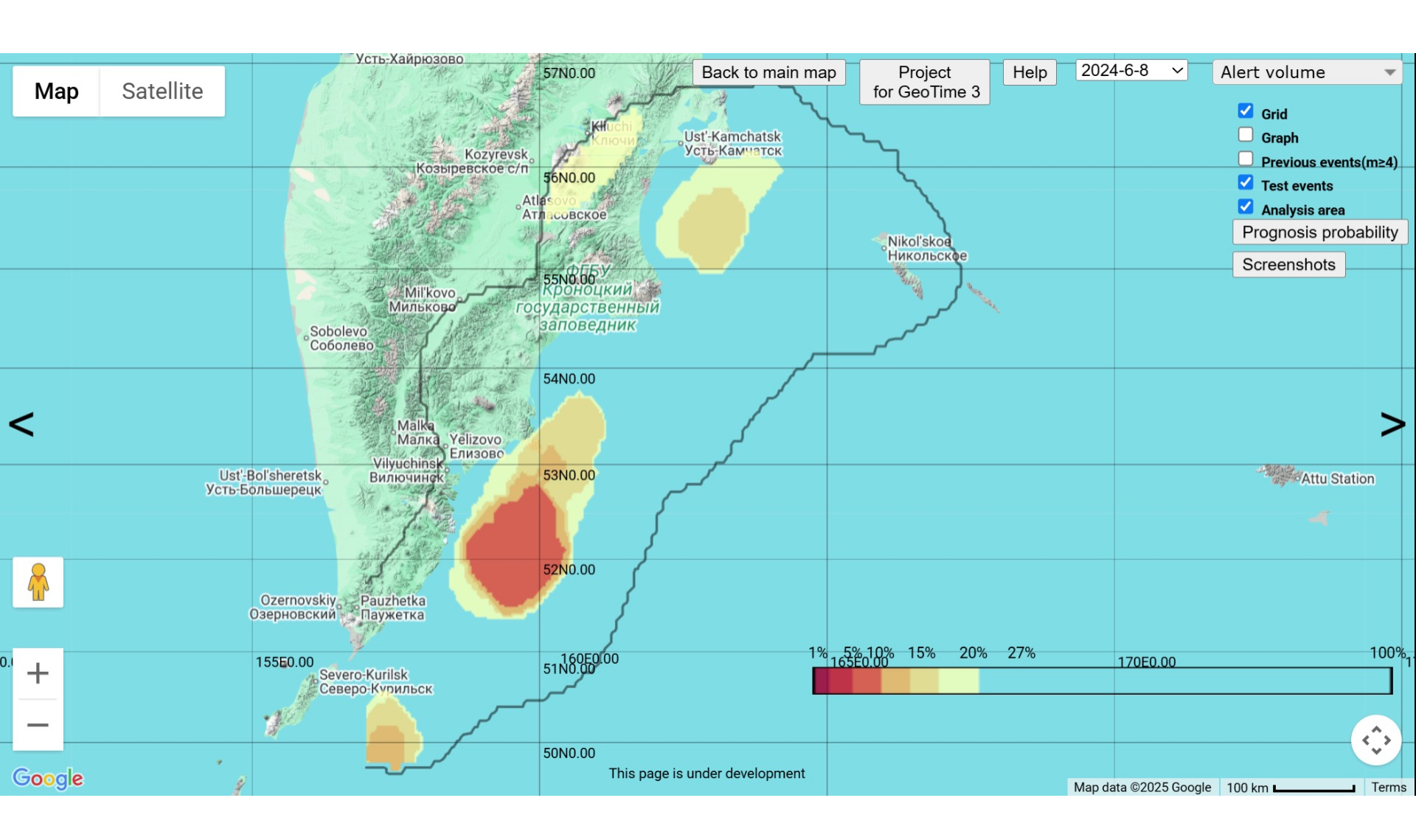


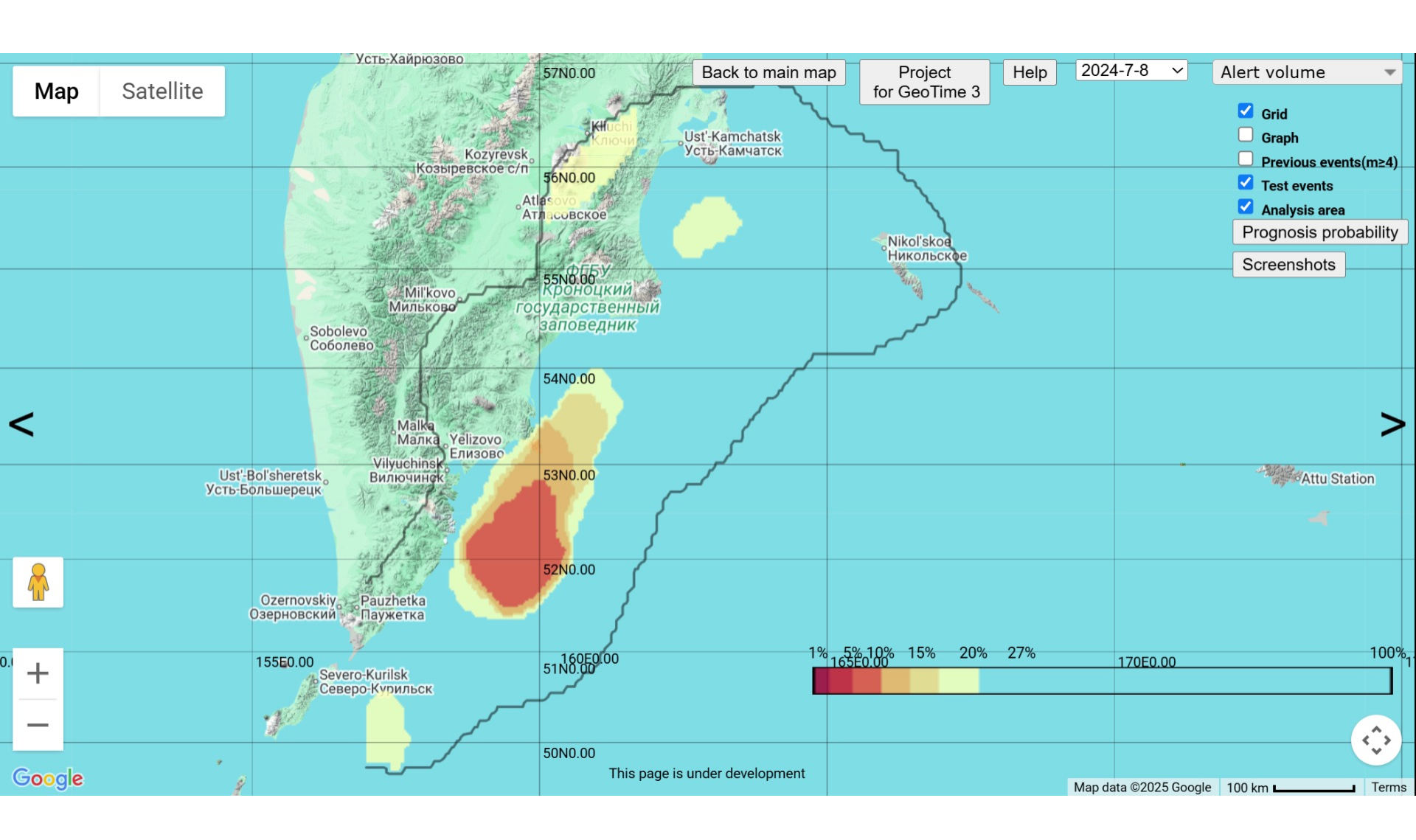


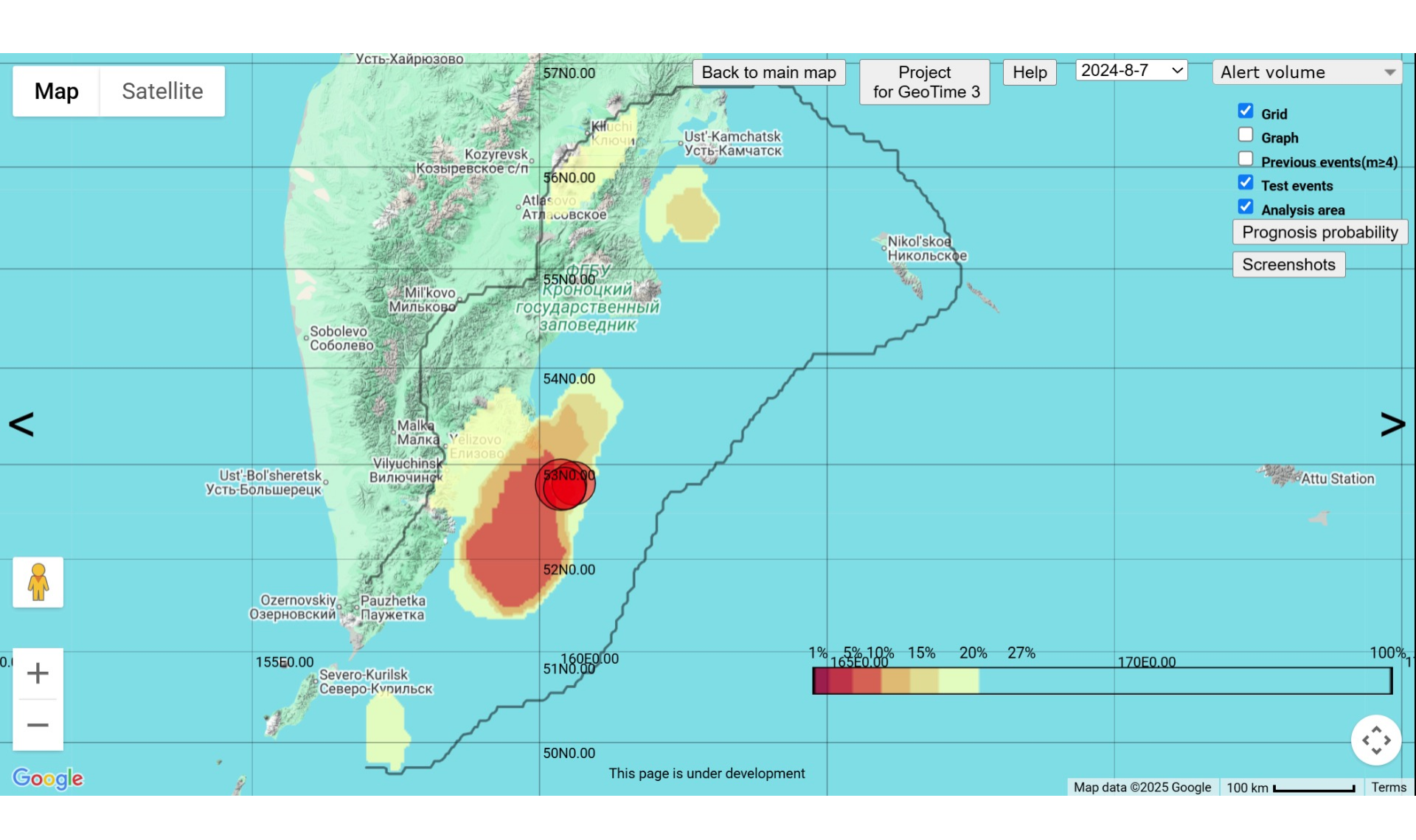


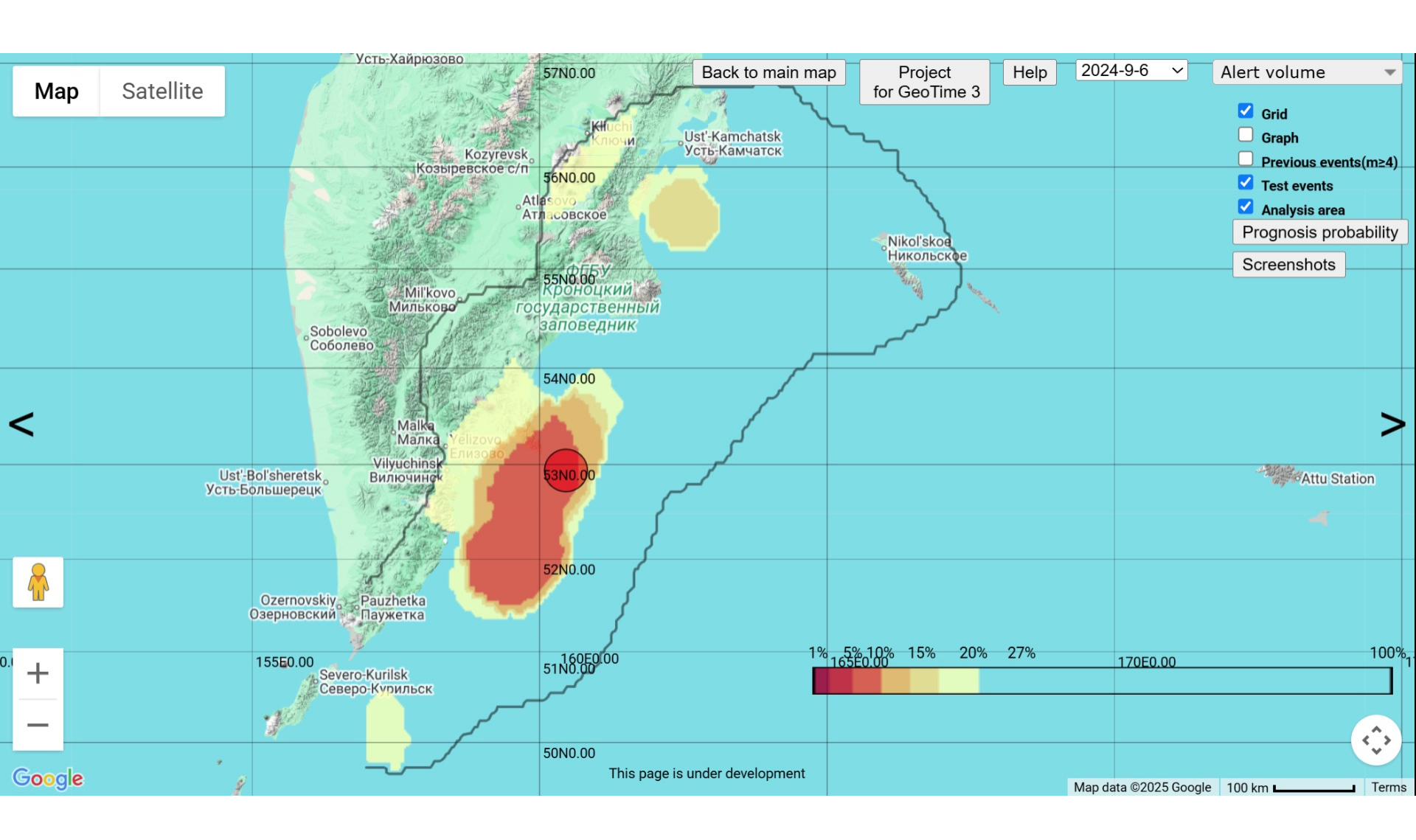


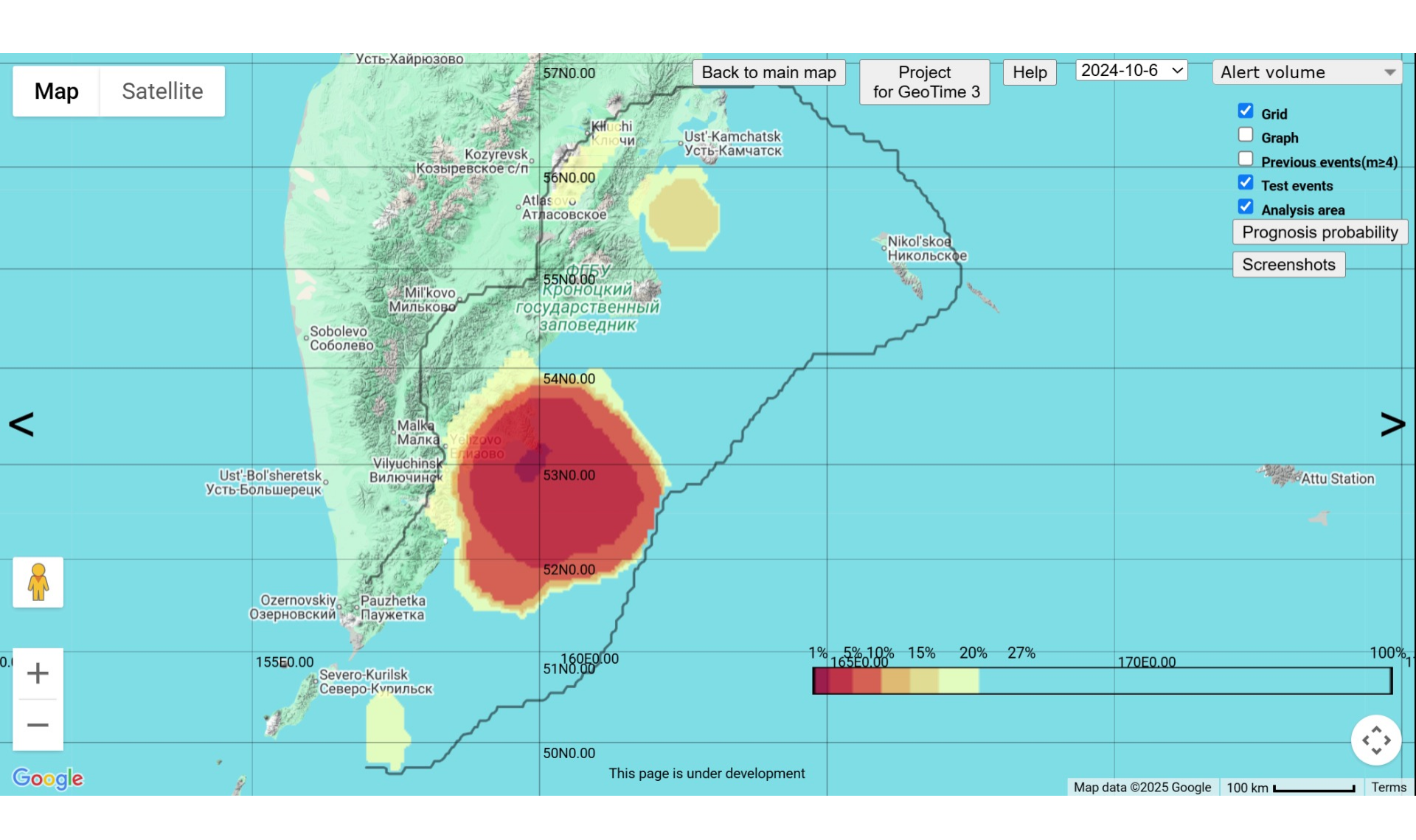


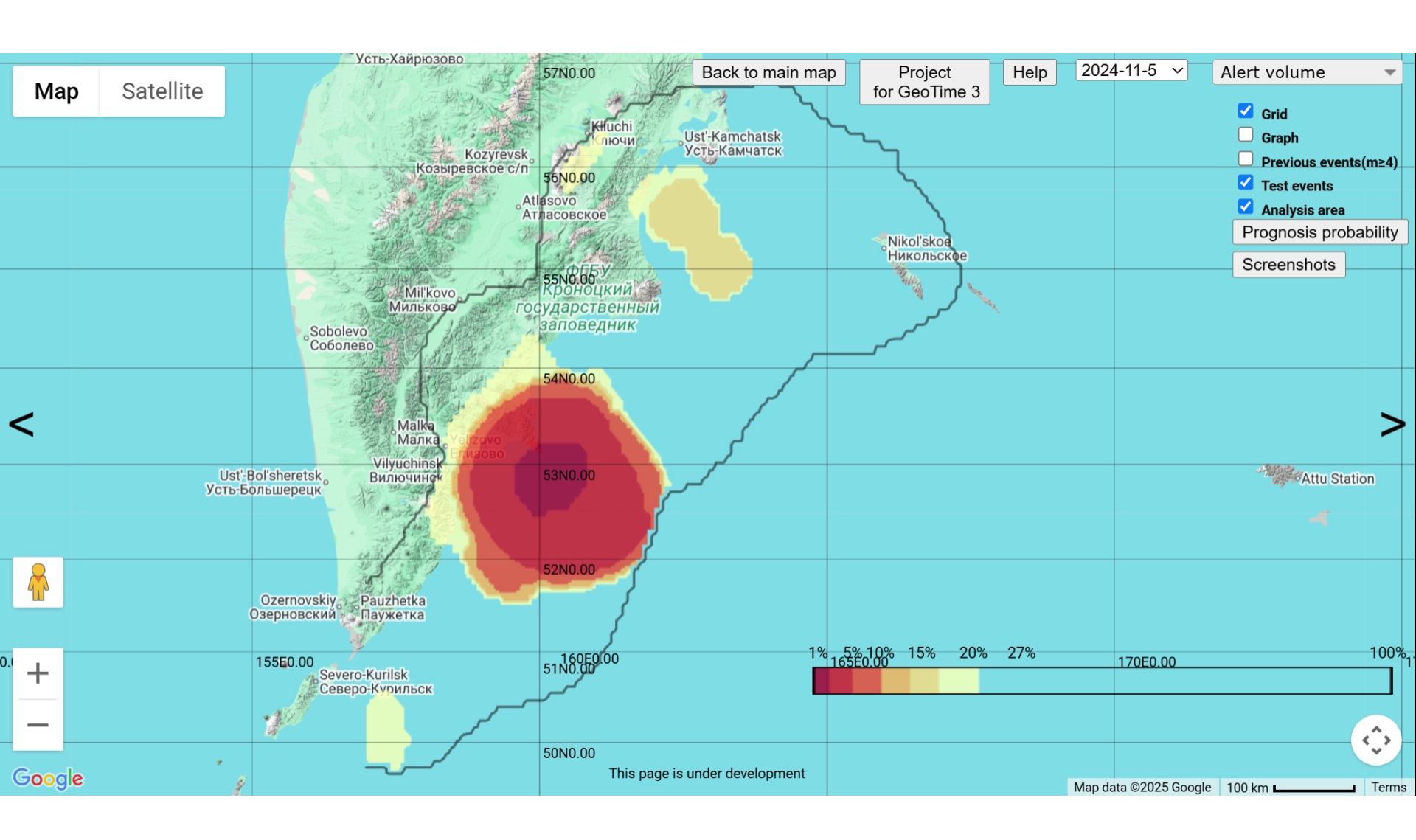


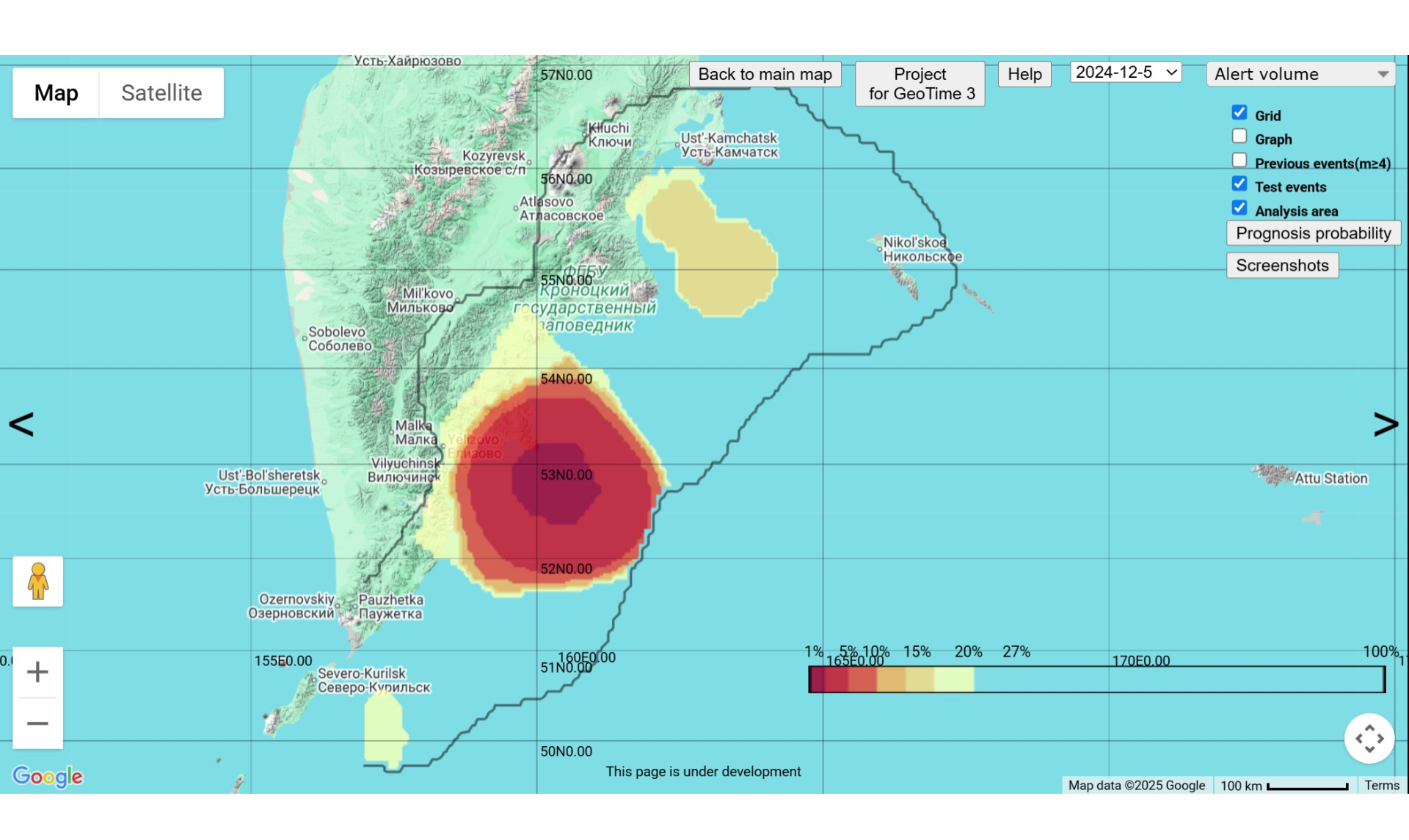


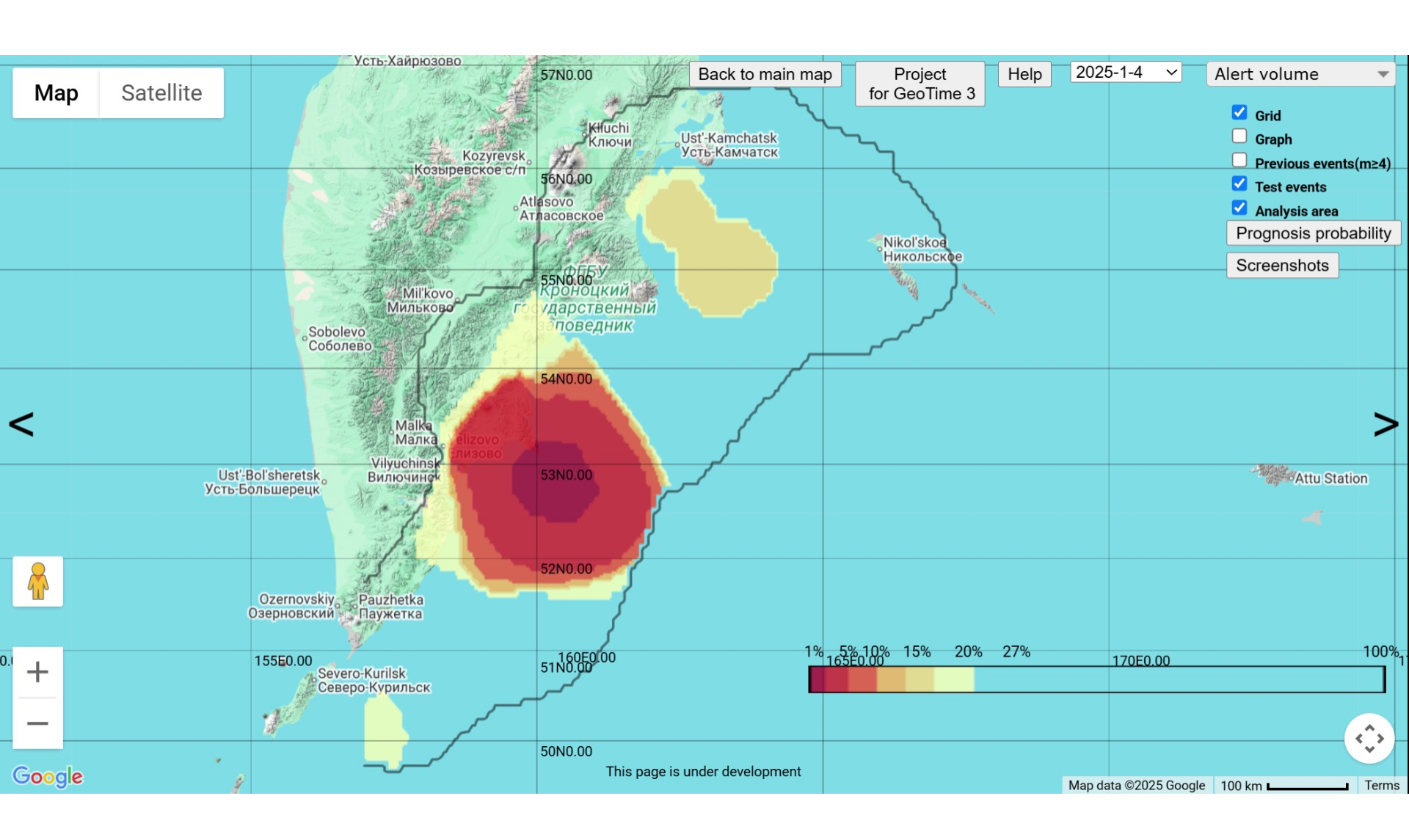


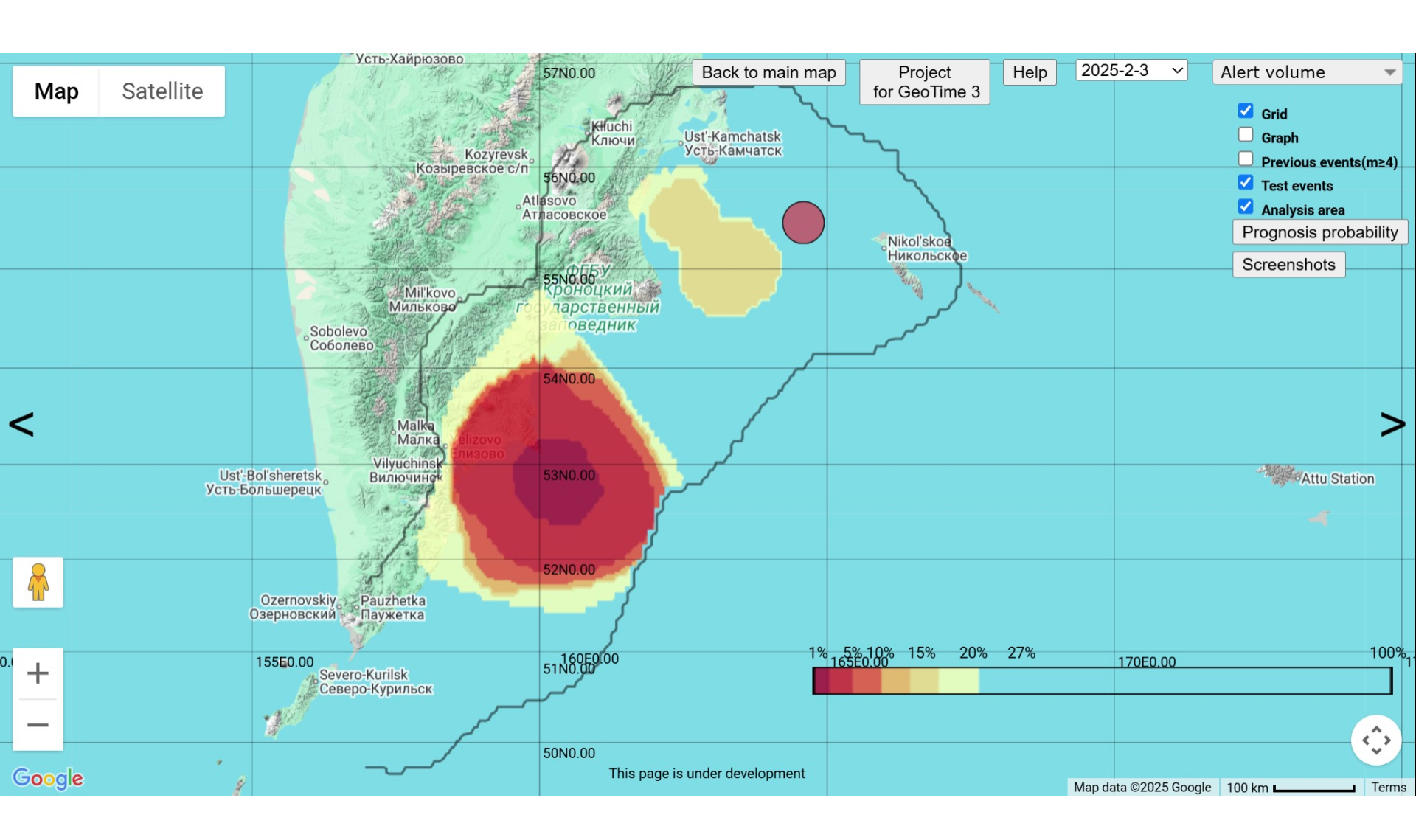


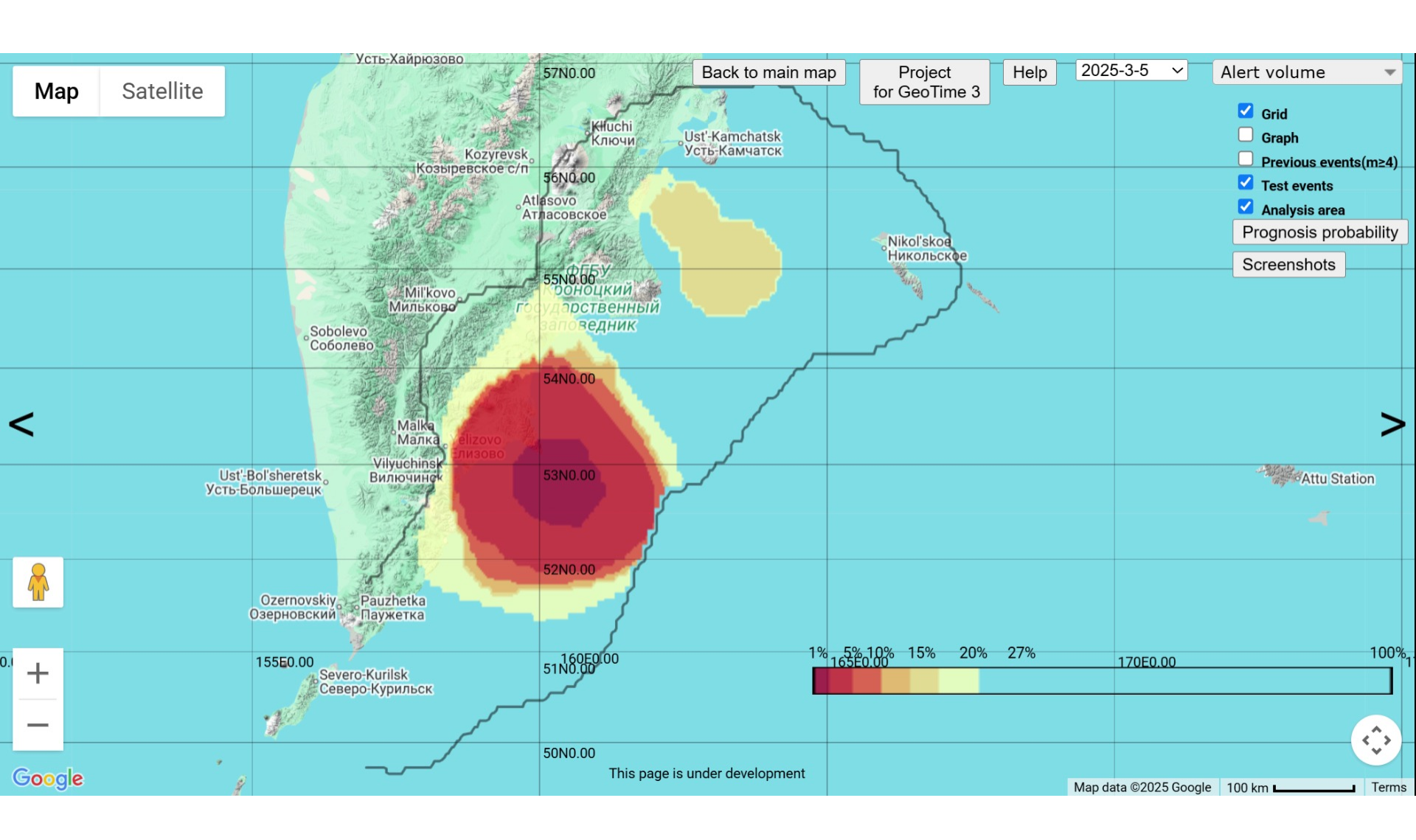


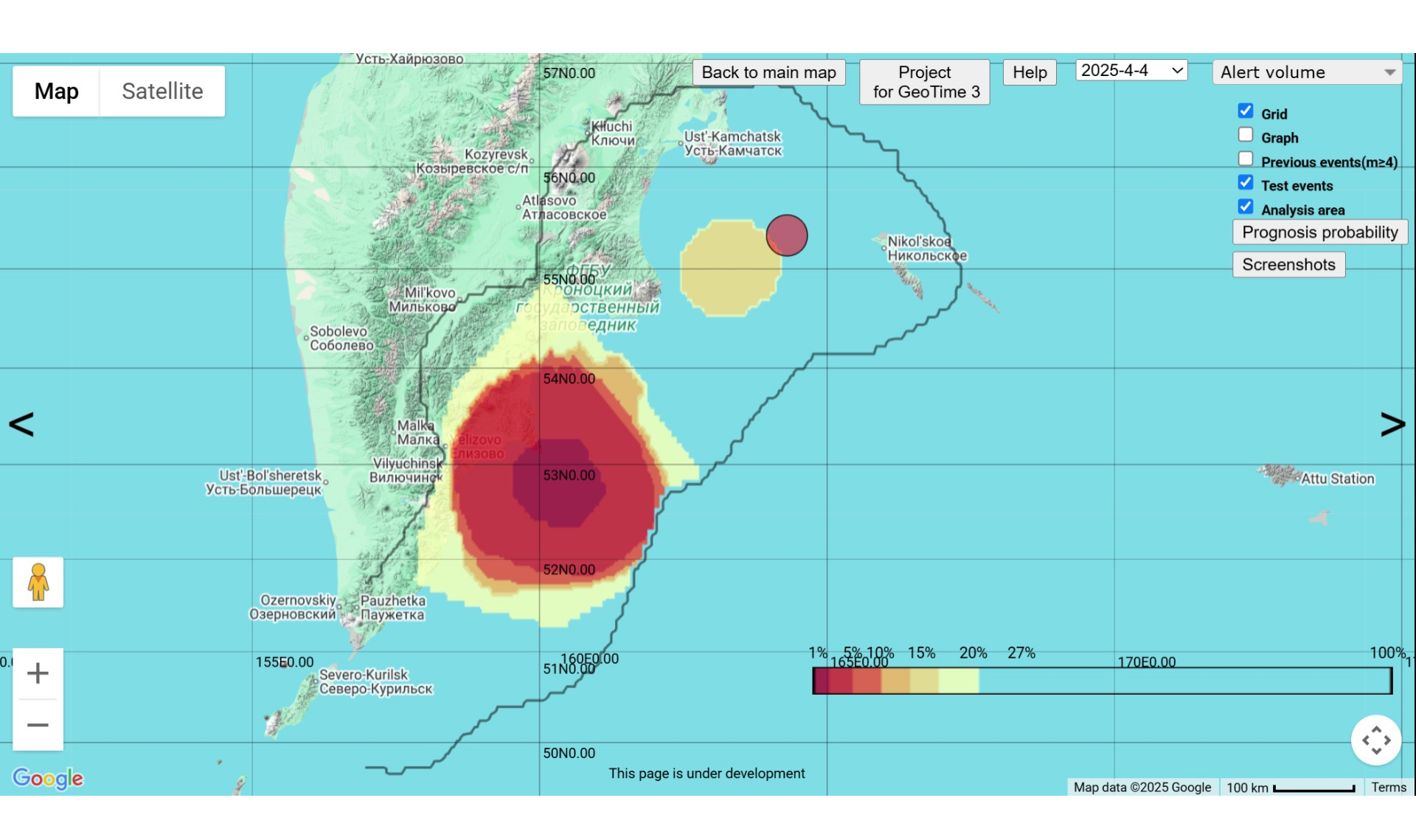


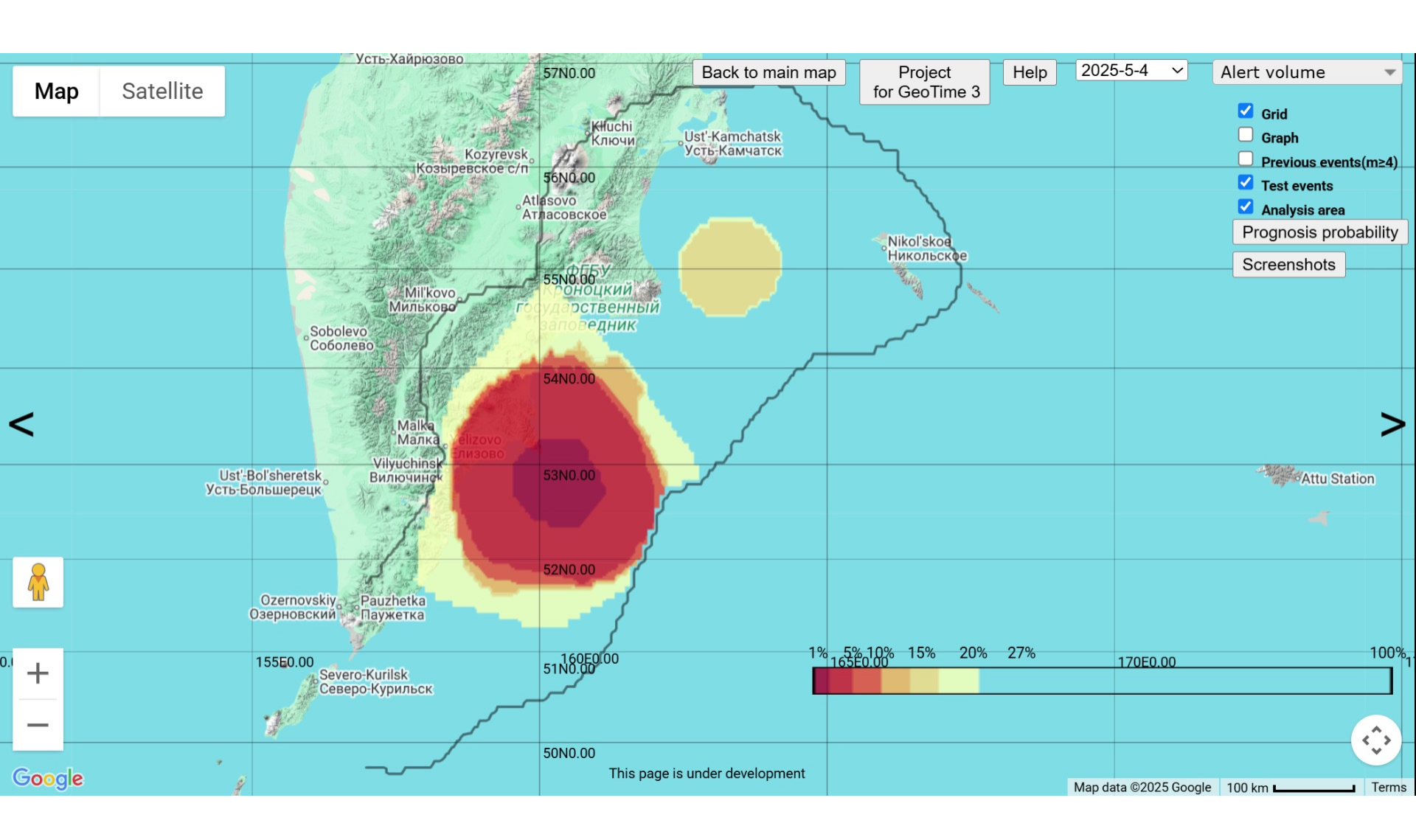


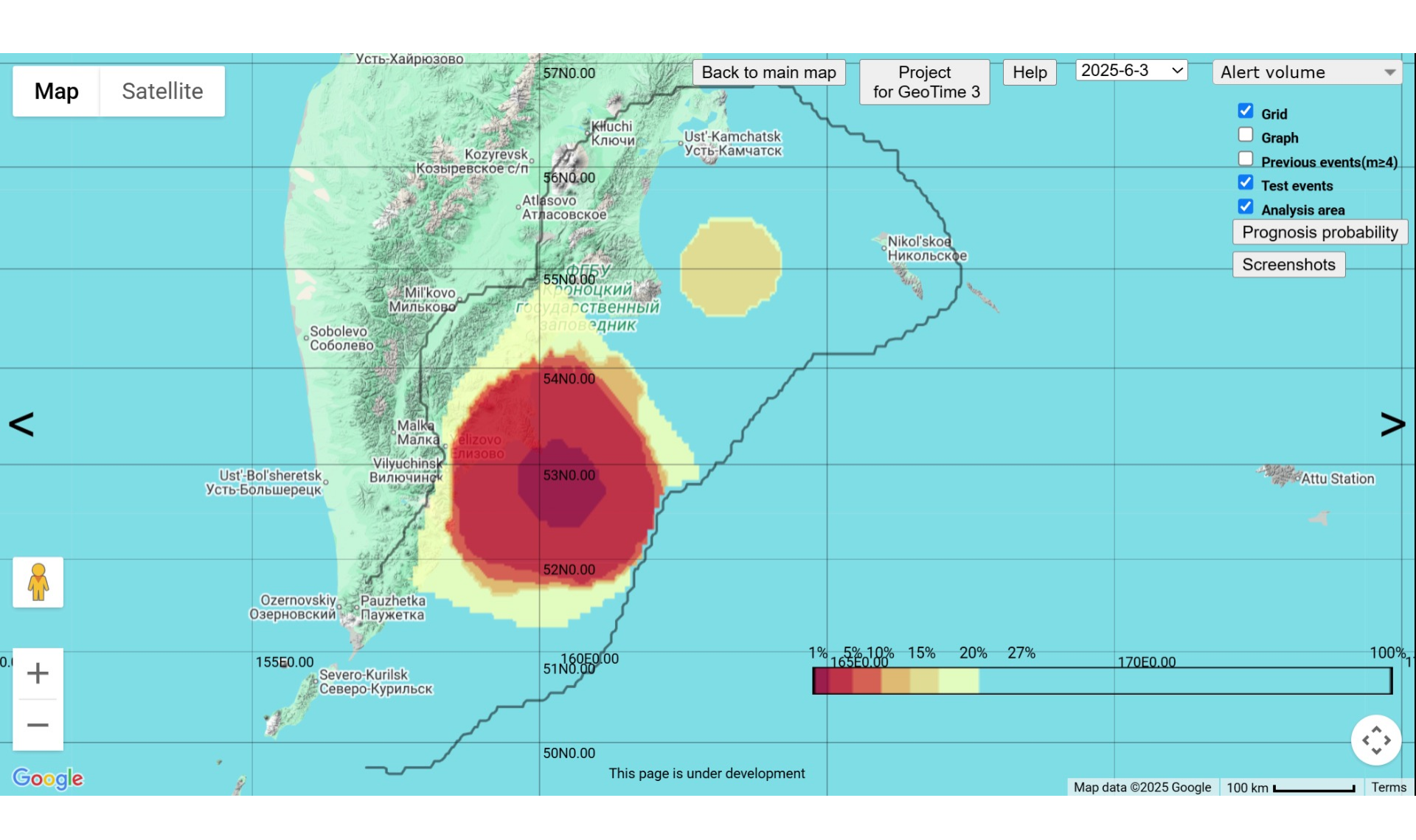


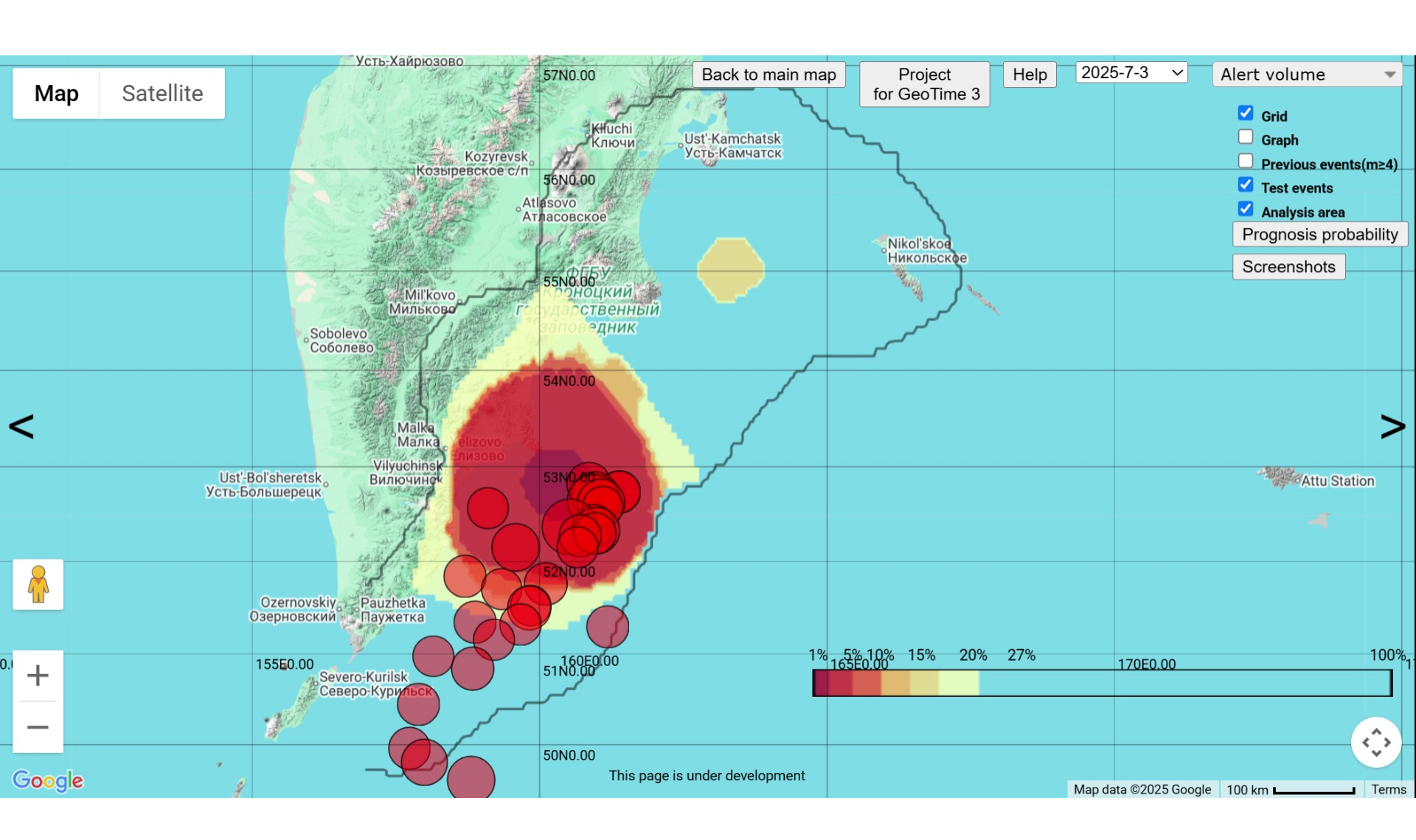


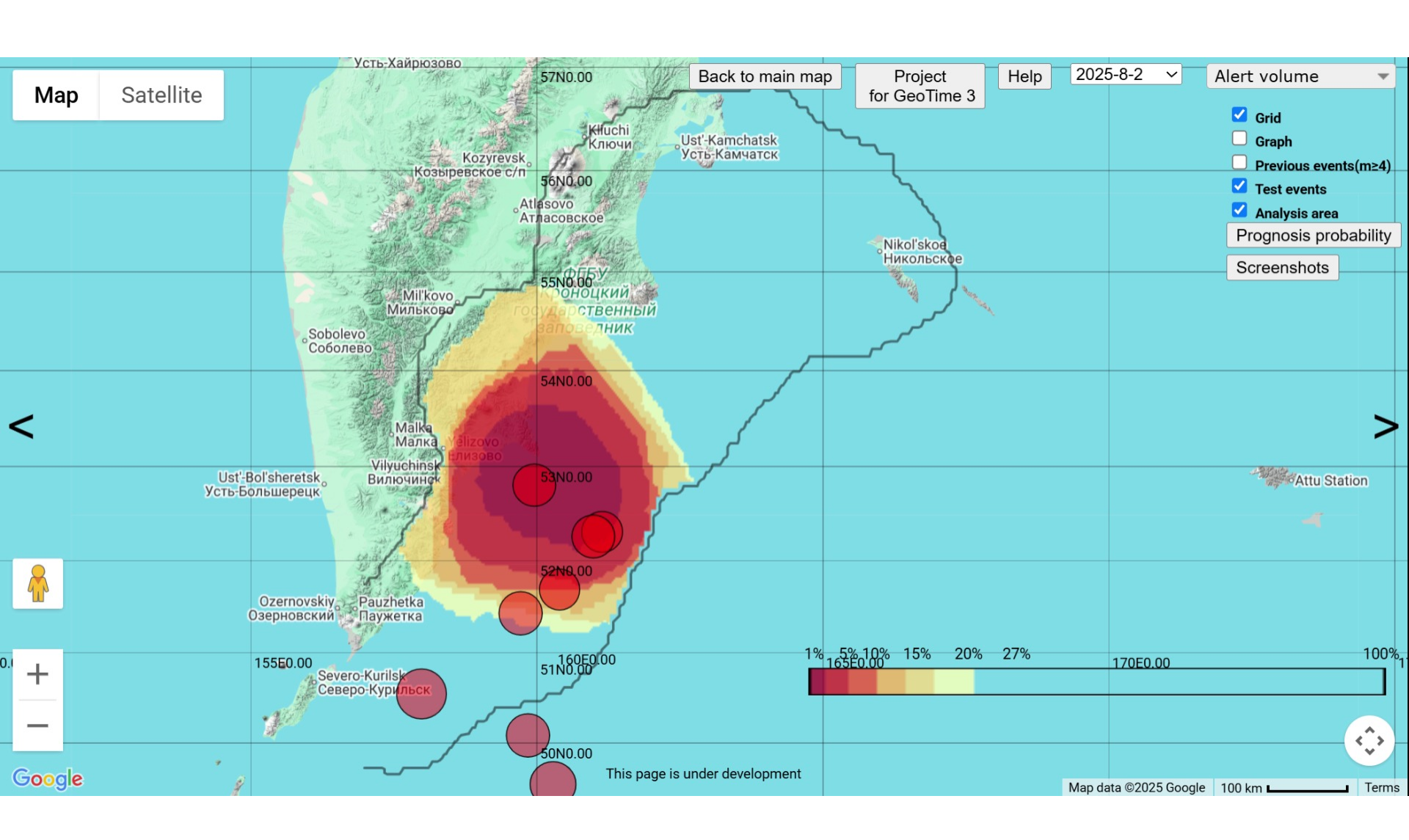


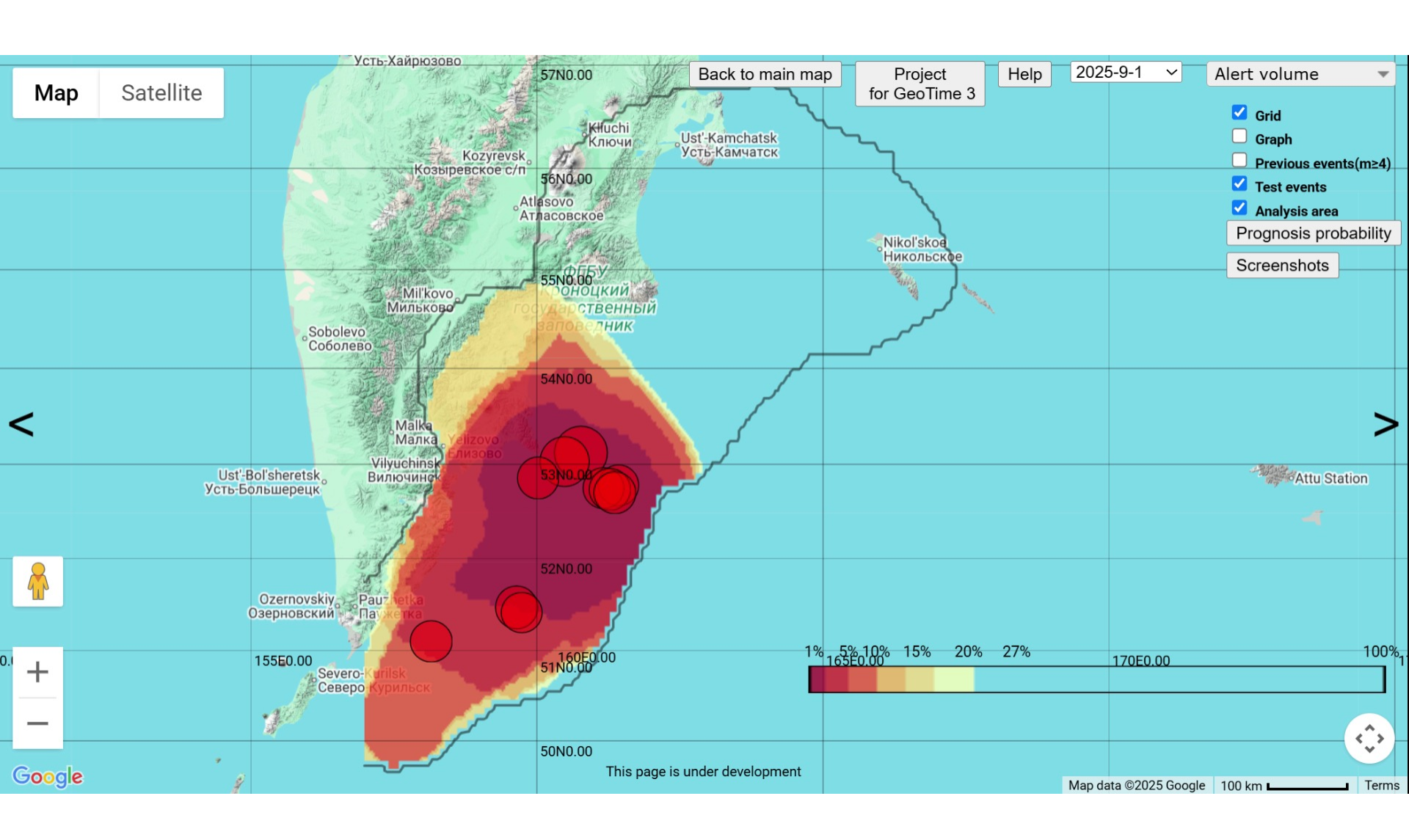


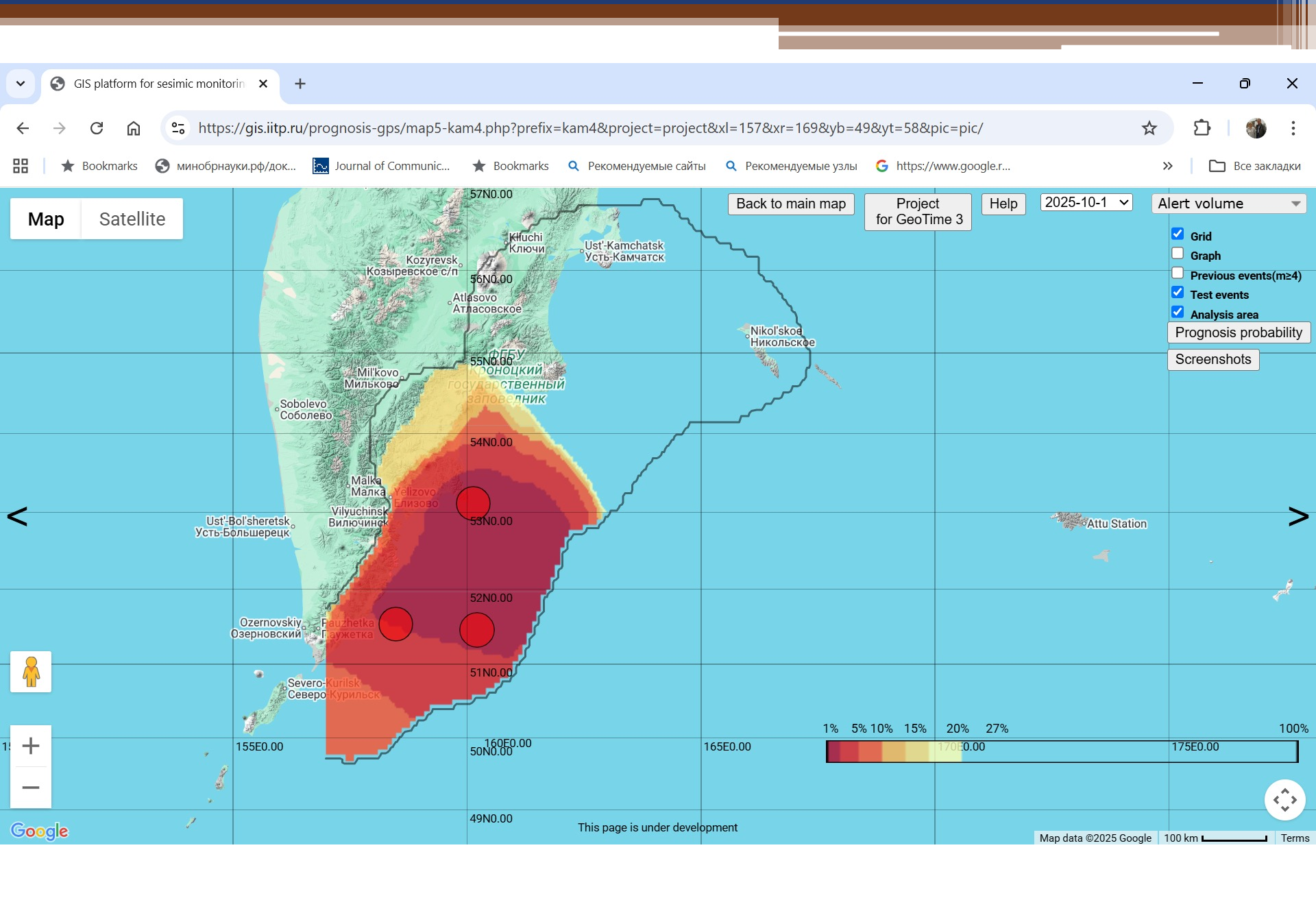






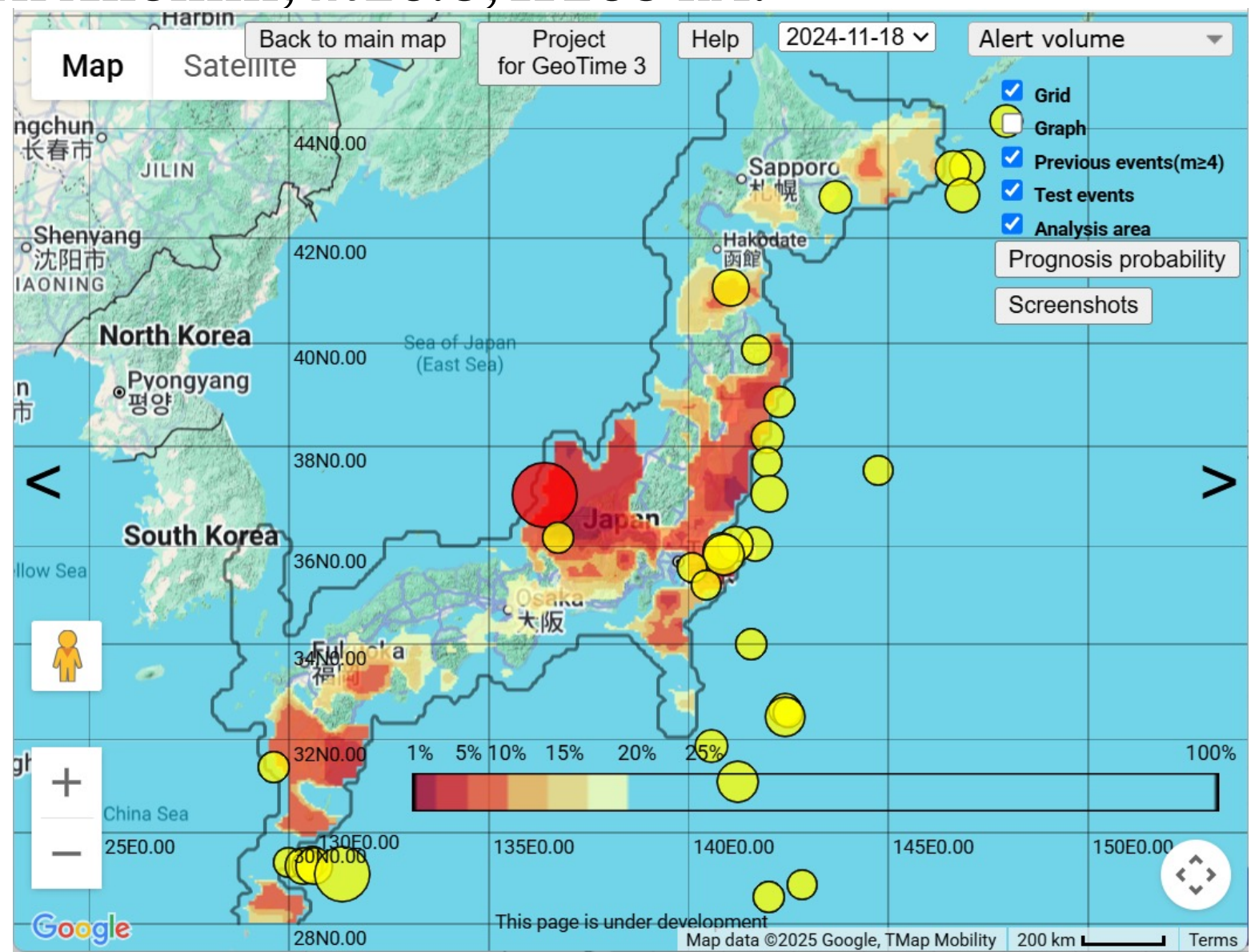








Одноэтапный прогноз землетрясений островной части Японии,  $m \ge 6.0$ ,  $H \le 60$  км.

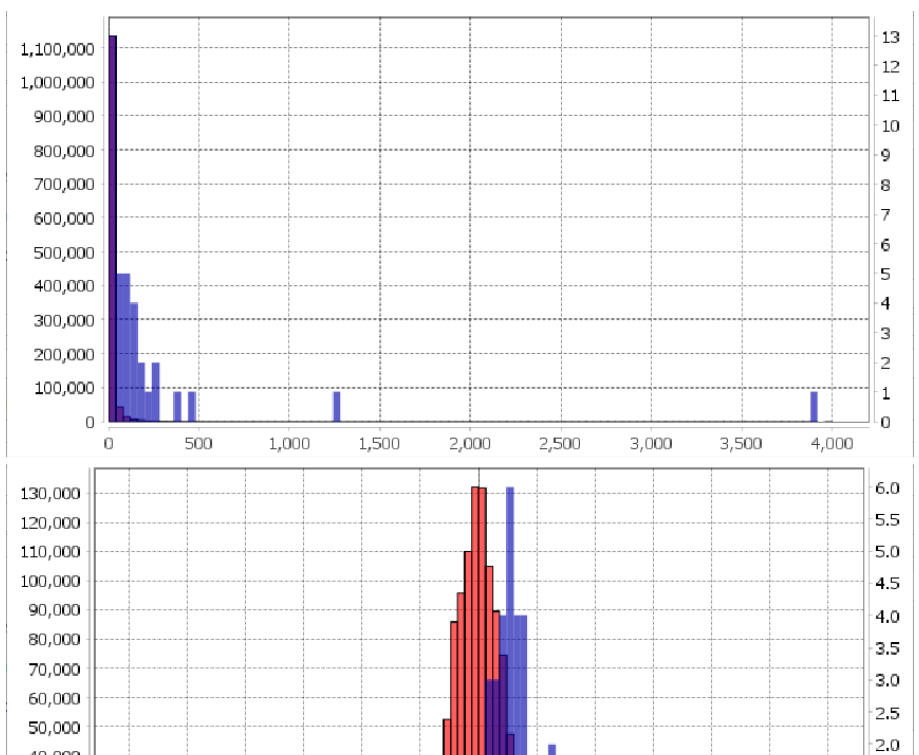


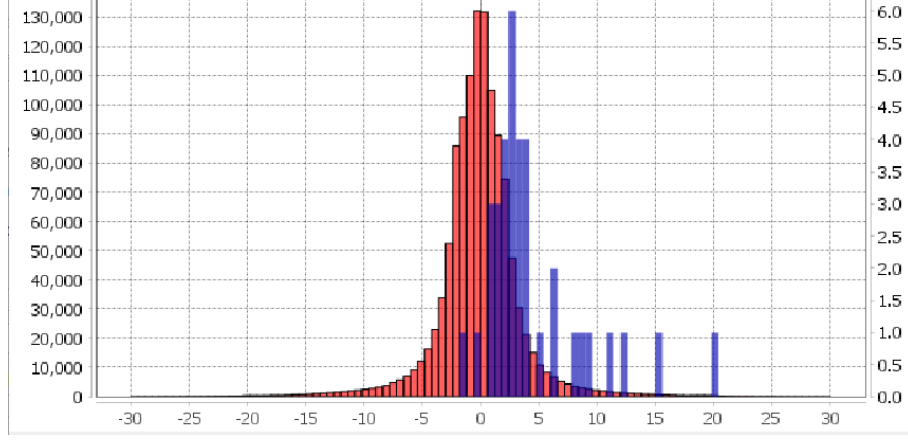


Значения полей на всех узлах сетки зоны анализа. Значения полей на узлах наиболее информативных предвестников землетрясений.

#### Поля

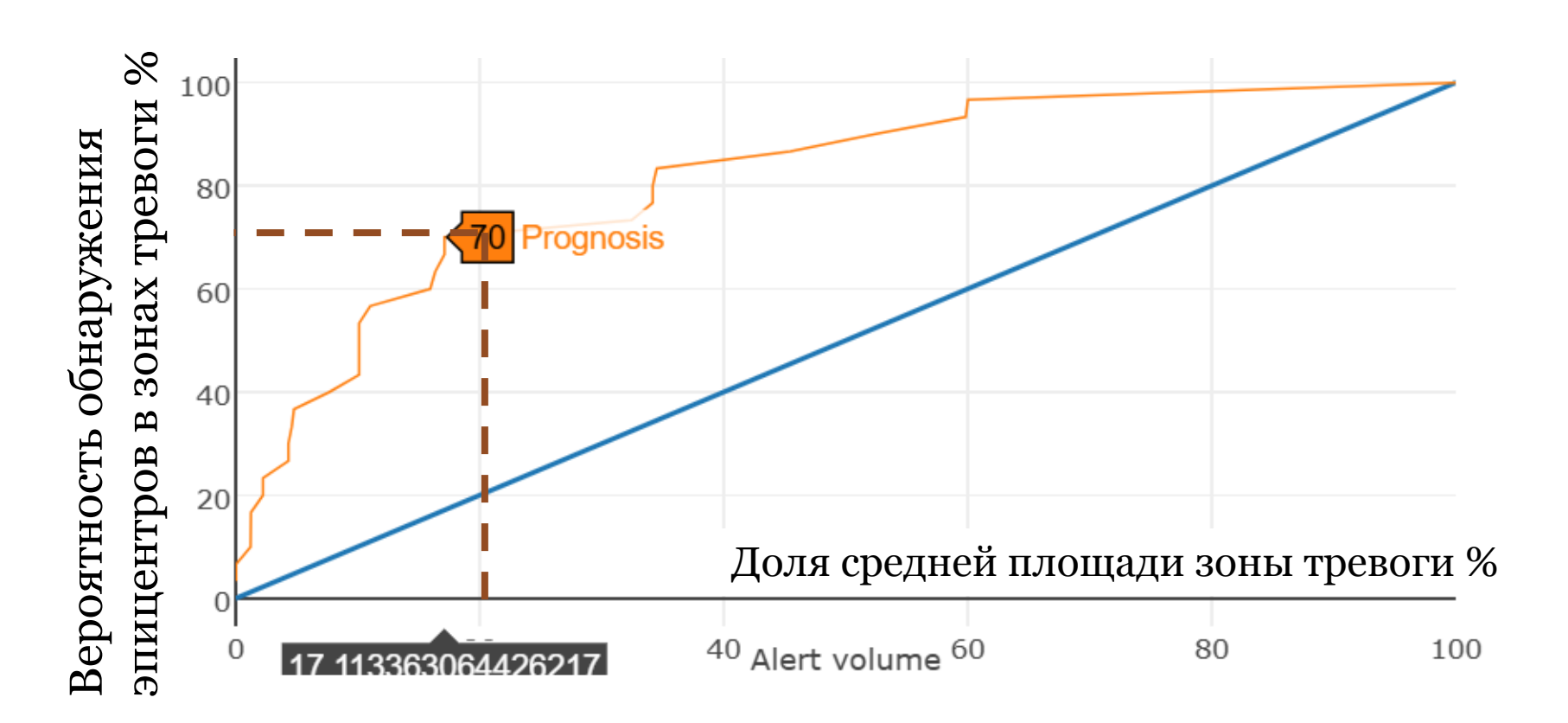
- ≻Поле произведений плотности эпицентров землетрясений на их среднюю магнитуду, R=30км, Т=60 суток.
- ▶Поле t-статистики Стьюдента от поля дивергенции скорости смещения поверхности земли по данным GPS,  $T_1 = 730$  суток,  $T_2$ =90 суток.





# https://gis.iitp.ru/prognosis-gps/ (Одноэтапный прогноз)

Обучение от **27.01.2012**. Тестирование **25.01.2018**.





# 4 Выводы

- 1. Поля произведений средней магнитуды землетрясений на плотность их эпицентров являются эффективными для прогноза землетрясений
- 2. Поля, учитывающие глубину гипоцентров землетрясений, значительно улучшают качество прогноза.

### СПАСИБО ЗА ВНИМАНИЕ



# 4 Моделирование

#### Цель

Анализ прогностических возможностей полей произведения средней магнитуды землетрясений на плотность их эпицентров.

- Значений этих полей в узлах координатной сетки являются функцией от концентрационного критерия С.Н. Журкова  $Z=l_{\rm cp}/L_{\rm cp}$ :
  - $\checkmark l_{cp}$  средний линейный размер очага является функцией от средней магнитуды землетрясений.
  - $\checkmark$   $L_{\rm cp}$  среднее расстояние между очагами является обратной величиной от плотности эпицентров землетрясений.
- □ Методы вычисления полей: локально-ядерное сглаживание, адаптивное весовое сглаживания (AWS) и t-статистики Стьюдента.



#### Локально-ядерные оценки полей

ightharpoonup Произведение средней магнитуды на плотность эпицентров в точке (x, y, t), где R, T – параметры полей, n – номер эпицентра:

$$s(x, y, t) = C \sum_{n} (m_n - m_{\min}) \exp\left(-\frac{r_n^2}{R}\right) \exp\left(-\frac{t_n^2}{T}\right), \quad t_n \le t$$

Плотность эпицентров :

$$s(x, y, t) = C \sum_{n} \exp\left(-\frac{r_n^2}{R}\right) \exp\left(-\frac{t_n^2}{T}\right),$$

Средняя магнитуда:

$$s(x, y, t) = C \frac{\sum_{n} (m_n - m_{\min}) \exp\left(-\frac{r_n^2}{R}\right) \exp\left(-\frac{t_n^2}{T}\right)}{\sum_{n} \exp\left(-\frac{r_n^2}{R}\right) \exp\left(-\frac{t_n^2}{T}\right)}$$



# Калифорния, одноэтапный прогноз, m≥5.3, test 2018-01-22 - 2025-10-12, U=83%, W=40%.

- Поля:
- + MEAN-DEN m>=2.5 R=130 T=365 EPS=r/R=t/T=2
- + Student of shear with T 360 and 360 days
- + MEAN-DEN m>=2.5 R=60 T=100 EPS=r/R=t/T=2